

ГОСУДАРСТВЕННЫЙ КОМИТЕТ СССР ПО ГИДРОМЕТЕОРОЛОГИИ
И КОНТРОЛЮ ПРИРОДНОЙ СРЕДЫ

ИНСТИТУТ ГЕОГРАФИИ АКАДЕМИИ НАУК СССР
ИНСТИТУТ ГЕОЛОГИИ И ГЕОФИЗИКИ им. Х. М. АБДУЛЛАЕВА АН УзССР
СРЕДНЕАЗИАТСКИЙ РЕГИОНАЛЬНЫЙ НАУЧНО-ИССЛЕДОВАТЕЛЬСКИЙ
ИНСТИТУТ им. В. А. БУГАЕВА

РЕСУРСЫ ПОВЕРХНОСТНЫХ ВОД СССР
КАТАЛОГ ЛЕДНИКОВ СССР

ТОМ 14

СРЕДНЯЯ АЗИЯ

ВЫПУСК 3

АМУДАРЬЯ

ЧАСТИ 1, 2

БАССЕЙН р. ЗЕРАВШАНА



ЛЕНИНГРАД ГИДРОМЕТЕОИЗДАТ 1982

ИНСТИТУТ ГЕОГРАФИИ АКАДЕМИИ НАУК СССР
ИНСТИТУТ ГЕОЛОГИИ И ГЕОФИЗИКИ им. Х. М. АБДУЛЛАЕВА АН УзССР
СРЕДНЕАЗИАТСКИЙ РЕГИОНАЛЬНЫЙ НАУЧНО-ИССЛЕДОВАТЕЛЬСКИЙ
ИНСТИТУТ им. В. А. БУГАЕВА

РЕСУРСЫ ПОВЕРХНОСТНЫХ ВОД СССР

КАТАЛОГ ЛЕДНИКОВ СССР

ТОМ 14

СРЕДНЯЯ АЗИЯ

ВЫПУСК 3

АМУДАРЬЯ

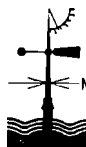
ЧАСТЬ 1

БАССЕЙН ВЕРХОВЬЕВ р. ЗЕРАВШАНА ОТ УСТЬЯ р. ФАНДАРЬИ

ЧАСТЬ 2

БАССЕЙН р. ЗЕРАВШАНА НИЖЕ УСТЬЯ р. ФАНДАРЬИ

КОНОВАЛОВА Г. И., НАСЫРОВ М. А., ШУРУПОВ А. Г., ЩЕТИННИКОВ А. С.



Каталог ледников бассейна р. Зеравшан просмотрен и отредактирован в отделе гляциологии Института географии АН СССР. Каталог рекомендован к печати секцией гляциологии Межведомственного геофизического комитета при Президиуме АН СССР.

Ответственный редактор
О. Н. ВИНОГРАДОВ

Редактор
О. В. РОТОТАЕВА

В Каталоге дается краткая характеристика географического положения, морфологии и режима ледников бассейна р. Зеравшан. Приводятся основные сведения о ледниках и схемы расположения ледников.

Расчитан на географов, гляциологов, гидрологов, метеорологов.

ПРЕДИСЛОВИЕ

Каталог ледников бассейна р. Зеравшана является частью многотомного издания «Каталог ледников СССР», входящего в свою очередь в качестве самостоятельного раздела в справочное издание «Ресурсы поверхностных вод СССР». Деление Каталога ледников СССР на тома, выпуски и части приведено ниже.

Настоящий Каталог входит в том 14 — Средняя Азия — и объединяет первые две части выпуска 3 — Амударья. Такое объединение двух частей Каталога целесообразно, так как позволяет наиболее полно представить картину оледенения бассейна р. Зеравшана. Каталог состоит из схем расположения ледников, основных таблиц и краткой характеристики географического положения, морфологии и режима ледников. На схемах показаны все ледники площадью 0,1 км² и более, а также особым условным знаком (•) нанесены ледники размерами менее 0,1 км², которые имеют собственную нумерацию. Нумерация производилась слева направо по ходу часовой стрелки. В отдельных бассейнах с развитым оледенением сначала нумеруется главный ледник долины, затем все его притоки и только после них другие самостоятельные ледники, дающие сток под главный ледник или его притоки и не имеющие прямой связи с питаемой ими рекой. Номера ледников на схемах совпадают с номерами тех же ледников во всех таблицах и в тексте.

Основными таблицами Каталога являются: Таблица I — Основные сведения о ледниках; Таблица IV — Экспедиционные и стационарные исследования ледников; Таблица V — Список работ, содержащих сведения о ледниках.

Таблицы II и III не приводятся. Все таблицы составлены в соответствии с «Руководством по составлению Каталога ледников СССР» и нумеруются римскими цифрами. Остальные таблицы текста и дополнительных материалов нумеруются арабскими цифрами в порядке их расположения.

Для удобства пользования помещенным в настоящей книге материалом ледники бассейна верховьев р. Зеравшана от устья р. Фандарьи (часть 1) и ледники бассейна р. Зеравшана ниже устья р. Фандарьи (часть 2) имеют самостоятельную нумерацию. Таким образом, в Каталоге помещены две табл. I. Остальные основные таблицы составлены для всего бассейна р. Зеравшана. Характеристика географических условий и особенностей оледенения тоже охватывает весь бассейн целиком.

В табл. I приведены данные о линейных разме-

рах ледников, их морфологическом типе, площади, экспозиции, высоте низшей и высшей точек ледника и фирновой линии, площади области абляции и объеме льда, заключенном в каждом леднике. Основные сведения о ледниках получены по крупномасштабным картам, контуры ледников на которых уточнены по аэрофотосъемке 1959 г., а также в периоды полевых обследований ледников в июне — сентябре 1962—1968 гг.

В Каталоге приводятся названия ледников, принятые официально, а в случае отсутствия их ледники носят номера согласно схеме (графа 2).

Названия рек, вытекающих из ледников, в графе 3 взяты с крупномасштабных карт. Графа осталась незаполненной в тех случаях, когда ледник является притоком другого ледника или когда сток с него происходит не в реку, а под другой ледник.

Морфологический тип и общая экспозиция ледников (графы 4, 5) определены по аэрофотоснимкам и картам. Тип ледника определялся согласно морфологической классификации, предложенной «Руководством по составлению Каталога ледников СССР». Экспозиция приводится по 8 румбам, обозначаемым начальными буквами их русских названий: С, СВ, В, ЮВ, Ю, ЮЗ, З, СЗ.

Длины ледников (графы 6, 7) на картах измерялись дважды циркулем с постоянным раствором 1 или 2 мм в зависимости от размера ледника. При расхождении полученных длин на величину, превышающую 2%-ную допустимую ошибку, измерения повторялись. Длины приведены с точностью до 10 м.

Площадь ледников (графы 8, 9, 15, 16) измерялась тоже дважды при помощи палеток с ячейкой в 1 мм. Расхождение между полученными результатами не должно было превышать 3%. В противном случае измерения повторялись. Четкой зависимости между площадями ледников и абсолютными и относительными ошибками не обнаружено. Площади приведены с точностью до 0,1 км².

Высотные отметки различных точек ледника (графы 10—12) определялись с точностью от 10 до 50 м в зависимости от принятого на картах сечения горизонталей и наличия отметки у конца ледника.

Высота фирновой линии (графа 13) определена методом Куровского, по которому среднее многолетнее значение ее принимается равным средней взвешенной по площади высоте ледника

$$H_{ф.л} = \frac{\sum H_i f_i}{F}$$

где H_i — средняя высота зоны между двумя горизонталями, f_i — площадь льда в зоне, F — площадь ледника.

Объем льда (графа 17) вычислен по формуле Н. В. Ерасова

$$V = 0,027 F^{1,5},$$

где F — площадь ледника.

Поскольку крупномасштабные карты отдешифрованы по аэрофотосъемке 1959 г., основные сведения о ледниках приведены на этот год.

Характеристика географического положения, морфологии ледников и особенностей оледенения написана на основании полевых наблюдений, проведенных под руководством М. А. Насырова, а также по материалам более ранних исследований. Для детальной характеристики режима оледенения бассейна р. Зеравшана данных недостаточно. Совсем нет сведений по отдельным притокам р. Зеравшана, а из ледников более или менее обследованы лишь ледники Зеравшанский и Имат.

Климатическую характеристику зоны оледенения дать довольно трудно, так как большинство метеорологических станций расположены на дне долины. Единственной высокогорной станцией, расположенной на южной границе района, является мст Анзобский Перевал.

История исследования ледников бассейна р. Зеравшана тесно связана с открытием и изучением одноименного ледника, одного из крупнейших в Средней Азии. Впервые истоков р. Матча в 1870 г. достигла военная Искандеркульская экспедиция А. К. Абрамова, составившая рекогносцировочную карту долины со схемой конца языка ледника Зеравшанский и ледника Рама (табл. V/1). В 1880 г. Зеравшанский ледник впервые был пройден на всем протяжении экспедицией И. В. Мушкетова (табл. V/24), а в 1910 г. по поручению РГО И. А. Преображенский (табл. V/32) совершает поездку с целью исследования Туркестанского хребта. Кроме Зеравшанского ледника он обследовал ледники в верховьях р. Сабах, составил описание ледников и дал схему их расположения. В 1914 г. на ледниках Зеравшанский и Рама побывал известный гидролог Средней Азии Э. М. Ольдекоп в связи с организацией сети суммарных осадкомеров в бассейне р. Зеравшана. Им был установлен осадкомер на левом склоне долины вблизи конца ледника, заснят конец Зеравшанского ледника и поставлены топографические метки около упомянутых ледников. Одну из этих меток нашел в 1927 г. Л. К. Давыдов, под руководством которого здесь работала комплексная экспедиция Среднеазиатского метеорологического института (табл. V/5). Экспедиция организовала вблизи конца ледника метеорологическую станцию и водомерный пост на р. Матча. Кроме того, временная метеостанция была организована в верхней части ледника выше устья ледника Скачкова. Были проведены наблюдения за таянием, испарением и конденсацией на леднике, а также мензуральная съемка его конца и установка меток. Суммарные осадкомеры, установленные экспедицией Л. К. Давыдова вблизи ледников Зеравшанский, Фарахнау, Скачкова и на пер. Мат-

ча, эксплуатируются и в настоящее время, что свидетельствует об их удачной и доброкачественной установке. Экспедиция положила начало систематическим наблюдениям за элементами водного баланса одного из крупнейших ледников Средней Азии и провела повторную съемку конца ледника. В дальнейшем такие съемки повторены в 1928 г. В. В. Ухановым, в 1929 г. Л. К. Давыдовым, в 1930 г. М. В. Косаревым.

В 1931 г. экспедиция Среднеазиатского метеорологического института провела на Зеравшанском леднике ряд опытов по искусственному усилению таяния путем разрушения льда взрывами. Опыты эти дали отрицательные результаты, показав малую эффективность взрывов ледниковой толщи. Во время работы экспедиции на р. Зеравшане действовал гидрометрический пост и была произведена очередная съемка конца языка ледника. Материалы этой экспедиции были использованы Н. Л. Корженевским при характеристике Зеравшанского ледника (табл. V/16).

С 1932 г. начинается новый этап в исследованиях ледников бассейна р. Зеравшана, связанный с проведением в СССР гляциологических исследований по программе II МПГ. Для этого этапа характерно расширение объекта работ; если в предшествующие годы внимание исследователей было приковано почти исключительно к Зеравшанскому леднику, то теперь гляциологическими работами охвачены и другие ледники бассейна р. Матча и отдельных частных бассейнов долины Зеравшана. Более того, малые ледники бассейнов рек Ягноб и Пасрут стали объектами проведения наиболее подробных наблюдений. В это время здесь работали Зеравшанская высокогорная экспедиция под руководством В. П. Учайкина и Зеравшанский гляциологический отряд Таджикско-Памирской экспедиции 1932 г. После завершения работ II МПГ и ТПЭ в 1934 г. ледники бассейна р. Зеравшана вплоть до 1946 г. практически не изучались.

В 1946 г. возобновляет свои наблюдения над Зеравшанским ледником Л. К. Давыдов (табл. V/6). Руководимая им экспедиция ЛГУ изучала таяние и испарение с поверхности льда, измеряла скорости движения ледника, произвела съемку ледника, нашла метку 1932 г. и установила две новых.

После большого перерыва летом 1961 и 1962 гг. на Зеравшанском леднике вновь проводились обширные гляциологические исследования силами географического факультета ЛГУ под руководством проф. О. А. Дроздова. Итоги работы обобщены в обстоятельной монографии (табл. V/18).

В 1962—1968 г. группа гляциологов АН УзССР под руководством М. А. Насырова проводила наблюдения на Зеравшанском и некоторых других ледниках бассейна, одновременно производя съемку концов ледников. Причем в 1962 г. впервые инструментально определена мощность Зеравшанского ледника.

Настоящая часть Каталога ледников СССР подготовлена в отделе гляциологии Института географии АН СССР. Графические иллюстрации выполнены А. М. Дьяковой и Т. П. Пицхелаури, фотографии (рис. 21—33) — В. Иорданом.

ДЕЛЕНИЕ КАТАЛОГА ЛЕДНИКОВ СССР НА ТОМА, ВЫПУСКИ И ЧАСТИ

Подразделение Каталога ледников СССР на тома и выпуски полностью соответствует подразделению на тома и выпуски справочного издания «Ресурсы поверхностных вод СССР» (рис. 1). Как известно, этот справочник состоит из 20 томов, характеризующих вместе всю территорию Советского Союза. В основу деления справочника на тома положен принцип принадлежности территории к крупным речным бассейнам.

Поскольку области современного оледенения находятся не в каждом из 20 районов — томов издания «Ресурсы поверхностных вод СССР», Каталог

ледников СССР составляется лишь на районы, охватываемые томами 1, 3, 8, 9, 13—17, 19, 20 этого издания.

В связи с неравномерностью распределения оледенения по территории СССР в пределах выделенных томов и отдельных выпусков предусматривается издание нескольких частей Каталога ледников СССР (см. список). Так, например, том 14—Средняя Азия, вып. 3—Амударья, разделенный на 20 частей, включает в себя части 1 и 2—Бассейн р. Зеравшана (рис. 2).

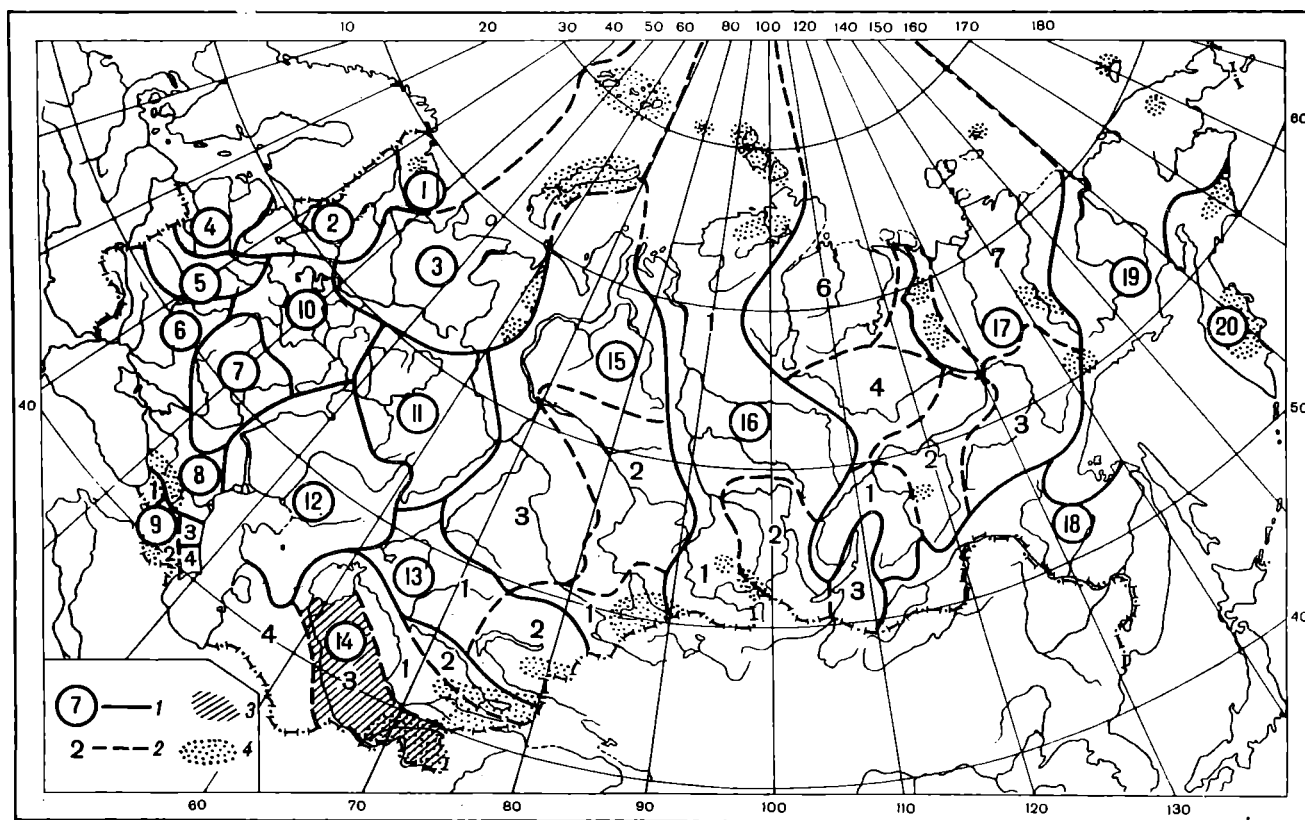


Рис. 1. Схема деления территории СССР на тома и выпуски Каталога ледников. 1 — номер тома и границы отнесенной к нему территории, 2 — номер выпуска и границы отнесенной к нему территории, 3 — территория, сведения об оледенении которой включены в том 14, вып. 3 — Амударья, 4 — районы современного оледенения.

СПИСОК ТОМОВ, ВЫПУСКОВ И ЧАСТЕЙ КАТАЛОГА ЛЕДНИКОВ СССР

Том 1. КОЛЬСКИЙ ПОЛУОСТРОВ

Часть 1. Хибинские горы (издано в 1966 г.)

Том 3. СЕВЕРНЫЙ КРАЙ

Часть 1. Земля Франца-Иосифа (издано в 1965 г.)

Часть 2. Новая Земля (издано в 1978 г.)

Часть 3. Урал (издано в 1966 г.)

Том 8. СЕВЕРНЫЙ КAVKAZ

Часть 1. Бассейны рек Белой, Лабы, Урупа (издано в 1967 г.)

Часть 2. Бассейны рек Большого Зеленчука, Малого Зеленчука (издано в 1967 г.)

Часть 3. Бассейн р. Теберды (издано в 1967 г.)

Часть 4. Бассейн верховьев р. Кубани (издано в 1967 г.)

Часть 5. Бассейны рек Малки, Баксана (издано в 1970 г.)

Часть 6. Бассейн р. Чегема (издано в 1973 г.)

Часть 7. Бассейн р. Черема (издано в 1973 г.)

Часть 8. Бассейн р. Уруха (издано в 1976 г.)

Часть 9. Бассейн р. Ардона (издано в 1976 г.)

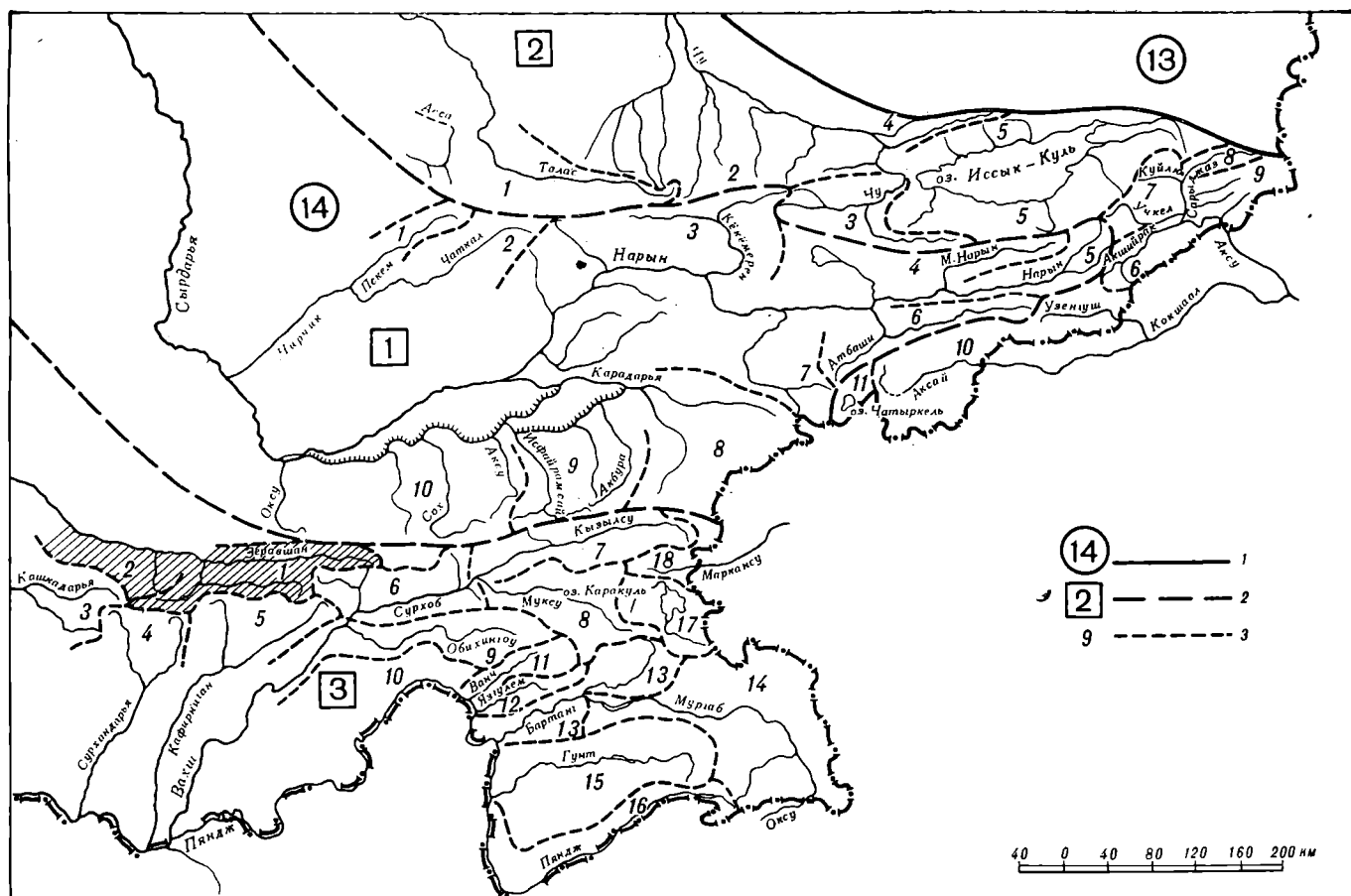


Рис. 2. Схема деления на выпуски и части тома 14 — Средняя Азия — Каталога ледников СССР.

1 — номер тома и границы отнесенной к нему территории, 2 — номер выпуска и границы отнесенной к нему территории, 3 — номер части и границы отнесенной к ней территории (штриховкой выделена территория, отнесенная к частям 1, 2 вып. 3 тома 14).

Часть 10. Бассейны рек Фиагодона, Гизельдона (издано в 1977 г.)

Часть 11. Бассейн верховьев р. Терека (издано в 1977 г.)

Часть 12. Бассейны правых притоков р. Сунжи (издано в 1977 г.)

Том 9. ЗАКАВКАЗЬЕ И ДАГЕСТАН

Выпуск 1. Западное Закавказье

Часть 1. Бассейн р. Мзымты (издано в 1977 г.)

Часть 2. Бассейн р. Бзыби (издано в 1975 г.)

Часть 3. Бассейн р. Келасури (издано в 1975 г.)

Часть 4. Бассейн р. Кодори (издано в 1975 г.)

Часть 5. Бассейн р. Ингури (издано в 1975 г.)

Часть 6. Бассейны рек Хоби, Риони (издано в 1975 г.)

Часть 7. Бассейны левых притоков р. Куры (издано в 1975 г.)

Выпуск 2. Армения

Часть 1. Бассейн р. Аракса (издано в 1978 г.)

Выпуск 3. Дагестан

Часть 1. Бассейн р. Сулака (издано в 1975 г.)

Часть 2. Бассейн р. Самура (издано в 1975 г.)

Выпуск 4. Восточное Закавказье

Часть 1. Бассейн р. Кусарчая (издано в 1975 г.)

Том 13. ЦЕНТРАЛЬНЫЙ И ЮЖНЫЙ КАЗАХСТАН

Выпуск 2. Бассейн оз. Балхаш

Часть 1. Бассейны левых притоков р. Или от устья р. Тургени до устья р. Курты (издано в 1967 г.)

Часть 2. Бассейн р. Чилика (издано в 1968 г.)

Часть 3. Бассейны рек Чарына, Текеса (издано в 1969 г.)

Часть 4. Бассейны рек Хоргоса, Усека (издано в 1975 г.)

Часть 5. Бассейн р. Каратала (издано в 1980 г.)

Часть 6. Бассейны рек Биена, Аксу, Лепсы (издано в 1970 г.)

Часть 7. Бассейны рек Тентека, Ргайты (издано в 1969 г.)

Том 14. СРЕДНЯЯ АЗИЯ

Выпуск 1. Сырдарья

Часть 1. Бассейн р. Пскема (издано в 1968 г.)

Часть 2. Бассейн р. Чаткала (издано в 1970 г.)

Часть 3. Бассейны правых притоков р. Нарына ниже устья р. Кёкёмерена (издано в 1978 г.)

Часть 4. Бассейны правых притоков р. Нарына от устья р. Кёкёмерена до устья р. Малого Нарына (издано в 1973 г.)

Часть 5. Бассейны правых и левых притоков верховьев р. Нарына (издано в 1977 г.)

Часть 6. Бассейн р. Атбаши (издано в 1974 г.)

Часть 7. Бассейны левых притоков р. Нарына от устья р. Атбаши до устья р. Карадарья (издано в 1977 г.)

Часть 8. Бассейн р. Карадарья (издано в 1979 г.)

Часть 9. Бассейны левых притоков р. Сырдарья от устья р. Карадарья до устья р. Аксу (издано в 1974 г.)

Часть 10. Бассейны левых притоков р. Сырдарья от устья р. Аксу и ниже (издано в 1974 г.)

Часть 11. Бассейн р. Арыси (издано в 1976 г.)

Выпуск 2. Киргизия

Часть 1. Бассейны рек Ассы, Таласа (издано в 1968 г.)

Часть 2. Бассейны левых притоков р. Чу ниже устья р. Коморчека (издано в 1973 г.)

Часть 3. Бассейн верховьев р. Чу (издано в 1971 г.)

Часть 4. Бассейны правых притоков р. Чу ниже Боамского ущелья (издано в 1969 г.)

Часть 5. Реки бассейна оз. Иссык-Куль (издано в 1976 г.)

Часть 6. Бассейн р. Акшийрака (издано в 1970 г.)

Часть 7. Бассейны правых притоков р. Сарыджаза между устьями рек Акшийрака и Куйлю (издано в 1969 г.)

Часть 8. Бассейн верховьев р. Сарыджаза от устья р. Куйлю и выше (издано в 1977 г.)

Часть 9. Бассейны левых притоков р. Сарыджаза (реки Иныльчек, Каинды, Куюкап) (издано в 1978 г.)

Часть 10. Бассейн р. Кокшаала (издано в 1971 г.)
Часть 11. Реки бассейна оз. Чатыркель (издано в 1971 г.)

Выпуск 3. Амударья

Часть 1. Бассейн верховьев р. Зеравшана от устья р. Фандарьи
Часть 2. Бассейн р. Зеравшана ниже устья р. Фандарьи
Часть 3. Бассейн р. Кашкадарьи (издано в 1969 г.)
Часть 4. Бассейн р. Сурхандарьи (издано в 1969 г.)
Часть 5. Бассейн р. Кафирнигана
Часть 6. Бассейн р. Сурхоба между устьями рек Обихингоу и Муксу (издано в 1971 г.)
Часть 7. Бассейн р. Кызылсу (издано в 1976 г.)
Часть 8. Бассейн р. Муксу (издано в 1979 г.)
Часть 8А. Система ледника Федченко (бассейн р. Муксу) (издано в 1968 г.)
Часть 9. Бассейн р. Обихингоу (издано в 1978 г.)
Часть 10. Бассейны правых притоков р. Пянджа от устья р. Вахша до устья р. Ванча (издано в 1980 г.)
Часть 11. Бассейн р. Ванча (издано в 1978 г.)
Часть 12. Бассейн р. Язгулема (издано в 1978 г.)
Часть 13. Бассейн р. Бартанга (издано в 1978 г.)
Часть 14. Бассейн р. Мургаба (издано в 1979 г.)
Часть 15. Бассейн р. Гунта (издано в 1979 г.)
Часть 16. Бассейн верховьев р. Пянджа выше устья р. Гунта (издано в 1980 г.)
Часть 17. Реки бассейна оз. Каракуль (издано в 1975 г.)
Часть 18. Бассейн верховьев р. Маркансу (издано в 1975 г.)
Часть 19. Бассейн р. Восточной Кызылсу
Часть 20. Бассейны правых притоков р. Пянджа между устьями рек Язгулема, Бартанга и Гунта (издано в 1980 г.)

ТОМ 15. АЛТАЙ И ЗАПАДНАЯ СИБИРЬ

Выпуск 1. Горный Алтай и Верхний Иртыш

Часть 1. Бассейны левых притоков р. Иртыша (издано в 1969 г.)
Часть 2. Бассейн р. Кабы (издано в 1969 г.)
Часть 3. Бассейны рек Курчума, Бухтармы, Ульбы, Убы (издано в 1969 г.)
Часть 4. Бассейн верховьев р. Катунь (издано в 1978 г.)
Часть 5. Бассейн р. Аргута (издано в 1977 г.)
Часть 6. Бассейн р. Чуи (издано в 1974 г.)
Часть 7. Бассейн р. Бии
Часть 8. Бассейны рек Моген-Бурен, Каргы (издано в 1978 г.)
Часть 9. Кузнецкий Алатау

Выпуск 2. Верхняя и Средняя Обь

Часть 1. Бассейны рек Томи и Чулыма (Кузнецкий Алатау)

Том 16. АНГАРО-ЕНИСЕЙСКИЙ РАЙОН

Выпуск 1. Енисей

Часть 1. Северная Земля
Часть 2. Бассейны р. Таймыры (горы Бырранга)
Часть 3. Бассейны рек Казыра, Кана (издано в 1973 г.)
Часть 4. Бассейн р. Кемчика (издано в 1973 г.)
Часть 5. Бассейн верховьев р. Енисея выше устья р. Кемчика (издано в 1973 г.)
Часть 6. Горы Путорана
Часть 7. Остров Ушакова

Выпуск 2. Ангара

Часть 1. Бассейны верховьев рек Оки, Уды (издано в 1973 г.)

Том 17. ЛЕНО-ИНДИГИРСКИЙ РАЙОН

Выпуск 2. Средняя Лена

Часть 1. Бассейны рек Чары и Витима (хребет Кодар) (издано в 1972 г.)

Выпуск 3. Алдан

Часть 1. Бассейн р. Юдомы (горы Сунтар-Хаята) (издано в 1977 г.)

Выпуск 5. Нижняя Лена

Часть 1. Хараулахские горы
Часть 2. Хребет Орулган (издано в 1972 г.)

Выпуск 7. Яна, Индигирка

Часть 1. Острова Де-Лонга
Часть 2. Бассейны притоков Средней Индигирки (хребет Черского)
Часть 3. Бассейны левых притоков верховьев р. Индигирки (горы Сунтар-Хаята) (издано в 1977 г.)
Часть 4. Бассейн р. Адычи (хребет Черского)

Том 19. СЕВЕРО-ВОСТОК

Часть 1. Остров Врангеля
Часть 2. Бассейн р. Анадыри (хребет Пекульней)
Часть 3. Бассейн р. Дельку (горы Сунтар-Хаята) (издано в 1977 г.)
Часть 4. Бассейн р. Колымы (хребет Черского)

Том 20. КАМЧАТКА

Часть 1. Корякский хребет
Часть 2. Бассейны рек западного побережья Камчатки (издано в 1968 г.)
Часть 3. Бассейн р. Камчатки (издано в 1968 г.)
Часть 4. Бассейны рек восточного побережья Камчатки (издано в 1968 г.)

СПИСОК ПРИНЯТЫХ СОКРАЩЕНИЙ

	Учреждения и организации
ВГО	Всесоюзное географическое общество
ГГИ	Государственный научно-исследовательский гидрологический институт
ИГ АН СССР	Институт географии Академии наук СССР
ИГиГ АН УзССР	Институт геологии и геофизики Академии наук Узбекской ССР
ЛГУ	Ленинградский государственный университет
МПГ	Международный полярный год
РГО	Русское географическое общество
САМИ	Среднеазиатский метеорологический институт
САНИИ	Среднеазиатский региональный научно-исследовательский институт
ТПЭ	Таджикско-Памирская экспедиция
УГМС ТаджССР	Управление гидрометеорологической службы Таджикской ССР (ныне Таджикское республиканское управление по гидрометеорологии и контролю природной среды)
УзГО	Узбекское географическое общество

Пункты наблюдений

гмст гидрометеорологическая станция

гп гидрологический пост
мст метеорологическая станция

Морфологические типы ледников

асимм. дол.	асимметричный долинный
асимм. кар.	асимметричный каровый
вис.	висячий
вис. дол.	висячий долинный
вис. кар.	висячий каровый
дендр.	дендритовый
дол.	долинный
кар.	каровый
кар.-вис.	карово-висячий
кар.-дол.	карово-долинный
кул.	ледник кулуаров
прискл.	присклоновый
прискл. кар.	присклоновый каровый
склон.	склоновый
сл. дол.	сложный долинный

Способ определения высоты фирновой линии

Кур. Л. Куровского
эровиз. аэровизуальный

ХАРАКТЕРИСТИКА ГЕОГРАФИЧЕСКОГО ПОЛОЖЕНИЯ, МОРФОЛОГИИ, КЛИМАТИЧЕСКИХ УСЛОВИЙ И РЕЖИМА ЛЕДНИКОВ

До последнего времени данные, характеризующие оледенение Зеравшанского бассейна, касались лишь некоторых ледников (главным образом собственно ледника Зеравшанский) или отдельных малочисленных групп. Однако было хорошо известно, что Зеравшанский ледниковый комплекс является одним из крупнейших в Средней Азии и представляет собой весьма интересный природный объект, заслуживающий всестороннего изучения как с теоретической, так и с практической точек зрения. В бассейне расположены многочисленные ледники, занимающие большую площадь и имеющие важное значение в питании р. Зеравшана.

В настоящей части Каталога приведены сведения о ледниках, расположенных в основной долине и в долинах притоков р. Зеравшана, вся гидрографическая система которой находится между хребтами Туркестанским, Зеравшанским и Гиссарским. Эти хребты на востоке соединяются между собой, образуя мощные горные узлы, и переходят в единый Алайский хребет. Главным стыковым пунктом является Матчинский горный массив, благодаря которому здесь образовался крупный узел оледенения, включающий собственно Зеравшанский ледник.

Рельеф

Отличительной особенностью долины Зеравшана в целом, а также окаймляющих ее хребтов является их четко выраженное широтное простирание. В частности, Туркестанский и Зеравшанский хребты, ответвляясь от Матчинского горного узла на западной оконечности Алайского хребта, простираются параллельно в широтном направлении. Почти параллельно Зеравшанскому хребту на расстоянии свыше 150 км тянется Гиссарский хребет, ответвляющийся от Зеравшанского в горном узле Гульбас. Однако западнее оз. Искандеркуль они вновь соединяются, образуя сравнительно высокий Ганза-Чимтаргинский массив. Нивысшую отметку 5510 м в бассейне р. Зеравшана имеет пик Пирамидальный в восточной части Туркестанского хребта. Отсюда на запад хребты постепенно понижаются и плавно переходят в грядово-холмистое предгорье.

Северной границей водосбора Зеравшана является Туркестанский хребет. От узла соединения с Алайским и Зеравшанским хребтами он протягивается сначала в северо-западном направлении, образуя дугу, а затем от верховьев ледника Россинч

выпрямляется и дальше на запад сохраняет строго широтное простирание. Западнее Шахристанского перевала он разделяется на две ветви: горы Мальгузар и Чимкартау, но ни одна из них оледенения уже не несет, так как их высоты постепенно снижаются и к западу они переходят в холмистые предгорья. В плане Туркестанский хребет слабо извилистый (коэффициент извилистости 1,36), средняя высота его на участке от пер. Матча до пер. Шахристан 4190 м.

Наиболее возвышенной частью Туркестанского хребта является участок от пер. Матча до истока ледника Россинч со средней высотой 4970 м. Южный склон здесь расчленен на ряд отрогов, образующих глубокие ущелья и долины второго порядка, и несет 204,3 км² оледенения, что составляет 29,7% всей площади оледенения Зеравшанского бассейна. Плотность оледенения на 1 км длины хребта достигает 1,32 км². Превышение гребней обрамляющих хребтов над поверхностью ледников нередко достигает 1000—1500 м. Оледенение представлено как мелкими, так и крупными ледниками. Среди них выделяются дендритовый ледник Преображенского и сложный долинный ледник Россинч, которые вместе с притоками занимают соответственно 54,0 и 17,8 км² площади оледенения.

Средняя высота Туркестанского хребта к западу от истоков ледника Россинч (пер. Бузтоз) постепенно падает и на участке до пер. Яхрут составляет 4720 м. Рельеф склона становится менее сложным. Оледенение на нем распределено более или менее равномерно, с плотностью 1,00 км² на 1 км длины хребта. Наиболее характерными типами ледников для этого участка являются небольшие долинны ледники площадью до 6—7 км².

Еще дальше на запад, на участке между перевалами Яхрут и Шахристан (длина участка 120 км), расположено 25 ледников общей площадью 5,9 км². Ледники в этой части хребта встречаются уже не в каждом частном бассейне, а с большими промежутками, плотность оледенения снижается до 0,05 км². Средняя высота участка 4070 м.

Южный склон Туркестанского хребта почти на всем протяжении расчленен многочисленными боковыми долинами, в верховьях которых обычно находятся ледники. Эти долины имеют различную протяженность, достигают иногда 15—17 км, как, например, долина ледника и р. Рама. Верховья боковых долин носят черты типично ледниковой до-

лины с элементами трогового рельефа и отличаются большой шириной. Нижние части имеют эрозионное происхождение и представляют собой каньонобразные ущелья с высокими, крутыми, нередко нависающими склонами.

Главная долина р. Зеравшана, заключенная между южным склоном Туркестанского и северным склоном Зеравшанского хребтов, на участке до впадения р. Фандарьи представляет собой глубокое и сравнительно узкое ущелье. Его крутые склоны местами террасированы и осложнены долинами боковых притоков.

Зеравшанский хребет простирается с востока на запад до Ганза-Чимтаргинского массива. Он более прямой, чем Туркестанский и Гиссарский хребты (коэффициент извилистости его равен 1,24). Средняя высота Зеравшанского хребта 4140 м, т. е. он примерно на 50 м ниже Туркестанского и на 150 м выше Гиссарского. Наиболее возвышенной частью его является участок от пер. Матча до меридиана мст Мадрушкент, где средняя высота хребта составляет 4810 м. Основная площадь оледенения северного склона хребта приходится именно на этот участок, плотность оледенения на 1 км длины хребта достигает 1,56 км². Здесь встречается большое количество крупных долинных ледников. На втором отрезке Зеравшанского хребта от меридиана мст Мадрушкент до верховьев долины р. Сурхат (средняя высота 4460 м) относительно равномерно распространены небольшие долинные ледники. Третий участок простирается от бассейна р. Сурхат до слияния рек Фандарьи и Матча. На этом участке характер оледенения северного склона резко меняется: здесь распространены в основном небольшие висячие ледники. Главную причину затухания оледенения следует, по-видимому, искать в уменьшении средней высоты хребта до 4000 м и в большой крутизне склонов, не способствующей накоплению твердых осадков. Далее на запад от устья р. Фандарьи до пер. Чапдара, где кончается Зеравшанский хребет, лишь на северном склоне имеется шесть небольших ледников; на южном склоне ледников нет. Вообще весь южный склон Зеравшанского хребта относительно слабо расчленен, а это вместе с южной ориентацией не способствует развитию оледенения.

В истоках р. Ягноб с Зеравшанским хребтом смыкается Гиссарский хребет, обрамляющий бассейн р. Зеравшана с юга. В своей средней части Гиссарский хребет теряет широтное направление и образует в пределах бассейна оз. Искандеркуль обширную, выгнутую на юг дугу. Коэффициент извилистости 1,47.

К западу от оз. Искандеркуль, в верховьях р. Искандердарьи, Зеравшанский и Гиссарский хребты соединяет друг с другом Ганза-Чимтаргинский массив. Таким образом, они замыкают бассейн р. Фандарьи, которая сбрасывает свои воды на север через пропиленный ею участок Зеравшанского хребта. Западнее Ганза-Чимтаргинского массива Гиссарский хребет имеет на северном склоне значительное количество ледников, питающих два крупных притока р. Зеравшана — реки Кштут и Магиандарью. По высоте Гиссарский хребет несколько уступает Зеравшанскому и Туркестанско-

му. Его средняя высота 3990 м. Наибольшие высоты (до 5000 м) приурочены к восточной оконечности хребта.

При низкой средней высоте гребня северный склон Гиссарского хребта имеет благоприятные условия для развития оледенения. Южный склон его благодаря юго-западным вторжениям, приносящим осадки, является районом высокого увлажнения, однако почти не имеет ледников. По-видимому, важное значение здесь играет переведание твердых осадков с одного склона на другой, поэтому фирновые поля приводораздельной части северного склона Гиссарского хребта дают начало многочисленным ледникам.

Климат

В бассейне р. Зеравшана имеется сравнительно большое (для горных районов Средней Азии) количество метеостанций, однако эти метеостанции, расположенные на высотах от 1000 до 3000 м, характеризуют лишь климат нижней и средней зоны бассейна, гляциальная же зона оказывается слабо освещенной стационарными метеорологическими наблюдениями. Единственная станция — мст Анзобский перевал (3380 м) — расположена на водоразделе. Метеостанция Шахристан (3200 м) находится на северном склоне Туркестанского хребта уже за пределами Зеравшанского бассейна. Поэтому источником информации о гидрометеорологических условиях гляциальной зоны бассейна р. Зеравшана являются результаты экспедиционных исследований. Данные метеостанций, расположенных вне гляциальной зоны, служат исходным материалом для приведения коротких рядов экспедиционных наблюдений и в качестве опорных материалов для экстраполяции на высокогорную зону.

В формировании климата бассейна участвуют почти все типы синоптических процессов, которые наблюдаются над территорией Средней Азии. В холодное время года над бассейном р. Зеравшана часто располагается юго-западная периферия сибирского антициклона и наблюдаются прорывы циклонов с территории Ирана и Афганистана. Они приносят повышение температуры воздуха и увеличение количества осадков. В тылу циклонов обычно приходят холодные вторжения из умеренных широт с запада и севера, принося похолодания и осадки на равнинную территорию, но зачастую из-за небольшой мощности не влияя на температурный фон в верховьях горных долин.

В теплый период года велика повторяемость антициклональной погоды, обуславливающей повышение температуры. Вторжения циклонов чаще всего приходят из умеренных широт с запада и севера, и в горах сопровождаются осадками и понижением температуры.

Положение бассейна на западной окраине среднеазиатских гор, открытость долин влажным юго-западным ветрам и разнообразие форм рельефа обуславливают разнообразие климатических условий района. Дно долины и равнинная часть бассейна представляют собой засушливую полупустыню с жарким летом, сравнительно теплой зимой, незначительным количеством осадков и малой облачно-

стью. Высокогорная часть характеризуется холодной зимой, прохладным летом, значительным количеством осадков, повышенной облачностью и горнодолинной циркуляцией.

осадков. Непосредственными замерами по суммарным осадкомерам установлено четкое увеличение количества твердых осадков до высоты 3500 м. Используя метод Кренке—Ходакова (табл. V/17)

Таблица 1

Средняя месячная и годовая температура воздуха, °С

Метеостанция	Абсолютная высота, м	I	II	III	IV	V	VI	VII	VIII	IX	X	XI	XII	Год
Пенджикент	1020	-1,0	1,6	6,5	12,6	17,9	22,7	25,1	23,3	18,9	12,0	6,1	2,0	12,3
Искандеркуль	2270	-6,1	-4,6	0,2	6,5	11,6	14,6	18,0	17,7	13,6	7,3	1,2	-3,2	6,4
Дехауз	2560	-7,4	-6,3	-1,2	3,9	9,2	12,0	14,9	14,9	11,6	5,2	-1,4	-5,5	4,1
Анзобский Перевал	3380	-12,1	-11,5	-8,1	-3,1	1,5	5,7	9,7	9,1	5,2	-1,1	-6,5	-10,7	-1,8

Температура воздуха. Среднегодовая температура воздуха в бассейне р. Зеравшана колеблется в широких пределах: от 12,3°С в Пенджикенте до -1,8°С на Анзобском Перевале (табл. 1). Самый холодный месяц—январь, самые жаркие—июль и август. На мст Дехауз, расположенной в 20 км от Зеравшанского ледника и на 300 м ниже его конца, положительные температуры после зимы устанавливаются в конце марта. Такое раннее потепление объясняет, в частности, и раннее (в начале июня) освобождение конца ледникового языка от снега. На высоте 3000 м (конец языка ледника Имат)¹ переход температуры воздуха через 0°С наблюдается в начале апреля, а спустя две-три недели (конец апреля—начало мая) происходит увеличение жидкого стока р. Имат¹.

Продолжительность теплого периода на мст Дехауз составляет 246 дней, холодного 119 дней. Осень в бассейне р. Зеравшана длинная и теплая: переход температуры воздуха через 0°С на мст Дехауз происходит лишь в конце ноября.

Осадки. Долина р. Зеравшана, крутые склоны которой сильно расчленены боковыми притоками, мало доступна для проникновения холодных арктических и умеренных воздушных масс. Это до известной степени сказывается на температурном режиме и особенно на количестве атмосферных осадков, заметно уменьшающихся по мере движения на восток, в глубь гор. Так, в западной, наиболее пониженной части бассейна на высоте 1000—1400 м годовое количество осадков достигает 320—360 мм, у пос. Айни на высоте 1500 м осадки составляют всего 180—190 мм в год, в Мадрушкенте на высоте 2100 м уменьшаются почти до 160 мм. Лишь выше (мст Дехауз) годовая сумма осадков увеличивается до 230 мм, а в высокогорьях, обрамляющих долины рек Зеравшана, Матча и Ягноб, может выпадать до 350—400 мм осадков в год. Увлажнение жидкими осадками бассейна р. Зеравшана из-за неблагоприятной широтной ориентации хребтов значительно хуже, чем на юго-западном склоне Гиссарского хребта. С продвижением от периферии в глубь бассейна количество жидких осадков на этой же высоте понижается. В том же направлении происходит увеличение доли твердых

для определения слоя осадков на уровне фирновой линии, можно продлить кривую распределения осадков до высоты 4100 м и выявить тем самым их увеличение до самых гребней гор (рис. 3).

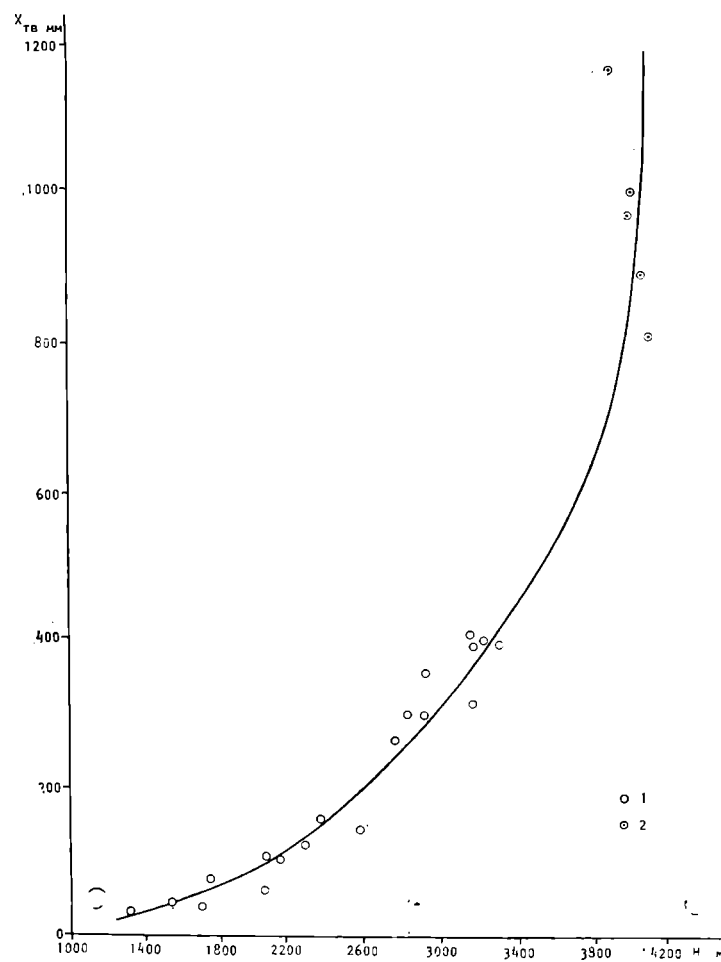


Рис. 3. Зависимость сумм твердых осадков ($X_{ТВ}$) от высоты (H) в бассейне р. Зеравшана (1), дополненная суммами осадков, рассчитанными по Кренке—Ходакову (2).

В бассейне р. Зеравшана наибольшее количество осадков выпадает в верховьях рек Ягноб и Мат-

¹ Наблюдения М. А. Насырова в 1964—1966 гг.

ча, расположенных на стыках хребтов. Повышенная увлажненность здесь вызвана также близостью бассейнов к гребню хребтов.

Внутригодовое распределение атмосферных осадков характеризуется максимумом в весенние месяцы (март—май). В это время выпадает около 50% годового количества осадков. Минимум осадков наблюдается в июле—сентябре. Ничтожные (менее 10% годовых) летние осадки, хотя и выпадают в гляциальной зоне преимущественно в твердом виде, практически не влияют на ход абляции ледников. Так, многолетние наблюдения на леднике Имат показали, что летние осадки, выпадающие здесь иногда в твердом виде, были настолько малы, что исчезали прямо на глазах, не приостанавливая процесс таяния. Напротив, наблюдающиеся в этот период высокие температуры воздуха, ясная безоблачная погода и наибольший приход солнечной радиации создают наилучшие условия для таяния ледников.

Появление снежного покрова в бассейне р. Зеравшана на высоте 2500—3000 м наблюдается в последней декаде октября, выше 3000 м — в первой декаде октября. Устойчивый снежный покров выше 2500 м образуется в ноябре. Высота снежного покрова в бассейне в общем незначительна и зависит от характера рельефа. В главной долине снежный покров залегает непродолжительное время и высота его может достигать всего лишь 10—15 см. Зато в боковых долинах наблюдается скопление большого количества снега в виде мощных снежников и конусов сошедших лавин, нередко сохраняющегося до середины августа.

Ветер. В бассейне р. Зеравшана, вытянутом на большое расстояние с запада на восток, циркуляции воздуха свойственны черты, присущие предгорной и горной областям. В течение всего года в долинах преобладают ветры, направление которых совпадает с ориентацией долины. Горно-долинная циркуляция особенно хорошо выражена в теплое время года. По данным метеорологических и аэрологических наблюдений у конца Зеравшанского ледника, в пойме ночью и утром резко преобладают восточные горные ветры, дующие со стороны ледника. Западный долинный ветер начинается в 10—11 ч и к 19—20 ч заканчивается. В пригребневых частях хребтов в районе перевалов зимой преобладают ветры юго-западного направления, а летом возможно изменение направления на противоположное. Например, на мст Шахристанский перевал в июле преобладает северо-восточный ветер; повторяемость его составляет в среднем около 30%. Средние скорости ветра в холодное время года гораздо выше, чем в теплое, и составляют в январе на перевалах 6—8 м/с, в долине 3—5 м/с, в июле соответственно 3—4,5 и 2—3 м/с.

Облачность. Наибольшая средняя облачность и наименьшая повторяемость ясных дней приходится на весенний период (февраль—апрель), как раз на время максимума осадков (табл. 2). Таким образом, весной создаются наилучшие условия для накопления снега в горных долинах. В августе—сентябре наблюдается наибольшая повторяемость ясных дней и наибольший приход солнечной радиации, обусловленный ясной погодой. В это время происходит усиленное таяние ледников.

Таблица 2

Повторяемость ясных дней (в % от общего числа дней) за период 1965—1975 гг.

Станция	I	II	III	IV	V	VI	VII	VIII	IX	X	XI	XII
Пенджикент	17	10	7	7	27	50	60	76	60	40	27	10
Искандеркуль	23	13	10	10	20	30	37	60	50	43	33	17
Дехауз	20	10	13	7	13	20	33	47	47	33	17	7

Оледенение

Полевые исследования и картографические материалы последних лет, а также космическая съемка, произведенная с искусственных спутников, позволили уточнить существующие представления об оледенении бассейна р. Зеравшана. По данным О. П. Щегловой (табл. V/49), общая площадь оледенения составляет 380 км². По данным настоящего каталога, она достигает 700 км². Такое «увеличение» площади ледников объясняется улучшением картографической изученности района и возможностью использования более подробных и точных материалов (в частности космических снимков), позволивших учесть площадь малых ледников. Приведенные данные показывают, что, несмотря на общую сухость климата периферии Памиро-Алая, где расположен бассейн р. Зерав-

шана, здесь сосредоточено большое количество льда. Всего в бассейне насчитывается 1272 ледника общей площадью 708,5 км², причем 892 из них имеют размеры 0,1 км² и более и занимают площадь 686,7 км².

Бассейн р. Зеравшана состоит из двух бассейнов: рек Матча и Фандарья. Первый вытянут в широтном направлении и открыт на запад, второй представляет собой как бы «замкнутый мешок» с довольно узкой горловиной в северной части. В каждом из этих бассейнов наиболее значительные площади оледенения приурочены к верховьям рек Матча и Искандердаря, расположенных в крупных горных массивах — Матчинском и Ганза-Чимтаргинском (Искандеркульском) — местах

соединения хребтов.

В Матчинском узле оледенения сосредоточено 245,0 км², в Искандеркульском 56,0 км² площади ледников. Здесь же располагаются наиболее крупные ледники бассейна (табл. 3).

слияния ее с р. Фандарьей), II — бассейн р. Ягноб, III — бассейн р. Фандарьи (реки Искандердарья, Пасрут, Чора), IV — бассейны левых притоков р. Зеравшана ниже устья р. Фандарьи. Рассмотрим оледенение по этим районам.

Таблица 3

Крупнейшие ледники бассейна р. Зеравшана

Название (номер) ледника	Бассейн реки	Морфологический тип	Площадь, км ²	Длина, км	Объем льда, км ³	% моренного покрытия
Зеравшанский (№ 202—222)	Матча	дендритовый	132,6	27,8	14,8534	18,1
Преображенского (№ 178—188)	Рама	»	54,0	12,8	9,0209	10,0
Россинч (№ 168)	Россинч	сл. дол.	17,8	11,3	2,0277	5,1
Шахисафед (№ 296)	Шахисафед	»	14,1	9,2	1,4292	35,5
Парах (№ 258—259)	Матча	»	9,4	6,8	0,7456	18,1
Суфтаир (№ 142)	Водиф	дол.	5,8	5,0	0,3771	7,0
Рог (№ 325)	Рог	»	5,2	7,1	0,3202	34,6

Скопление столь крупных ледников в верховьях р. Матча и особенно на южном склоне Туркестанского хребта объясняется несколькими причинами. Во-первых, большими абсолютными высотами самого хребта, поднимающегося на этом участке выше 5000 м. Экранирующая роль менее высоких хребтов Зеравшанского и Гиссарского, стоящих на пути влагоносных западных и юго-западных воздушных масс, несколько снижается, поэтому вторжения влажных воздушных масс достигают верхних зон Туркестанского хребта. Во-вторых, большому оледенению южного склона хребта способствует его расчлененность на крупные долины, создающие благоприятные условия для накопления значительного количества твердых осадков. В-третьих, не исключена возможность орографического влияния Матчинского горного узла на повышенную увлажненность этой части Туркестанского хребта. Горные узлы подобного типа как бы «подтягивают к себе» воздушные массы, которые по мере поднятия интенсивно конденсируют свою влагу на склонах.

Ганза-Чимтаргинский массив, замыкающий верховья р. Фандарьи, менее высокий, чем Матчинский, также имеет благоприятные условия для развития оледенения. Несмотря на высокую степень увлажнения, пригребневая зона южного склона Гиссарского хребта почти лишена ледников. Зато более низкие температуры и меньшее количество солнечной радиации на северном склоне, а также перевевание юго-западными ветрами твердых осадков с южного склона на северный привели к тому, что фирновые поля приводораздельной части дают здесь начало многочисленным ледникам. Достаточно большая извилистость этой части Гиссарского хребта и сильная расчлененность склона лишь благоприятствуют существованию ледников. Такая повышенная концентрация ледников в двух узлах оледенения является характерной особенностью бассейна р. Зеравшана. Вообще же бассейн четко разделяется на четыре обособленных района, отличающихся друг от друга по характеру оледенения: I — бассейн р. Матча (до

Размеры ледников. Наибольшее количество ледников (48,4 %) и подавляющая часть площади оледенения (530,2 км² или 74,8 %) расположены в бассейне р. Матча. Здесь сосредоточено 88,7 % объема льда ледников всего бассейна р. Зеравшана. Это и не удивительно, поскольку только в бассейне р. Матча имеются крупные ледники размерами более 5,0 км² (табл. 4). Количество их невелико — 7 (0,6 %), однако их площадь составляет треть (33,7 %) всей площади оледенения, а объем заключенного в них льда 65,8 % всех запасов льда бассейна. В остальных бассейнах нет крупных ледников, площадь самых больших из них едва достигает 3—4 км² (ледник Имат — 3,8 км², № 642 — 2,8 км²).

Самыми распространенными являются небольшие ледники размерами 0,1—0,5 км², они составляют половину всех ледников бассейна. Это характерно для всех четырех районов. Однако занимаемая ими площадь лишь в бассейнах р. Ягноб и нижних притоков р. Зеравшана также составляет почти половину площади оледенения. В двух других бассейнах наибольшая площадь занята ледниками величиной от 1,0 до 5,0 км² (28,2% в бассейне р. Матча, если не считать двух дендритовых ледников, и 43 % в бассейне р. Фандарьи). Что касается объема льда, то, как правило, наибольший объем заключен в наиболее крупных ледниках района. Лишь в районе IV, где всего 4 ледника по размерам превышают 1,0 км², максимум объема льда принадлежит ледникам от 0,6 до 1,0 км², которых здесь в четыре раза больше.

Очень много (30,6 %) ледников площадью менее 0,1 км², которые в табл. I каталога не входят, но которыми пренебрегать нельзя. Количество их в частных бассейнах составляет от 20 до 40 % ледников, а их площадь от 1,6 до 9,3 % площади оледенения бассейнов. Наличие большого числа мелких ледников оказывает заметное влияние на такой косвенный показатель дробности оледенения, как площадь среднего ледника. Так, размер среднего ледника (в км²) в частных бассейнах равен: р. Матча 1,04, р. Ягноб 0,37, р. Фандарья 0,52,

нижние притоки р. Зеравшана 0,36, бассейн р. Зеравшана в целом 0,77. С учетом ледников площадью менее 0,1 км² эта величина уменьшается в среднем на 20—30% и равна соответственно: 0,84; 0,25; 0,33; 0,25; 0,58 км².

Экспозиция ледников. Широтное простирание хребтов и общая вытянутость бассейна р. Зеравшана с востока на запад обусловили распространение здесь большого количества ледников северной и южной ориентаций. В рассматриваемом ледниковом бассейне как по количеству, так и по площади преобладают ледники северной, северо-западной и северо-восточной экспозиций — 70,7 и 56,3% соответственно. Ледники южной, юго-западной и юго-восточной экспозиций составляют 11,2% числа ледников и 32,3% их площади. Очень мало ледников ориентировано на восток и запад (рис. 4, табл. 5). В среднем ледники южных румбов в 3,5 раза крупнее ледников северных экспозиций (2,2 и 0,6 км²) и именно в них сосредоточено более половины (57,5%) объема льда всего бассейна. Решающую роль в этом играет оледенение бассейна р. Матча. Вот каково соотношение (в %)

разных показателей ледников северных румбов в оледенении районов:

Районы	Количество	Площадь	Объем льда	Площадь среднего ледника, км ²
I	64,8	48,0	31,5	0,77
II	76,3	80,6	83,3	0,39
III	66,7	83,3	88,1	0,57
IV	83,0	83,0	84,9	0,36

Из общей довольно стройной картины выпадает район I, в котором максимум объема льда заключен в ледниках южных экспозиций. В основном это самые крупные ледники, о которых говорилось выше.

Следует также обратить внимание на сходство всех показателей в районах II и IV.

Морфологические типы. Своеобразие физико-географических условий бассейна налагает определенный отпечаток на формы оледенения. Ши-

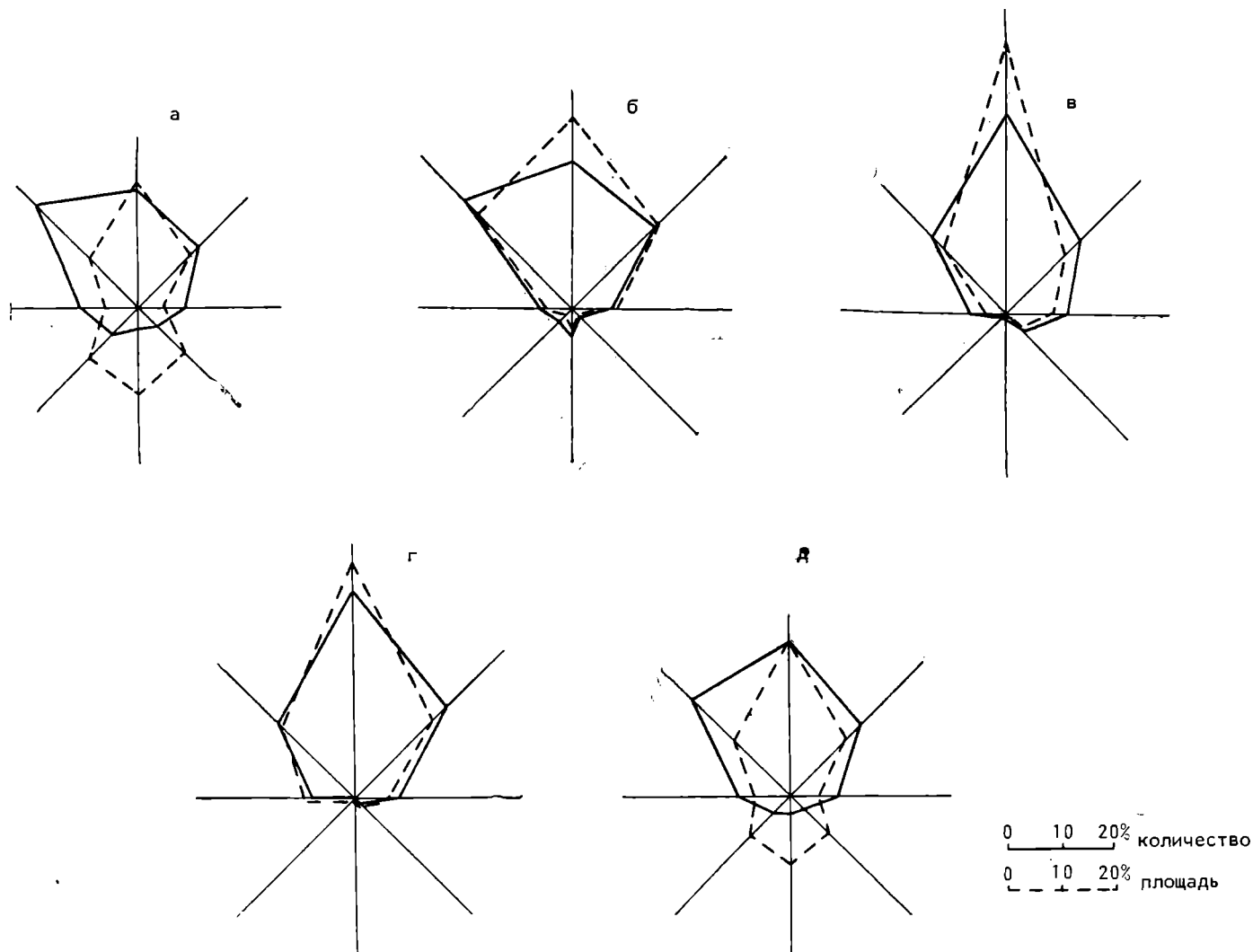


Рис. 4. Распределение ледников по экспозициям в бассейнах рек Матча (а), Ягноб (б), Фандарья (в), нижних притоков р. Зеравшана (г) и Зеравшана в целом (д).

Распределение ледников по величине их площади

Площадь, км ²	Бассейн р. Матча			Бассейн р. Ягноб		
	количество	площадь	объем, км ³	количество	площадь	объем, км ³
Менее 0,1	<u>131</u> 21,8	<u>8,4</u> 1,6	0,0222	<u>88</u> 39,5	<u>5,1</u> 9,3	0,0118
0,1—0,5	<u>321</u> 53,4	<u>84,6</u> 16,0	1,2793	<u>115</u> 51,6	<u>26,9</u> 49,0	0,3879
0,6—1,0	<u>63</u> 10,5	<u>48,3</u> 9,1	1,1542	<u>12</u> 5,4	<u>7,9</u> 14,4	0,1737
1,1—5,0	<u>79</u> 13,2	<u>149,7</u> 28,2	5,9787	<u>8</u> 3,5	<u>15,0</u> 27,3	0,5712
5,1—10,0	<u>3</u> 0,5	<u>20,4</u> 3,9	1,4429	—	—	—
10,1—20,0	<u>2</u> 0,3	<u>31,9</u> 6,0	3,4569	—	—	—
Более 20,0	<u>2(33)</u> 0,3	<u>186,6</u> 35,2	19,3793	—	—	—
Итого	601 (632)	530,2	32,7135	223	54,9	1,1446
% общей суммы	48,4	74,9	88,7	18,0	7,7	3,1

Примечание. Дендритовые ледники не расчленены на составные части. В скобках указано общее количество ледников и общая площадь ледников бассейна.

Распределение ледников

Экспозиция	Бассейн р. Матча			Бассейн р. Ягноб		
	количество	площадь	объем, км ³	количество	площадь	объем, км ³
С	<u>111</u> 22,1	<u>119,1</u> 22,8	5,4232	<u>37</u> 27,5	<u>17,3</u> 34,7	0,4259
СВ	<u>79</u> 15,8	<u>67,7</u> 13,0	3,1653	<u>29</u> 21,3	<u>10,8</u> 21,7	0,2403
В	<u>44</u> 8,8	<u>23,3</u> 4,5	0,6398	<u>11</u> 8,1	<u>4,4</u> 8,8	0,1107
ЮВ	<u>25</u> 5,0	<u>61,7</u> 11,8	5,5015	<u>2</u> 1,5	<u>0,6</u> 1,2	0,0088
Ю	<u>19</u> 3,8	<u>84,5</u> 16,2	7,8858	<u>7</u> 5,2	<u>1,5</u> 3,0	0,0202
ЮЗ	<u>34</u> 6,8	<u>68,9</u> 13,2	7,6212	<u>4</u> 3,0	<u>0,8</u> 1,6	0,0110
З	<u>54</u> 10,8	<u>33,0</u> 6,3	0,8343	<u>8</u> 5,9	<u>2,4</u> 4,8	0,0381
СЗ	<u>135</u> 26,9	<u>63,6</u> 12,2	1,6202	<u>37</u> 27,5	<u>12,0</u> 24,2	0,2778
Итого	501	521,8	32,6913	135	49,8	1,1328

ротное расположение параллельных хребтов, между которыми образуются узкие глубокие долины, создает благоприятные условия для развития крупных долинных ледников, выделенных Н. Л. Корженевским в особый тип ледников продольных долин (Зеравшанский ледник). Другой разновидностью долинных ледников, имеющихся в бассейне р. Зеравшана, являются ледники, занимающие днища поперечных долин. Эти ледники отличаются не только меньшими размерами, но и разнообразными переходными формами. Размеры ледников

поперечных долин колеблются в больших пределах — от 1 до 10—15 км² и более.

Среди долинных ледников в зависимости от характера питания различают альпийский и туркестанский типы. Ледники альпийского типа имеют выраженный фирновый бассейн, нередко отличающийся сложной формой. На языках таких ледников обычно насчитывается несколько продольных моренных валов, а их концевая часть полностью или частично покрыта поверхностной мореной,

в частных речных бассейнах

Бассейн р. Фандарьи			Бассейны нижних притоков р. Зеравшана			Всего		
количество	площадь	объем, км ³	количество	площадь	объем, км ³	количество	площадь	объем, км ³
99	5,0	0,0101	62	3,3	0,0703	380	21,8	0,1144
40,7	6,2		35,6	7,7		30,6	3,1	
103	23,7	0,3351	92	20,8	0,2894	631	156,3	2,2917
42,4	29,6		52,9	48,0		50,8	22,1	
23	17,0	0,3986	16	12,6	0,3050	114	85,8	2,0315
9,5	21,2		9,2	29,1		9,2	12,1	
18	34,4	1,3893	4	6,6	0,2422	109	205,7	8,1814
7,4	43,0		2,3	15,2		8,8	29,0	
—	—	—	—	—	—	3	20,4	1,4429
—	—	—	—	—	—	0,2	2,9	
—	—	—	—	—	—	2	31,9	3,4569
—	—	—	—	—	—	0,2	4,5	
—	—	—	—	—	—	2(33)	186,6	19,3793
—	—	—	—	—	—	0,2	26,3	
243	80,1	2,1331	174	43,3	0,9069	1241(1272)	708,5	36,8981
19,6	11,3	5,8	14,0	6,1	2,4			

ков, включая и ледники, входящие в состав дендритовых. В числителе — количество и площадь (км²), в знаменателе —

Таблица 5

по экспозициям

Бассейн р. Фандарьи			Бассейны нижних притоков р. Зеравшана			Всего		
количество	площадь	объем, км ³	количество	площадь	объем, км ³	количество	площадь	объем, км ³
54	38,8	1,3193	44	17,5	0,4334	246	192,7	7,6018
37,5	51,7		39,3	43,8		27,6	28,2	
27	11,2	0,2567	27	8,1	0,1404	162	97,8	3,8027
18,8	14,9		24,1	20,2		18,2	14,2	
16	6,5	0,1310	9	2,3	0,0363	80	36,5	0,9178
11,1	8,6		8,0	5,8		9,0	5,3	
6	2,7	0,0610	1	0,7	0,0158	34	65,7	5,5871
4,2	3,6		1,0	1,7		3,8	9,5	
2	0,5	0,0068	—	—	—	28	86,5	7,9128
1,4	0,7		—	—	—	3,1	12,6	
1	0,1	0,0009	—	—	—	39	69,8	7,6331
0,7	0,1		—	—	—	4,3	10,2	
10	2,8	0,0522	9	3,8	0,0745	81	42,0	0,9991
6,9	3,7		8,0	9,5		9,1	6,1	
28	12,5	0,2951	22	7,6	0,1362	222	95,7	2,3293
19,4	16,7		19,6	19,0		24,9	13,9	
144	75,1	2,1230	112	40,0	0,8366	892	686,7	36,7837

Распространены они преимущественно в Матчинском узле оледенения.

У ледников туркестанского типа фирновая область выражена слабо, иногда практически отсутствует. Их питание осуществляется за счет сходящих со склонов лавин и обвалов снега и фирна, в связи с чем большая часть поверхности ледника покрыта моренным материалом. Классическим примером ледников туркестанского типа может служить долинный ледник № 757, расположенный в бассейне р. Пасрут (площадь его 1,6 км², длина

2,3 км, ширина около 600 м). Ледник залегает в небольшой сильно затененной долине. Почти отвесные склоны возвышаются над его поверхностью примерно на 1000—1250 м, кое-где на «полочках» располагаются пятна фирнизированного снега.

Из табл. 6 видно, что в бассейне р. Зеравшана встречается 13 типов ледников: от небольших ледников кулуаров размерами 0,1—0,2 км² до крупных сложных долинных и дендритовых ледников, каким является Зеравшанский ледник. В целом в бассейне наиболее распространенными

Тип ледника	Бассейн р. Матча				Бассейн р. Ягноб			
	количество	площадь	объем, км ³	средняя площадь ледника	количество	площадь	объем, км ³	средняя площадь ледника
Дендритовый	2(33)	186,6	19,3793	93,3	—	—	—	—
	0,4	35,8						
Сложный долинный	8	58,9	5,1764	7,4	—	—	—	—
	1,7	11,3						
Долинный	60	102,7	4,2111	1,7	10	14,8	0,5574	1,5
	12,8	19,7			7,4	29,7		
Асимметричный долин- ный	5	3,3	0,0748	0,7	4	1,7	0,0312	0,4
	1,1	0,6			3,0	3,4		
Висячий долинный	47	43,7	1,2982	0,9	7	3,2	0,0603	0,5
	10,0	8,4			5,2	6,4		
Карово-долинный	59	43,2	1,1194	0,7	12	6,1	0,1236	0,5
	12,6	8,3			8,9	12,4		
Каровый	129	39,3	0,6642	0,3	52	12,9	0,2056	0,2
	27,4	7,5			38,5	25,9		
Висячий каровый	47	20,6	0,4495	0,4	11	2,8	0,0422	0,3
	10,0	3,9			8,2	5,6		
Карово-висячий	43	9,6	0,1345	0,2	24	5,1	0,0688	0,2
	9,1	1,8			17,8	10,2		
Висячий	46	9,2	0,1230	0,2	6	0,9	0,0099	0,2
	9,8	1,8			4,4	1,8		
Присклоновый	6	1,3	0,0178	0,2	3	0,6	0,0072	0,2
	1,3	0,2			2,2	1,2		
Склоновый	10	1,8	0,0220	0,2	6	1,7	0,0266	0,3
	2,1	0,4			4,4	3,4		
Кулуаров	8	1,6	0,0210	0,2	—	—	—	—
	1,7	0,3						
Итого	470	521,8	32,6913	1,1	135	49,8	1,1328	0,4
% общей суммы	(501)							
	54,6	76,0	88,8		15,7	7,3	3,1	

Примечание. Дендритовые ледники не расчленены на составные части. В скобках указано общее количество ледни.

являются разновидности каровых ледников (каровые, висячие каровые, карово-долинные), они составляют 51,7 %, но занимают лишь 24 % площади оледенения. Преобладающая часть площади (69,6 %) занята разного рода долинными, сложными долинными и дендритовыми ледниками, которые составляют 24,5 % всех ледников. Заметную роль в оледенении бассейна играют висячие и карово-висячие ледники (17,3 % количества и лишь 4,5% площади). Большое количество каровых и висячих ледников связано, очевидно, с де-

градацией существовавших ранее более крупных ледников, о чем свидетельствуют повсеместно встречающиеся фронтальные и береговые морены, расположенные на значительном удалении от концов современных ледников. Единичные склоновые и присклоновые ледники встречаются во всех частях бассейна, но какой-либо заметной роли в оледенении они не играют. 89,1 % общего объема льда заключено в сложных долинных ледниках, 9,3 % — в каровых, на долю же остальных типов ледников приходится лишь 1,6% объема льда.

Таблица 7

Распределение количества (K), площади (S) и объема льда (V) различных групп ледников в частных бассейнах, %

Группа ледников	Бассейн р. Матча			Бассейн р. Ягноб			Бассейн р. Фандарья			Бассейны нижних притоков р. Зеравшана			Бассейн р. Зеравшана в целом		
	K	S	V	K	S	V	K	S	V	K	S	V	K	S	V
Долинные	26,0	75,8	92,2	15,6	39,5	57,4	32,7	61,4	71,2	18,8	43,0	57,7	24,5	69,9	89,1
Каровые	50,0	19,7	6,8	55,6	43,9	32,6	49,9	32,1	25,6	56,3	43,3	34,0	51,7	24,2	9,3
Висячие	18,9	3,6	0,8	24,4	13,2	7,0	16,0	5,9	2,4	24,9	13,7	4,1	17,3	4,5	1,1

по морфологическим типам

Бассейн р. Фандарьи				Бассейны нижних притоков р. Зеравшана				Всего			
количество	площадь	объем, км ³	средняя площадь ледника	количество	площадь	объем, км ³	средняя площадь ледника	количество	площадь	объем, км ³	средняя площадь ледника
—	—	—	—	—	—	—	—	2(33)	186,6	19,3793	93,3
—	—	—	—	1	2,8	0,1265	2,8	0,2	27,2	—	—
—	—	—	—	0,9	7,0	—	—	9	61,7	5,3029	6,9
32	37,7	1,3039	1,2	13	9,9	0,2502	0,8	1,0	9,0	—	—
22,2	50,2	—	—	11,6	24,8	—	—	115	165,1	6,3226	1,4
1	0,2	0,0024	0,2	2	0,9	0,0169	0,4	13,4	24,0	—	—
0,7	0,3	—	—	2	0,9	—	—	12	6,1	0,1253	0,5
14	8,2	0,2077	0,6	1,8	2,2	—	—	1,4	0,9	—	—
9,8	10,9	—	—	5	3,6	0,0891	0,7	73	58,7	1,6553	0,8
20	12,7	0,3829	0,6	4,5	9,0	—	—	8,5	8,5	—	—
13,9	17,1	—	—	12	5,4	0,1010	0,5	103	67,4	1,7269	0,6
48	10,7	0,1545	0,2	10,7	13,5	—	—	11,9	9,8	—	—
33,2	14,2	—	—	47	11,1	0,1730	0,2	276	74,0	1,1973	0,3
4	0,7	0,0081	0,2	42,0	27,8	—	—	32,1	10,8	—	—
2,8	0,9	—	—	4	0,8	0,0101	0,2	66	24,9	0,5099	0,4
3	0,4	0,0042	0,1	3,6	2,0	—	—	7,7	3,6	—	—
2,1	0,5	—	—	7	1,4	0,0182	0,2	77	16,5	0,2257	0,2
13	2,8	0,0392	0,2	6,3	3,5	—	—	8,9	2,4	—	—
9,0	3,7	—	—	7	1,3	0,0163	0,2	72	14,2	0,1884	0,2
7	1,3	0,0153	0,2	6,3	3,2	—	—	8,4	2,1	—	—
4,9	1,7	—	—	14	2,8	0,0353	0,2	30	6,0	0,0756	0,2
1	0,2	0,0024	0,2	12,3	7,0	—	—	3,5	0,9	—	—
0,7	0,3	—	—	—	—	—	—	17	3,7	0,0510	0,2
1	0,2	0,0024	0,2	—	—	—	—	2,0	0,5	—	—
0,7	0,3	—	—	—	—	—	—	9	1,8	0,0235	0,2
—	—	—	—	—	—	—	—	1,0	0,3	—	—
144	75,1	2,1230	0,5	112	40,0	0,8366	0,4	861 (892)	686,7	36,7837	0,8
16,7	10,9	5,8	—	13,0	5,8	2,3	—	—	—	—	—

ков, включая и ледники, входящие в состав дендритовых.

В частных бассейнах подавляющая часть объема также заключена в долинных ледниках, хотя по количеству всюду преобладают каровые (табл. 7). Площадь оледенения для отдельных групп ледников в разных районах распределена по-разному. Так, в районах I и III первое место занимают долинные ледники, а в районе II и IV — каровые. В бассейнах р. Ягноб и левых притоков р. Зеравшана поражает удивительное сходство в распределении всех показателей различных групп ледников. Ранее было отмечено, что аналогичное сходство обнаруживается здесь и в распределении ледников по размерам и по экспозиции. Из анализа табл. 4—7 можно заключить, что характер оледенения бассейна р. Ягноб и бассейнов левых притоков р. Зеравшана одинаков. В обоих районах распространены в основном небольшие (0,1—0,5 км²) разного рода каровые и висячие ледники северных экспозиций. В отличие от этих районов в замкнутом бассейне р. Фандарьи заметную роль играют карово-долинные и долинные ледники размерами более 1,0 км², причем долинные ледники занимают здесь более 60 % площади. В бассейне р. Матча их роль

еще более возрастает, размеры их увеличиваются до 10,0 км² и более, причем среди крупных ледников преобладают ледники, обращенные на юг.

Интересно распределение ледников по склонам хребтов. Наибольшее количество их (273 или 30,6 %) расположено на северном склоне Зеравшанского хребта, достаточно высоком и сильно расчлененном на множество разветвленных поперечных долин. Здесь довольно много (24 % общего количества ледников склона) разного типа долинных ледников (висячих, асимметричных, сложных долинных), размеры которых в большинстве случаев превышают 3—4 км². Общая площадь, занятая долинными ледниками, составляет 65 % площади оледенения склона. Однако наибольшее развитие на северном склоне Зеравшанского хребта получили небольшие каровые и висячие ледники размерами до 0,5 км², количество которых составило почти 72 % всех ледников, а занимаемая ими площадь лишь 25 %. Поэтому общая площадь оледенения склона, несмотря на самое большое количество ледников, равна лишь 30 % площади оледенения всего бассейна р. Зеравшана.

Первое место по площади оледенения принадлежит южному склону Туркестанского хребта (46,3%). Здесь расположены наиболее крупные ледники, которые занимают почти четверть всей площади оледенения бассейна р. Зеравшана. Это долинные и сложные долинные ледники размерами более 10,0 км², и хотя их количество не превышает 3% всех ледников склона, занимаемая ими площадь составляет 43,4% его площади оледенения.

Помимо этих крупных ледников, здесь имеется еще много (30%) долинных ледников меньших размеров, занимающих почти такую же площадь. Таким образом, более 80% площади оледенения склона принадлежит долинным ледникам. Размеры среднего ледника на южном склоне Туркестанского хребта в 1,5—3 раза больше, чем на склонах других хребтов бассейна (табл. 8).

Таблица 8

Распределение ледников по склонам хребтов

Склон хребта	Средняя высота хребта, м	Количество ледников	Общая площадь оледенения, км ²	Площадь среднего ледника, км ²	Длина среднего ледника, км
Южный склон Туркестанского хребта	4190	234	317,9	1,4	2,0
Северный склон Зеравшанского хребта	4140	273	205,5	0,8	1,3
Южный склон Зеравшанского хребта	4140	41	12,2	0,3	0,9
Северный склон Гиссарского хребта	3980	235	106,5	0,5	1,1
Горы Дугдон, Фанские горы	3990	109	44,6	0,4	1,0
Всего		892	686,7	0,8	1,4

Такое же количество ледников, как на южном склоне Туркестанского хребта, расположено и на северном склоне Гиссарского, но площадь оледенения здесь в три раза меньше. Сравнительно небольшая средняя высота хребта и меньшая увлажненность, особенности морфологии склона обусловили развитие мелких ледников. Самый крупный ледник имеет площадь 2,9 км². Основную массу составляют каровые и висячие ледники размерами не более 0,5 км², однако 51% площади принадлежит все-таки долинным ледникам. Сходная картина наблюдается в горах Дугдон и Фанских горах, являющихся соединительной перемычкой между хребтами Гиссарским и Зеравшанским. Здесь также развиты преимущественно каровые и висячие ледники небольших размеров (80% ледников имеют размеры до 0,5 км²), а самые крупные долинные имеют площадь 1,6 км² (№ 757) и 3,8 км² (№ 747). Вообще оледенение гор Дугдон и Фанских невелико и составляет лишь 12% общего количества ледников и 6,5% общей площади оледенения всего бассейна р. Зеравшана.

Очень мало ледников (всего 41) на южном склоне Зеравшанского хребта, причем 90% из них размерами до 0,5 км² занимают почти 70% площади оледенения склона. Ледники в основном висячие и карово-висячие.

Распределение ледников по экспозициям на северных склонах Зеравшанского и Гиссарского хребтов и в Фанских горах, как правило, соответствует общей экспозиции склона — подавляющее число ледников и значительная часть площади оледенения имеет экспозиции северных румбов (рис. 5 б, г, д). В Туркестанском хребте, несмотря на общую южную экспозицию склона, почти половина ледников (42,6%) ориентирована на северо-запад, север и северо-восток. Однако в отличие от ледников южных румбов, на долю которых прихо-

дится 31,3% количества и 67,0% площади оледенения склона, они занимают лишь 20% площади (рис. 5 а). На южном склоне Зеравшанского хребта более половины ледников ориентировано на север, а наиболее значительная часть площади ледников на восток (рис. 5 в). Таким образом, на южных склонах хребтов ледники стремятся занять даже небольшие отрицательные формы рельефа, экспонированные на север. Здесь в световой тени условия накопления твердых осадков и существования ледников лучше, чем в открытых к югу карах и долинах даже большего размера. Ледники южных румбов, как правило, в несколько раз крупнее; особенно это заметно на южном склоне Туркестанского хребта.

Распределение оледенения по высотным зонам характеризуется тем, что 60% площади ледников расположено ниже фирновой линии, высота которой в среднем по бассейну составляет 4000 м. Причем на северных склонах Зеравшанского и Гиссарского хребтов более 3/4 площади ледников располагается ниже границы питания (76 и 85% соответственно), на южном склоне Туркестанского хребта величина эта соответствует средней по бассейну (58%), а на южном склоне Зеравшанского хребта ниже фирновой линии лежит лишь 25% площади.

Максимум оледенения располагается на таких высотных интервалах:

	Высотная зона, м	% площади оледенения
Южный склон Туркестанского хребта	3900—4200	37
Северный склон Зеравшанского хребта	3700—4000	48
Южный склон Зеравшанского хребта	4100—4400	51
Северный склон Гиссарского хребта	3700—3900	45

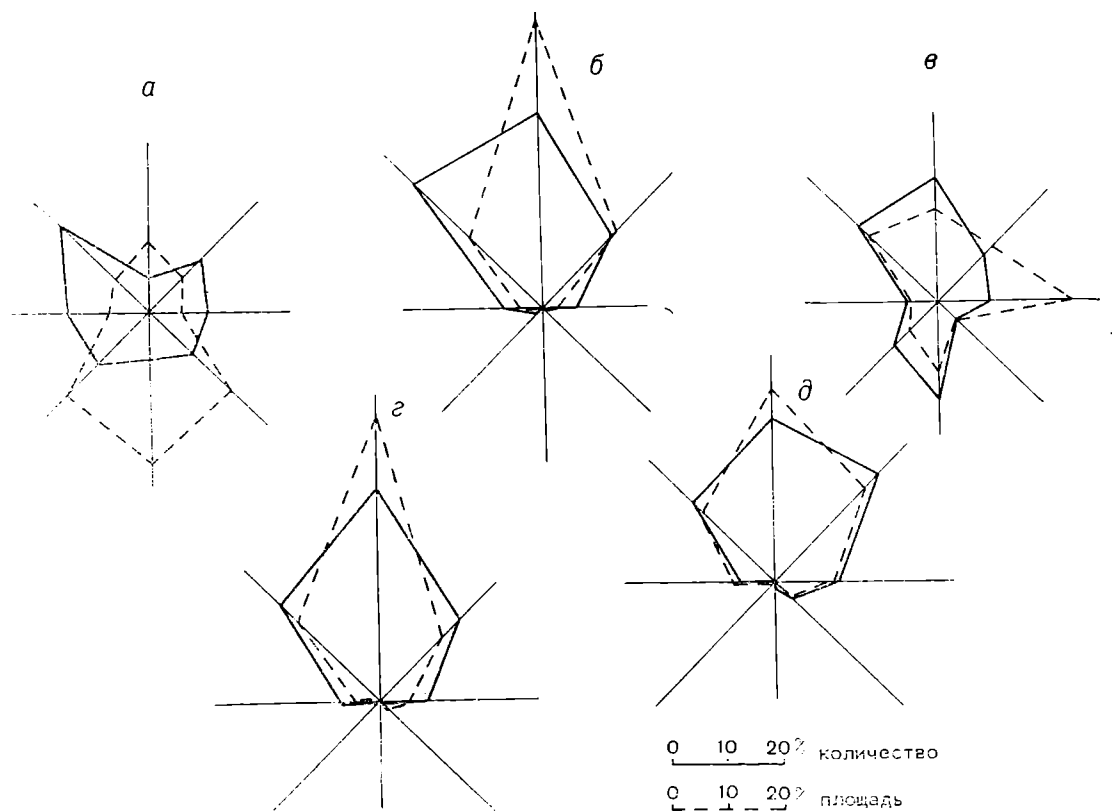


Рис. 5. Распределение ледников по экспозициям на южном склоне Туркестанского хребта (а), северном склоне Зеравшанского хребта (б), южном склоне Зеравшанского хребта (в), северном склоне Гиссарского хребта (г). горах Дугдон и Фанских (д).

Как видим, на южных склонах максимум оледенения располагается выше, чем на северных. Ниже этой зоны на северных склонах хребтов расположено 30 % площади ледников, на южных склонах несколько больше: 45 % на Туркестанском и 35 % на Зеравшанском хребтах. По мере продвижения с запада на восток зона максимального развития ледников постепенно сдвигается на более низкие уровни, что связано с увеличением количества осадков и общим изменением характера оледенения по направлению от периферии в глубь бассейна. Вместе с увеличением средней высоты хребтов в этом направлении растет высота верхней отметки ледников, увеличивается их длина и площадь и одновременно понижается высота фирновой линии, концы ледниковых языков опускаются до более низких уровней, а ледники в среднем становятся более пологими (табл. 9). Некоторые колебания высотного положения ледников на отдельных участках склонов, возможно, связаны и с преобладанием того или иного типа ледников. Так, небольшое увеличение высоты ледников в центральной части Туркестанского хребта может быть связано с наличием здесь, наряду с долинными ледниками, многочисленных каровых, висячих и карово-висячих ледников, расположенных в пригребневой зоне. Сравнительно низок уровень ледниковой зоны на западном участке северного склона Зеравшанского хребта, где нередки склоновые и присклоновые ледники, располагающиеся обычно в нижних частях склонов. Этим же объясняется и меньший уклон

поверхности ледников. На северном склоне Гиссарского хребта наиболее крупные ледники, с наиболее плоской поверхностью и низкой фирновой линией характерны не для восточного, а для центрального участка. Здесь, в бассейне р. Искандарья, много долинных и карово-долинных ледников, в то время как на востоке, в бассейне р. Ягноб, преобладают небольшие, высоко лежащие каровые и висячие ледники. В связи с этим, а также вследствие понижения количества осадков в бассейне р. Ягноб, нижние отметки ледников и высота фирновой линии в направлении с запада на восток несколько повышается. Наиболее низкое положение их на западе хребта объясняется также и тем, что 17 % ледников здесь присклоновые.

Следует иметь в виду, что поскольку приводимые здесь характеристики вычислялись как средние арифметические, то такие показатели, как высотные отметки и уклоны поверхности, несколько завышены (особенно уклоны) ввиду того, что повсеместно наиболее распространенными по количеству являются небольшие каровые ледники. По этой же причине занижены средние показатели длины и площади ледников.

Ледники бассейна р. Зеравшана покрыты мореной в различной степени. Наибольшая заморенность ледников наблюдается в бассейне р. Матча, что, безусловно, связано с наиболее сильной расчлененностью обоих склонов долины. Например, в бассейне р. Самджон перед тремя ледниками на расстоянии 200—300 м от языка был обнаружен

Характеристики среднего ледника по отдельным участкам хребтов бассейна р. Зеравшана

Участок хребта (№ ледника)	Длина, км	Площадь, км ²	Высота, м			Морена, %	Уклон поверхности, град.
			нижней точки ледника	верхней точки ледника	фирновой линии		
Южный склон Туркестанского хребта							
Западный (№ 1—25)	0,7	0,2	3980	4340	4190	0	25,4
Центральный (№ 26—167)	1,5	0,8	3960	4580	4250	15,6	23,9
Восточный (№ 168—213, 223—243)	3,2	3,0	3750	4680	4170	12,8	21,4
Северный склон Зеравшанского хребта							
Западный (№ 464—501)	0,7	0,2	3850	4160	3980	2,1	22,0
Центральный (№ 392—463)	1,3	0,6	3810	4370	4080	15,7	24,0
Восточный (№ 214—222, 244—391)	1,7	1,0	3750	4380	4000	15,5	22,3
Южный склон Зеравшанского хребта							
№ 502—542	0,9	0,3	3870	4300	4010	1,6	25,4
Северный склон Гиссарского хребта							
Западный (№ 31—112)	0,9	0,4	3680	3940	3830	2,7	20,1
Центральный (№ 637—713)	1,2	0,6	3760	4130	3950	4,5	18,6
Восточный (№ 543—636)	1,0	0,4	3810	4160	3970	3,4	22,0

«мертвый лед», покрытый метровым слоем морены. Благодаря такому мощному моренному покрытию участки погребенного льда практически не тают. Для оценки интенсивности таяния льда под мореной на леднике № 111 были поставлены наблюдения за таянием под мореной различной мощности. Оказалось, что за 10 дней (с 2 по 11/VII 1963 г.) при прочих равных условиях под мореной мощностью 5, 10—20, 30 и 40 см стаяло соответственно 19, 3, 2 и 1 см льда. Под мореной мощностью 50 см таяния практически не было. Ледники южного склона Зеравшанского хребта практически лишены морены, а на северном склоне Гиссарского хребта морен очень мало.

Толщина и объем ледников. Непосредственные измерения мощности льда были произведены в 1962 и 1966 гг. лишь на ледниках Зеравшанском и Имат (см. описание ледников).

Общий запас льда в бассейне р. Зеравшана составляет 36,86 км³. Из этого объема 88,6% сосредоточено в ледниках бассейна р. Матча, где расположены все крупнейшие ледники района. Только в Зеравшанском леднике и его притоках заключено 40,5% общего объема льда бассейна, а в ледниках, размеры которых превышают 10,0 км², — 61,9%. Для сравнения скажем, что в наиболее распространенных ледниках размерами до 0,5 км² объем льда в 10 раз меньше — 6,2%. Поскольку все крупные ледники находятся на южном склоне Туркестанского хребта, то на его долю приходится 65,4% всего объема льда, а 23,2% располагается на северном склоне Зеравшанского хребта. В остальных бассейнах объем льда распределяется таким образом: р. Ягноб — 3,3%, р. Фандарья — 5,8%, нижние притоки р. Зеравшана — 2,3%. Ничтожно малый объем льда заключен в ледниках южного склона

Зеравшанского хребта — 0,6%. На северном склоне Гиссарского хребта он составляет 7,2%, в горах Дугдон и Фанских горах 3,6%.

Различные условия развития оледенения в бассейне обуславливают разнообразие скоростей движения ледников. Например, у Зеравшанского ледника скорости меняются от 20—25 см/сут в верховьях до нуля у конца языка, где установлено наличие «мертвого» льда. У ледника Имат, по трехлетним наблюдениям, скорость у конца языка равнялась 14 см/сут.

Зеравшанский ледник — один из крупнейших ледников Средней Азии — берет начало на стыке трех горных хребтов — Туркестанского, Зеравшанского и Алайского. Сначала он стекает в южном направлении по долине между отрогами хребта, затем вблизи пер. Матча резко поворачивает на запад и дальше течет между Туркестанским и Зеравшанским хребтами, принимая слева и справа многочисленные притоки. За счет них ледник получает основное питание, так как не имеет собственного обширного поля или цирка для накопления снега и льда. Он относится к типу дендритовых ледников с разветвленной сетью притоков I и II порядка. Система ледника Зеравшанский состоит из 21 ледника общей площадью 132,6 км², в которых заключено 14,8534 км³ льда. Площадь основного потока Зеравшанского ледника равна 38,7 км², длина 27,8 км. Площадь области аккумуляции составляет всего 13,0 км². При сравнительно большой длине ледник в общем узкий, средняя ширина его 1,6 км. Поверхность его довольно пологая, со средним уклоном около 8°.

Морфология ледниковой поверхности неоднородна. От истоков ледника до его поворота на запад простирается ровное фирновое поле. В период

абляции здесь характерны пятна сезонного снега, лежащие на фирновом льду. Кроме того, наблюдаются постоянные снежные скопления в присклоновых частях ледника. Это результат лавин и многочисленных снежных обвалов с отвесных склонов долины. Фирновый лед местами пересечен большими поперечными трещинами. От поворота до впадения ледника Толстова располагается зона с частичным моренным покровом. Большая срединная и боковые морены, прослеживающиеся от ледника Мирамин, перемежаются широкими полосами чистого льда. Трещины на этом участке приурочены к прибортовым частям ледника, тогда как в срединной части они встречаются довольно редко. Поверхность ровная, спокойная, с уклоном всего около 3°. Нижний участок от ледника Толстова до конца языка ледника сильно изрезан трещинами, хаотически загроможден моренным материалом. Это зона сплошного моренного покрова на поверхности льда. Мощность чехла достигает 50 см. Боковые морены правых притоков, выходящие на главный ледник, сохраняют свою структуру и простираются далеко вниз по основному стволу ледника. Для этой зоны характерны ледниковые озера, располагающиеся в понижениях поверхности ледника.

Зеравшанский ледник принимает одиннадцать притоков, многие из которых имеют собственные притоки. Левые притоки, стекающие с северного склона Зеравшанского хребта, как правило, невелики, располагаются в висячих долинах и впадают в основной ствол ледника, иногда соединяясь с ним крутым ледопадом. Правые притоки, стекающие с южного склона Туркестанского хребта, много крупнее, сами являются сложными долинными ледниками, залегают в хорошо выработанных поперечных долинах. Морфология поверхности ледников Фарахнау и Толстова на их боковых участках в месте слияния с основным потоком Зеравшанского ледника имеет черты малоактивного льда — озера, глубокие провалы, что говорит о сокращении

мощность льда. По данным электрозондирования, проведенного в 1962 г., средняя мощность льда Зеравшанского ледника составляет 200 м. Вычисления по формуле Н. В. Ерасова дают величину в 170 м, однако известно, что для крупных ледников эта формула дает результаты, заниженные на 20—25 %, так что мощность льда в 200 м представляется вполне вероятной.

Зеравшанский ледник — наиболее низко спускающийся ледник бассейна, конец его языка расположен на высоте 2810 м. Высота фирновой линии составляет примерно 4000 м. Исследования вещественного баланса ледника не проводились, однако в 1972 г. Д. П. Соколов (табл. V/35) сделал попытку оценить соотношения элементов водного баланса Зеравшанского ледника на основании некоторых краткосрочных измерений, проводившихся на леднике в разные годы разными исследователями, и вычисленных зависимостей.

Основная приходная часть водного баланса ледника — осадки. Среднее количество их у конца языка составляет 950 мм, на уровне фирновой линии 1250 мм, на высоте 5000 м и более свыше 1500 мм. Суммарный объем осадков, выпадающих на всю площадь бассейна Зеравшанского ледника, оказался равным 0,3885 км³, или 1250 мм в слое воды. Вторая приходная часть водного баланса ледника — конденсация паров на его поверхности — очень незначительна и, по мнению многих исследователей, не превышает испарение льда, поэтому в балансовых расчетах этими величинами можно пренебречь. Среднее за сутки испарение на высоте 3600 м в последней декаде августа 1946 г. не превышало 1 см (табл. V/9), в июле — августе 1961 и 1962 гг. составляло от 0,4 до 0,6 см.

Основной расходной частью водного баланса ледника является поверхностное стайвание льда. За июль — август 1946 г. на высоте 3600 м стаяло 3,88 м льда. При подсчете баланса целесообразнее использовать объем стока с ледника, полученный

Таблица 10

Отступление Зеравшанского ледника, по Л. К. Давыдову и Д. П. Соколову (табл. V/35)

Левая часть ледника				Правая часть ледника			
Годы	Число лет	Отступление, м	Скорость отступления, м/год	Годы	Число лет	Отступление, м	Скорость отступления, м/год
1880—1898	18	405	22	1880—1908	28	0	0
1898—1908	10	427	43				
1908—1927	19	300	16	1908—1927	19	210	11
1927—1932	5	68	14				
1932—1946	14	157	11	1927—1946	19	155	8
1880—1946	66	1357	20,5	1880—1946	66	365	5,5
1946—1957	11	200	18	1946—1957	11	90	8
1880—1957	77	1557	20	1880—1957	77	455	6

поступления вещества и регрессии притоков и обуславливает одну из причин деградации Зеравшанского ледника. Об этом же свидетельствует положение боковых и конечных морен, а также сравнительно небольшая для такого крупного ледника

непосредственными измерениями. Средний многолетний сток составляет 0,454 км³, или 1510 мм в слое воды. Таким образом, разность между приходной и расходной частями баланса вещества ледника составляет 65,5 млн. м³ воды. Следовательно

но, Зеравшанский ледник находится в стадии отступления, и запасы льда непрерывно уменьшаются. Этот вывод подтверждается и материалами наблюдений за изменениями конца языка ледника. Как видно из табл. 10, левая часть ледника отступает значительно интенсивнее правой. Усиленно разрушается ледниковый грот, который в июне 1962 г. в результате обрушивания ледяной кровли русла р. Матча отодвинулся на 500 м выше по сравнению с сентябрем 1961 г. Средняя скорость отступления левой части ледника начиная с периода 1908—1927 гг. уменьшалась, но за последний период (1946—1957 гг.) опять возросла. Скорость отступления правой части ледника с 1927 по 1967 г. в общем не менялась, что можно объяснить наличием здесь крупных притоков, значительно лучше пополняющих запасы льда основного ствола, чем с левой стороны.

Отступление Зеравшанского ледника выражается и в целом ряде других явлений. Так, ледник Парах в 1880 г. соединялся с Зеравшанским ледником, а в 1906 г. В. Рикмерс (табл. V/41) отметил уже разрыв между ними. По сообщению Л. К. Давыдова (табл. V/6), в 1927 г. это расстояние составляло почти 200 м, а в 1946 г. увеличилось до 600 м. В 1962 г. (табл. V/35) расстояние от конца языка ледника Парах до впадения р. Парах в р. Матча составляло уже 760 м.

Увеличивается высота моренных гряд на Зеравшанском леднике и его крупных притоках. Так, в 1932 г. в районе ледника Скачкова моренные гряды возвышались над льдом не более чем на 20 м (табл. V/38), в 1946 г.—уже на 30 м (табл. V/5, 6). О длительном и непрерывном сокращении Зеравшанского ледника и его притоков свидетельствуют также уменьшение запасов льда в его полуцирке, деформация устьевых участков его притоков и их отрыв от главного ледника и, наконец, общее понижение поверхности всего ледника, равное в среднем 60 см в год.

Ледник Имат — типичный ледник Зеравшанского бассейна — был объектом полустационарных исследований в летние месяцы 1964—1968 и 1970 гг. Ледник расположен на северном склоне Ганза-Чимтаргинского массива в пределах высот 3000—4300 м, его площадь 3,8 км², длина 3,2 км. Ледник является истоком одноименной реки, одного из крупнейших притоков р. Пасрут, относится к ледникам карово-долинного типа и имеет ясно выраженные фирновую и языковую зоны. Область питания располагается в продолговатом замкнутом цирке, вытянутом в северо-восточном направлении. Длина цирка более 1,5 км, ширина до 1,2 км, склоны покрыты пятнами фирна, во многих местах прорезанного скальными выступами. Частые обвалы фирна на поверхность ледника обусловлены крутыми отвесными стенками цирка. Такие обвалы наблюдаются в течение летних месяцев и даже в сентябре.

При выходе из цирка ледник круто поворачивает на север, на поверхности его появляются поперечные трещины, глубина которых достигает иногда 45—50 м, а ширина 4—5 м. Ниже фирновой линии, сильно прижимаясь к правому борту, он спускается двумя ледопадами (высота нижнего

около 100 м), затем язык ледника растекается по расширенной долине и достигает ширины 350 м. Характерная особенность этой нижней части ледникового языка — система симметричных относительно продольной оси ледника трещин, веерообразно расходящихся от ледопада к краям языка. Лобовая часть языка крутая, примерно 20°. Общий уклон ледника 15°, фирновой области 10—12°. Река Имат выходит на дневную поверхность из большого грота в середине фронта языка, в нее впадает ледниковый ручей, вытекающий из-под левого края фронтальной морены. Ниже ледника имеются три вала древней морены, а между ними и концом ледника — зандровое поле, изрезанное руслами флювиогляциальных потоков.

Концевая часть ледника несет на себе местами плащ морены, переходящий в левой части в сплошной покров толщиной до 10 см. Благодаря этому левый край языка значительно выдвинут вниз по долине и заканчивается отвесной ступенчатой стеной, у подножия которой формируется конечно-моренный вал новейшего происхождения. В фирновой области на поверхности в беспорядке разбросана щебенка и мелкозернистый материал, принесенные сюда фирновыми обвалами и снежными лавинами со склонов цирка. Загрязненность поверхности резко увеличивается в области ледопадов. Развиты также береговые моренные валы, отделенные от ледника глубокими абляционными ложбинами. Правая моренная гряда тянется от высшей точки ледопада до конца языка, левая начинается у крутых скал левого склона долины на уровне нижней границы ледопада. По наблюдениям П. П. Кузьмина (табл. V/20), в 1934 г. конечная морена была развита слабо, а две береговые непосредственно примыкали к краям ледника и были определены им как боковые. У обеих береговых морен, особенно у левой, на склонах, обращенных к леднику, заметны три ступени, а внизу прослеживается существовавшее некогда соединение этих морен с тремя валами древних фронтальных морен, о которых говорилось выше. Таким образом, имеются ясно выраженные следы стадийного развития ледника на фоне общего отступления.

Высота фирновой линии, определенная как средняя из визуальных наблюдений и расчета по формуле Гефера, равна 3700 м. По данным П. П. Кузьмина, она составляла 3620 м. Следует, однако, учесть, что в 1934 г. был одним из многоснежных (осадки составили 126 % от нормы, сток 124 %), что несомненно способствовало понижению высоты снеговой границы. В питании ледника Имат, так же как и многих других малых и средних ледников бассейна р. Зеравшана, важную роль играют лавины. Конусы выносов лавинного снега вдоль левого борта долины ниже конца ледника сохраняются до июля.

По данным сейсмондирования, произведенного в 1966 г., в ложе ледника ниже ледопада имеется значительное понижение, в результате чего мощность льда здесь достигает 100—110 м, в районе ледопадов она равна 70—80 м (рис. 6). Среднегодовая скорость движения ледника Имат около 14 см/сут.

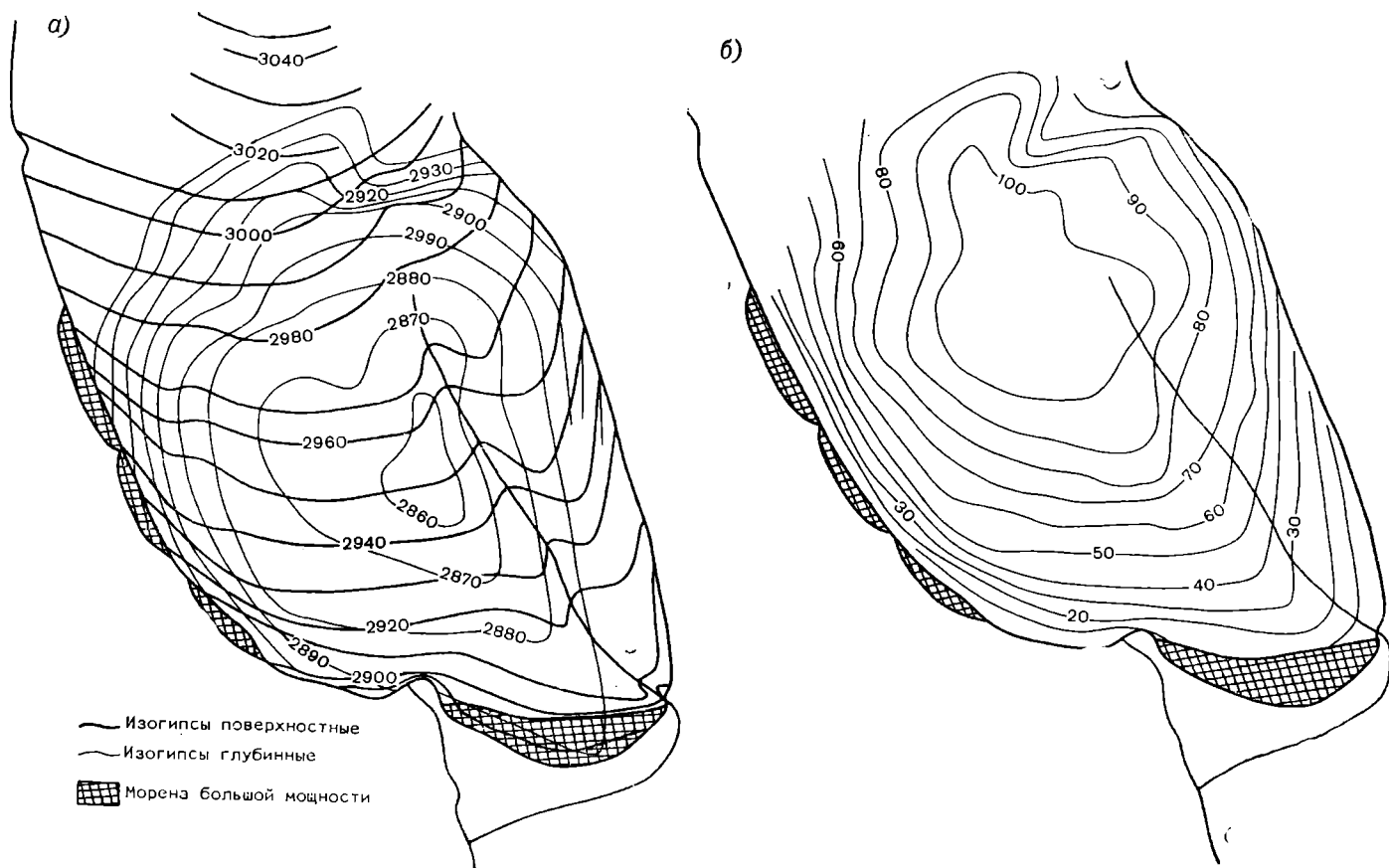


Рис. 6. Схема концевой части языка ледника Иमत.
 а — рельеф ложа ледника, б — толщина льда.

Сравнение результатов тахеометрических съемок 1964—1966 гг. конца ледника показало, что его положение в плане остается почти неизменным, а поверхность несколько понизилась. Средняя величина таяния на высоте 3100 м в июле—августе 1965 г. составила 67 мм/сут. в слое воды. При этом в ясные дни стаивало в среднем 83 мм, в пасмурные 38 мм. В июле—августе 1966 г. таяние составило соответственно 57, 86 и 39 мм. Трехлетние наблюдения показали, что летом 45 % дней на леднике пасмурные, нередко с осадками, однако температура на поверхности ледника не опускалась ниже 0°C, так что лед таял круглосуточно. Ночное таяние ледника в период летних наблюдений 1965 и 1966 гг. составляло 17 % от суточного и в отдельные ночи достигало 25 %. Наиболее интенсивное таяние происходит в первой половине дня и составляет 67 % дневного таяния. Это обусловлено большой закрытостью горизонта на западе (левый высокий и крутой борт долины сильно затеняет ледник), снижением продолжительности солнечного сияния во второй половине дня и уменьшением радиационного баланса.

Заметный сток в р. Иमत при выходе ее из-под ледника появляется в конце апреля—начале мая

и идет в основном за счет таяния сезонного снежного покрова на склонах долины и на поверхности ледника, причем наблюдается значительное (на 2—3 недели) запаздывание по сравнению с переходом температуры воздуха через 0°C на высоте 3000 м. С дальнейшим повышением температур воздуха и усилением таяния снежного покрова увеличивается водоносность реки. В конце июня—начале июля язык ледника обнажается от снега и р. Иमत переходит почти целиком на питание за счет таяния льда. Для ледника Иमत характерно довольно быстрое поднятие высоты сезонной снеговой линии. Так, в 1965 г. она поднялась до уровня фирновой линии уже к 12—16/VI, а в многоснежные 1964 и 1966 гг. — на неделю позже (к 18—25/VI). В это время расходы воды быстро увеличиваются и достигают максимума, так что основная часть стока приходится на июнь—сентябрь, а максимум наблюдается в июле—августе и составляет более половины годового стока (52 % в 1966 г., 74 % в 1968 г.). В сентябре начинается плавный спад, а в середине—конце октября происходит окончание таяния ледника и прекращение стока в реке, как и у большинства малых ледников бассейна р. Зеравшана.

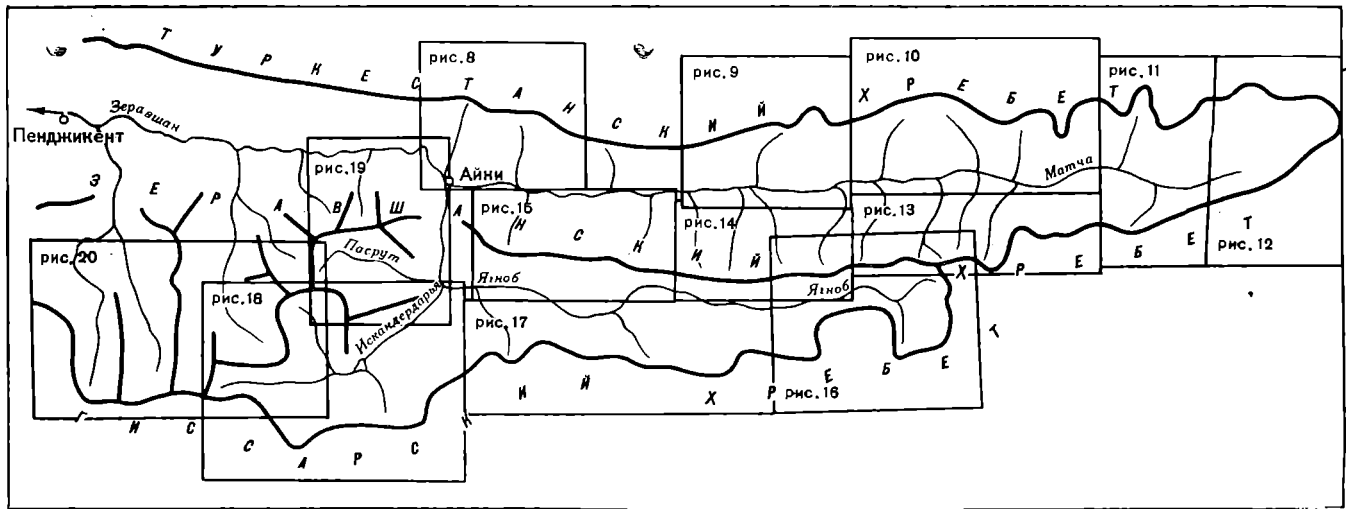


Рис. 7. Общая схема расположения отдельных участков оледенения бассейна р. Зеравшана, в пределах которых размещаются ледники, показанные на рис. 8—20.

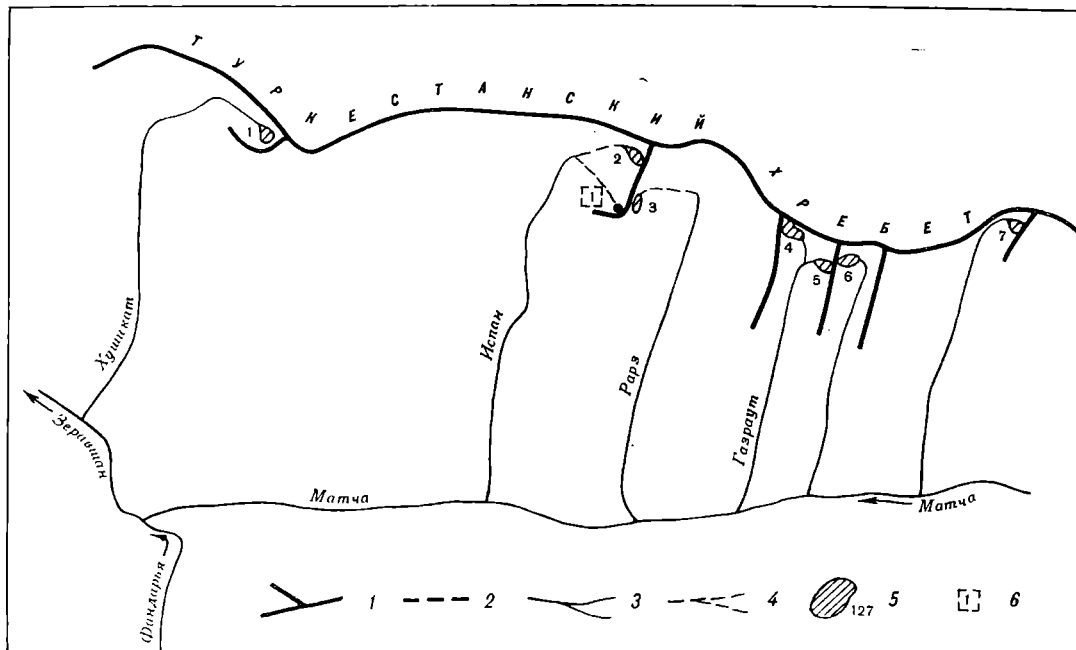


Рис. 8. Схема расположения ледников в бассейнах правых притоков р. Зеравшана.
 1 — хребет, 2 — ледораздел, 3 — река, 4 — временный водоток, 5 — ледник и его номер по табл. I, 6 — ледник размером менее 0,1 км² и его порядковый номер по табл. II и 12.

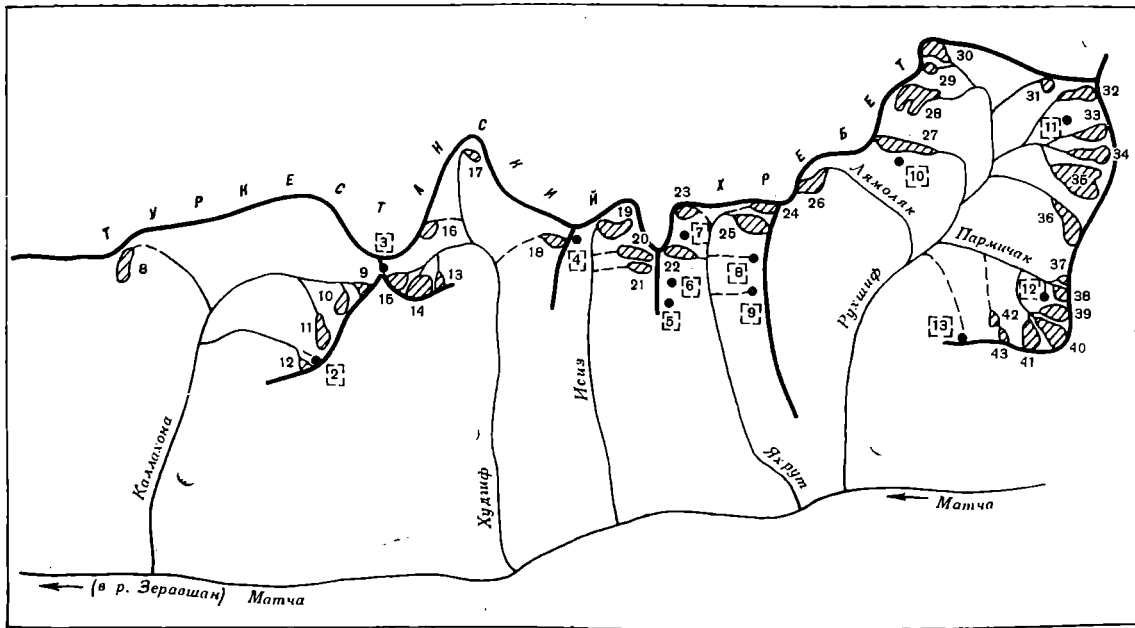


Рис. 9. Схема расположения ледников в бассейнах рек Каллахона, Худгиф, Исиз, Яхрут, Рухшиф.
Усл. обозн. см. на рис. 8.

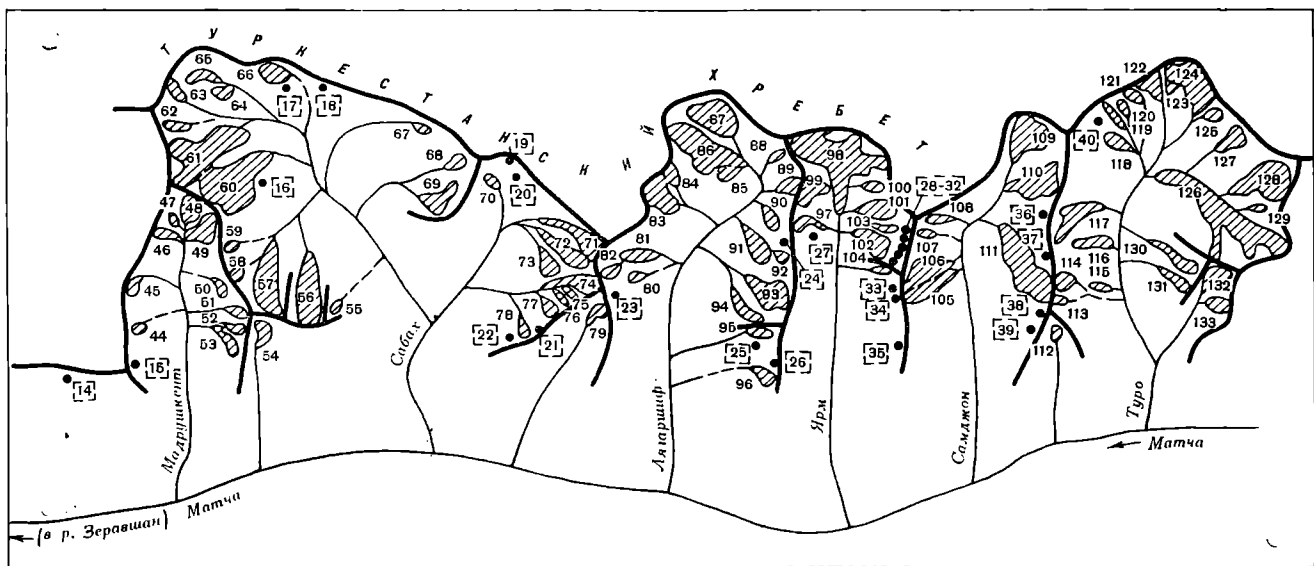


Рис. 10. Схема расположения ледников в бассейнах рек Мадрушкент, Сабах, Лягаршиф, Ярм, Самджон, Туро и правых безымянных притоков р. Матча.
Усло. обозн. см. на рис. 8.

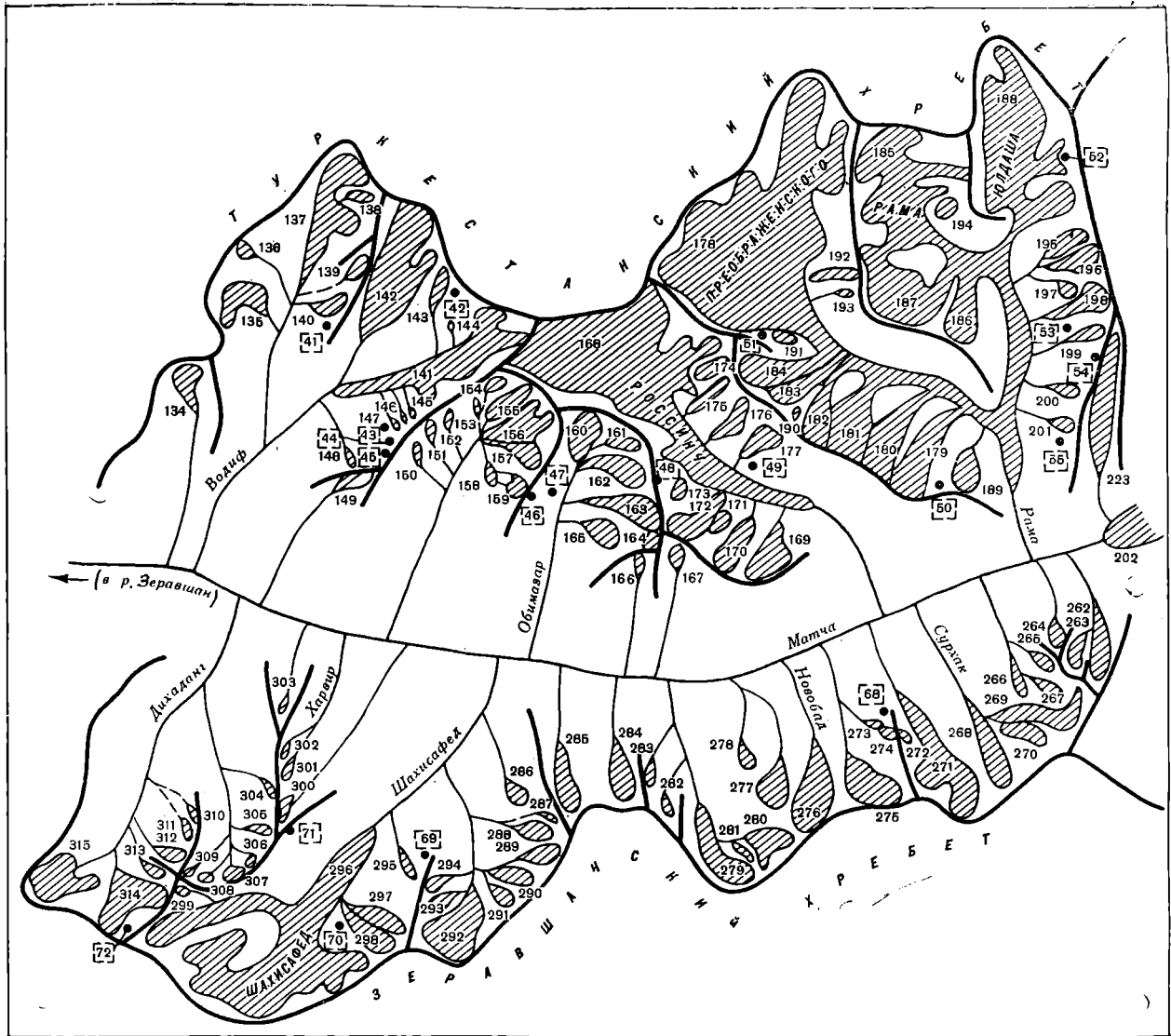


Рис. 11. Схема расположения ледников в бассейнах правых и левых притоков верховьев р. Матча выше устья р. Туро.

Усл. обозн. см. на рис. 8.

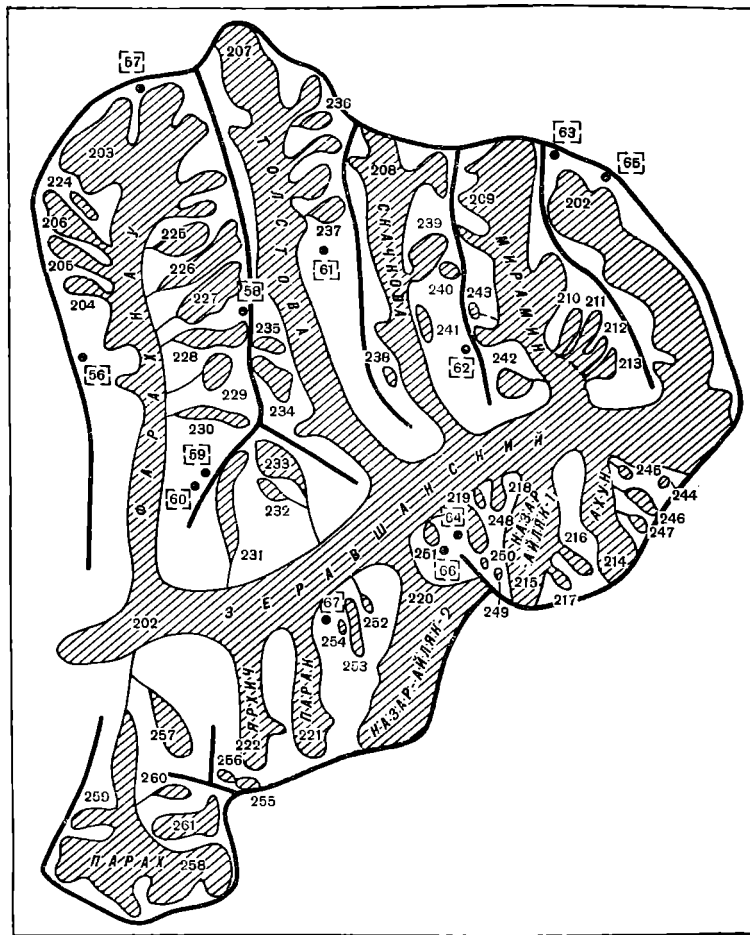


Рис. 12. Схема расположения ледников в бассейне ледника Зеравшанский.

Усл. обозн. см. на рис. 8.

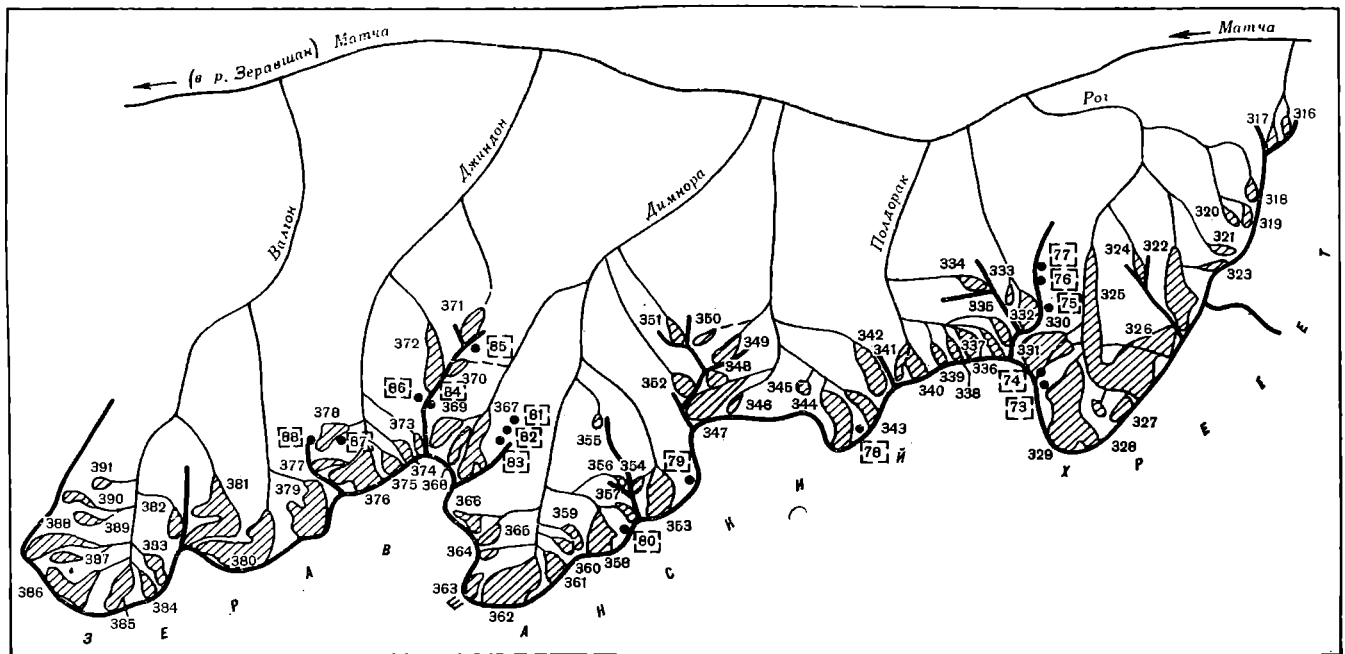


Рис. 13. Схема расположения ледников в бассейнах левых притоков р. Матча от устья р. Дихаданг до устья р. Падаск.

Усл. обозн. см. на рис. 8.

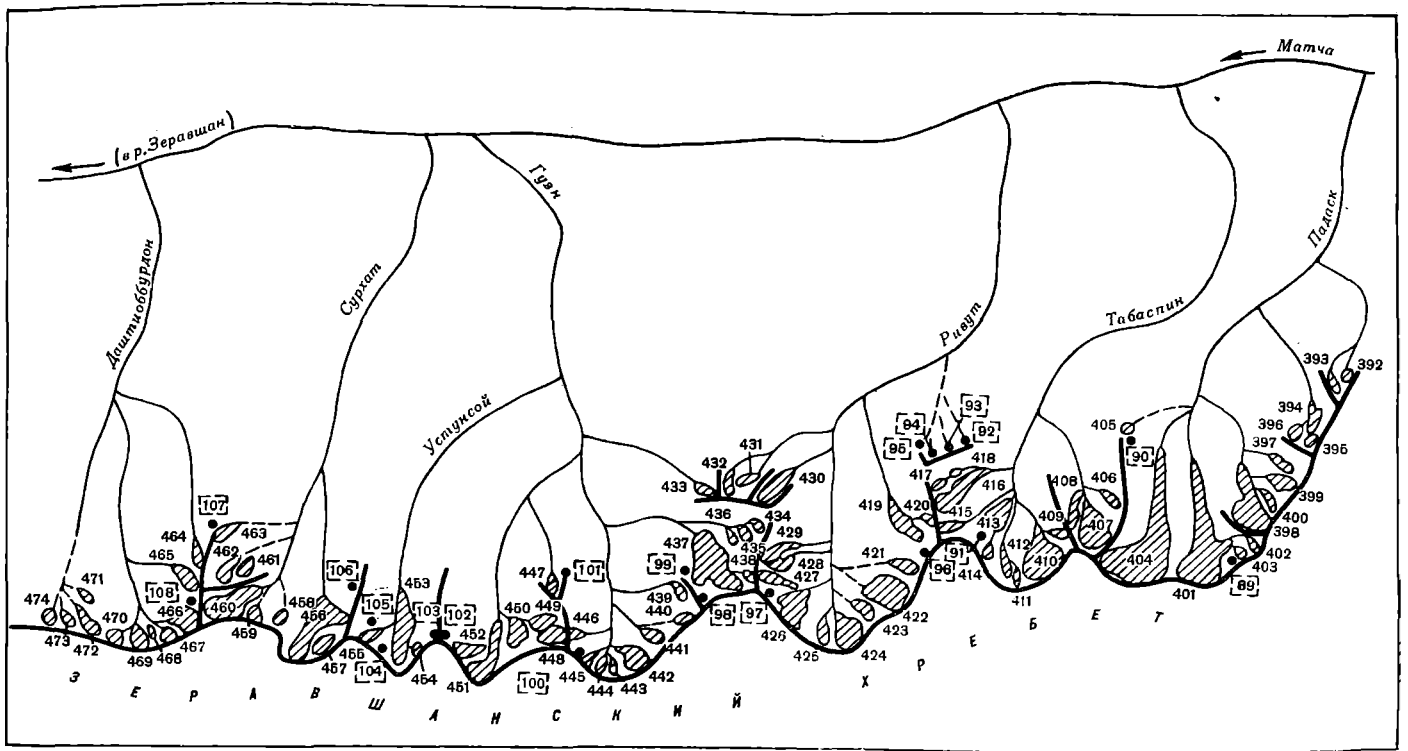


Рис. 14. Схема расположения ледников в бассейнах рек Падаск, Табаспин, Ривут, Гузи, Сурхат и Даштинобурдон
Усл. обозн. см. на рис. 8.

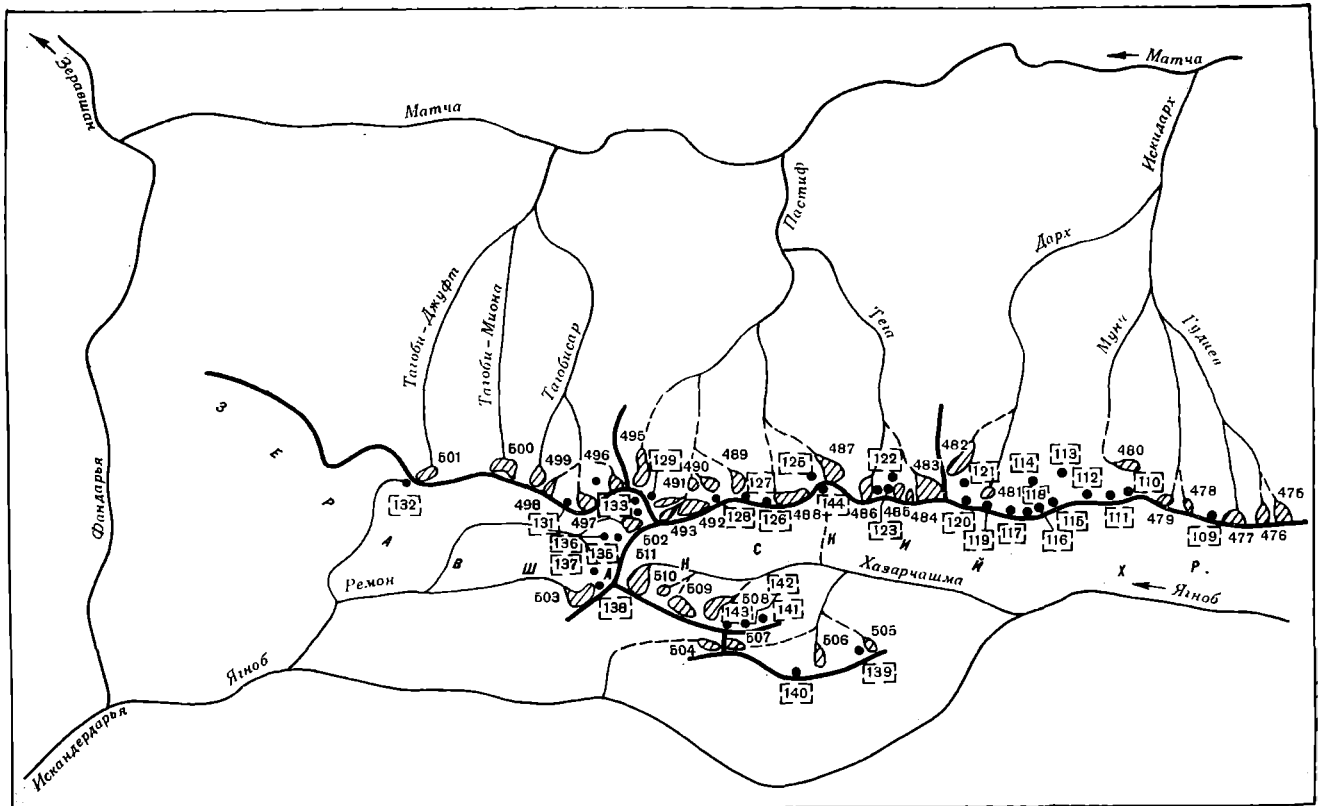


Рис. 15. Схема расположения ледников в бассейнах рек Искидарх, Пастиф, Тагоб и правых притоков р. Ягноб.
Усл. обозн. см. на рис. 8.

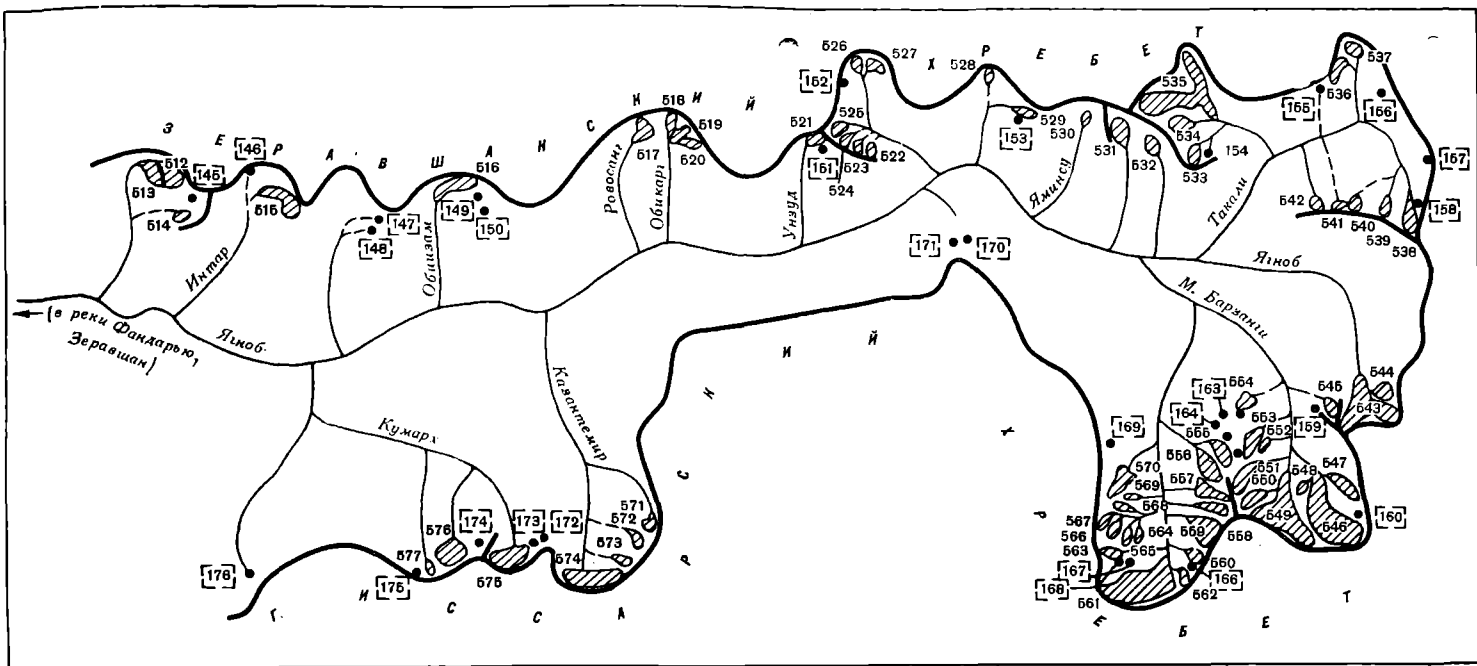


Рис. 16. Схема расположения ледников в бассейне верховьев р. Ягноб.

Усл. обозн. см. на рис. 8.

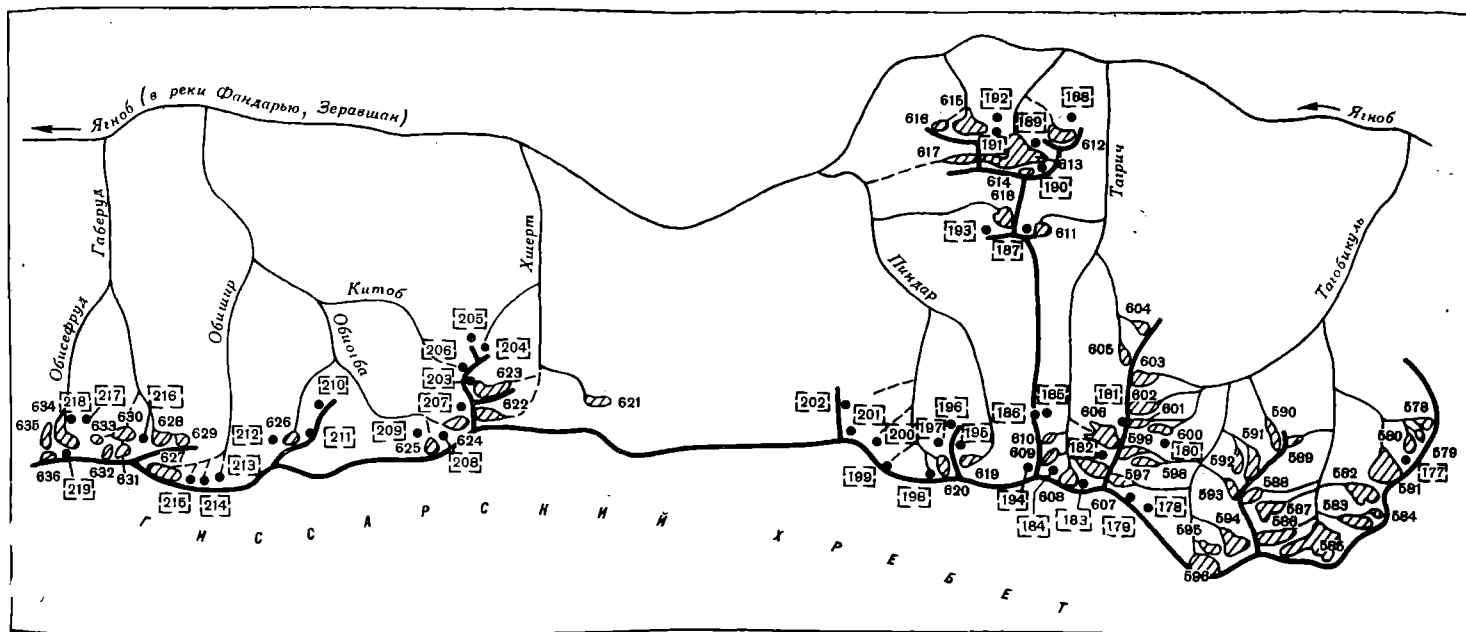


Рис. 17. Схема расположения ледников в бассейнах левых притоков р. Ягноб

Усл. обозн. см. на рис. 8.

ОСНОВНЫЕ ТАБЛИЦЫ КАТАЛОГА ЛЕДНИКОВ

№ по схеме	Название	Название реки, вытекающей из ледника	Морфологический тип	Общая экспозиция	Наибольшая длина, км		Площадь, км ²	
					всего ледника	в том числе открытой части	всего ледника	в том числе открытой части
1	2	3	4	5	6	7	8	9
Бассейн р. Хушикат Южный склон								
1	№ 1	Хушикат	кар.	СЗ	0,5	0,5	0,1	0,1
Бассейн р. Испан Южный склон								
2	№ 2	Испан	кар.-вис.	СЗ	0,6	0,6	0,1	0,1
Кроме того, в бассейне р. Испан имеется 1 ледник площадью 0,08 км ²							0,2	
Итого 2 ледника								
Бассейн р. Парз Южный склон								
3	№ 3	Парз	кар.	СВ	0,7	0,7	0,2	0,2
Бассейны правых притоков р. Зеравшана Южный склон								
4	№ 4	Газраут	вис.	В	0,4	0,4	0,1	0,1
5	№ 5	пр. р. Газраут	вис.	СЗ	0,2	0,2	0,1	0,1
6	№ 6	Шавадки-Боло	кар.	СВ	0,4	0,4	0,2	0,2
3 ледника							0,4	0,4
Бассейн р. Обиустанак Южный склон								
7	№ 7	Обиустанак	кар.-вис.	СЗ	0,4	0,4	0,1	0,1
Бассейн р. Каллахона Южный склон								
8	№ 8	пр. р. Каллахона	вис. кар.	С, (СВ)	1,3	1,3	0,4	0,4
9	№ 9	пр. р. Каллахона	кар.	СЗ	0,7	0,7	0,2	0,2
10	№ 10	пр. р. Каллахона	вис. кар.	С	0,8	0,8	0,2	0,2
11	№ 11	Каллахона	вис. дол.	С	1,3	1,3	0,3	0,3
12	№ 12	пр. р. Каллахона	кар.-вис.	СЗ	0,5	0,5	0,1	0,1
5 ледников							1,2	1,2
Кроме того, в бассейне р. Каллахона имеется 1 ледник площадью 0,08 км ²								
Итого 6 ледников							1,3	
Бассейн р. Худгиф Южный склон								
13	№ 13	пр. р. Худгиф	кар.	СВ	0,8	0,8	0,2	0,2
14	№ 14	Худгиф	кар.	СВ	1,3	1,3	0,8	0,8
15	№ 15	пр. р. Худгиф	склон.	СВ	0,9	0,9	0,3	0,3
16	№ 16	пр. р. Худгиф	кар.	С	0,7	0,7	0,2	0,2
17	№ 17	пр. р. Худгиф	кар.	СЗ	0,6	0,6	0,1	0,1
18	№ 18	пр. р. Худгиф	кар.-вис.	СЗ	0,7	0,7	0,2	0,2
6 ледников							1,8	1,8
Кроме того, в бассейне р. Худгиф имеется 1 ледник площадью 0,04 км ²								
Итого 7 ледников							1,8	
Бассейн р. Исиз Южный склон								
19	№ 19	Исиз	кар.	З	0,8	0,8	0,3	0,3
20	№ 20	пр. р. Исиз	кар.-дол.	З	1,1	1,1	0,5	0,5

часть I

О ЛЕДНИКАХ

Высота, м			Фирновая линия		Площадь области абляции, км ²		Объем льда, км ³	Ссылки на последующие таблицы (иллюстрации) № таблиц и иллюстраций порядковые № сведений в таблицах
нижней точки конца ледника	нижней точки открытой части ледника	высшей точки ледника	высота, м	способ определения и дата	общая	в том числе открытой части		
10	11	12	13	14	15	16	17	18
(р. Зеравшан)								
Туркестанского хребта								
3800	3800	4000	3910	Кур.	—	—	0,0009	
(реки Матча, Зеравшан)								
Туркестанского хребта								
4000	4000	4480	4240	Кур.	—	—	0,0009	
(реки Матча, Зеравшан)								
Туркестанского хребта								
4120	4120	4320	4180	Кур.	0,1	0,1	0,0024	
между устьями рек Рарз и Обиустанак (реки Матча, Зеравшан)								
Туркестанского хребта								
4020	4020	4160	4100	Кур.	—	—	0,0009	
4020	4020	4180	4110	Кур.	—	—	0,0009	
3940	3940	4230	4100	Кур.	0,1	0,1	0,0024	
					0,1	0,1	0,0042	
(реки Матча, Зеравшан)								
Туркестанского хребта								
4060	4060	4300	4140	Кур.	—	—	0,0009	
(реки Матча, Зеравшан)								
Туркестанского хребта								
3900	3900	4280	4130	Кур.	0,2	0,2	0,0068	
3880	3880	4160	4010	Кур.	0,1	0,1	0,0024	
3960	3960	4400	4210	Кур.	0,1	0,1	0,0024	
3840	3840	4420	4150	Кур.	0,2	0,2	0,0044	
4040	4040	4400	4240	Кур.	—	—	0,0009	
					0,6	0,6	0,0169	
(реки Матча, Зеравшан)								
Туркестанского хребта								
3720	3720	4000	3860	Кур.	0,1	0,1	0,0024	
3860	3860	4300	4070	Кур.	0,4	0,4	0,0193	
3960	3960	4400	4150	Кур.	0,1	0,1	0,0044	
3960	3960	4280	4130	Кур.	0,1	0,1	0,0024	
3900	3900	4080	3990	Кур.	—	—	0,0009	
3920	3920	4300	4110	Кур.	0,1	0,1	0,0024	
					0,8	0,8	0,0318	
(реки Матча, Зеравшан)								
Туркестанского хребта								
3900	3900	4450	4170	Кур.	0,2	0,2	0,0044	
3920	3920	4600	4220	Кур.	0,3	0,3	0,0095	

№ по схеме	Название	Название реки, вытекающей из ледника	Морфологический тип	Общая экспозиция	Наибольшая длина, км		Площадь, км ²	
					всего ледника	в том числе открытой части	всего ледника	в том числе открытой части
1	2	3	4	5	6	7	8	9
21	№ 21 3 ледника	пр. р. Исиз	вис.	З	0,3	0,3	0,2 1,0	0,2 1,0
Кроме того, в бассейне р. Исиз имеется 1 ледник площадью 0,03 км ²								
Итого 4 ледника							1,0	
Бассейн р. Яхрут Южный склон								
22	№ 22	пр. р. Яхрут	вис.	В	0,5	0,5	0,3	0,3
23	№ 23	пр. р. Яхрут	кар.-вис.	В	0,9	0,9	0,2	0,2
24	№ 24	пр. р. Яхрут	кар.	З	0,7	0,7	0,3	0,3
25	№ 25 4 ледника	Яхрут	кар.	СЗ,(З)	1,0	1,0	0,4 1,2	0,4 1,2
Кроме того в бассейне р. Яхрут имеется 5 ледников размерами менее 0,1 км ² каждый, общей площадью 0,37 км ²							1,6	
Итого 9 ледников								
Бассейн р. Рухшиф Южный склон								
26	№ 26	Лямоляк	кар.	СВ	1,4	1,4	0,6	0,6
27	№ 27	пр. р. Обикамзор	асимм. дол.	В	2,1	1,7	1,0	0,7
28	№ 28	Обикамзор	дол.	(СВ),В	2,2	2,0	1,6	1,2
29	№ 29	пр. р. Обикамзор	вис.	В	0,4	0,4	0,1	0,1
30	№ 30	пр. р. Обикамзор	кар.-дол.	ЮВ	1,1	1,1	0,4	0,4
31	№ 31	пр. р. Обикамзор	кар.	З	0,4	0,4	0,1	0,1
32	№ 32	пр. р. Обикамзор	дол.	З	1,4	1,4	0,5	0,5
33	№ 33	пр. р. Обикамзор	асимм. дол.	З	1,2	1,2	0,5	0,5
34	№ 34	пр. р. Обикамзор	кар.-дол.	З	1,7	1,7	0,9	0,6
35	№ 35	пр. р. Обикамзор	дол.	СЗ	2,1	1,6	1,4	1,1
36	№ 36	пр. р. Обикамзор	дол.	(С),СЗ	2,3	1,8	1,2	0,7
37	№ 37	пр. р. Пармичак	вис.	З	0,5	0,5	0,1	0,1
38	№ 38	пр. р. Пармичак	вис.	СЗ	0,6	0,6	0,2	0,2
39	№ 39	пр. р. Пармичак	кар.-дол.	СЗ	1,1	1,1	0,5	0,5
40	№ 40	Пармичак	кар.-дол.	СЗ	1,8	1,4	0,7	0,5
41	№ 41	Пармичак	кар.-дол.	С	1,1	1,1	0,3	0,3
42	№ 42	Пармичак	кар.	С	0,9	0,6	0,4	0,2
43	№ 43		кар.-вис.	С	0,7	0,7	0,2	0,2
18 ледников							10,7 8,5	
Кроме того, в бассейне р. Рухшиф имеется 4 ледника размерами менее 0,1 км ² , каждый, общей площадью 0,25 км ²							11,0	
Итого 22 ледника								
В бассейне правого притока р. Матча между устьями рек Рухшиф и Мадрушкент имеется 1 ледник площадью								
Бассейн р. Мадрушкент Южный склон								
44	№ 44	пр. р. Мадрушкент	кар.	СВ	0,6	0,6	0,2	0,2
45	№ 45	пр. р. Мадрушкент	вис. кар.	С,(СВ)	0,6	0,6	0,1	0,1
46	№ 46	пр. р. Мадрушкент	вис. кар.	В	1,1	1,1	0,4	0,4
47	№ 47	пр. р. Мадрушкент	кар.	ЮВ	0,6	0,6	0,1	0,1
48	№ 48	пр. р. Мадрушкент	кар.	Ю	1,2	1,2	0,8	0,8
49	№ 49	Мадрушкент	вис. кар.	ЮЗ	1,6	1,6	0,8	0,8
50	№ 50	пр. р. Мадрушкент	кар.	СЗ	0,7	0,7	0,2	0,2
51	№ 51	пр. р. Мадрушкент	кар.	СЗ	0,7	0,7	0,2	0,2
52	№ 52	пр. р. Мадрушкент	вис. кар.	З	0,8	0,8	0,2	0,2

Высота, м			Фирновая линия		Площадь области абляции, км ²		Объем льда, км ³	Ссылки на последующие таблицы (иллюстрации) № таблиц и иллюстраций порядковые № сведений в таблицах
низшей точки конца ледника	низшей точки открытой части ледника	высшей точки ледника	высота, м	способ определения и дата	общая	в том числе открытой части		
10	11	12	13	14	15	16	17	18
4180	4180	4430	4320	Кур.	0,1 0,6	0,1 0,6	0,0024 0,0163	

(реки Матча, Зеравшан)

Туркестанского хребта

4020	4020	4460	4250	Кур.	0,1	0,1	0,0044
4260	4260	4640	4440	Кур.	0,1	0,1	0,0024
4260	4260	4600	4450	Кур.	0,1	0,1	0,0044
4090	4090	4600	4300	Кур.	0,2 0,5	0,2 0,5	0,0068 0,0180

(реки Матча, Зеравшан)

Туркестанского хребта

3840	3840	4340	4100	Кур.	0,3	0,3	0,0125
3800	4100	4400	4140	Кур.	0,4	0,1	0,0270
3850	4000	4900	4340	Кур.	0,9	0,5	0,0546
4360	4360	4610	4240	аэровиз. IX 1973	—	—	0,0009
4260	4260	4630	4480	Кур.	—	—	0,0068
4120	4260	4630	4390	Кур.	0,2	0,2	0,0068
4160	4120	4340	4240	Кур.	—	—	0,0009
4020	4160	4640	4370	Кур.	0,3	0,3	0,0095
3940	4020	4400	4200	Кур.	0,2	0,2	0,0095
	4040	4340	4150	Кур.	0,5	0,2	0,0231
4040	4140	4540	4260	Кур.	0,8	0,5	0,0447
3800	4000	4570	4240	Кур.	0,7	0,2	0,0355
4360	4360	4580	4470	Кур.	—	—	0,0009
4040	4040	4480	4190	Кур.	—	—	0,0024
4100	4100	4520	4290	Кур.	0,3	0,3	0,0095
3950	4080	4440	4250	Кур.	0,4	0,2	0,0158
3950	3950	4300	4140	Кур.	0,1	0,1	0,0044
3860	3860	4100	3980	Кур.	0,3	0,1	0,0068
4060	4060	4480	4260	Кур.	0,1 5,5	0,1 3,3	0,0024 0,2672

0,06 км²

(реки Матча, Зеравшан)

Туркестанского хребта

4160	4160	4400	4300	Кур.	0,1	0,1	0,0024
4300	4300	4500	4390	Кур.	—	—	0,0009
4120	4120	4520	4310	Кур.	0,2	0,2	0,0068
4220	4220	4400	4310	Кур.	—	—	0,0009
4140	4140	4500	4310	Кур.	0,3	0,3	0,0193
4040	4040	4620	4320	Кур.	0,4	0,4	0,0193
4000	4000	4440	4210	Кур.	0,1	0,1	0,0024
4120	4120	4800	4450	Кур.	0,1	0,1	0,0024
4200	4200	4600	4460	Кур.	0,1	0,1	0,0024

№ по схеме	Название	Название реки, вытекающей из ледника	Морфологический тип	Общая экспозиция	Наибольшая длина, км		Площадь, км ²	
					всего ледника	в том числе открытой части	всего ледника	в том числе открытой части
1	2	3	4	5	6	7	8	9
53	№ 53	пр. р. Мадрушкент	кар.-дол.	СЗ	1,1	0,9	0,4	0,3
	10 ледников						3,4	3,3
	Кроме того, в бассейне р. Мадрушкент имеется 1 ледник площадью 0,09 км ²							
	Итого 11 ледников						3,5	
Бассейн правого безымянного притока р. Матча между Южный склон								
54	№ 54	пр. р. Матча	вис. кар.	Ю(ЮЗ)	1,3	0,9	0,6	0,4
Бассейн р. Сабах Южный склон								
55	№ 55	пр. р. Сабах	кар.	СВ	0,5	0,5	0,2	0,2
56	№ 56	пр. р. Сабах	дол.	С	3,9	1,5	2,6	1,2
57	№ 57	пр. р. Сабах	дол.	С	4,0	1,9	2,4	1,2
58	№ 58		кар.	СВ	0,7	0,7	0,2	0,2
59	№ 59		кар.	СВ	0,6	0,6	0,2	0,2
60*	№ 60	пр. р. Сабах	сл. дол.	СВ	3,1	3,0	3,2	3,0
61*	№ 61	Сабах	сл. дол.	СВ	3,4	3,4	4,3	4,3
62	№ 62	пр. р. Сабах	прискл.	СВ	1,1	1,1	0,2	0,2
63	№ 63	пр. р. Сабах	кар.	ЮВ	1,2	1,2	0,4	0,4
64	№ 64	пр. р. Сабах	кар.-вис.	СВ	0,9	0,9	0,3	0,3
65	№ 65	пр. р. Сабах	вис. кар.	(СВ), В, (ЮВ)	1,7	1,7	0,6	0,6
66	№ 66	пр. р. Сабах	кар.	В	1,5	1,5	0,8	0,8
67	№ 67	Искаул	асимм.	СЗ	0,6	0,6	0,1	0,1
68	№ 68	пр. р. Сабах	кар.	ЮЗ	0,5	0,2	0,4	0,2
69	№ 69	пр. р. Сабах	асимм.	(ЮЗ), 3	1,5	1,3	0,8	0,5
70	№ 70		дол.					
71	№ 71	пр. р. Сабах	кар.	ЮВ	0,6	0,6	0,2	0,2
		пр. р. Сабах	дол.	(С), СЗ, (З)	3,6	3,1	1,2	0,9
72	№ 72	пр. р. Сабах	дол.	СЗ	2,5	2,3	0,8	0,7
73	№ 73	пр. р. Сабах	кар.-дол.	СЗ	1,5	1,3	0,7	0,6
74	№ 74	пр. р. Сабах	дол.	(СЗ), 3, (ЮЗ)	2,6	2,6	2,0	2,0
75	№ 75		кар.-вис.	СЗ	0,8	0,8	0,2	0,2
76	№ 76		кар.-вис.	СЗ	0,9	0,9	0,2	0,2
77	№ 77	пр. р. Сабах	кар.-вис.	СЗ	0,9	0,9	0,2	0,2
78	№ 78	пр. р. Сабах	кар.-вис.	СЗ	1,0	1,0	0,2	0,2
	24 ледника						22,4	18,6
	Кроме того, в бассейне р. Сабах имеется 7 ледников размерами менее 0,1 км ² каждый, общей площадью 0,53 км ²							
	Итого 31 ледник						22,9	
Бассейн правого безымянного притока р. Матча между устьями рек Южный склон								
79	№ 79	пр. р. Матча	кар.-дол.	ЮЗ	1,3	1,1	0,4	0,3
Бассейн р. Лягаршиф Южный склон								
80	№ 80	пр. р. Лягаршиф	кар.	СВ, (В)	0,7	0,7	0,1	0,1
81	№ 81	пр. р. Лягаршиф	кар.-дол.	(СВ) В	1,5	1,2	0,4	0,3
82	№ 82		кул.	СВ	0,8	0,8	0,2	0,2
83*	№ 83	пр. р. Лягаршиф	вис. кар.	ЮВ	1,8	1,8	1,5	1,5
84*	№ 84*	пр. р. Лягаршиф	вис. кар.	Ю	0,8	0,8	0,2	0,2
85	№ 85	пр. р. Лягаршиф	вис. кар.	С, (СВ)	0,9	0,9	0,4	0,4
86	№ 86	Лягаршиф	дол.	ЮВ	3,2	3,0	1,9	1,6
87	№ 87	пр. р. Лягаршиф	вис. кар.	ЮВ	2,3	1,7	2,0	1,7
88	№ 88	пр. р. Лягаршиф	кар.	ЮЗ	0,7	0,4	0,3	0,2
89	№ 89	пр. р. Лягаршиф	вис. кар.	ЮЗ	1,4	1,2	0,6	0,4

Высота, м			Фирновая линия		Площадь области абляции, км ²		Объем льда, км ³	Ссылки на последующие таблицы (иллюстрации) № таблиц и иллюстраций порядковые № сведений в таблицах
нижней точки конца ледника	нижней точки открытой части ледника	высшей точки ледника	высота, м	способ определения и дата	общая	в том числе открытой части		
10	11	12	13	14	15	16	17	18
3940	4040	4300	4150	Кур	0,2	0,1	0,0068	
					1,5	1,4	0,0636	

устьями рек Мадрушкент и Сабах (реки Матча, Зеравшан)

Туркестанского хребта

3940	4160	4580	4240	Кур.	0,4	0,2	0,0125	
------	------	------	------	------	-----	-----	--------	--

(реки Матча, Зеравшан)

Туркестанского хребта

4100	4100	4400	4260	Кур.	0,1	0,1	0,0024	IV/3
3540	3840	4450	3920	Кур.	1,4	—	0,1132	IV/3
3400	3900	4640	3940	Кур.	1,2	—	0,1004	IV/3
			3860	аэровиз. IX 1973				
4060	4060	4480	4230	Кур.	0,1	0,1	0,0024	IV/3
4100	4100	4240	4250	Кур.	0,1	0,1	0,0024	IV/3
3800	3890	4520	4060	Кур.	1,5	1,3	0,1546	IV/3; V/32
3760	3760	4680	4160	Кур.	1,7	1,7	0,2408	IV/3; V/32
4030	4030	4400	4160	Кур.	0,1	0,1	0,0024	IV/3
4240	4240	4400	4300	Кур.	0,2	0,2	0,0068	IV/3
3920	3920	4280	4130	Кур.	0,2	0,2	0,0044	IV/3
4050	4050	4640	4330	Кур.	0,3	0,3	0,0125	IV/3
3800	3800	4380	4110	Кур.	0,4	0,4	0,0193	IV/3
4180	4180	4400	4290	Кур.	—	—	0,0009	IV/3
3860	4080	4240	4120	Кур.	0,3	0,1	0,0068	IV/3
3660	3900	4300	4100	Кур.	0,4	0,1	0,0193	IV/3
4080	4080	4480	4260	Кур.	0,1	0,1	0,0024	
3760	3860	4900	4320	Кур.	0,7	0,4	0,0355	
3860	3940	4800	4270	Кур.	0,4	0,3	0,0193	
3960	4050	4320	4140	Кур.	0,4	0,3	0,0158	
3760	3760	4700	4200	Кур.	1,0	1,0	0,0764	
4100	4100	4900	4500	Кур.	0,1	0,1	0,0024	
4000	4000	4800	4370	Кур.	0,1	0,1	0,0024	
4000	4000	4600	4320	Кур.	0,1	0,1	0,0024	
3720	3720	4260	4000	Кур.	0,1	0,1	0,0024	
					11,0	7,2	0,8476	

Сабах и Лягаршиф (реки Матча, Зеравшан)

Туркестанского хребта

4160	4240	4720	4370	Кур.	0,2	0,1	0,0068	
------	------	------	------	------	-----	-----	--------	--

(реки Матча, Зеравшан)

Туркестанского хребта

4300	4300	4740	4530	Кур.	—	—	0,0009	
3460	3700	4300	3810	Кур.	0,2	0,1	0,0068	
4300	4300	4840	4670	Кур.	0,1	0,1	0,0024	
3960	3960	4640	4250	Кур.	0,8	0,8	0,0496	
			4120	аэровиз. IX 1973				
4240	4240	4700	4450	Кур.	0,1	0,1	0,0024	
3890	3890	4340	4090	Кур.	0,2	0,2	0,0068	
3830	3930	4600	4200	Кур.	0,8	0,5	0,0707	
			4060	аэровиз. IX 1973				
3960	4140	4700	4280	Кур.	0,8	0,5	0,0764	
			4210	аэровиз. IX 1973				
3920	4080	4440	4200	Кур.	0,2	0,1	0,0044	
3920	4100	4500	4150	Кур.	0,4	0,2	0,0125	

№ по схеме	Название	Название реки, вытекающей из ледника	Морфологический тип	Общая экспозиция	Наибольшая длина, км		Площадь, км ²	
					всего ледника	в том числе открытой части	всего ледника	в том числе открытой части
1	2	3	4	5	6	7	8	9
90	№ 90	пр. р. Лягаршиф	кар.-дол.	СЗ	1,5	0,5	0,8	0,5
91	№ 91	пр. р. Лягаршиф	кар.-дол.	СЗ	1,4	0,4	0,6	0,3
92	№ 92		кул.	(З), СЗ	0,8	0,8	0,2	0,2
93	№ 93	пр. р. Лягаршиф	дол.	(С,З), СЗ	2,5	1,0	1,5	1,4
94	№ 94	пр. р. Лягаршиф	кар.-вис.	(З), СЗ	2,2	0,8	0,4	0,3
95	№ 95	пр. р. Лягаршиф	кар.-вис.	СЗ, (З)	1,1	1,1	0,4	0,4
96	№ 96	пр. р. Лягаршиф	вис. кар.	СЗ, (З)	1,0	1,0	0,2	0,2
17 ледников							11,7	9,9

Кроме того, в бассейне р. Лягаршиф имеется 4 ледника размерами менее 0,1 км² каждый, общей площадью 0,23 км²
Итого 21 ледник 11,9

Бассейн р. Ярм

Южный склон

97	№ 97	пр. р. Ярм	кар.-дол.	(С, СВ) В	1,7	1,4	0,6	0,4
98	№ 98	Ярм	сл. дол.	(СВ, ЮВ) Ю	5,0	4,6	4,3	4,0
99	№ 99		вис. дол.	(СВ), В	1,5	1,5	0,6	0,6
100*	№ 100		вис. кар.	З	0,8	0,6	0,3	0,3
101	№ 101		кар.-дол.	З	1,8	1,4	0,8	0,7
102	№ 102	пр. р. Ярм	кар.-дол.	СЗ	1,7	0,7	0,9	0,5
103*	№ 103		кар.	З	0,6	0,4	0,2	0,2
104	№ 104	пр. р. Ярм	кул.	СЗ	0,5	0,5	0,1	0,1
8 ледников							7,8	6,8

Кроме того, в бассейне р. Ярм имеется 9 ледников размерами менее 0,1 км² каждый, общей площадью 0,58 км²
Итого 17 ледников 8,4

Бассейн р. Самджон

Южный склон

105	№ 105	пр. р. Самджон	вис. дол.	СВ	1,5	1,5	0,4	0,4
106	№ 106	пр. р. Самджон	дол.	СВ, (В)	2,3	2,0	1,4	1,1
107	№ 107	пр. р. Самджон	кар.	В	0,5	0,5	0,1	0,1
108	№ 108	пр. р. Самджон	вис. дол.	В	1,0	1,0	0,3	0,3
109	№ 109	пр. р. Самджон	дол.	(СЗ, З), ЮЗ	2,4	2,1	1,8	1,6
110	№ 110	пр. р. Самджон	дол.	(ЮЗ), З, (ЮЗ)	2,7	1,0	1,4	1,1
111	№ 111	Самджон	дол.	СЗ	3,4	3,4	2,4	2,1
7 ледников							7,8	6,7

Кроме того, в бассейне р. Самджон имеется 4 ледника размерами менее 0,1 км² каждый, общей площадью 8,0
Итого 11 ледников

Бассейн правого безымянного притока р. Матча между

Южный склон

112	№ 112	пр. р. Матча	кар.-вис.	Ю	0,3	0,3	0,2	0,2
-----	-------	--------------	-----------	---	-----	-----	-----	-----

Бассейн р. Туро

Южный склон

113	№ 113	пр. р. Туро	вис.	В	0,5	0,5	0,1	0,1
114	№ 114	пр. р. Туро	вис.	В	0,8	0,8	0,4	0,4
115	№ 115	пр. р. Туро	кул.	В	1,0	1,0	0,2	0,2
116	№ 116	пр. р. Туро	дол.	В	1,6	0,7	0,4	0,2
117	№ 117	пр. р. Туро	вис. дол.	СВ, (В)	2,6	1,6	1,1	0,9
118	№ 118	пр. р. Туро	кар.-вис.	ЮВ	1,1	1,1	0,3	0,3
119*	№ 119		вис. кар.	ЮВ	1,5	1,5	0,4	0,4
120	№ 120		вис. кар.	ЮВ	1,0	1,0	0,3	0,3
121	№ 121	пр. р. Туро	вис. кар.	ЮВ	1,3	1,3	0,4	0,4
122	№ 122	пр. р. Туро	вис. кар.	ЮВ	1,3	1,3	0,7	0,7
123	№ 123	пр. р. Туро	кар.	ЮЗ	0,6	0,6	0,1	0,1
124	№ 124	пр. р. Туро	дол.	ЮВ, (Ю, ЮЗ)	3,0	3,0	2,2	2,2
125	№ 125	пр. р. Туро	кар.	З	0,9	0,9	0,3	0,3
126	Туро	Туро	сл. дол.	СЗ, (З)	6,0	1,6	4,1	1,9

Высота, м			Фирновая линия		Площадь области абляции, км ²		Объем льда, км ³	Ссылки на последующие таблицы (иллюстрации) № таблиц и иллюстраций порядковые № сведений в таблицах
нижней точки конца ледника	нижней точки открытой части ледника	высшей точки ледника	высота, м	способ определения и дата	общая	в том числе открытой части		
10	11	12	13	14	15	16	17	18
3720	4000	4400	3990	Кур.	0,4	0,1	0,0193	
3560	3800	4120	3870	Кур.	0,4	0,1	0,0125	
4300	4300	4880	4540	Кур.	0,1	0,1	0,0024	
3800	3840	4840	4130	Кур.	0,7	0,6	0,0496	
			4180	аэровиз. IX 1973				
4000	4060	4600	4190	Кур.	0,2	0,1	0,0068	
			4260	аэровиз. IX 1973				
4000	4000	4700	4310	Кур.	0,2	0,2	0,0068	
4040	4040	4540	4290	Кур.	0,1	0,1	0,0024	
					5,8	4,0	0,3327	

(реки Матча, Зеравшан)

Туркестанского хребта

3840	4000	4600	4230	Кур.	0,4	0,2	0,0125	
3680	3780	4840	4250	Кур.	1,9	1,6	0,2408	IV/7; V/36
			4250	аэровиз. IX 1973				
4080	4080	4600	4290	Кур.	0,3	0,3	0,0125	IV/7; V/36
4200	4250	4560	4370	Кур.	0,1	0,1	0,0044	IV/7; V/36
3970	4060	4800	4340	Кур.	0,5	0,4	0,0193	IV/7; V/36
3800	4100	4400	4120	Кур.	0,5	0,1	0,0231	IV/7; V/36
4160	4250	4400	4300	Кур.	0,1	0,1	0,0024	IV/7; V/36
4200	4200	4520	4480	Кур.	—	—	0,0009	IV/7; V/36
					3,8	2,8	0,3159	

(реки Матча, Зеравшан)

Туркестанского хребта

3600	3600	4600	4140	Кур.	0,2	0,2	0,0068	IV/7; V/36
3600	3900	4600	4260	Кур.	0,7	0,4	0,0447	IV/7; V/36
4000	4000	4600	4300	Кур.	—	—	0,0009	IV/7; V/36
4000	4000	4560	4290	Кур.	0,2	0,2	0,0044	IV/7; V/36
3800	4000	4640	4370	Кур.	1,0	0,8	0,0652	IV/7; V/36
3700	4100	4880	4260	Кур.	0,7	0,4	0,0447	IV/7; V/36
			4160	аэровиз. IX 1973				
3800	3800	5130	4330	Кур.	1,4	1,1	0,1004	IV/7; V/36
					4,2	3,1	0,2671	

0,19 км²

устьями рек Самджон и Туро (реки Матча, Зеравшан)

Туркестанского хребта

4080	4080	4320	4110	Кур.	0,1	0,1	0,0024	IV/7; V/36
------	------	------	------	------	-----	-----	--------	------------

(реки Матча, Зеравшан)

Туркестанского хребта

4900	4900	5130	5030	Кур.	—	—	0,0009	IV/7; V/36
4000	4000	5040	4560	Кур.	0,2	0,2	0,0068	IV/7; V/36
3040	3040	3540	3310	Кур.	0,1	0,1	0,0024	IV/7; V/36
3000	3300	3900	3380	Кур.	0,2	—	0,0068	IV/7; V/36
3200	3500	4400	3810	Кур.	0,5	0,3	0,0311	IV/7; V/36
3500	3500	4080	3800	Кур.	0,1	0,1	0,0044	IV/7; V/36
3720	3720	4400	4070	Кур.	0,2	0,2	0,0068	IV/7; V/36
4000	4000	4280	4150	Кур.	0,1	0,1	0,0044	IV/7; V/36
4360	4360	4540	4460	Кур.	0,2	0,2	0,0068	IV/7; V/36
4160	4160	4800	4550	Кур.	0,4	0,4	0,0158	IV/7; V/36
4400	4400	4840	4660	Кур.	—	—	0,0009	IV/7; V/36
3920	3920	5200	4600	Кур.	1,2	1,2	0,0881	IV/7; V/36
4160	4160							
		4800	4440	Кур.	0,2	0,2	0,0044	IV/7; V/36
3160	3650	4800	3820	Кур.	2,5	0,3	0,2242	IV/7, 14; V/36, 46
			3800	аэровиз. IX 1973				

№ по схеме	Название	Название реки, вытекающей из ледника	Морфологический тип	Общая экспозиция	Наибольшая длина, км		Площадь, км ²	
					всего ледника	в том числе открытой части	всего ледника	в том числе открытой части
1	2	3	4	5	6	7	8	9
127	№ 127		кар.-дол.	ЮЗ	1,5	1,5	0,6	0,6
128	№ 128		вис. дол.	(СЗ), З,	3,2	2,2	2,0	1,8
129	№ 129		кар.	З	0,6	0,6	0,1	0,1
130	№ 130	пр. р. Туро	дол.	СЗ	2,8	1,5	0,7	0,5
131	№ 131	пр. р. Туро	дол.	СЗ	1,5	1,5	0,3	0,3
132	№ 132	пр. р. Туро	вис. дол.	ЮЗ	1,7	1,7	0,5	0,5
133	№ 133	пр. р. Туро	кар.	З	0,8	0,8	0,4	0,4
	21 ледник						15,6	12,6

Кроме того, в бассейне р. Туро имеется 1 ледник площадью 0,08 км²
Итого 22 ледника

15,7

Бассейн правого безымянного притока р. Матча между Южный склон

134	№ 134	пр. р. Матча	вис. дол.	(Ю), ЮВ	1,9	1,6	0,8	0,6
-----	-------	--------------	-----------	---------	-----	-----	-----	-----

Бассейн р. Водиф Южный склон

135	№ 135	пр. р. Водиф	дол.	(С, СВ), В, (ЮВ)	2,8	1,4	1,1	0,9
136	№ 136	пр. р. Водиф	вис.	ЮВ	0,7	0,7	0,5	0,5
137	Зап. Водиф	пр. р. Водиф	дол.	(ЮЗ), Ю	4,5	4,0	3,2	2,7
138	№ 138		кар.-вис.	ЮЗ	1,0	1,0	0,3	0,3
139	№ 139	пр. р. Водиф	кар.	ЮЗ	0,8	0,8	0,3	0,3
140	№ 140	пр. р. Водиф	кар.	(З), СЗ	0,8	0,8	0,4	0,4
141	Вост. Водиф	Водиф	дол.	ЮЗ	5,7	2,5	4,5	2,7
142	Суфтаир	пр. р. Водиф	дол.	ЮЗ	5,0	4,7	5,8	5,4
143	№ 143		кул.	Ю	1,3	1,3	0,4	0,4
144	№ 144		кар.	Ю	0,7	0,7	0,2	0,2
145	№ 145		вис.	С	0,6	0,6	0,1	0,1
146	№ 146		вис.	СЗ	0,5	0,5	0,1	0,1
147	№ 147		вис.	СЗ	0,6	0,6	0,2	0,2
148	№ 148	пр. р. Водиф	кар.-вис.	СЗ	0,8	0,8	0,3	0,3

14 ледников
Кроме того, в бассейне р. Водиф имеется 5 ледников размерами менее 0,1 км² каждый, общей площадью 0,26 км²
Итого 19 ледников

17,7

Бассейн правого безымянного притока р. Матча между Южный склон

149	№ 149	пр. р. Матча	вис. дол.	ЮЗ	1,4	1,4	0,5	0,5
-----	-------	--------------	-----------	----	-----	-----	-----	-----

Бассейн р. Тугобдехисор Южный склон

150	№ 150	пр. р. Тугобдехисор	кар.	В	0,4	0,4	0,1	0,1
151	№ 151	пр. р. Тугобдехисор	кар.	В	0,3	0,3	0,1	0,1
152	№ 152	пр. р. Тугобдехисор	кар.	ЮВ	0,3	0,3	0,2	0,2
153	№ 153	пр. р. Тугобдехисор	кар.-вис.	Ю	0,7	0,7	0,1	0,1
154	№ 154		кар.-вис.	ЮЗ	0,5	0,5	0,2	0,2
155	№ 155	пр. р. Тугобдехисор	вис. кар.	ЮЗ, (Ю)	1,4	1,4	0,5	0,5
156	№ 156	Тугобдехисор	кар.-дол.	З	2,3	2,3	1,0	1,0
157	№ 157	Тугобдехисор	кар.-дол.	(С, СЗ), З	2,3	2,3	0,8	0,8
158*	№ 158	пр. р. Тугобдехисор	вис.	СЗ	0,5	0,5	0,2	0,2
159	№ 159		кар.	СЗ	0,6	0,5	0,2	0,2
	10 ледников						3,4	3,4

Высота, м			Фирновая линия		Площадь области абляции, км ²		Объем льда, км ³	Ссылки на последующие таблицы (иллюстрации) № таблиц и иллюстраций порядковые № сведений в таблицах
низшей точки конца ледника	низшей точки открытой части ледника	высшей точки ледника	высота, м	способ определения и дата	общая	в том числе открытой части		
10	11	12	13	14	15	16	17	18
4040	4040	4740	4350	Кур.	0,3	0,3	0,0125	IV/7; V/36
3760	3960	4900	4410	Кур.	1,1	0,9	0,0764	IV/7; V/36
4140	4140	4600	4380	Кур.		—	0,0009	IV/7; V/36
3620	4150	4980	4350	Кур.	0,3	0,1	0,0158	IV/7; V/36
4000	4000	4800	4340	Кур.	0,2	0,2	0,0044	IV/7; V/36
4200	4200	5200	4720	Кур.	0,8	0,8	0,0095	IV/7; V/36
4400	4400	4900	4640	Кур.	0,2	0,2	0,0068	IV/7; V/36
					8,3	5,3	0,5301	

устьями рек Туро и Водиф (реки Матча, Зеравшан)

Туркестанского хребта

3800	4200	4800	4460	Кур.	0,4	0,2	0,0193	IV/7; V/36
------	------	------	------	------	-----	-----	--------	------------

(реки Матча, Зеравшан)

Туркестанского хребта

3610	3640	5000	4040	Кур.	0,6	0,4	0,0311	IV/7; V/36
4290	4290	4860	4600	Кур.	0,2	0,2	0,0095	IV/7; V/36
3760	3840	5100	4240	Кур.	1,6	1,1	0,1546	IV/7; V/36
4440	4440	5400	4920	Кур.	0,1	0,1	0,0044	IV/7; V/36
4250	4250	4450	4350	Кур.	0,1	0,1	0,0044	IV/7; V/36
			4080	аэровиз. IX 1973				
3760	3760	4300	4000	Кур.	0,2	0,2	0,0068	IV/7; V/36
3320	3750	4600	3930	Кур.	2,2	0,4	0,2577	IV/7; V/36
3860	3960	5200	4400	Кур.	2,9	2,5	0,3771	IV/7; V/36
			4100	аэровиз. IX 1973				
4240	4240	4700	4510	Кур.	0,2	0,2	0,0068	IV/7; V/36
4200	4200	4400	4290	Кур.	0,1	0,1	0,0024	IV/7; V/36
4200	4200	4800	4530	Кур.	—	—	0,0009	IV/7; V/36
4300	4300	4800	4570	Кур.	—	—	0,0009	IV/7; V/36
4300	4300	4950	4630	Кур.	0,1	0,1	0,0024	IV/7; V/36
3760	3760	4300	4020	Кур.	0,1	0,1	0,0044	IV/7; V/36
					8,4	5,5	0,8634	

устьями рек Водиф и Тугобдехисор (реки Матча, Зеравшан)

Туркестанского хребта

4000	4000	4500	4310	Кур.	0,2	0,2	0,0095	IV/7; V/36
------	------	------	------	------	-----	-----	--------	------------

(реки Матча, Зеравшан)

Туркестанского хребта

3880	3880	4160	4020	Кур.	—	—	0,0009	IV/7; V/36
4020	4020	4340	4180	Кур.	—	—	0,0009	IV/7; V/36
4100	4100	4420	4270	Кур.	0,1	0,1	0,0024	IV/7; V/36
3940	3940	4400	4210	Кур.	—	—	0,0009	IV/7; V/36
4360	4360	4700	4570	Кур.	0,1	0,1	0,0024	IV/7; V/36
3940	3940	4500	4300	Кур.	0,2	0,2	0,0095	IV/7; V/36
3580	3580	4810	4270	Кур.	0,6	0,6	0,0270	IV/7; V/36
3520	3520	4500	4050	Кур.	0,3	0,3	0,0193	IV/7; V/36
			4080	аэровиз. IX 1973				
4200	4200	4800	4570	Кур.	0,1	0,1	0,0024	IV/7; V/36
3720	3780	4040	3870	Кур.	0,1	0,1	0,0024	IV/7; V/36
					1,5	1,5	0,0681	

№ по схеме	Название	Название реки, вытекающей из ледника	Морфологический тип	Общая экспозиция	Наибольшая длина, км		Площадь, км ²	
					всего ледника	в том числе открытой части	всего ледника	в том числе открытой части
1	2	3	4	5	6	7	8	9

Бассейн р. Обимазар
Южный склон

160	№ 160	Обимазар	кар.-дол.	Ю	1,7	1,7	1,1	1,1
161	№ 161		вис. кар.	З	0,8	0,8	0,2	0,2
162	№ 162	Обимазар	вис. дол.	З	2,7	2,5	1,1	0,9
163	№ 163	пр. р. Обимазар	дол.	З	2,4	1,8	1,2	1,0
164	№ 164		вис.	З	0,5	0,5	0,3	0,3
165	№ 165	пр. р. Обимазар	кар.	СЗ	1,0	1,0	0,4	0,4

6 ледников
Кроме того, в бассейне р. Обимазар имеется 2 ледника размерами менее 0,1 км² каждый, общей площадью 0,15 км²
8 ледников

Бассейны правых безымянных притоков р. Матча между
Южный склон

166	№ 166	пр. р. Матча	кар.	Ю	0,9	0,9	0,2	0,2
167	№ 167	пр. р. Матча	кар.	Ю	0,7	0,7	0,3	0,3
	2 ледника						0,5	0,5

Бассейн р. Россинч
Южный склон

168	Россинч	Россинч	сл. дол.	(В), ЮВ, (В)	11,3	9,3	17,8	16,7
169	№ 169		вис. дол.	С	2,2	2,2	1,1	1,1
170	№ 170		вис. дол.	СВ	2,1	1,8	1,2	1,0
171	№ 171		вис. кар.	СВ	0,9	0,9	0,3	0,3
172	№ 172		вис. дол.	СВ	2,1	1,8	1,4	1,2
173	№ 173		вис.	СВ	0,8	0,8	0,3	0,3
174	№ 174		вис.	ЮЗ	1,1	1,1	0,4	0,4
175	№ 175		кар.-дол.	ЮЗ	1,7	1,7	0,6	0,6
176*	№ 176		вис. дол.	ЮЗ	1,8	1,8	0,8	0,8
177	№ 177		вис. дол.	ЮЗ	1,6	1,6	0,6	0,6
	10 ледников						24,5	23,0

Кроме того, в бассейне р. Россинч имеется 2 ледника размерами менее 0,1 км² каждый, общей площадью 0,15 км²
Итого 12 ледников

Бассейн р. Рама
Южный склон

178*	Преображенского	Рама	дендр.	(Ю), ЮВ	12,8	10,7	20,6	18,3
179*	№ 179		вис. дол.	СВ	3,5	3,3	2,2	2,2
180	№ 180		вис. дол.	СВ	2,9	2,9	2,3	2,3
181	№ 181		вис. дол.	СВ, (В)	3,0	3,0	1,8	1,8
182*	№ 182		вис. дол.	С, (СВ,В)	3,3	2,9	1,4	1,4
183*	№ 183		вис. дол.	СВ, (В)	3,5	3,0	1,0	1,0
184*	№ 184		вис. дол.	В	3,3	3,3	2,4	2,4
185*	Рама	Рама	сл. дол.	(Ю), ЮВ	5,6	5,6	6,6	6,6
186	№ 186		вис. дол.	(В, ЮВ), СВ	3,8	3,8	2,2	2,2
187	№ 187		вис. дол.	В, (СВ)	3,9	3,9	3,4	3,4
188*	Юлдаша	Рама	сл. дол.	Ю	8,9	7,9	10,1	7,1

Сложный долинный ледник Рама (№185—188) имеет наибольшую длину 8,9 км, общую площадь 22,3 км² (из них Дендритовый ледник Преображенского (№ 178—188) имеет наибольшую длину 12,8 км, общую площадь 54 км²

Высота, м			Фирновая линия		Площадь области абляции, км ²		Объем льда, км ³	Ссылки на последующие таблицы (иллюстрации) № таблиц и иллюстраций порядковые № сведений в таблицах
низшей точки конца ледника	низшей точки открытой части ледника	высшей точки ледника	высота, м	способ определения и дата	общая	в том числе открытой части		
10	11	12	13	14	15	16	17	18

(реки Матча, Зеравшан)

Туркестанского хребта

3860	3860	4500	4210	Кур.	0,4	0,4	0,0311	IV/7; V/36
4400	4400	4640	4530	Кур.	0,1	0,1	0,0024	IV/7; V/36
3700	3860	4680	4250	Кур.	0,6	0,4	0,0311	IV/7; V/36
3580	3860	4760	4310	Кур.	0,7	0,5	0,0355	IV/7; V/36
4440	4440	4680	4560	Кур.	0,2	0,2	0,0044	IV/7; V/36
3670	3670	4200	3950	Кур.	0,2	0,2	0,0068	IV/7; V/36
			4020	аэровиз. IX 1973				
					2,2	1,8	0,1113	

устьями рек Обимазар и Россинч (реки Матча, Зеравшан)

Туркестанского хребта

4040	4040	4400	4260	Кур.	0,1	0,1	0,0024	IV/7; V/36
3900	3900	4190	4050	Кур.	0,1	0,1	0,0044	IV/7; V/36
					0,2	0,2	0,0068	

(реки Матча, Зеравшан)

Туркестанского хребта

3250	3380	4800	4050	Кур.	7,1	6,0	2,0277	IV/7; V/36
			3820	аэровиз. IX 1973				
3460	3460	4300	3970	Кур.	0,5	0,5	0,0311	IV/7; V/36
3440	3640	4420	3990	Кур.	0,5	0,3	0,0355	IV/7; V/36
3760	3760	4280	3960	Кур.	0,1	0,1	0,0044	IV/7; V/36
3440	3640	4440	4030	Кур.	0,6	0,4	0,0447	IV/7; V/36
			3840	аэровиз. IX 1973				
3600	3600	4360	4000	Кур.	0,1	0,1	0,0044	IV/7; V/36
4360	4360	4720	4550	Кур.	0,2	0,2	0,0068	IV/7; V/36
3900	3900	4500	4230	Кур.	0,3	0,3	0,0125	IV/7; V/36
3880	3880	4500	4240	Кур.	0,3	0,3	0,0193	IV/7; V/36
3720	3720	4400	4110	Кур.	0,2	0,2	0,0125	IV/7; V/36
					9,6	8,4	2,1989	

(реки Матча, Зеравшан)

Туркестанского хребта

3100	3680	4900	4080	Кур.	9,3	7,0	2,5244	IV/7; V/36
			4080	аэровиз. IX 1973				
3190	3300	4620	4130	Кур.	0,9	0,9	0,0881	IV/7; V/36
			4060	аэровиз. IX 1973				
3280	3280	4520	4120	Кур.	1,0	1,0	0,0942	IV/7; V/36
			4080	аэровиз. IX 1973				
3380	3380	4260	4020	Кур.	0,8	0,8	0,0652	IV/7; V/36
			3920	аэровиз. IX 1973				
3420	3460	4680	4130	Кур.	0,5	0,5	0,0447	IV/7; V/36
			4040					
3420	3460	4680	4090	Кур.	0,4	0,4	0,0270	IV/7; V/36
3480	3480	4640	4160	Кур.	1,1	1,1	0,1004	IV/7; V/36
			4100	аэровиз. IX 1973				
3500	3700	4800	4210	Кур.	3,1	3,1	0,4578	IV/7, 14; V/1, 36, 45
			4160	аэровиз. IX 1973				
3480	3480	4720	4060	Кур.	1,1	1,1	0,0881	IV/7; V/36
3580	3580	4760	4170	Кур.	1,6	1,6	0,1693	IV/7; V/36
			4120	аэровиз. IX 1973				
2960	3460	5070	4280	Кур.	8,0	5,0	0,8667	IV/7; V/36
			4060	аэровиз. IX 1973				

3,0 км² покрыто мореной) и площадь области абляции 13,8 км². Общий объем льда 1,5819 км³
(из них 5,3 км² покрыто мореной) и площадь области абляции 27,8 км². Общий объем льда 9,0209 км³

№ по схеме	Название	Название реки, вытекающей из ледника	Морфологический тип	Общая экспозиция	Наибольшая длина, км		Площадь, км ²	
					всего ледника	в том числе открытой части	всего ледника	в том числе открытой части
1	2	3	4	5	6	7	8	9
189	№ 189		кар.	С	1,6	1,6	0,7	0,7
190	№ 190		вис.	СВ	0,7	0,7	0,2	0,2
191	№ 191		прискл.	СВ	0,6	0,6	0,3	0,3
192	№ 192		вис. дол.	З	1,6	1,6	0,4	0,4
193	№ 193		кар.	З	0,6	0,6	0,2	0,2
194	№ 194		вис. кар.	ЮЗ	1,1	1,1	0,4	0,4
195	№ 195		вис. дол.	ЮЗ	1,5	1,5	0,6	0,6
196	№ 196		вис. дол.	З	2,0	2,0	1,3	1,1
197	№ 197		вис. кар.	СЗ	0,5	0,5	0,2	0,2
198	№ 198		вис. дол.	З	2,3	1,8	1,2	1,0
199	№ 199		кар.	З	1,1	1,1	0,6	0,6
200	№ 200		вис. кар.	СЗ	0,6	0,6	0,5	0,5
201	№ 201 24 ледника		вис. кар.	З	0,8	0,8	0,3	0,3
							60,9	55,2

Кроме того, в бассейне р. Рама имеется 6 ледников размерами менее 0,1 км² каждый, общей площадью 0,29 км²
Итого 30 ледников 61,2

Бассейн ледника Зеравшанский
Южный склон Туркестанского хребта,

202*	Зеравшанский	Матча	дендр.	(ЮВ, Ю, З), ЮЗ	27,8	18,2	38,7	28,8
203*	Фарахнау		сл. дол.	Ю, (ЮЗ)	13,5	11,1	19,8	17,8
204	№ 204		вис. кар.	В	1,0	0,9	0,7	0,5
205	№ 205		кар.-дол.	ЮВ	2,0	2,0	1,2	1,2
206	№ 206		кар.-дол.	ЮВ	2,3	2,3	1,4	1,4

Сложный долинный ледник Фарахнау (№ 203—206) имеет наибольшую длину 13,5 км, общую площадь 23,1 км² (из них

207*	Толстова		сл. дол.	Ю, (ЮВ)	13,3	11,9	17,3	13,9
208*	Скачкова		сл. дол.	Ю, (ЮВ, ЮЗ)	9,7	8,4	9,1	7,9
209*	Мирамин		сл. дол.	Ю, (ЮВ, ЮЗ)	11,3	8,1	13,8	12,2
210	№ 210		вис. кар.	ЮЗ	1,3	1,3	0,5	0,5
211	№ 211		кар.-дол.	ЮЗ	1,5	1,5	0,6	0,6
212	№ 212		кар.-дол.	ЮЗ	2,3	2,1	0,9	0,8
213	№ 213		кар.-дол.	ЮЗ	1,5	1,4	0,7	0,7

Сложный долинный ледник Мирамин (№ 209—213) имеет наибольшую длину 11,3 км, общую площадь 16,5 км² (из них

214*	Ахун		дол.	С, (СЗ, З)	9,0	5,6	4,5	3,6
215*	Назар-Айляк-1		сл. дол.	С, (СЗ, З)	7,2	4,2	5,4	4,6
216	№ 216		кар.-вис.	З	2,0	2,0	0,8	0,8
217	№ 217		вис.	З	1,0	1,0	0,3	0,3

Сложный долинный ледник Назар-Айляк 1 (№ 215—217) имеет наибольшую длину 7,2 км, общую площадь 6,5 км² (из

Высота, м			Фирновая линия		Площадь области абляции, км ²		Объем льда, км ³	Ссылки на последующие таблицы (иллюстрации) № таблиц и иллюстраций порядковые № сведений в таблицах
низшей точки конца ледника	низшей точки открытой части ледника	высшей точки ледника	высота, м	способ определения и дата	общая	в том числе открытой части		
10	11	12	13	14	15	16	17	18
3300	3700	4540	3900	Кур.	0,4	0,4	0,0158	IV/7; V/36
			4080	аэровиз. IX 1973				
4400	4400	4900	4660	Кур.	0,1	0,1	0,0024	IV/7; V/36
3700	3700	4100	3930	Кур.	0,2	0,2	0,0044	IV/7; V/36
4000	4000	4500	4240	Кур.	0,2	0,2	0,0068	IV/7; V/36
			4250	аэровиз. IX 1973				
4360	4360	4640	4510	Кур.	0,1	0,1	0,0024	IV/7; V/36
4090	4090	4460	4360	Кур.	0,2	0,2	0,0068	IV/7; V/36
			4170	аэровиз. IX 1973				
4000	4000	4900	4540	Кур.	0,4	0,4	0,0125	IV/7; V/36
			4280	аэровиз. IX 1973				
3820	3920	4900	4450	Кур.	0,7	0,5	0,0400	IV/7; V/36
			4260	аэровиз. IX 1973				
3900	3900	4280	4130	Кур.	0,1	0,1	0,0024	IV/7; V/36
3600	3900	5040	4360	Кур.	0,7	0,5	0,0355	IV/7; V/36
			4200	аэровиз. IX 1973				
3920	3920	4800	4310	Кур.	0,2	0,2	0,0125	IV/7; V/36
3850	3850	4200	4020	Кур.	0,2	0,2	0,0095	IV/7; V/36
			4180	аэровиз. IX 1973				
4040	4040	4400	4200	Кур.	0,1	0,1	0,0044	IV/7; V/36
					31,4	25,7	4,6813	

(реки Матча, Зеравшан)

северный склон Зеравшанского хребта

2810	3360	4900	4050	Кур.	25,5	15,6	6,5003	Рис. 21, 22; IV/1—7, 9—12, 14; V/I, 4—6, 9, 13—16, 18—20, 24—26, 31, 32, 34—39, 47, 48
			4020	аэровиз. IX 1973				
3080	3400	5200	4000	Кур.	8,4	6,4	2,3788	IV/2, 5, 7, 10, 14; V/5, 25, 36
			4080	аэровиз. IX 1973				
3720	3850	4820	4320	Кур.	0,4	0,2	0,0158	IV/2, 5, 7, 10, 14; V/5, 25, 36
3680	3680	4750	4300	Кур.	0,5	0,5	0,0355	IV/2, 5, 7, 10, 14; V/5, 25, 36
3680	3680	4870	4350	Кур.	0,6	0,6	0,0447	IV/2, 5, 7, 10, 14; V/5, 25, 36

2,2 км² покрыто мореной) и площадь области абляции 9,9 км². Общий объем льда 2,4748 км³

3200	3620	5100	4000	Кур.	9,2	5,8	1,9428	IV/2, 5, 7, 10, 14; V/5, 25, 36
			4020	аэровиз. IX 1973				
3550	3700	5100	4100	Кур.	4,6	3,4	0,7412	IV/2, 5, 7, 10, 14; V/5, 25, 36
			3980	аэровиз. IX 1973				
3640	3800	5200	4200	Кур.	6,6	5,0	1,3841	IV/2, 5, 7, 10, 14; V/5, 25, 36
4020	4020	4600	4330	Кур.	0,2	0,2	0,0095	IV/2, 5, 7, 10, 14; V/5, 25, 36
3900	3900	4400	4170	Кур.	0,3	0,3	0,0125	IV/2, 5, 7, 10, 14; V/5, 25, 36
3750	3800	4220	4000	Кур.	0,4	0,3	0,0231	IV/2, 5, 7, 10, 14; V/5, 25, 36
3710	3730	4430	4130	Кур.	0,3	0,3	0,0158	IV/2, 5, 7, 10, 14; V/5, 25, 36

1,7 км² покрыто мореной) и площадь области абляции 7,8 км². Общий объем льда 1,4450 км³

3560	3680	5200	4220	Кур.	2,5	1,6	0,2577	IV/2, 5, 7, 10, 14; V/5, 25, 36
			3940	аэровиз. IX 1973				
3540	3600	5100	4170	Кур.	3,4	2,6	0,3388	IV/2, 5, 7, 10, 14; V/5, 25, 36
			3760	аэровиз. IX 1973				
3800	3800	5140	4100	Кур.	0,4	0,4	0,0193	IV/2, 5, 7, 10, 14; V/5, 25, 36
3870	3870	4680	4300	Кур.	0,1	0,1	0,0044	IV/2, 5, 7, 10, 14; V/5, 25, 36

них 0,8 км² покрыто мореной) и площадь области абляции 3,9 км². Общий объем льда 0,3625 км³

№ по схеме	Название	Название реки, вытекающей из ледника	Морфологический тип	Общая экспозиция	Наибольшая длина, км		Площадь, км ²	
					всего ледника	в том числе открытой части	всего ледника	в том числе открытой части
1	2	3	4	5	6	7	8	9
218*	№ 218		кар.-дол.	С	1,1	0,8	0,4	0,4
219*	№ 219		дол.	СЗ	2,7	1,6	1,2	0,8
220*	Назар-Айляк-2		сл. дол.	С, (СВ СЗ, З)	8,2	6,2	10,0	8,2
221	Парак		вис. дол.	С (СЗ, З)	5,2	2,8	2,6	1,8
222	Ярхич		вис. дол.	С, (СЗ)	4,5	1,1	2,7	1,8

Дендритовый ледник Зеравшанский (№ 202—222) имеет наибольшую длину 27,8 км, общую площадь 132,6 км² (из них

223	№ 223		вис. дол.	Ю	4,5	4,5	1,8	1,8
224	№ 224		кар.-вис.	ЮВ	0,9	0,9	0,2	0,2
225	№ 225		кар.	З	1,5	1,5	0,7	0,7
226	№ 226		вис. дол.	ЮЗ	3,3	2,9	1,8	1,6
227	№ 227		кар.-дол.	ЮЗ	1,6	1,6	1,3	1,3
228	№ 228		вис. дол.	З	2,2	2,2	0,8	0,8
229	№ 229		кар.	ЮЗ	0,7	0,7	0,5	0,5
230*	№ 230		вис. дол.	З	2,1	1,7	0,6	0,6
231*	№ 231		вис. дол.	(З, ЮЗ) Ю	3,4	3,2	1,0	1,0
232	№ 232		вис. кар.	ЮВ	0,8	0,8	0,2	0,2
233	№ 233		вис. дол.	ЮВ, (Ю)	2,2	2,2	1,1	1,1
234	№ 234		вис. кар.	СВ	1,0	1,0	0,5	0,5
235	№ 235		вис. кар.	В	0,6	0,6	0,1	0,1
236	№ 236		вис. дол.	ЮЗ	1,0	1,0	0,3	0,3
237	№ 237		вис. дол.	ЮЗ	1,6	1,1	0,5	0,3
238	№ 238		кар.	В	0,6	0,6	0,4	0,4
239	№ 239		кар.-дол.	ЮЗ	2,1	1,6	1,0	0,9
240	№ 240		вис.	СЗ	1,0	1,0	0,3	0,3
241	№ 241		прискл.	З	0,3	0,3	0,4	0,4
242	№ 242		кар.-вис.	В	1,3	1,3	0,6	0,6
243	№ 243		вис. кар.	В	0,4	0,4	0,1	0,1
244	№ 244		вис.	С	0,5	0,5	0,1	0,1
245	№ 245		вис.	СЗ	0,4	0,4	0,1	0,1
246	№ 246		вис. кар.	СЗ, (З)	1,2	1,2	0,4	0,4
247	№ 247		вис. кар.	СЗ	0,7	0,7	0,2	0,2
248	№ 248		кар.-вис.	СВ	0,6	0,6	0,1	0,1
249	№ 249		кар.	СЗ	0,5	0,5	0,1	0,1
250	№ 250		вис.	С	0,6	0,6	0,2	0,2

Высота, м			Фирновая линия		Площадь области абляции, км ²		Объем льда, км ³	Ссылки на последующие таблицы (иллюстрации) № таблиц и иллюстраций порядковые № сведений в таблицах
низшей точки конца ледника	низшей точки открытой части ледника	высшей точки ледника	высота, м	способ определения и дата	общая	в том числе открытой части		
10	11	12	13	14	15	16	17	18
3500	3700	4200	3880	Кур.	0,2	0,2	0,0068	IV/2, 5, 7, 10, 14; V/5, 25, 36
3390	3500	4350	3730	Кур.	0,7	0,3	0,0355	IV/2, 5, 7, 10, 14; V/5, 25, 36
3320	3600	5000	4210	Кур.	5,1	3,3	0,8538	IV/2, 5, 7, 10, 14; V/5, 25, 36
3160	3450	4120	4060 3600	аэровиз. IX 1973 Кур.	1,3	0,5	0,1132	IV/2, 5, 7, 10, 14; V/5, 25, 36
3120	3460	4000	3780 3790	аэровиз. IX 1973 Кур.	1,4	0,5	0,1198	IV/2, 5, 7, 10, 14; V/5, 25, 36

24,0 км² покрыто мореной) и площадь области абляции 72,1 км². Общий объем льда 14,8534 км³

3400	3400	5080	4170	Кур.	0,9	0,9	0,0652	IV/2, 5, 7, 10, 14; V/5, 25, 36
4240	4240	4840	4200 4590	аэровиз. IX 1973 Кур.	0,1	0,1	0,0024	IV/2, 5, 7, 10, 14; V/5, 25, 36
4120	4120	4700	4350	Кур.	0,4	0,4	0,0158	IV/2, 5, 7, 10, 14; V/5, 25, 36
3900	4000	4900	4400 4400	аэровиз. IX 1973 Кур.	0,8	0,6	0,0652	IV/2, 5, 7, 10, 14; V/5, 25, 36
4000	4000	4600	4270	Кур.	0,6	0,6	0,0400	IV/2, 5, 7, 10, 14; V/5, 25, 36
3960	3960	4500	4160 4270	аэровиз. IX 1973 Кур.	0,4	0,4	0,0193	IV/2, 5, 7, 10, 14; V/5, 25, 36
3960	3960	4240	4220 4110	аэровиз. IX 1973 Кур.	0,2	0,2	0,0095	IV/2, 5, 7, 10, 14; V/5, 25, 36
3640	3800	4700	4080	Кур.	0,3	0,3	0,0125	IV/2, 5, 7, 10, 14; V/5, 25, 36
3620	3650	5000	4310	Кур.	0,5	0,5	0,0270	IV/2, 5, 7, 10, 14; V/5, 25, 36
4020	4020	4720	4210 4380	аэровиз. IX 1973 Кур.	0,1	0,1	0,0024	IV/2, 5, 7, 10, 14; V/5, 25, 36
3820	3820	5100	4510	Кур.	0,6	0,6	0,0311	IV/2, 5, 7, 10, 14; V/5, 25, 36
3800	3800	5400	4030	Кур.	0,3	0,3	0,0095	IV/2, 5, 7, 10, 14; V/5, 25, 36
4000	4000	4300	4140	Кур.	—	—	0,0009	IV/2, 5, 7, 10, 14; V/5, 25, 36
4400	4400	4800	4610	Кур.	0,1	0,1	0,0044	IV/2, 5, 7, 10, 14; V/5, 25, 36
4060	4260	4760	4350	Кур.	0,4	0,2	0,0095	IV/2, 5, 7, 10, 14; V/5, 25, 36
3800	3800	4100	3940	Кур.	0,2	0,2	0,0068	IV/2, 5, 7, 10, 14; V/5, 25, 36
4000	4080	5200	4530	Кур.	0,4	0,4	0,0270	IV/2, 5, 7, 10, 14; V/5, 25, 36
4550	4550	5240	4200 4900	аэровиз. IX 1973 Кур.	0,1	0,1	0,0044	IV/2, 5, 7, 10, 14; V/5, 25, 36
3800	3800	4000	3910	Кур.	0,2	0,2	0,0068	IV/2, 5, 7, 10, 14; V/5, 25, 36
3960	3960	4400	4130	Кур.	0,3	0,3	0,0125	IV/2, 5, 7, 10, 14; V/5, 25, 36
4560	4560	4860	4710	Кур.	—	—	0,0009	IV/2, 5, 7, 10, 14; V/5, 25, 36
4300	4300	4800	4560	Кур.	—	—	0,0009	IV/2, 5, 7, 10, 14; V/5, 25, 36
4200	4200	4600	4350	Кур.	—	—	0,0009	IV/2, 5, 7, 10, 14; V/5, 25, 36
4200	4200	4860	4010	Кур.	0,2	0,2	0,0068	IV/2, 5, 7, 10, 14; V/5, 25, 36
4500	4500	5000	4800	Кур.	0,1	0,1	0,0024	IV/2, 5, 7, 10, 14; V/5, 25, 36
4400	4400	5000	4680	Кур.	—	—	0,0009	IV/2, 5, 7, 10, 14; V/5, 25, 36
3500	3500	4000	3790	Кур.	—	—	0,0009	IV/2, 5, 7, 10, 14; V/5, 25, 36
4400	4400	5000	4710	Кур.	0,1	0,1	0,0024	IV/2, 5, 7, 10, 14; V/5, 25, 36

№ по схеме	Название	Название реки, вытекающей из ледника	Морфологический тип	Общая экспозиция	Наибольшая длина, км		Площадь, км ²	
					всего ледника	в том числе открытой части	всего ледника	в том числе открытой части
1	2	3	4	5	6	7	8	9
251	№ 251		кар.	СЗ	0,6	0,6	0,2	0,2
252*	№ 252		кар.	СЗ	0,7	0,6	0,2	0,2
253*	№ 253		вис. дол.	С, (СЗ)	2,0	1,8	0,5	0,5
254	№ 254		вис.	СЗ	0,5	0,5	0,1	0,1
255	№ 255		вис.	С	0,3	0,3	0,2	0,2
256	№ 256		кар.-вис.	(ЮВ), В	0,8	0,8	0,2	0,2
257	№ 257		вис. дол.	СЗ	2,3	1,0	0,9	0,6
258	Парах		сл. дол.	С	6,8	3,2	9,1	7,4
259	№ 259		кар.-вис.	СВ	1,0	1,0	0,3	0,3
260	№ 260	Сложный долинный ледник Парах (№ 258—259) имеет		наибольшую длину 6,8 км, общую площадь 9,4 км ² (из них				
			вис. дол.	3, (ЮЗ)	1,5	1,5	0,4	0,4
261	№ 261		вис. дол.	(Ю), ЮЗ	2,6	2,6	1,1	1,1
	60 ледников						161,2	134,7
Кроме того, в бассейне ледника Зеравшанский имеется 12					ледников размерами менее 0,1 км ² каждый, общей площадью			
Итого 72 ледника					162,0			

Бассейны левых притоков р. Матча от Зеравшанского ледника
Северный склон

262	Кажраго	Кажраго	вис. дол.	С	2,8	1,4	1,0	0,7
263	№ 263		кар.-дол.	(С), СВ	1,5	1,5	0,5	0,5
264	№ 264	пр. р. Матча	кар.	С	0,6	0,6	0,3	0,3
265	№ 265	пр. р. Лосако	кар.	СЗ	0,6	0,6	0,3	0,3
266	№ 266	Лосако	асимм. дол.	СЗ	1,6	1,6	0,5	0,5
267	№ 267		дол.	СЗ	1,2	1,2	0,4	0,4
268	Сурхак	Сурхак	дол.	С, (СЗ)	3,4	2,0	1,9	1,5
269*	№ 269		дол.	З	3,0	2,5	1,1	0,9
270*	№ 270		кар.-дол.	(СЗ), З	1,3	1,3	0,5	0,5
271	Мулломахмат	Мулломахмат	дол.	С, (СЗ)	5,3	2,6	3,9	2,8
272	№ 272		вис.	СВ	0,3	0,3	0,2	0,2
273	№ 273	пр. р. Хушнае	кар.	З	0,8	0,6	0,4	0,3
274	№ 274		кар.	З	0,5	0,5	0,1	0,1
275	Хушнае	Хушнае	кар.-дол.	(З), СЗ	2,3	1,9	1,8	1,5
276	Новобад	Новобад	кар.-дол.	(СВ), С	2,8	2,4	1,7	1,6
277	Галангисафед	Галангисафед	кар.-дол.	(СВ), С	1,6	1,6	1,2	1,2
278	Обисафед	Обисафед	кар.	С	0,5	0,5	0,2	0,2
279	Пияврут	Пияврут	дол.	СЗ	3,1	2,5	1,4	1,0
280	№ 280		кар.-дол.	З	2,2	2,2	1,5	1,5
281	№ 281		кар.	СЗ	1,2	1,2	0,4	0,4
282	№ 282	Пияврут	вис.	СВ	0,5	0,5	0,4	0,4
283	№ 283	пр. р. Пияврут	кар.-вис.	С	1,0	1,0	0,3	0,3
284	№ 284	пр. р. Матча	дол.	С	2,2	1,2	1,0	0,7
285	№ 285	Андрифак	дол.	С	2,2	1,8	1,0	0,9
	24 ледника						22,0	18,7
Кроме того, в бассейнах левых притоков р. Матча от Зеравшанского ледника до устья р. Шахисафед имеется 1					22,1			
Итого 25 ледников								

Бассейн р. Шахисафед
Северный склон

286	№ 286	пр. р. Шахисафед	кар.	СЗ	0,8	0,8	0,3	0,3
287	№ 287	пр. р. Шахисафед	кар.	З	0,5	0,5	0,2	0,2

Высота, м			Фирровая линия		Площадь области абляции, км ²		Объем льда, км ³	Ссылки на последующие таблицы (иллюстрации) № таблиц и иллюстраций порядковые № сведений в таблицах
нижней точки конца ледника	нижней точки открытой части ледника	высшей точки ледника	высота, м	способ определения и дата	общая	в том числе открытой части		
10	11	12	13	14	15	16	17	18
3520	3520	3960	3770	Кур.	0,1	0,1	0,0024	IV/2, 5, 7, 10, 14; V/5, 25, 36
3600	3660	3900	3750	Кур.	0,1	0,1	0,0024	IV/2, 5, 7, 10, 14; V/5, 25, 36
3400	3500	4380	3890	Кур.	0,3	0,3	0,0095	IV/2, 5, 7, 10, 14; V/5, 25, 36
3900	3900	4240	4090	Кур.	—	—	0,0009	IV/2, 5, 7, 10, 14; V/5, 25, 36
4200	4200	4500	4340	Кур.	0,1	0,1	0,0024	IV/2, 5, 7, 10, 14; V/5, 25, 36
4200	4200	4760	4440	Кур.	0,1	0,1	0,0024	IV/2, 5, 7, 10, 14; V/5, 25, 36
3420	3700	4160	3780	Кур.	0,4	0,1	0,0231	IV/2, 5, 7, 10, 14; V/5, 25, 36
3280	3700	4440	3880	аэровиз. IX 1973	3,9	2,2	0,7412	IV/2, 5, 7, 10, 14; V/5, 25, 36
3740	3740	4280	3980	Кур.	0,1	0,1	0,0044	IV/2, 5, 7, 10, 14; V/5, 25, 36
			4050	аэровиз. IX 1973	0,1	0,1	0,0044	IV/10
1,7 км ² покрыто мореной) и площадь области абляции 4,0 км ² . Общий объем льда 0,7456 км ³								
3780	3780	4560	4110	Кур.	0,2	0,2	0,0068	IV/10
			3980	аэровиз. IX 1973				
3820	3820	4600	4180	Кур.	0,6	0,6	0,0311	
					85,4	58,9	16,0683	

0,82 км²

до устья р. Шахисафед (реки Матча, Зеравшан)

Зеравшанского хребта

3400	3760	4400	3860	Кур.	0,6	0,3	0,0270	
3700	3700	4300	4060	Кур.	0,2	0,2	0,0095	
3860	3860	4160	3970	Кур.	0,2	0,2	0,0044	
3880	3880	4260	4060	Кур.	0,1	0,1	0,0044	
3640	3640	4120	3960	Кур.	0,2	0,2	0,0095	
3900	3900	4400	4110	Кур.	0,2	0,2	0,0068	
3420	3600	4100	3800	Кур.	0,8	0,4	0,0707	
			3780	аэровиз. IX 1973				
3670	3670	4400	4020	Кур.	0,5	0,3	0,0311	
			3800	аэровиз. IX 1973				
3760	3760	4300	4020	Кур.	0,2	0,2	0,0095	
			3800	аэровиз. IX 1973				
3000	3550	4200	3710	Кур.	1,5	0,4	0,2080	
3960	3960	4240	4110	Кур.	0,1	0,1	0,0024	
3580	3740	4060	3850	Кур.	0,2	0,1	0,0068	
3800	3800	4000	3910	Кур.	—	—	0,0009	
3630	3730	4040	3770	Кур.	1,1	0,8	0,0652	
			3720	аэровиз. IX 1973				
3370	3500	4080	3800	Кур.	0,7	0,6	0,0598	
3520	3520	4080	3900	Кур.	0,4	0,4	0,0355	
3320	3320	3680	3510	Кур.	0,1	0,1	0,0024	
3300	3560	4200	3740	Кур.	0,7	0,3	0,0447	
			3680	аэровиз. IX 1973				
3580	3580	4100	3870	Кур.	0,7	0,7	0,0496	
3560	3560	4000	3830	Кур.	0,2	0,2	0,0068	
3480	3480	3820	3650	Кур.	0,1	0,1	0,0068	
3540	3540	4040	3770	Кур.	0,2	0,2	0,0044	
3100	3360	4160	3780	Кур.	0,5	0,2	0,0270	
			3840	аэровиз. IX 1973				
3300	3460	4140	3760	Кур.	0,5	0,4	0,0270	
					10,0	6,7	0,7202	

ледник площадью 0,08 км²

(реки Матча, Зеравшан)

Зеравшанского хребта

3800	3800	4080	3960	Кур.	0,1	0,1	0,0044	
4040	4040	4300	4180	Кур.	0,1	0,1	0,0024	

№ по схеме	Название	Название реки, вытекающей из ледника	Морфологический тип	Общая экспозиция	Наибольшая длина, км		Площадь, км ²	
					всего ледника	в том числе открытой части	всего ледника	в том числе открытой части
1	2	3	4	5	6	7	8	9
288	№ 288	пр. р. Шахисафед	кар.	З	1,0	1,0	0,4	0,4
289	№ 289	пр. р. Шахисафед	кар.	З	1,5	1,5	0,8	0,8
290	№ 290	пр. р. Шахисафед	кар.	З	1,2	1,2	0,5	0,5
291*	№ 291	пр. р. Шахисафед	кар.	СЗ	0,9	0,7	0,4	0,4
292	№ 292	пр. р. Шахисафед	кар.-дол.	СВ, (С)	3,5	2,5	2,6	2,4
293	№ 293	пр. р. Шахисафед	вис. кар.	В	1,1	1,1	0,3	0,3
294	№ 294	пр. р. Шахисафед	кар.	В	0,9	0,9	0,3	0,3
295	№ 295	пр. р. Шахисафед	вис. дол.	СЗ	1,6	1,6	0,5	0,5
296	Шахисафед	Шахисафед	сл. дол.	СВ	9,2	3,6	14,1	9,0
297*	№ 297		кар.-дол.	СЗ	2,1	2,1	0,8	0,8
298*	№ 298		вис. дол.	СЗ	2,2	2,2	1,1	1,1
299	№ 299		кар.	В	0,6	0,6	0,2	0,2
	14 ледников						22,5	17,2

Кроме того, в бассейне р. Шахисафед имеется 3 ледника размерами менее 0,1 км² каждый, общей площадью 0,22 км²
Итого 17 ледников 22,7

**Бассейн р. Нашпурт
Северный склон**

300	Нашпурт	Нашпурт	кар.-дол.	С, (СВ)	0,8	0,8	0,2	0,2
-----	---------	---------	-----------	---------	-----	-----	-----	-----

**Бассейн р. Харвир
Северный склон**

301	Харвир	Харвир	вис. кар.	С	1,1	1,1	0,4	0,4
302	№ 302	пр. р. Харвир	вис.	С	0,8	0,8	0,4	0,4
	2 ледника						0,8	0,8

**Бассейн левого безымянного притока р. Матча между
Северный склон отрога**

303	№ 303	пр. р. Матча	кар.-дол.	С	0,8	0,5	0,3	0,2
-----	-------	--------------	-----------	---	-----	-----	-----	-----

**Бассейн р. Дихаданг
Северный склон**

304	№ 304	пр. р. Дихаданг	кар.	СЗ	0,9	0,9	0,2	0,2
305	№ 305	пр. р. Дихаданг	кар.	З	0,8	0,8	0,2	0,2
306	№ 306	пр. р. Дихаданг	склон.	СЗ	0,4	0,4	0,2	0,2
307	№ 307	пр. р. Дихаданг	склон.	СЗ	0,4	0,4	0,2	0,2
308	№ 308	пр. р. Дихаданг	склон.	С	0,3	0,3	0,1	0,1
309	№ 309	пр. р. Дихаданг	склон.	В	0,6	0,6	0,2	0,2
310	№ 310	пр. р. Дихаданг	вис.	З	0,4	0,4	0,2	0,2
311	№ 311	пр. р. Дихаданг	кар.-дол.	СЗ	1,0	1,0	0,4	0,4
312	№ 312	пр. р. Дихаданг	кар.	З	1,2	1,2	0,4	0,4
313	№ 313	пр. р. Дихаданг	кар.	СЗ	1,1	1,1	0,4	0,4
314	№ 314	Дихаданг	дол.	СЗ	2,2	2,0	2,0	1,7
315	№ 315	пр. р. Дихаданг	кар.-дол.	СВ	1,8	1,5	1,6	1,3
	12 ледников						6,1	5,5

Кроме того, в бассейне р. Дихаданг имеется 1 ледник площадью 0,06 км²
Итого 13 ледников 6,2

**Бассейн левого безымянного притока р. Матча между
Северный склон**

316	№ 316	пр. р. Матча	вис.	С	0,4	0,4	0,2	0,2
317	№ 317	пр. р. Матча	кар.	С	1,0	1,0	0,3	0,3
	2 ледника						0,5	0,5

Высота, м			Фирновая линия		Площадь области абляции, км ²		Объем льда, км ³	Ссылки на последующие таблицы (иллюстрации) № таблиц и иллюстраций порядковые № сведений в таблицах
нижней точки конца ледника	нижней точки открытой части ледника	высшей точки ледника	высота, м	способ определения и дата	общая	в том числе открытой части		
10	11	12	13	14	15	16	17	18
3780	3780	4200	3970	Кур.	0,2	0,2	0,0068	
			3880	аэровиз. IX 1973				
3840	3840	4280	4060	Кур.	0,4	0,4	0,0193	
3600	3600	4040	3870	Кур.	0,2	0,2	0,0095	
			3800	аэровиз. IX 1973				
3480	3600	4000	3800	Кур.	0,2	0,2	0,0068	
3340	3540	4200	3820	Кур.	1,4	1,2	0,1132	
			3720	аэровиз. IX 1973				
3760	3760	4400	4060	Кур.	0,2	0,2	0,0044	
3800	3800	4160	3980	Кур.	0,2	0,2	0,0044	
3660	3660	4100	3890	Кур.	0,2	0,2	0,0095	
3000	3400	4600	3640	Кур.	7,1	2,0	1,4295	
			3540	аэровиз. IX 1973				
3600	3600	4240	3940	Кур.	0,4	0,4	0,0193	
3360	3360	4300	3890	Кур.	0,5	0,5	0,0311	
			3760	аэровиз. IX 1973				
3950	3950	4200	4080	Кур.	0,1	0,1	0,0024	
					11,3	6,0	1,6630	
(реки Матча, Зеравшан)								
Зеравшанского хребта								
3920	3920	4240	4130	Кур.	0,1	0,1	0,0024	
(реки Матча, Зеравшан)								
Зеравшанского хребта								
4000	4000	4330	4160	Кур.	0,2	0,2	0,0068	
3880	3880	4280	4100	Кур.	0,2	0,2	0,0068	
					0,4	0,4	0,0136	
устьями рек Харвир и Дихаданг								
Зеравшанского хребта								
3740	3940	4180	4060	Кур.	0,2	0,1	0,0044	
(реки Матча, Зеравшан)								
Зеравшанского хребта								
3920	3920	4280	4130	Кур.	0,1	0,1	0,0024	IV/14; V/43
3840	3840	4160	4030	Кур.	0,1	0,1	0,0024	IV/14; V/43
3860	3860	4080	3970	Кур.	0,1	0,1	0,0024	IV/14; V/43
3880	3880	4040	3940	Кур.	0,1	0,1	0,0024	IV/14; V/43
3920	3920	4100	3990	Кур.	—	—	0,0009	IV/14; V/43
4020	4020	4200	4130	Кур.	0,1	0,1	0,0024	IV/14; V/43
3840	3840	4150	4000	Кур.	0,1	0,1	0,0024	IV/14; V/43
3780	3780	4120	3950	Кур.	0,2	0,2	0,0068	IV/14; V/43
3840	3840	4080	3930	Кур.	0,2	0,2	0,0068	IV/14; V/43
			3890	аэровиз. IX 1973				
3900	3900	4140	4040	Кур.	0,2	0,2	0,0068	IV/14; V/43
3600	3780	4340	3960	Кур.	1,1	0,8	0,0764	IV/14; V/43
			3860	аэровиз. IX 1973				
3620	3720	4100	3880	Кур.	0,7	0,4	0,0546	IV/14; V/43
			3840	аэровиз. IX 1973				
					3,0	2,4	0,1667	

устьями рек Дихаданг и Рог (реки Матча, Зеравшан)

Зеравшанского хребта

3780	3780	4220	4020	Кур.	0,1	0,1	0,0024	
3800	3800	4240	4040	Кур.	0,1	0,1	0,0044	
					0,2	0,2	0,0068	

№ по схеме	Название	Название реки, вытекающей из ледника	Морфологический тип	Общая экспозиция	Наибольшая длина, км		Площадь, км ²	
					всего ледника	в том числе открытой части	всего ледника	в том числе открытой части
1	2	3	4	5	6	7	8	9

Бассейн р. Рог
Северный склон

318	№ 318	пр. р. Рог	кар.	С	0,9	0,9	0,4	0,4
319	№ 319	пр. р. Рог	кар.	С	1,0	1,0	0,2	0,2
320	№ 320	пр. р. Рог	кар.	С, (СЗ)	1,0	1,0	0,3	0,3
321	№ 321	пр. р. Рог	асимм.	СЗ	1,2	1,2	0,4	0,4
322	№ 322	пр. р. Рог	дол.	С	3,4	2,1	2,1	1,2
323	№ 323		асимм.	З	1,5	1,2	0,5	0,3
324	№ 324	пр. р. Рог	дол.	СЗ	1,3	0,5	0,5	0,3
325*	Рог	Рог	кар.	(З, СЗ),	7,1	3,5	5,2	3,4
			дол.	С				
326*	№ 326		вис. дол.	З	2,6	2,6	1,4	1,4
327	№ 327		вис.	СВ	0,9	0,9	0,2	0,2
328	№ 328		вис.	С	0,5	0,5	0,2	0,2
329	№ 329		вис. дол.	С, (СВ)	3,9	3,7	3,7	3,6
330	№ 330		кар. вис.	СВ	0,9	0,9	0,2	0,2
331	№ 331		вис. дол.	(С),	2,2	2,2	1,5	1,5
				СВ, (В)				
	14 ледников						16,8	13,6
	Кроме того, в бассейне	р. Рог	имеется 5 ледников	размерами	менее 0,1 км ²	каждый,	общей площадью	0,26 км ²
	Итого 19 ледников						17,1	

Бассейн левого безымянного притока р. Матча
Северный склон

332	№ 332	пр. р. Матча	кар.-дол.	С, (СЗ)	1,7	1,1	0,9	0,7
333	№ 333	пр. р. Матча	кар.	С	0,6	0,4	0,2	0,1
	2 ледника						1,1	0,8

Бассейн р. Полдорак
Северный склон

334	№ 334	пр. р. Полдорак	кар.-дол.	СЗ, (З)	0,8	0,8	0,4	0,4
335	№ 335	пр. р. Полдорак	дол.	СЗ, (З)	2,0	1,7	0,8	0,6
336	№ 336	пр. р. Полдорак	дол.	СЗ	1,4	1,2	0,7	0,5
337	№ 337	пр. р. Полдорак	кар.-дол.	СЗ	1,3	1,3	0,5	0,5
338	№ 338	пр. р. Полдорак	кар.	СЗ	1,0	1,0	0,3	0,3
339	№ 339	пр. р. Полдорак	кар.	СЗ	1,2	1,2	0,3	0,3
340	№ 340	Полдорак	дол.	СЗ	1,6	1,1	0,8	0,6
341	№ 341	Полдорак	дол.	С	1,5	1,3	0,4	0,3
	8 ледников						4,2	3,5

Бассейн р. Пакшиф
Северный склон

342	№ 342	пр. р. Пакшиф	дол.	С, (СЗ)	2,4	1,2	1,4	1,0
343	№ 343	пр. р. Пакшиф	кар.-дол.	(С), СЗ	1,8	1,5	0,7	0,6
344	№ 344	Пакшиф	дол.	С, (СЗ)	2,4	1,8	1,7	1,5
345	№ 345	пр. р. Пакшиф	прискл.	СВ	0,3	0,3	0,1	0,1
346	№ 346	пр. р. Пакшиф	кар.-вис.	СВ	0,9	0,9	0,2	0,2
347	№ 347	пр. р. Пакшиф	кар.-дол.	СВ	2,6	2,6	1,2	1,2
348	№ 348	пр. р. Пакшиф	кар.	В	0,7	0,7	0,2	0,2
349	№ 349	пр. р. Пакшиф	кар.-дол.	СВ	1,5	1,5	0,5	0,5
350	№ 350	пр. р. Пакшиф	кар.	СВ	0,6	0,6	0,3	0,3
	9 ледников						6,3	5,6

Кроме того, в бассейне р. Пакшиф имеется 1 ледник площадью 0,08 км²
Итого 10 ледников

Бассейн р. Димнора
Северный склон

351	№ 351	пр. р. Димнора	кар.-дол.	СЗ	1,0	1,0	0,2	0,2
352	№ 352	пр. р. Димнора	кар.-дол.	СЗ	1,1	1,1	0,5	0,5

Высота, м			Фирновая линия		Площадь области абляции, км ²		Объем льда, км ³	Ссылки на последующие таблицы (иллюстрации) № таблиц и иллюстраций порядковые № сведений в таблицах
низшей точки конца ледника	низшей точки открытой части ледника	высшей точки ледника	высота, м	способ определения и дата	общая	в том числе открытой части		
10	11	12	13	14	15	16	17	18

(реки Матча, Зеравшан)

Зеравшанского хребта

3960	3960	4390	4150	Кур.	0,2	0,2	0,0068
4120	4120	4400	4350	Кур.	0,1	0,1	0,0024
3880	3880	4400	4060	Кур.	0,2	0,2	0,0044
3760	3760	4000	3880	Кур.	0,2	0,2	0,0068
			3900	аэровиз. IX 1973			
3340	3470	4400	3670	Кур.	1,1	0,2	0,0822
			3720	аэровиз. IX 1973			
3540	3640	4240	3890	Кур.	0,4	0,2	0,0095
3640	3950	4300	3950	Кур.	0,3	0,1	0,0095
3040	3350	4300	3650	Кур.	2,4	0,6	0,3202
			3800	аэровиз. IX 1973			
3720	3720	4430	4010	Кур.	0,8	0,8	0,0447
			3840	аэровиз. IX 1973			
4200	4200	5000	4570	Кур.	0,1	0,1	0,0024
4100	4100	4600	4430	Кур.	0,1	0,1	0,0024
3800	3880	5160	4260	Кур.	2,1	2,0	0,1922
3960	3960	4600	4210	Кур.	0,1	0,1	0,0024
3600	3600	4900	4290	Кур.	0,7	0,7	0,0496
			4080	аэровиз. IX 1973			
					8,8	5,6	0,7355

рек Рог и Полдорак (реки Матча, Зеравшан)

Зеравшанского хребта

3860	3960	4600	4230	Кур.	0,6	0,4	0,0231
3920	4020	4140	4050	Кур.	0,1	—	0,0024
					0,7	0,4	0,0255

(реки Матча, Зеравшан)

Зеравшанского хребта

4000	4000	4400	4180	Кур.	0,2	0,2	0,0068
3900	4100	4700	4310	Кур.	0,6	0,4	0,0193
3820	4020	4800	4210	Кур.	0,4	0,2	0,0158
			3940	аэровиз. IX 1973			
3920	3920	1400	4090	Кур.	0,3	0,3	0,0095
3860	3860	4300	4020	Кур.	0,2	0,2	0,0044
3740	3740	4140	3950	Кур.	0,1	0,1	0,0044
3600	3660	4040	3860	Кур.	0,4	0,2	0,0193
			3840	аэровиз. IX 1973			
3600	3700	4400	4050	Кур.	0,2	0,1	0,0068
					2,4	1,7	0,0863

(реки Матча, Зеравшан)

Зеравшанского хребта

3850	4100	4500	4190	Кур.	0,8	0,4	0,0447
3840	4040	4680	4110	Кур.	0,4	0,3	0,0158
3700	3800	4460	4080	Кур.	0,9	0,7	0,0598
			4080	аэровиз. IX 1973			
3800	3800	4100	3950	Кур.	—	—	0,0009
4100	4100	4440	4280	Кур.	0,1	0,1	0,0024
3600	3600	4680	4340	Кур.	0,5	0,5	0,0355
4040	4040	4480	4240	Кур.	0,1	0,1	0,0024
3600	3600	4200	3920	Кур.	0,3	0,3	0,0095
3980	3980	4320	4150	Кур.	0,1	0,1	0,0044
					3,2	2,5	0,1754

(реки Матча, Зеравшан)

Зеравшанского хребта

4080	4080	4590	4310	Кур.	0,1	0,1	0,0024
4140	4140	4600	4330	Кур.	0,3	0,3	0,0095

№ по схеме	Название	Название реки, вытекающей из ледника	Морфологический тип	Общая экспозиция	Наибольшая длина, км		Площадь, км ²	
					всего ледника	в том числе открытой части	всего ледника	в том числе открытой части
1	2	3	4	5	6	7	8	9
353	№ 353	пр. р. Димнора	дол.	С	2,2	1,4	1,4	1,1
354	№ 354	пр. р. Димнора	кар.	СВ	0,7	0,7	0,1	0,1
355	№ 355	пр. р. Димнора	вис.	С	0,5	0,5	0,1	0,1
356	№ 356	пр. р. Димнора	кар.-вис.	СЗ	0,5	0,5	0,1	0,1
357	№ 357	пр. р. Димнора	кар.-дол.	СЗ, (З)	1,1	1,0	0,3	0,2
358	№ 358	пр. р. Димнора	дол.	С	1,9	1,7	1,2	1,0
359	№ 359	пр. р. Димнора	вис. дол.	С, (З)	1,3	1,3	0,3	0,3
360	№ 360	пр. р. Димнора	кар.-вис.	СЗ	0,8	0,8	0,2	0,2
361	№ 361	Димнора	вис. дол.	С, (СЗ)	1,5	1,5	0,9	0,9
362	№ 362		сл. дол.	СВ	2,4	2,4	2,6	2,4
363	№ 363		вис. дол.	(СЗ), С, (СВ)	1,1	1,1	0,3	0,3
364	№ 364	пр. р. Димнора	кар.	СВ	0,7	0,7	0,2	0,2
365	№ 365	пр. р. Димнора	кар.-вис.	СВ	1,1	1,1	0,3	0,3
366	№ 366	пр. р. Димнора	кар.	СВ	1,0	1,0	0,5	0,5
367	№ 367	пр. р. Димнора	дол.	С	3,1	2,4	1,8	1,3
368	№ 368		вис. дол.	СВ, (В)	1,6	1,6	0,5	0,5
369	№ 369		кар.	(СВ), В	1,7	1,7	0,8	0,8
370	№ 370	пр. р. Димнора	кар.-вис.	СВ	0,6	0,6	0,2	0,2
20 ледников							12,5	11,2
Кроме того, в бассейне		р. Димнора	имеется 7 ледников	размерами менее 0,1 км ² каждый,	общей площадью 0,39 км ²		12,9	
Итого 27 ледников								
Бассейн р. Джиндон								
Северный склон								
371	№ 371	пр. р. Джиндон	кар.-вис.	СВ	1,1	1,1	0,4	0,4
372	№ 372	пр. р. Джиндон	дол.	С	2,7	2,7	1,1	1,1
373	№ 373	пр. р. Джиндон	вис.	СЗ	0,8	0,8	0,3	0,3
374	№ 374	пр. р. Джиндон	дол.	СЗ	1,3	1,3	0,5	0,5
375	№ 375	пр. р. Джиндон	кар.	СЗ	0,9	0,9	0,3	0,3
376	№ 376	Джиндон	дол.	(СВ), С	2,5	2,5	1,7	1,7
377	№ 377		кар.	В	1,1	1,1	0,3	0,3
378	№ 378	пр. р. Джиндон	кар.-вис.	(СВ), В	1,2	1,2	0,5	0,5
8 ледников							5,1	5,1
Кроме того, в бассейне		р. Джиндон	имеется 3 ледника	размерами менее 0,1 км ² каждый,	общей площадью 0,18 км ²		5,3	
Итого 11 ледников								
Бассейн р. Валгон								
Северный склон								
379	№ 379	пр. р. Валгон	вис. дол.	С, (СЗ)	2,3	2,3	1,8	1,8
380	№ 380	пр. р. Валгон	дол.	(В, СВ) С	4,0	3,6	2,8	2,5
381	№ 381	пр. р. Валгон	дол.	(СВ) С	4,0	3,6	2,6	2,4
382	№ 382	пр. р. Валгон	кар.	СЗ	0,9	0,9	0,4	0,4
383	№ 383	пр. р. Валгон	кар.	СЗ	1,4	1,4	0,5	0,5
384	№ 384	пр. р. Валгон	вис. кар.	СЗ	1,3	1,3	0,4	0,4
385	№ 385	Валгон	дол.	СВ	2,0	1,6	1,0	0,9
386	№ 386	Валгон	кар.-дол.	(В), СВ	2,7	2,4	2,0	1,9
387	№ 387	пр. р. Валгон	кар.-вис.	В	1,2	1,2	0,3	0,3
388	№ 388	пр. р. Валгон	вис. дол.	В	3,1	2,9	1,2	1,0
389	№ 389	пр. р. Валгон	прискл.	СВ	1,1	1,1	0,2	0,2
390	№ 390	пр. р. Валгон	кул.	(В), ЮВ	1,2	1,2	0,3	0,3
391	№ 391	пр. р. Валгон	вис.	В	0,5	0,5	0,2	0,2
13 ледников							13,7	12,8
Бассейн р. Падаск								
Северный склон								
392	№ 392	пр. р. Падаск	кар.	С	0,6	0,6	0,2	0,2
393	№ 393	пр. р. Падаск	вис. кар.	СЗ, (С)	0,9	0,9	0,4	0,4
394	№ 394	пр. р. Падаск	кар.-дол.	С, (СЗ)	1,5	0,8	0,5	0,3
395	№ 395		вис.	С	0,6	0,6	0,2	0,2
396	№ 396		кар.-вис.	СВ	0,6	0,6	0,1	0,1
397	№ 397	пр. р. Падаск	вис. кар.	СЗ	1,2	1,0	0,5	0,3

Высота, м			Фирновая линия		Площадь области абляции, км ²		Объем льда, км ³	Ссылки на последующие таблицы (иллюстрации) № таблиц и иллюстраций порядковые № сведений в таблицах
нижней точки копча ледника	нижней точки открытой части ледника	высшей точки ледника	высота, м	способ определения и дата	общая	в том числе открытой части		
10	11	12	13	14	15	16	17	18
3540	3680	4300	3850	Кур.	0,8	0,5	0,0447	
4000	4000	4400	4220	Кур.	—	—	0,0009	
3960	3960	4240	4100	Кур.	—	—	0,0009	
4120	4120	4380	4250	Кур.	—	—	0,0009	
3960	3960	4500	4200	Кур.	0,2	0,1	0,0044	
3540	3640	4400	3950	Кур.	0,7	0,5	0,0355	
3800	3800	4240	4090	Кур.	0,1	0,1	0,0044	
3840	3840	4240	4090	Кур.	0,1	0,1	0,0024	
3640	3640	4480	4150	Кур.	0,4	0,4	0,0231	
3640	3640	4510	4080	Кур.	1,3	1,1	0,1132	
4180	4180	4400	3860	аэровиз. IX 1973				
			4290	Кур.	0,2	0,2	0,0044	
4080	4080	4400	4250	Кур.	0,1	0,1	0,0024	
3920	3920	4380	4160	Кур.	0,1	0,1	0,0044	
4000	4000	4400	4250	Кур.	0,3	0,3	0,0095	
3500	3700	4940	4060	Кур.	1,1	0,6	0,0652	
			3930	аэровиз. IX 1973				
3840	3840	4400	4150	Кур.	0,3	0,3	0,0095	
3960	3960	4840	4290	Кур.	0,5	0,5	0,0193	
4160	4160	4700	4450	Кур.	0,1	0,1	0,0024	
					6,7	5,4	0,3594	

(реки Матча, Зеравшан)

Зеравшанского хребта

3960	3960	4580	4250	Кур.	0,2	0,2	0,0068	
3670	3670	5040	4310	Кур.	0,5	0,5	0,0311	
4310	4310	4800	4500	Кур.	0,1	0,1	0,0044	
3840	3840	4700	4230	Кур.	0,2	0,2	0,0095	
3760	3760	4200	3980	Кур.	0,2	0,2	0,0044	
3560	3560	4400	3890	Кур.	1,0	1,0	0,0598	
4000	4000	4400	4220	Кур.	0,1	0,1	0,0044	
4000	4000	4600	4250	Кур.	0,3	0,3	0,0095	
					2,6	2,6	0,1299	

(реки Матча, Зеравшан)

Зеравшанского хребта

4050	4050	4800	4370	Кур.	1,0	1,0	0,0652	
3500	3600	4540	4000	Кур.	1,3	1,0	0,1265	
3780	3880	4640	4140	Кур.	1,2	1,0	0,1132	
			3860	аэровиз. IX 1973				
4000	4000	4500	4230	Кур.	0,2	0,2	0,0068	
3600	3600	4380	3960	Кур.	0,3	0,3	0,0095	
3500	3500	4400	4020	Кур.	0,2	0,2	0,0068	
3320	3520	4000	3640	Кур.	0,4	0,3	0,0270	
3700	3800	4380	4100	Кур.	0,7	0,6	0,0764	
			4020	аэровиз. IX 1973				
3840	3840	4400	4100	Кур.	0,2	0,2	0,0044	
3500	3600	5240	4410	Кур.	0,7	0,5	0,0355	
			4080	аэровиз. IX 1973				
3680	3680	4120	3910	Кур.	0,1	0,1	0,0024	
4000	4000	5000	4530	Кур.	0,2	0,2	0,0044	
3720	3720	4000	3850	Кур.	0,1	0,1	0,0024	
					6,6	5,7	0,4805	

(реки Матча, Зеравшан)

Зеравшанского хребта

3880	3880	4200	4000	Кур.	0,1	0,1	0,0024	IV/14; V/44
4000	4000	4320	4180	Кур.	0,2	0,2	0,0068	IV/14; V/44
3680	3790	4340	3890	Кур.	0,3	0,1	0,0095	IV/14; V/44
4400	4400	4840	4660	Кур.	0,1	0,1	0,0024	IV/14; V/44
4040	4040	4480	4310	Кур.	—	—	0,0009	IV/14; V/44
3950	4000	4500	4200	Кур.	0,4	0,2	0,0095	IV/14; V/44

№ по схеме	Название	Название реки, вытекающей из ледника	Морфологический тип	Общая экспозиция	Наибольшая длина, км		Площадь, км ²	
					всего ледника	в том числе открытой части	всего ледника	в том числе открытой части
1	2	3	4	5	6	7	8	9
398	№ 398	пр. р. Падаск	дол.	С	2,6	2,0	1,6	1,2
399	№ 399	Падаск	вис. кар.	СЗ	1,3	1,1	0,6	0,4
400	№ 400		кар.-вис.	СЗ	1,3	1,3	0,2	0,2
401	№ 401		дол.	С	4,6	2,7	3,0	2,2
402	№ 402	Падаск	вис.	СЗ	0,8	0,8	0,2	0,2
403	№ 403		вис.	СЗ	0,5	0,5	0,1	0,1
404	№ 404		дол.	(СВ), С	6,0	2,8	4,5	3,7
405	№ 405	пр. р. Падаск	вис.	СВ	0,4	0,4	0,1	0,1
	14 ледников						12,2	9,6

Кроме того, в бассейне р. Падаск имеется 2 ледника размерами менее 0,1 км² каждый, общей площадью 0,12 км²
Итого 16 ледников

Бассейн р. Табаспин
Северный склон

406	№ 406	пр. р. Табаспин	кар.-вис.	СЗ	0,7	0,7	0,1	0,1
407	№ 407	пр. р. Табаспин	кар.-дол.	С	1,8	1,8	1,0	1,0
408	№ 408	пр. р. Табаспин	кар.-вис.	С	1,3	1,3	0,4	0,4
409	№ 409	Табаспин	кар.-вис.	СЗ	0,6	0,6	0,1	0,1
410	№ 410		дол.	С	2,4	2,1	1,6	1,3
411	№ 411	пр. р. Табаспин	кар.	С	0,9	0,9	0,2	0,2
412	№ 412		кар.	СЗ	1,5	0,8	0,4	0,3
413	№ 413		кар.-дол.	СВ	1,5	1,5	0,7	0,7
414	№ 414	пр. р. Табаспин	вис.	С	0,4	0,4	0,1	0,1
415	№ 415		вис. кар.	СВ	0,9	0,9	0,2	0,2
416	№ 416		вис. дол.	СВ	2,6	2,6	0,8	0,8
417	№ 417		кар.-вис.	СВ	0,6	0,6	0,1	0,1
418	№ 418		кар.	СВ	0,7	0,7	0,2	0,2
	13 ледников							5,9

Кроме того, в бассейне р. Табаспин имеется 1 ледник площадью 0,06 км²
Итого 14 ледников

6,0

Бассейн р. Ривут
Северный склон

419	№ 419	пр. р. Ривут	дол.	СЗ	2,2	0,8	0,9	0,5
420	№ 420	пр. р. Ривут	кар.-вис.	СЗ, (З)	0,7	0,7	0,1	0,1
421	№ 421		кар.	З	1,1	1,1	0,3	0,3
422	№ 422	пр. р. Ривут	кар.	СЗ	1,8	1,5	1,8	1,4
423	№ 423	пр. р. Ривут	вис. кар.	СЗ	1,2	1,2	0,4	0,4
424	№ 424	Ривут	кар.-дол.	С	1,3	0,7	0,7	0,5
425	№ 425	пр. р. Ривут	кар.	С	1,2	1,2	0,4	0,4
426	№ 426	пр. р. Ривут	вис. кар.	СВ	1,9	1,6	1,4	1,2
427	№ 427	пр. р. Ривут	вис. кар.	В	1,5	1,5	0,3	0,3
428*	№ 428		вис. кар.	(СВ), С	1,0	1,0	0,3	0,3
429*	№ 429		вис. дол.	(СВ), В	2,0	1,8	0,6	0,5
430*	№ 430		дол.	СВ	1,7	1,2	0,3	0,2
431	№ 431		кар.	СВ	0,7	0,7	0,3	0,3
432	№ 432		вис. кар.	С	0,8	0,8	0,1	0,1
	14 ледников						7,9	6,5

Кроме того, в бассейне р. Ривут имеется 6 ледников размерами менее 0,1 км² каждый, общей площадью 0,25 км²
Итого 20 ледников

8,1

Бассейн р. Гузн
Северный склон

433	№ 433	пр. р. Гузн	вис.	СЗ	0,5	0,5	0,1	0,1
434	№ 434	пр. р. Гузн	кар.	СЗ	0,6	0,6	0,1	0,1
435	№ 435	пр. р. Гузн	кар.	СЗ	0,7	0,7	0,2	0,2
436	№ 436	пр. р. Гузн	кар.	СЗ	0,6	0,6	0,1	0,1
437*	№ 437	пр. р. Гузн	дол.	СЗ	2,8	2,8	2,2	1,8
438	№ 438	пр. р. Гузн	вис.	СЗ	0,5	0,5	0,1	0,1
439	№ 439		кар.-дол.	СЗ, (З)	0,9	0,9	0,2	0,2

Высота, м			Фирмовая линия		Площадь области абляции, км ²		Объем льда, км ³	Ссылки на последующие таблицы (иллюстрации) № таблиц и иллюстраций порядковые № сведений в таблицах
нижней точки конца ледника	нижней точки открытой части ледника	высшей точки ледника	высота, м	способ определения и дата	общая	в том числе открытой части		
10	11	12	13	14	15	16	17	18
3700	3840	5000	4340	Кур.	0,9	0,5	0,0546	IV/14; V/44
			4010	аэровиз. IX 1973				
3900	4110	4700	4250	Кур.	0,4	0,2	0,0125	IV/14; V/44
4000	4000	5000	4510	Кур.	0,1	0,1	0,0024	IV/14; V/44
3400	3750	4440	3950	Кур.	1,5	0,7	0,1403	IV/14; V/44
			3930	аэровиз. IX 1973				
4680	4680	5100	4930	Кур.	0,1	0,1	0,0024	IV/14; V/44
4620	4620	5000	4790	Кур.	—	—	0,0009	IV/14; V/44
3400	3900	4700	4180	Кур.	1,9	1,1	0,2577	IV/14; V/44
			4060	аэровиз. IX 1973			0,0009	
4240	4240	4560	4360	Кур.	—	—	—	IV/14; V/44
					6,0	3,4	0,5032	

(реки Матча, Зеравшан)

Зеравшанского хребта

4200	4200	4860	4530	Кур.	—	—	0,0009	
3700	3700	4400	4020	Кур.	0,5	0,5	0,0270	
3600	3600	4200	3950	Кур.	0,2	0,2	0,0068	
3800	3800	4200	4040	Кур.	—	—	0,0009	
3560	3660	4100	3830	Кур.	0,9	0,6	0,0546	
			3780	аэровиз. IX 1973				
3600	3600	3940	3780	Кур.	0,1	0,1	0,0024	
3440	3550	4040	3690	Кур.	0,2	0,1	0,0068	
3100	3100	3800	3450	Кур.	0,4	0,4	0,0158	
3800	3800	4100	3920	Кур.	—	—	0,0009	
4240	4240	4800	4550	Кур.	0,1	0,1	0,0024	
3120	3120	4640	4030	Кур.	0,3	0,3	0,0193	
4000	4000	4540	4330	Кур.	—	—	0,0009	
3440	3440	3900	3670	Кур.	0,1	0,1	0,0024	
					2,8	2,4	0,1411	

(реки Матча, Зеравшан)

Зеравшанского хребта

3600	3780	4500	3950	Кур.	0,5	0,1	0,0231	
4100	4100	4800	4470	Кур.	—	—	0,0009	
3900	3900	4440	4170	Кур.	0,2	0,2	0,0044	
3600	3700	4200	3880	Кур.	1,2	0,8	0,0652	
3700	3700	4000	3840	Кур.	0,2	0,2	0,0068	
3600	3700	4040	3840	Кур.	0,4	0,2	0,0158	
			3840	аэровиз. IX 1973				
3600	3600	4000	3830	Кур.	0,2	0,2	0,0068	
3440	3640	4400	3960	Кур.	0,8	0,6	0,0447	
			3780	аэровиз. IX 1973				
3900	3900	4600	4260	Кур.	0,2	0,2	0,0044	
3880	3880	4400	4150	Кур.	0,1	0,1	0,0044	
3400	3500	4400	4050	Кур.	0,3	0,2	0,0125	
3400	3600	4500	3750	Кур.	0,2	0,1	0,0044	
3680	3680	4100	3900	Кур.	0,1	0,1	0,0044	
4060	4060	4400	4200	Кур.	—	—	0,0009	
					4,4	3,0	0,1987	

(реки Матча, Зеравшан)

Зеравшанского хребта

4100	4100	4460	4300	Кур.	—	—	0,0009	V/42
4020	4020	4200	4090	Кур.	—	—	0,0009	V/42
3900	3900	4200	4060	Кур.	0,1	0,1	0,0024	V/42
3800	3800	4040	3900	Кур.	—	—	0,0009	V/42
3540	3540	4400	3870	Кур.	1,2	0,8	0,0881	IV/14; V/42
			3880	аэровиз. IX 1973				
4200	4200	4400	4290	Кур.	—	—	0,0009	IV/14; V/42
4040	4040	4480	4220	Кур.	0,1	0,1	0,0024	I/V14; V/42

№ по схеме	Название	Название реки, вытекающей из ледника	Морфологический тип	Общая экспозиция	Наибольшая длина, км		Площадь, км ²	
					всего ледника	в том числе открытой части	всего ледника	в том числе открытой части
1	2	3	4	5	6	7	8	9
440	№ 440	пр. р. Гузн	вис.	СЗ	0,3	0,3	0,1	0,1
441	№ 441	пр. р. Гузн	кар.	СЗ	0,8	0,8	0,6	0,6
442	№ 442	пр. р. Гузн	кар.-дол.	СЗ, (З)	1,5	1,5	0,7	0,7
443	№ 443	пр. ф. Гузн	кар.	С	0,7	0,7	0,1	0,1
444	№ 444	пр. р. Гузн	кар.	С	0,6	0,6	0,2	0,2
445	№ 445	пр. р. Гузн	вис.	СВ	0,8	0,8	0,4	0,4
446	№ 446	пр. р. Гузн	вис. кар.	В	0,8	0,8	0,1	0,1
447*	№ 447	пр. р. Гузн	кар.	С	0,8	0,6	0,2	0,2
448	№ 448		вис.	СЗ	0,8	0,8	0,3	0,3
449	№ 449	пр. р. Гузн	кар.	СЗ	1,1	1,1	0,3	0,3
450	№ 450	пр. ф. Гузн	кар.-дол.	С	1,2	1,2	0,4	0,4
451	№ 451	Гузн	дол.	(СВ), С	2,8	2,2	1,1	0,7
452	№ 452		вис. дол.	В	1,4	1,4	0,4	0,4
453	№ 453	Устунсой	дол.	С	3,2	2,1	1,3	0,8
454	№ 454		вис.	СЗ	0,4	0,4	0,1	0,1
455	№ 455		кар.-вис.	СВ	0,7	0,7	0,1	0,1
23 ледника							9,4	8,1

Кроме того, в бассейне р. Гузн имеется 8 ледников размерами менее 0,1 км² каждый, общей площадью 0,58 км²
Итого 31 ледник 10,0

Бассейн р. Сурхат
Северный склон

456	№ 456	пр. р. Сурхат	дол.	С	2,5	1,4	1,7	1,1
457	№ 457		склон.	С	0,6	0,6	0,3	0,3
458	№ 458	пр. р. Сурхат	кар.	С	0,6	0,6	0,1	0,1
459	№ 459	пр. р. Сурхат	кар.-дол.	С	1,1	1,1	0,4	0,4
460	№ 460	Сурхат	дол.	СВ	2,3	2,3	1,5	1,5
461	№ 461	пр. р. Сурхат	кар.-вис.	С	0,9	0,9	0,3	0,3
462	№ 462	пр. р. Сурхат	кар.	СВ	1,2	1,2	0,3	0,3
463	№ 463	пр. р. Сурхат	кар.	(С), СВ	0,9	0,9	0,2	0,2
8 ледников							4,8	4,2

Кроме того, в бассейне р. Сурхат имеется 1 ледник площадью 0,08 км²
Итого 9 ледников

4,9

Бассейн р. Даштиоббурдон
Северный склон

464	№ 464	пр. р. Даштиоббурдон	кар.-дол.	С	1,0	1,0	0,2	0,2
465	№ 465	пр. р. Даштиоббурдон	кар.-дол.	СЗ	1,2	1,0	0,4	0,3
466	№ 466	пр. р. Даштиоббурдон	вис. кар.	СЗ	1,3	1,3	0,9	0,9
467	№ 467	Даштиоббурдон	кар.	СЗ	0,7	0,7	0,3	0,3
468	№ 468	пр. р. Даштиоббурдон	кар.-вис.	СЗ	0,5	0,5	0,1	0,1
469	№ 469	пр. р. Даштиоббурдон	кар.	С	0,9	0,9	0,2	0,2
470	№ 470	пр. р. Даштиоббурдон	кар.	СВ	0,8	0,8	0,4	0,4
471	№ 471	пр. р. Даштиоббурдон	кул.	СЗ	0,6	0,6	0,1	0,1
472	№ 472	пр. р. Даштиоббурдон	кар.-дол.	С, (СЗ)	1,5	1,3	0,5	0,4
473	№ 473	пр. р. Даштиоббурдон	кар.	С	0,7	0,7	0,2	0,2
474	№ 474	пр. р. Даштиоббурдон	кар.	С	0,5	0,5	0,2	0,2
11 ледников							3,5	3,3

Кроме того, в бассейне р. Даштиоббурдон имеется 2 ледника размерами менее 0,1 км² каждый, общей площадью 0,16 км²
13 ледников 3,7

Бассейн р. Искидарх
Северный склон

475	№ 475	пр. р. Гудив	кар.	С	0,8	0,8	0,4	0,4
476	№ 476	пр. р. Гудив	кар.	С	0,7	0,7	0,2	0,2
477	№ 477	пр. р. Гудив	склон.	С	0,5	0,5	0,1	0,1

Высота, м			Фирновая линия		Площадь области абляции, км ²		Объем льда, км ³	Ссылки на последующие таблицы (иллюстрации) № таблиц и иллюстраций порядковые № сведений в таблицах
нижней точки конца ледника	нижней точки открытой части ледника	высшей точки ледника	высота, м	способ определения и дата	общая	в том числе открытой части		
10	11	12	13	14	15	16	17	18
3980	3980	4200	4050	Кур.	—	—	0,0009	IV/14; V/42
3800	3800	4200	3990	Кур.	0,3	0,3	0,0125	IV/14; V/42
3680	3680	4120	3940	Кур.	0,3	0,3	0,0158	IV/14; V/42
3800	3800	4100	3990	Кур.	—	—	0,0009	IV/14; V/42
3700	3700	3920	3790	Кур.	0,1	0,1	0,0024	IV/14; V/42
4080	4080	4520	4300	Кур.	0,2	0,2	0,0068	IV/14; V/42
4000	4000	4600	4390	Кур.	—	—	0,0009	IV/14; V/42
3780	3900	4160	3930	Кур.	0,1	0,1	0,0024	IV/14; V/42
4200	4200	4640	4400	Кур.	0,2	0,2	0,0044	IV/14; V/42
3520	3520	4200	3810	Кур.	0,2	0,2	0,0044	IV/14; V/42
3240	3240	4100	3750	Кур.	0,2	0,2	0,0068	IV/14; V/42
3200	3400	4360	3890	Кур.	0,6	0,2	0,0311	IV/14; V/42
3660	3660	4440	4110	Кур.	0,2	0,2	0,0068	IV/14; V/42
3440	3600	4160	3730	Кур.	0,7	0,2	0,0400	IV/14; V/42
4200	4200	4600	4410	Кур.	—	—	0,0009	IV/14; V/42
4200	4200	4640	4470	Кур.	—	—	0,0009	V/36
					4,5	3,2	0,2344	

(реки Матча, Зеравшан)

Зеравшанского хребта

3700	3940	4400	4030	Кур.	0,9	0,3	0,0598	
4150	4150	4380	4220	Кур.	0,1	0,1	0,0044	
3880	3880	4240	4060	Кур.	—	—	0,0009	
3950	3950	4160	4080	Кур.	0,2	0,2	0,0068	
3840	3840	4400	4110	Кур.	0,8	0,8	0,0496	
			3980	аэровиз. IX 1973				
3800	3800	4160	3960	Кур.	0,2	0,2	0,0044	
3900	3900	4200	4040	Кур.	0,2	0,2	0,0044	
4000	4000	4600	4270	Кур.	0,1	0,1	0,0024	
					2,5	1,9	0,1327	

(реки Матча, Зеравшан)

Зеравшанского хребта

3980	3980	4480	4190	Кур.	0,1	0,1	0,0024	
3960	4050	4480	4200	Кур.	0,2	0,1	0,0068	
3920	3920	4560	4170	Кур.	0,5	0,5	0,0231	
			4050	аэровиз. IX 1973				
4040	4040	4270	4130	Кур.	0,2	0,2	0,0044	
3840	3840	4120	4000	Кур.	—	—	0,0009	
3720	3720	4000	3900	Кур.	0,1	0,1	0,0024	
3800	3800	4300	4060	Кур.	0,2	0,2	0,0068	
4060	4060	4200	4120	Кур.	—	—	0,0009	
4000	4100	4470	4280	Кур.	0,3	0,2	0,0095	
4000	4000	4240	4140	Кур.	0,1	0,1	0,0024	
3960	3960	4160	4060	Кур.	0,1	0,1	0,0024	
					1,8	1,6	0,0620	

(реки Матча, Зеравшан)

Зеравшанского хребта

3940	3940	4280	4080	Кур.	0,2	0,2	0,0068	
3940	3940	4260	4060	Кур.	0,1	0,1	0,0024	
3820	3820	4080	3930	Кур.	—	—	0,0009	

№ по схеме	Название	Название реки, вытекающей из ледника	Морфологический тип	Общая экспозиция	Наибольшая длина, км		Площадь, км ²	
					всего ледника	в том числе открытой части	всего ледника	в том числе открытой части
1	2	3	4	5	6	7	8	9
478	№ 478	пр. р. Гудив	кар.	СЗ	0,4	0,4	0,1	0,1
479	№ 479	пр. р. Гудив	кар.	СВ	0,4	0,4	0,1	0,1
480	№ 480	пр. р. Мунч	склон.	СЗ	0,8	0,8	0,1	0,1
481	№ 481	пр. р. Дарх	вис.	С	0,3	0,3	0,1	0,1
482	№ 482	пр. р. Дарх	кар.-дол.	СВ	1,1	1,1	0,2	0,2
	8 ледников						1,3	1,3

Кроме того, в бассейне р. Искидарх имеется 13 ледников размерами менее 0,1 км² каждый, общей площадью 0,79 км²
Итого 21 ледник

Бассейн р. Пастиф
Северный склон

483	№ 483	пр. р. Тега	кар.	СЗ	1,1	1,1	0,3	0,3
484	№ 484	пр. р. Тега	кар.	С	0,5	0,5	0,1	0,1
485	№ 485	пр. р. Тега	кар.	СВ	0,6	0,6	0,1	0,1
486	№ 486	Тега	кар.-дол.	С, (СВ)	0,7	0,7	0,2	0,2
487	№ 487	пр. р. Пастиф	кар.-дол.	С, (СЗ)	1,3	1,3	0,5	0,5
488	№ 488	пр. р. Пастиф	прискл.	СЗ	1,3	1,3	0,4	0,4
			кар.					
489	№ 489	пр. р. Пастиф	кар.-дол.	С, (СЗ)	0,8	0,8	0,2	0,2
490	№ 490	пр. р. Пастиф	вис. кар.	СЗ	0,6	0,6	0,1	0,1
491	№ 491		кар.	С	0,5	0,5	0,1	0,1
492	№ 492	пр. р. Пастиф	кар.	СЗ	0,8	0,8	0,4	0,4
493	№ 493		склон.	СЗ	0,6	0,6	0,1	0,1
494	№ 494		прискл.	СВ	0,8	0,8	0,1	0,1
495	№ 495	Пастиф	вис. дол.	С	1,4	1,4	0,7	0,7
	13 ледников						3,3	3,3

Кроме того, в бассейне р. Пастиф имеется 8 ледников размерами менее 0,1 км² каждый, общей площадью 0,42 км²
Итого 21 ледник

Бассейн р. Тагоби-Джуфт
Северный склон

496	№ 496	пр. р. Тагобисар	кар.	СЗ	0,4	0,4	0,2	0,2
497	№ 497	пр. р. Тагобисар	прискл.	СЗ	0,5	0,5	0,2	0,2
			кар.		0,5	0,5	0,1	0,1
498	№ 498	пр. р. Тагобисар	кул.	СВ				
499	№ 499	Тагобисар	кар.	С	0,7	0,7	0,2	0,2
500	№ 500	Тагоби-Миона	прискл.	С	0,7	0,7	0,3	0,3
			кар.					
501	№ 501	Тагоби-Джуфт	склон.	С	0,4	0,4	0,2	0,2
	6 ледников						1,2	1,2

Кроме того, в бассейне р. Тагоби-Джуфт имеется 2 ледника размерами менее 0,1 км² каждый, общей площадью 0,14 км²
Итого 8 ледников

Всего в бассейне р. Матча имеется 632 ледника общей площадью 530,2 км² (из них 73,4 км² закрыто мореной) и 521,8 км² и 131 ледник размером менее 0,1 км² каждый имеют площадь 8,4 км²

Бассейн р. Такфон
Южный склон

502	№ 502	пр. р. Шутки	кар.	СЗ	0,9	0,9	0,3	0,3
503	№ 503	Гутикалон	вис. кар.	СЗ	0,9	0,9	0,2	0,2
	2 ледника						0,5	0,5

Кроме того, в бассейне р. Такфон имеется 7 ледников размерами менее 0,1 км² каждый, общей площадью 0,4 км²
Итого 9 ледников

Бассейн правого безымянного притока р. Ягноб между устьями
Южный склон

504	№ 504	пр. р. Ягноб	прискл. кар.	С	0,5	0,5	0,1	0,1
-----	-------	--------------	--------------	---	-----	-----	-----	-----

Бассейн р. Хазарчашма
Южный склон

505	№ 505	пр. р. Хазарчашма	асимм. кар.	СЗ	0,6	0,6	0,1	0,1
506*	№ 506	пр. р. Хазарчашма	вис. кар.	С	0,9	0,6	0,2	0,2

Высота, м			Фирновая линия		Площадь области абляции, км ²		Объем льда, км ³	Ссылки на последующие таблицы (иллюстрации) № таблиц и иллюстраций порядковые № сведений в таблицах
нижней точки конца ледника	нижней точки открытой части ледника	высшей точки ледника	высота, м	способ определения и дата	общая	в том числе открытой части		
10	11	12	13	14	15	16	17	18
3860	3860	4080	3970	Кур.	—	—	0,0009	
3920	3920	4080	4000	Кур.	—	—	0,0009	
3800	3800	4480	4030	Кур.	—	—	0,0009	
3580	3580	3780	3670	Кур.	—	—	0,0009	
3720	3720	4280	3970	Кур.	0,1	0,1	0,0024	
					0,4	0,4	0,0161	

(реки Матча, Зеравшан)

Зеравшанского хребта

4000	4000	4480	4200	Кур.	0,2	0,2	0,0044	
3800	3800	4000	3890	Кур.	—	—	0,0009	
3880	3880	4080	3970	Кур.	—	—	0,0009	
3720	3720	3980	3830	Кур.	0,1	0,1	0,0024	
3720	3720	4000	3860	Кур.	0,3	0,3	0,0095	
3740	3740	4100	3880	Кур.	0,2	0,2	0,0068	
3700	3700	3980	3850	Кур.	0,1	0,1	0,0024	
3640	3640	3900	3770	Кур.	—	—	0,0009	
3400	3400	3600	3510	Кур.	—	—	0,0009	
3880	3880	4120	3980	Кур.	0,2	0,2	0,0068	
4000	4000	4140	4080	Кур.	—	—	0,0009	
4000	4000	4300	4120	Кур.	—	—	0,0009	
3600	3600	3960	3800	Кур.	0,3	0,3	0,0158	
					1,4	1,4	0,0535	

(реки Матча, Зеравшан)

Зеравшанского хребта

3920	3920	4100	4000	Кур.	0,1	0,1	0,0024	
3900	3900	4200	4020	Кур.	0,1	0,1	0,0024	
3940	3940	4180	4060	Кур.	—	—	0,0009	
3900	3900	4040	3960	Кур.	0,1	0,1	0,0024	
3780	3780	4200	3900	Кур.	0,2	0,2	0,0044	
3760	3760	3960	3870	Кур.	0,1	0,1	0,0024	
					0,6	0,6	0,0149	

общим объемом льда 32,6913 км³, в том числе 501 ледник размером 0,1 км² и более каждый имеют общую площадь

(реки Ягноб, Фандарья, Зеравшан)

Зеравшанского хребта

3960	3960	4220	4070	Кур.	0,2	0,2	0,0044	IV/8; V/10
3800	3800	4260	4080	Кур.	0,1	0,1	0,0024	IV/8; V/10
					0,3	0,3	0,0068	

рек Такфон и Хазарчашма (реки Ягноб, Фандарья, Зеравшан)

Зеравшанского хребта

4040	4040	4400	4200	Кур.	—	—	0,0009	IV/8; V/10
------	------	------	------	------	---	---	--------	------------

(реки Ягноб, Фандарья, Зеравшан)

Зеравшанского хребта

3560	3560	3800	3660	Кур.	—	—	0,0009	IV/8; V/10
3460	3500	3740	3600	Кур.	0,1	0,1	0,0024	IV/8; V/10

№ по схеме	Название	Название реки, вытекающей из ледника	Морфологический тип	Общая экспозиция	Наибольшая длина, км		Площадь, км ²	
					всего ледника	в том числе открытой части	всего ледника	в том числе открытой части
1	2	3	4	5	6	7	8	9
507	№ 507	пр. р. Хазарчашма	прискл. кар.	В	0,5	0,5	0,2	0,2
508*	№ 508	пр. р. Хазарчашма	асимм. дол.	(С), СВ	0,9	0,9	0,5	0,3
509	№ 509	пр. р. Хазарчашма	вис.	СВ	0,5	0,5	0,2	0,2
510	№ 510	пр. р. Хазарчашма	кар.-вис.	СВ	0,5	0,5	0,1	0,1
511	№ 511	Хазарчашма	асимм. дол.	СВ	1,5	1,5	0,6	0,6
7 ледников							1,9	1,7
Кроме того, в бассейне р. Хазарчашма имеется 6 ледников размерами менее 0,1 км ² каждый, общей площадью 0,4 км ²								
Итого 13 ледников							2,3	
Бассейн правого безымянного притока р. Ягноб между Южный склон								
512	№ 512	пр. р. Ягноб	кар.-дол.	СЗ	1,5	1,5	0,4	0,4
513	№ 513	пр. р. Ягноб	кар.-дол.	СЗ	1,0	1,0	0,2	0,2
514	№ 514	пр. р. Ягноб	прискл.	СЗ	0,5	0,5	0,2	0,2
3 ледника							0,8	0,8
Кроме того, в бассейне правого безымянного притока р. Ягноб между устьями рек Хазарчашма и Интар имеется 1 ледник							0,9	
Итого 4 ледника								
Бассейн р. Интар Южный склон								
515	№ 515	Интар	вис. дол.	СЗ, (З)	1,7	1,7	0,6	0,6
Кроме того, в бассейне р. Интар имеется 1 ледник площадью 0,05 км ²								
Итого 2 ледника							0,6	
В бассейне правого безымянного притока р. Ягноб между устьями рек Интар и Обизам имеется 2 ледника размерами							0,1	
Итого 2 ледника								
Бассейн р. Обизам Южный склон								
516	№ 516	Обизам	вис. дол.	З	1,5	1,5	0,4	0,4
Кроме того, в бассейне р. Обизам имеется 2 ледника размерами менее 0,1 км ² каждый, общей площадью 0,08 км ²								
Итого 3 ледника							0,5	
Бассейн р. Ровосанг Южный склон								
517	№ 517	Ровосанг	кар.	ЮЗ	0,9	0,9	0,4	0,4
Бассейн р. Обикарг Южный склон								
518	№ 518	Обикарг	кар.	Ю	0,8	0,8	0,2	0,2
519	№ 519	пр. р. Обикарг	дол.	ЮЗ, (Ю)	0,9	0,9	0,2	0,2
520	№ 520	пр. р. Обикарг	кар.	ЮЗ	0,6	0,6	0,1	0,1
3 ледника							0,5	0,5
Бассейн р. Унзуд Южный склон								
521	№ 521	Унзуд	кар.	ЮЗ	0,5	0,5	0,1	0,1
Кроме того, в бассейне р. Унзуд имеется 1 ледник площадью 0,06 км ²								
Итого 2 ледника							0,2	
Бассейн правого безымянного притока р. Ягноб между устьями Южный склон								
522	№ 522	пр. р. Ягноб	кар.-вис.	С	0,5	0,5	0,1	0,1
523	№ 523	пр. р. Ягноб	кар.-вис.	С	0,7	0,7	0,2	0,2
524	№ 524	пр. р. Ягноб	кар.-вис.	СВ	1,0	1,0	0,3	0,3
525	№ 525	пр. р. Ягноб	кар.-вис.	В	0,8	0,8	0,3	0,3

Высота, м			Фирновая линия		Площадь области абляции, км ²		Объем льда, км ³	Ссылки на последующие таблицы (иллюстраций) № таблиц и иллюстраций порядковые № сведений в таблицах
нижней точки конца ледника	нижней точки открытой части ледника	высшей точки ледника	высота, м	способ определения и дата	общая	в том числе открытой части		
10	11	12	13	14	15	16	17	18
4060	4060	4280	4140	Кур.	0,1	0,1	0,0024	IV/8; V/10
3120	3120	3800	3370	Кур.	0,3	0,1	0,0095	IV/8; V/10
3800	3800	4200	4040	Кур.	0,1	0,1	0,0024	IV/8; V/10
3800	3800	4000	3920	Кур.	—	—	0,0009	IV/8; V/10
3840	3840	4300	4050	Кур.	0,4	0,4	0,0125	IV/8; V/10
					1,0	0,8	0,0310	

устями рек Хазарчашма и Интар (реки Ягноб, Фандарья, Зеравшан)

Зеравшанского хребта

3940	3940	4480	4220	Кур.	0,2	0,2	0,0068	IV/8; V/10
3860	3860	4440	4200	Кур.	0,1	0,1	0,0024	IV/8; V/10
3880	3880	4100	3980	Кур.	0,1	0,1	0,0024	IV/8; V/10
					0,4	0,4	0,0116	

площадью 0,09 км²**(реки Ягноб, Фандарья, Зеравшан)**

Зеравшанского хребта

3960	3960	4800	4300	Кур.	0,3	0,3	0,0125	IV/8; V/10
------	------	------	------	------	-----	-----	--------	------------

менее 0,1 км² каждый, общей площадью 0,13 км²**(реки Ягноб, Фандарья, Зеравшан)**

Зеравшанского хребта

3800	3800	4600	4230	Кур.	0,2	0,2	0,0068	IV/8; V/10
------	------	------	------	------	-----	-----	--------	------------

(реки Ягноб, Фандарья, Зеравшан)

Зеравшанского хребта

3960	3960	4300	4110	Кур.	0,2	0,2	0,0068	IV/8; V/10
------	------	------	------	------	-----	-----	--------	------------

(реки Ягноб, Фандарья, Зеравшан)

Зеравшанского хребта

4080	4080	4600	4270	Кур.	0,1	0,1	0,0024	IV/8; V/10
3960	3960	4600	4150	Кур.	0,1	0,1	0,0024	IV/8; V/10
4100	4100	4480	4300	Кур.	—	—	0,0009	IV/8; V/10
					0,2	0,2	0,0057	IV/8; V/10

(реки Ягноб, Фандарья, Зеравшан)

Зеравшанского хребта

3960	3960	4200	4080	Кур.	—	—	0,0009	IV/8; V/10
------	------	------	------	------	---	---	--------	------------

рек Унзуд и Голируд (реки Ягноб, Фандарья, Зеравшан)

Зеравшанского хребта

3760	3760	4040	3930	Кур.	—	—	0,0009	IV/8; V/10
3760	3760	4200	4010	Кур.	0,1	0,1	0,0024	IV/8; V/10
3760	3760	4360	4110	Кур.	0,1	0,1	0,0044	IV/8; V/10
3760	3760	4360	4020	Кур.	0,1	0,1	0,0044	IV/8; V/10

№ по схеме	Название	Название реки, вытекающей из ледника	Морфологический тип	Общая экспозиция	Наибольшая длина, км		Площадь, км ²	
					всего ледника	в том числе открытой части	всего ледника	в том числе открытой части
1	2	3	4	5	6	7	8	9
526	№ 526	пр. р. Ягноб	вис. кар.	Ю	0,7	0,7	0,2	0,2
527	№ 527	пр. р. Ягноб	склон.	Ю	0,5	0,5	0,4	0,4
	6 ледников						1,5	1,5
Кроме того, в бассейне правого безымянного притока р. Ягноб между устьями рек Унзуд и Голируд имеется 1 ледник								
Итого 7 ледников								
Бассейн р. Голируд								
Южный склон								
528	№ 528	пр. р. Голируд	кар.-вис.	Ю	0,8	0,8	0,1	0,1
529	№ 529	Голируд	дол.	(СЗ), 3	0,8	0,8	0,2	0,2
	2 ледника						0,3	0,3
Кроме того, в бассейне р. Голируд имеется 1 ледник площадью 0,03 км ²								
Итого 3 ледника								
Бассейн р. Яминсу								
Южный склон								
530	№ 530	Яминсу	кар.	Ю	0,5	0,5	0,1	0,1
Бассейны правых безымянных притоков р. Ягноб между								
Южный склон								
531	№ 531	пр. р. Ягноб	кар.	Ю	0,8	0,8	0,3	0,3
532	№ 532	пр. р. Ягноб	кар.	ЮВ	0,7	0,7	0,3	0,3
	2 ледника						0,6	0,6
Бассейн р. Такали								
Южный склон								
533	№ 533	пр. р. Такали	кар.-вис.	С	0,8	0,8	0,2	0,2
534	№ 534	пр. р. Такали	вис. кар.	В	0,9	0,9	0,4	0,4
535	№ 535	пр. р. Такали	дол.	В	3,4	3,4	2,0	2,0
536	№ 536	пр. р. Такали	склон.	ЮВ	0,9	0,9	0,3	0,3
537	№ 537	пр. р. Такали	кар.	Ю	0,6	0,6	0,2	0,2
538	№ 538	Такали	кар.-дол.	С	1,7	1,7	0,7	0,7
539	№ 539	пр. р. Такали	кар.	С	0,7	0,7	0,2	0,2
540	№ 540	пр. р. Такали	кар.-вис.	С	0,6	0,6	0,2	0,2
541	№ 541	пр. р. Такали	вис.	СЗ	0,5	0,5	0,1	0,1
542	№ 542	пр. р. Такали	кар.	С	0,5	0,5	0,1	0,1
	10 ледников						4,4	4,4
Кроме того, в бассейне р. Такали имеется 5 ледников размерами менее 0,1 км ² каждый, общей площадью 0,38 км ²								
Итого 15 ледников								
Бассейн верховьев р. Ягноб								
Северный склон								
543	№ 543	Ягноб	дол.	С	2,8	1,5	1,7	1,3
544	№ 544		кар.	СЗ	0,6	0,6	0,2	0,2
	2 ледника						1,9	1,5
Бассейн р. Мал. Барзанги								
Северный склон								
545	№ 545	пр. р. Мал. Барзанги	кар.	С	0,5	0,5	0,2	0,2
546	№ 546	Мал. Барзанги	дол.	(С), СЗ	4,0	3,3	2,9	2,7
547*	№ 547		кар.-дол.	СЗ	1,5	1,3	0,4	0,4
548	№ 548		вис.	СЗ	0,3	0,3	0,1	0,1
549	№ 549	пр. р. Мал. Барзанги	дол.	С	3,4	3,4	2,2	2,2
550	№ 550		кар.-вис.	СВ	1,2	1,2	0,4	0,4
551	№ 551	пр. р. Мал. Барзанги	вис. дол.	СВ	1,9	1,9	0,6	0,6
552	№ 552	пр. р. Мал. Барзанги	кар.	СВ	0,8	0,8	0,2	0,2
553	№ 553	пр. р. Мал. Барзанги	кар.	СВ	1,4	1,4	0,6	0,6
554	№ 554	пр. р. Мал. Барзанги	прискл.	СВ	0,7	0,7	0,2	0,2

Высота, м			Фирновая линия		Площадь области абляции, км ²		Объем льда, км ³	Ссылки на последующие таблицы (иллюстрации) № таблиц и иллюстраций порядковые № сведений в таблицах
нижней точки конца ледника	нижней точки открытой части ледника	высшей точки ледника	высота, м	способ определения и дата	общая	в том числе открытой части		
10	11	11	13	14	15	16	17	18
4160	4160	4700	4470	Кур.	0,1	0,1	0,0024	IV/8; V/10
4100	4100	4600	4320	Кур.	0,2	0,2	0,0068	IV/8; V/10
					0,6	0,6	0,0213	IV/8; V/10

площадью 0,04 км²**(реки Ягноб, Фандарья, Зеравшан)**

Зеравшанского хребта

3980	3980	4280	4100	Кур.	—	—	0,0009	IV/8; V/10
4160	4160	4600	4390	Кур.	0,1	0,1	0,0024	IV/8; V/10
					0,1	0,1	0,0033	

(реки Ягноб, Фандарья, Зеравшан)

Зеравшанского хребта

3700	3700	4000	3890	Кур.	—	—	0,0009	IV/8; V/10
------	------	------	------	------	---	---	--------	------------

устьями рек Яминсу и Такали (реки Ягноб, Фандарья, Зеравшан)

Зеравшанского хребта

3800	3800	4160	4030	Кур.	0,1	0,1	0,0044	IV/8; V/10
4200	4200	4400	4300	Кур.	0,2	0,2	0,0044	IV/8; V/10
					0,3	0,3	0,0088	

(реки Ягноб, Фандарья, Зеравшан)

Зеравшанского хребта

3900	3900	4180	4030	Кур.	0,1	0,1	0,0024	IV/8; V/3, 10
3920	3920	4280	4120	Кур.	0,2	0,2	0,0068	IV/8; V/3, 10
3390	3390	5000	4160	Кур.	1,1	1,1	0,0764	IV/8; V/3, 10
4060	4060	4400	4200	Кур.	0,2	0,2	0,0044	IV/8; V/3, 10
4000	4000	4200	4110	Кур.	0,1	0,1	0,0024	IV/8; V/3, 10
3860	3860	4240	4060	Кур.	0,3	0,3	0,0158	IV/8; V/3, 10
3800	3800	4140	3980	Кур.	0,1	0,1	0,0024	IV/8; V/3, 10
3960	3960	4180	4080	Кур.	0,1	0,1	0,0024	IV/8; V/3, 10
3920	3920	4120	4010	Кур.	—	—	0,0009	IV/8; V/3, 10
3960	3960	4120	4060	Кур.	—	—	0,0009	
					2,2	2,2	0,1148	

(реки Ягноб, Фандарья, Зеравшан)

Гиссарского хребта

3600	3800	4400	4000	Кур.	0,7	0,3	0,0598	IV/8; V/3, 10
3840	3840	4120	4020	Кур.	0,1	0,1	0,0024	IV/8; V/3, 10
					0,8	0,4	0,0622	

(реки Ягноб, Фандарья, Зеравшан)

Гиссарского хребта

3740	3740	4000	3890	Кур.	0,1	0,1	0,0024	IV/8; V/3, 10
3460	3860	4400	4070	Кур.	1,2	1,0	0,1333	IV/8; V/3, 10
3600	3700	4500	4060	Кур.	0,2	0,2	0,0068	IV/8; V/3, 10
3760	3760	3840	3800	Кур.	—	—	0,0009	IV/8; V/3, 10
3400	3400	4280	3840	Кур.	1,0	1,0	0,0881	IV/8; V/3, 10
3720	3720	4200	4030	Кур.	0,1	0,1	0,0068	IV/8; V/3, 10
3520	3520	4360	3940	Кур.	0,3	0,3	0,0125	IV/8; V/3, 10
3640	3640	4000	3860	Кур.	0,1	0,1	0,0024	IV/8; V/3, 10
3680	3680	4200	3930	Кур.	0,3	0,3	0,0125	IV/8; V/3, 10
3660	3660	3960	3790	Кур.	0,1	0,1	0,0024	IV/8; V/3, 10

№ по схеме	Название	Название реки, вытекающей из ледника	Морфологический тип	Общая экспозиция	Наибольшая длина, км		Площадь, км ²	
					всего ледника	в том числе открытой части	всего ледника	в том числе открытой части
1	2	3	4	5	6	7	8	9
555	№ 555	пр. р. Мал. Барзанги	кар.-вис.	СЗ	1,0	1,0	0,3	0,3
556	№ 556	пр. р. Мал. Барзанги	кар.-вис.	СЗ	1,3	1,3	0,4	0,4
557	№ 557	пр. р. Мал. Барзанги	кар.	СЗ	1,9	1,9	0,6	0,6
558	№ 558	пр. р. Мал. Барзанги	кар.-вис.	СЗ	1,1	1,1	0,3	0,3
559	№ 559	пр. р. Мал. Барзанги	кар.-дол.	СЗ	1,4	1,4	0,8	0,8
560	№ 560	пр. р. Мал. Барзанги	кар.-вис.	З	0,6	0,6	0,2	0,2
561	№ 561	пр. р. Мал. Барзанги	дол.	СВ, (С)	3,5	3,3	2,4	2,3
562	№ 562	пр. р. Мал. Барзанги	вис. кар.	СЗ	0,5	0,5	0,1	0,1
563	№ 563		вис. кар.	СВ	0,8	0,8	0,2	0,2
564	№ 564	пр. р. Мал. Барзанги	кар.	С	0,8	0,8	0,2	0,2
565	№ 565	пр. р. Мал. Барзанги	кар.	С	0,7	0,7	0,2	0,2
566	№ 566	пр. р. Мал. Барзанги	кар.	С	1,1	1,1	0,5	0,5
567	№ 567	пр. р. Мал. Барзанги	кар.	В	1,1	1,1	0,3	0,3
568	№ 568	пр. р. Мал. Барзанги	кар.-вис.	В	0,9	0,9	0,1	0,1
569	№ 569	пр. р. Мал. Барзанги	кар.-вис.	СВ	0,7	0,7	0,1	0,1
570	№ 570	пр. р. Мал. Барзанги	кар.-дол.	СВ	1,7	1,7	0,6	0,6

26 ледников

15,1

14,8

Кроме того, в бассейне р. Мал. Барзанги имеется 11 ледников размерами менее 0,1 км² каждый, общей площадью 0,65 км²

37 ледников

15,7

В бассейне левого безымянного притока р. Ягноб между устьями рек Мал. Барзанги и Қазантемир имеется 2 ледника

Итого 2 ледника

0,1

Бассейн р. Қазантемир

Северный склон

571	№ 571	пр. р. Қазантемир	кар.	С	0,8	0,8	0,3	0,3
572	№ 572	пр. р. Қазантемир	кар.	СЗ	0,8	0,8	0,2	0,2
573	№ 573	пр. р. Қазантемир	кар.	СЗ	0,7	0,7	0,2	0,2
574	№ 574	Қазантемир	кар.	С	0,7	0,7	1,1	1,1
4 ледника							1,8	1,8

Бассейн р. Тағоб

Северный склон

575	№ 575	Кумарх	кар.	С	0,7	0,7	0,8	0,8
576	№ 576	пр. р. Кумарх	кар.	С	0,9	0,9	0,5	0,5
577	№ 577	Хатанагуль	вис. кар.	СЗ	0,6	0,6	0,1	0,1
3 ледника							1,4	1,4

Кроме того, в бассейне р. Тағоб имеется 5 ледников размерами менее 0,1 км², каждый общей площадью 0,37 км²

8 ледников

1,8

Бассейн р. Тағобикуль

Северный склон

578	№ 578	пр. р. Шаухан	кар.	СЗ	0,8	0,8	0,2	0,2
579	№ 579	пр. р. Шаухан	кар.	СЗ	0,6	0,6	0,1	0,1
580	№ 580	пр. р. Шаухан	кар.	С	0,8	0,8	0,2	0,2
581*	№ 581	пр. р. Шаухан	кар.-дол.	С	1,3	1,0	0,8	0,8
582	№ 582	пр. р. Шаухан	кар.-дол.	(СЗ), З	1,5	1,5	0,6	0,6
583	№ 583	пр. р. Шаухан	вис. дол.	З	1,5	1,5	0,4	0,4
584	№ 584	пр. р. Шаухан	кар.-вис.	З	0,7	0,7	0,2	0,2
585	№ 585	Шаухан	дол.	(СВ), С	1,9	1,3	1,5	1,3
586*	№ 586	пр. р. Шаухан	вис. дол.	СВ	1,7	1,6	0,6	0,6
587	№ 587	пр. р. Шаухан	кар.	СВ	0,9	0,9	0,4	0,4

Высота, м			Фирновая линия		Площадь области абляции, км ²		Объем льда, км ³	Ссылки на последующие таблицы (иллюстрации) № таблиц и иллюстраций порядковые № сведений в таблицах
нижней точки конца ледника	нижней точки открытой части ледника	высшей точки ледника	высота, м	способ определения и дата	общая	в том числе открытой части		
10	11	12	13	14	15	16	17	18
3920	3920	4080	3980	Кур	0,1	0,1	0,0044	IV/8; V/3, 10
3840	3840	4400	4000	Кур.	0,2	0,2	0,0068	IV/8; V/3, 10
3760	3760	4400	3970	Кур.	0,4	0,4	0,0125	IV/8; V/3, 10
3780	3780	4200	3980	Кур.	0,2	0,2	0,0044	IV/8; V/3, 10
3600	3600	4120	3920	Кур.	0,4	0,4	0,0193	IV/8; V/3, 10
3780	3780	4040	3910	Кур.	0,1	0,1	0,0024	IV/8; V/3, 10
3480	3600	4400	3880	Кур.	1,2	1,1	0,1004	IV/8; V/3, 10
3760	3760	4000	3890	Кур.	—	—	0,0009	IV/8; V/3, 10
4020	4020	4240	4120	Кур.	0,1	0,1	0,0024	IV/8; V/3, 10
3700	3700	4060	3870	Кур.	0,1	0,1	0,0024	IV/8; V/3, 10
3760	3760	4040	3930	Кур.	0,1	0,1	0,0024	IV/8; V/3, 10
3800	3800	4240	4020	Кур.	0,2	0,2	0,0095	IV/8; V/3, 10
4120	4120	4400	4290	Кур.	0,1	0,1	0,0044	IV/8; V/3, 10
4000	4000	4280	4120	Кур.	—	—	0,0009	IV/8; V/3, 10
3840	3840	4000	3940	Кур.	—	—	0,0009	IV/8; V/3, 10
3720	3720	4400	4030	Кур.	0,3	0,3	0,0125	IV/8; V/3, 10
					6,9	6,6	0,4546	

размерами менее 0,1 км² каждый, общей площадью 0,07 км²

(реки Ягноб, Фандарья, Зеравшан)

Гиссарского хребта

3640	3640	4000	3860	Кур.	0,1	0,1	0,0044	IV/8; V/10
3960	3960	4170	4100	Кур.	0,1	0,1	0,0024	IV/8; V/10
3880	3880	4060	3970	Кур.	0,1	0,1	0,0024	IV/8; V/10
3700	3700	4120	3900	Кур.	0,6	0,6	0,0311	IV/8, 9; V/10, 19, 20
					0,9	0,9	0,0403	

(реки Ягноб, Фандарья, Зеравшан)

Гиссарского хребта

3620	3620	4000	3810	Кур.	0,4	0,4	0,0193	
3600	3600	4000	3760	Кур.	0,3	0,3	0,0095	
3590	3590	3800	3700	Кур.	—	—	0,0009	
					0,7	0,7	0,0297	

(реки Ягноб, Фандарья, Зеравшан)

Гиссарского хребта

3800	3800	4060	3930	Кур.	0,1	0,1	0,0024	
3800	3800	4000	3900	Кур.	—	—	0,0009	
3740	3740	4100	3950	Кур.	0,1	0,1	0,0024	
3500	3600	4080	3810	Кур.	0,4	0,4	0,0193	
3860	3860	4200	4000	Кур.	0,3	0,3	0,0125	
3600	3600	4140	3890	Кур.	0,2	0,2	0,0068	
4040	4040	4340	4210	Кур.	0,1	0,1	0,0024	
3320	3600	4440	3840	Кур.	0,9	0,7	0,0496	
3760	3860	4120	3960	Кур.	0,3	0,3	0,0125	
3900	3900	4300	4020	Кур.	0,2	0,2	0,0068	

№ по схеме	Название	Название реки, вытекающей из ледника	Морфологический тип	Общая экспозиция	Наибольшая длина, км		Площадь, км ²	
					всего ледника	в том числе открытой части	всего ледника	в том числе открытой части
1	2	3	4	5	6	7	8	9
588	№ 588	пр. р. Шаухан	кар.-вис.	СВ	0,8	0,8	0,2	0,2
589	№ 589	пр. р. Шаухан	кар.	СВ	0,6	0,6	0,1	0,1
590	№ 590	пр. р. Тагобикуль	кар.-вис.	СЗ	1,2	1,2	0,2	0,2
591	№ 591	пр. р. Тагобикуль	вис. дол.	С, (СЗ)	1,3	1,3	0,4	0,4
592	№ 592	пр. р. Тагобикуль	кар.-дол.	С	0,9	0,9	0,2	0,2
593	№ 593	пр. р. Тагобикуль	кар.-вис.	СЗ	0,7	0,7	0,1	0,1
594*	№ 594	пр. р. Тагобикуль	кар.-дол.	СЗ	1,2	0,9	0,5	0,5
595	№ 595	пр. р. Тагобикуль	прискл.	С	0,9	0,9	0,2	0,2
596	№ 596	Тагобикуль	склон.	С	0,8	0,8	0,4	0,4
597	№ 597	пр. р. Тагобикуль	кар.	В	0,6	0,6	0,1	0,1
598	№ 598	пр. р. Тагобикуль	кар.-вис.	СВ	1,1	1,1	0,3	0,3
599	№ 599	пр. р. Тагобикуль	вис. кар.	В	1,2	1,2	0,4	0,4
600	№ 600	пр. р. Тагобикуль	кар.	В	1,0	1,0	0,2	0,2
601	№ 601	пр. р. Тагобикуль	вис. кар.	В	0,6	0,6	0,1	0,1
602	№ 602	пр. р. Тагобикуль	вис. кар.	СВ	1,0	1,0	0,4	0,4
603	№ 603	пр. р. Тагобикуль	кар.	СВ	0,8	0,8	0,3	0,3
26 ледников							9,1	8,9

Кроме того, в бассейне р. Тагобикуль имеется 4 ледника размерами менее 0,1 км² каждый, общей площадью 0,31 км²
Итого 30 ледников 9,4

Бассейн р. Тагрич
Северный склон

604	№ 604	пр. р. Тагрич	склон.	СЗ	0,5	0,5	0,1	0,1
605	№ 605	пр. р. Тагрич	кар.	СЗ	0,7	0,7	0,1	0,1
606	№ 606	пр. р. Тагрич	вис. кар.	СЗ	1,3	1,3	0,5	0,5
607	№ 607	пр. р. Тагрич	кар.-дол.	СЗ	1,3	1,3	0,5	0,5
608	№ 608	Тагрич	склон.	С	0,9	0,9	0,4	0,4
609	№ 609	пр. р. Тагрич	кар.	СВ	0,8	0,8	0,2	0,2
610	№ 610	пр. р. Тагрич	кар.-вис.	СВ	0,5	0,5	0,1	0,1
611	№ 611	пр. р. Тагрич	склон.	СЗ	0,3	0,3	0,1	0,1
8 ледников							2,0	2,0

Кроме того, в бассейне р. Тагрич имеется 7 ледников размерами менее 0,1 км² каждый, общей площадью 0,41 км²
Итого 15 ледников 2,4

Бассейны левых безымянных притоков р. Ягноб между устьями
Северный склон

612	№ 612	пр. р. Ягноб	кар.-вис.	СЗ	0,6	0,6	0,2	0,2
613	№ 613	пр. р. Ягноб	дол.	С	2,0	2,0	1,2	1,2
614	№ 614		вис.	С	0,3	0,3	0,2	0,2
615	№ 615	пр. р. Ягноб	кар.-дол.	С	1,1	1,1	0,4	0,4
616	№ 616	пр. р. Ягноб	кар.	СВ	0,6	0,6	0,1	0,1
5 ледников							2,1	2,1

Кроме того, в бассейнах левых притоков р. Ягноб между устьями рек Тагрич и Пиндар имеется 5 ледников размерами менее 0,1 км² каждый, общей площадью 0,31 км²
Итого 10 ледников 2,3

Бассейн р. Пиндар
Северный склон

617	№ 617	пр. р. Пиндар	асимм. дол.	З	1,3	1,3	0,2	0,2
618	№ 618	пр. р. Пиндар	кар.-вис.	С, (СЗ)	0,7	0,7	0,4	0,4
619	№ 619	Пиндар	кар.	СВ	0,6	0,6	0,1	0,1
620	№ 620	пр. р. Пиндар	кар.	СЗ	0,6	0,6	0,1	0,1
4 ледника							0,8	0,8

Высота, м			Фирновая линия		Площадь области абляции, км ²		Объем льда, км ³	Ссылки на последующие таблицы (иллюстрации) № таблиц и иллюстраций порядковые № сведений в таблицах
низшей точки конца ледника	низшей точки открытой части ледника	высшей точки ледника	высота, м	способ определения и дата	общая	в том числе открытой части		
10	11	12	13	14	15	16	17	18
4080	4080	4440	4210	Кур.	0,1	0,1	0,0024	
3800	3800	4000	3910	Кур.	—	—	0,0009	
3680	3680	4400	3980	Кур.	0,1	0,1	0,0024	
3900	3900	4400	4110	Кур.	0,2	0,2	0,0068	
3700	3700	4100	3920	Кур.	0,1	0,1	0,0024	
4060	4060	4480	4280	Кур.	—	—	0,0009	
3900	3980	4240	4090	Кур.	0,2	0,2	0,0095	
3940	3940	4200	4080	Кур.	0,1	0,1	0,0024	
3940	3940	4200	4090	Кур.	0,2	0,2	0,0068	
4080	4080	4400	4210	Кур.	—	—	0,0009	
4000	4000	4240	4120	Кур.	0,2	0,2	0,0044	
4060	4060	4500	4280	Кур.	0,2	0,2	0,0068	
3900	3900	4300	4080	Кур.	0,1	0,1	0,0024	
4200	4200	4600	4400	Кур.	—	—	0,0009	
3920	3920	4280	4120	Кур.	0,2	0,2	0,0068	
3960	3960	4180	4060	Кур.	0,2	0,2	0,0044	
					4,5	4,3	0,1767	

(реки Ягноб, Фандарья, Зеравшан)

Гиссарского хребта

3820	3820	4040	3940	Кур.	—	—	0,0009	
3720	3720	4000	3840	Кур.	—	—	0,0009	
4000	4000	4560	4240	Кур.	0,3	0,3	0,0095	
3900	3900	4500	4200	Кур.	0,3	0,3	0,0095	
3860	3860	4200	4020	Кур.	0,2	0,2	0,0068	
3800	3800	4100	3910	Кур.	0,1	0,1	0,0024	
3800	3800	4000	3910	Кур.	—	—	0,0009	
4100	4100	4360	4220	Кур.	—	—	0,0009	
					0,9	0,9	0,0318	

рек Тагрич и Пиндар (реки Ягноб, Фандарья, Зеравшан)

Гиссарского хребта

3700	3700	4020	3890	Кур.	0,1	0,1	0,0024	
3200	3200	3900	3570	Кур.	0,6	0,6	0,0355	
4100	4100	4500	4290	Кур.	0,1	0,1	0,0024	
3240	3240	3800	3640	Кур.	0,2	0,2	0,0068	
3680	3680	4040	3810	Кур.	—	—	0,0009	
					1,0	1,0	0,0480	

менее 0,1 км² каждый, общей площадью 0,22 км²**(реки Ягноб, Фандарья, Зеравшан)**

Гиссарского хребта

3700	3700	3900	3800	Кур.	0,1	0,1	0,0024	
4040	4040	4560	4250	Кур.	0,2	0,2	0,0068	
3880	3880	4100	3980	Кур.	—	—	0,0009	
3880	3880	4240	3930	Кур.	—	—	0,0009	
					0,3	0,3	0,0110	

№ по схеме	Название	Название реки, вытекающей из ледника	Морфологический тип	Общая экспозиция	Наибольшая длина, км		Площадь, км ²	
					всего ледника	в том числе открытой части	всего ледника	в том числе открытой части
1	2	3	4	5	6	7	8	9

Кроме того, в бассейне р. Пиндар имеется 10 ледников размерами менее 0,1 км² каждый, общей площадью 0,60 км²
Итого 14 ледников 1,4

Бассейн р. Хшерг
Северный склон

621	№ 621	пр. р. Хшерг	прискл. кар.	СЗ	0,5	0,5	0,2	0,2
622	№ 622	Хшерг	прискл. кар.	В	0,9	0,9	0,3	0,3
623	№ 623	пр. р. Хшерг	асимм. дол.	СВ	1,3	1,3	0,4	0,4
3 ледника							0,9	0,9

Кроме того, в бассейне р. Хшерг имеется 3 ледника размерами менее 0,1 км² каждый, общей площадью 0,12 км²
Итого 6 ледников 1,0

Бассейн р. Диджикруд
Северный склон

624	№ 624	Обиогба	кар.	З	0,7	0,7	0,2	0,2
625	№ 625	пр. р. Обиогба	кар.	СЗ	0,6	0,6	0,1	0,1
626	№ 626	пр. р. Обиогба	кар.	С	0,4	0,4	0,1	0,1
627	№ 627	Обишир	кар.	СВ	0,5	0,5	0,3	0,3
4 ледника							0,7	0,7

Кроме того, в бассейне р. Диджикруд имеется 10 ледников размерами менее 0,1 км² каждый, общей площадью 0,54 км²
Итого 14 ледников 1,2

Бассейн р. Габеруд
Северный склон

628*	№ 628	Лябиджай	кар.	СЗ	0,6	0,5	0,2	0,2
629	№ 629		кар.	СЗ	0,4	0,4	0,1	0,1
630	№ 630	пр. р. Лябиджай	кар.	СВ	0,7	0,7	0,2	0,2
631	№ 631		кар.	С	0,4	0,4	0,2	0,2
632	№ 632		вис.	С	0,4	0,4	0,1	0,1
633	№ 633		кар.-вис.	СВ	0,4	0,4	0,1	0,1
634	№ 634	Обисефруд	дол.	(СЗ), С	1,6	1,0	0,5	0,2
635*	№ 635		вис. дол.	С, (СВ)	0,9	0,7	0,2	0,2
636	№ 636		вис.	С	0,3	0,3	0,2	0,2
9 ледников							1,8	1,5

Кроме того, в бассейне р. Габеруд имеется 4 ледника размерами менее 0,1 км² каждый, общей площадью 0,26 км²
Итого 13 ледников 2,1

Всего в бассейне р. Ягноб имеется 223 ледника общей площадью 54,9 км² (из них 1,4 км² закрыто мореной) и общим

Бассейн р. Макшеват
Северный склон

637	№ 637	Макшеват	дол.	СЗ	1,8	1,8	0,7	0,7
638	№ 638	пр. р. Макшеват	кар.	С	0,8	0,8	0,3	0,3
639	№ 639		кар.-вис.	С	0,7	0,7	0,2	0,2
3 ледника							1,2	1,2

Кроме того, в бассейне р. Макшеват имеется 6 ледников размерами менее 0,1 км² каждый, общей площадью 0,35 км²
Итого 9 ледников 1,6

Бассейн р. Обибарык (реки Хазормечь, оз. Искандеркуль,
Северный склон

640	№ 640	пр. р. Обибарык	кар.	СЗ	1,1	1,1	0,4	0,4
641	№ 641	пр. р. Обибарык	кар.	СЗ	0,4	0,4	0,1	0,1
642	№ 642	Обибарык	дол.	С	4,0	2,9	2,8	2,4
643	№ 643		вис. дол.	С	1,2	1,2	0,3	0,3
644	№ 644		вис. дол.	С	1,5	1,5	0,5	0,5
645	№ 645	пр. р. Обибарык	дол.	С	5,7	5,0	4,4	4,2
646	№ 646		кар.-дол.	СЗ	1,0	1,0	0,3	0,3
647	№ 647		вис. дол.	С	2,0	1,6	1,4	1,0
648*	№ 648	пр. р. Обибарык	вис. дол.	С	0,9	0,9	0,2	0,2
9 ледников							10,4	9,4

Кроме того, в бассейне р. Обибарык имеется 4 ледника размерами менее 0,1 км² каждый, общей площадью 0,20 км²
Итого 13 ледников 10,6

Высота, м			Фирновая линия		Площадь области абляции, км ²		Объем льда, км ³	Ссылки на последующие таблицы (иллюстрации) № таблиц и иллюстраций порядковые № сведений в таблицах
нижней точки конца ледника	нижней точки открытой части ледника	высшей точки ледника	высота, м	способ определения и дата	общая	в том числе открытой части		
10	11	12	13	14	15	16	17	18

(реки Ягноб, Фандарья, Зеравшан)

Гиссарского хребта

3650	3650	3820	3750	Кур.	0,1	0,1	0,0024
3620	3620	3840	3740	Кур.	0,2	0,2	0,0044
3560	3560	4000	3790	Кур.	0,2	0,2	0,0068
					0,5	0,5	0,0136

(реки Ягноб, Фандарья, Зеравшан)

Гиссарского хребта

3680	3680	3850	3770	Кур.	0,1	0,1	0,0024
3660	3660	3860	3710	Кур.	—	—	0,0009
3680	3680	3900	3780	Кур.	—	—	0,0009
3840	3840	4000	3920	Кур.	0,1	0,1	0,0044
					0,2	0,2	0,0086

(реки Ягноб, Фандарья, Зеравшан)

Гиссарского хребта

3340	3400	3700	3550	Кур.	0,1	0,1	0,0024
3780	3780	4000	3860	Кур.	—	—	0,0009
3400	3400	4100	3780	Кур.	0,1	0,1	0,0024
3060	3060	3280	3160	Кур.	0,1	0,1	0,0024
3900	3900	4200	4070	Кур.	—	—	0,0009
3640	3640	3960	3790	Кур.	—	—	0,0009
3640	3800	4100	3810	Кур.	0,3	—	0,0095
3700	3760	4300	3990	Кур.	0,1	0,1	0,0024
4440	4440	4700	4550	Кур.	0,1	0,1	0,0024
					0,8	0,5	0,0242

объемом 1,1328 км³, в том числе 135 ледников размером 0,1 км² и более имеют общую площадь 49,8 км² и 88 ледников размером менее 0,1 км² имеют площадь 5,1 км²

(реки Искандарья, Фандарья, Зеравшан)

Гиссарского хребта

3640	3640	4600	4190	Кур.	0,3	0,3	0,0158
3760	3760	4000	3870	Кур.	0,2	0,2	0,0044
4050	4050	4450	4230	Кур.	0,1	0,1	0,0024
					0,6	0,6	0,0226

реки Искандарья, Фандарья, Зеравшан)

Гиссарского хребта

4060	4060	4350	4190	Кур.	0,2	0,2	0,0068
3900	3900	4100	4000	Кур.	—	—	0,0009
3720	3900	4620	4180	Кур.	1,0	0,6	0,1265
3880	3880	4320	4080	Кур.	0,2	0,2	0,0044
3940	3940	4390	4170	Кур.	0,2	0,2	0,0095
3520	3600	4500	4060	Кур.	1,6	1,4	0,2492
3880	3880	4320	4070	Кур.	0,1	0,1	0,0044
4060	4060	4380	4200	Кур.	0,7	0,3	0,0447
3920	3920	4200	4070	Кур.	0,1	0,1	0,0024
					4,1	3,1	0,4488

№ по схеме	Название	Название реки, вытекающей из ледника	Морфологический тип	Общая экспозиция	Наибольшая длина, км		Площадь, км ²	
					всего ледника	в том числе открытой части	всего ледника	в том числе открытой части
1	2	3	4	5	6	7	8	9

Бассейн р. Обисафет (реки Хазормечь, оз. Искандеркуль, Северный склон)

649	№ 649	пр. р. Обисафет	асимм. дол.	СЗ	1,0	1,0	0,2	0,2
650	№ 650	Обисафет	дол.	С	3,0	3,0	2,5	2,5
651	№ 651	Обисафет	дол.	СЗ	3,1	3,1	1,5	1,5
652	№ 652		кар.	З	0,4	0,4	0,1	0,1
653	№ 653		кар.	ЮЗ	0,4	0,4	0,1	0,1
654	№ 654		кар.-вис.	З	0,4	0,4	0,1	0,1
655	№ 655	пр. р. Обисафет	кар.	СВ	0,4	0,4	0,1	0,1

7 ледников
Кроме того, в бассейне р. Обисафет имеется 13 ледников размерами менее 0,1 км² каждый, общей площадью 0,57 км²
Итого 20 ледников 5,2

Бассейн левого безымянного притока р. Хазормечь Северный склон

656	№ 656	пр. р. Хазормечь	прискл. кар.	С	0,4	0,4	0,1	0,1
-----	-------	------------------	--------------	---	-----	-----	-----	-----

Бассейн р. Ангишт (р. Серидево, оз. Искандеркуль, Северный склон)

657	№ 657	пр. р. Ангишт	дол.	(СВ), С	2,2	2,2	1,0	1,0
658	№ 658	пр. р. Ангишт	дол.	С	1,7	1,7	0,6	0,6
659	№ 659	Ангишт	дол.	С	2,5	2,5	1,6	1,6
660	№ 660	пр. р. Ангишт	кар.	С	0,7	0,7	0,1	0,1
661	№ 661	пр. р. Ангишт	кар.	СЗ	0,7	0,7	0,1	0,1
662	№ 662	пр. р. Ангишт	дол.	С	1,7	1,7	0,7	0,7

6 ледников

Бассейн верховьев р. Серидево (оз. Искандеркуль, Северный склон)

663	№ 663	пр. р. Серидево	кар.-дол.	СЗ	0,9	0,9	0,2	0,2
664	№ 664	Серидево	дол.	(З), СЗ	2,6	1,4	1,8	1,4
665	№ 665		кар.	СВ	0,9	0,9	0,4	0,4

3 ледника
Кроме того, в бассейне верховьев р. Серидево имеется 1 ледник площадью 0,06 км²
Итого 4 ледника 2,5

Бассейн р. Соминг (реки Канчач, Сарытаг, оз. Искандеркуль, Северный склон)

666	№ 666	пр. р. Соминг	кар.	С	0,4	0,4	0,1	0,1
667	№ 667	пр. р. Соминг	кар.-дол.	З	1,2	1,2	0,3	0,3
668	№ 668	Соминг	дол.	С	2,8	2,8	2,6	2,6
669	№ 669		вис. дол.	СВ	0,9	0,9	0,2	0,2

4 ледника
Кроме того, в бассейне р. Соминг имеется 2 ледника размерами менее 0,1 км² каждый, общей площадью 0,08 км²
Итого 6 ледников 3,3

Бассейн р. Парион (реки Канчач, Сарытаг, оз. Искандеркуль, Северный склон)

670	№ 670	пр. р. Парион	кар.-вис.	СЗ	0,6	0,6	0,1	0,1
671	№ 671	Парион	вис. дол.	С	2,1	2,1	1,6	1,6
672	№ 672		кар.-дол.	СВ	1,4	1,4	1,0	1,0
673	№ 673	пр. р. Парион	вис. дол.	СВ	1,3	1,3	1,4	1,4

4 ледника
Кроме того, в бассейне р. Парион имеется 2 ледника размерами менее 0,1 км² каждый, общей площадью 0,12 км²
Итого 6 ледников 4,2

Бассейн р. Мура (р. Сарытаг, оз. Искандеркуль, Северный склон)

674	№ 674	пр. р. Мура	кар.	СЗ	0,7	0,7	0,1	0,1
675	№ 675	Мура	кар.	С	0,6	0,6	0,4	0,4

2 ледника 0,5

Высота, м			Фирновая линия		Площадь области абляции, км ²		Объем льда, км ³	Ссылки на последующие таблицы (иллюстрации) № таблиц и иллюстраций порядковые № сведений в таблицах
низшей точки конца ледника	низшей точки открытой части ледника	высшей точки ледника	высота, м	способ определения и дата	общая	в том числе открытой части		
10	11	12	13	14	15	16	17	18

реки Искандардаря, Фандарья, Зеравшан)

Гиссарского хребта

3960	3960	4600	4230	Кур.	0,1	0,1	0,0024
3620	3760	4200	3880	Кур.	1,1	1,1	0,1067
3650	3740	4500	4100	Кур.	0,7	0,7	0,0496
4000	4000	4300	4130	Кур.	—	—	0,0009
4100	4100	4320	4240	Кур.	—	—	0,0009
4220	4220	4460	4350	Кур.	—	—	0,0009
3880	3880	4140	3990	Кур.	—	—	0,0009
					1,9	1,9	0,1623

(р. Хазормечь, оз. Искандеркуль, реки Искандардаря, Фандарья, Зеравшан)

Гиссарского хребта

3880	3880	3940	3910	Кур.	—	—	0,0009
------	------	------	------	------	---	---	--------

реки Искандардаря, Фандарья, Зеравшан)

Гиссарского хребта

3720	3720	4200	3960	Кур.	0,5	0,5	0,0270
3700	3700	4040	3870	Кур.	0,3	0,3	0,0125
3720	3720	4200	3970	Кур.	0,8	0,8	0,0546
3900	3900	4200	4050	Кур.	—	—	0,0009
3840	3840	4100	3950	Кур.	—	—	0,0009
3820	3820	4200	4020	Кур.	0,3	0,3	0,0158
					1,9	1,9	0,1117

реки Искандардаря, Фандарья, Зеравшан)

Гиссарского хребта

3760	3760	4120	3970	Кур.	0,1	0,1	0,0024
3580	3580	4040	3830	Кур.	0,8	0,4	0,0652
3700	3700	4040	3870	Кур.	0,2	0,2	0,0068
					1,1	0,7	0,0744

реки Искандардаря, Фандарья, Зеравшан)

Гиссарского хребта

3600	3600	3800	3760	Кур.	—	—	0,0009
3580	3580	4100	3900	Кур.	0,1	0,1	0,0044
3460	3460	4140	3830	Кур.	1,2	1,2	0,1132
3780	3780	4200	4030	Кур.	0,1	0,1	0,0024
					1,4	1,4	0,1209

реки Искандардаря, Фандарья, Зеравшан)

Гиссарского хребта

3820	3820	4200	4000	Кур.	—	—	0,0009
3600	3600	4100	3790	Кур.	0,9	0,9	0,0546
3500	3500	3840	3680	Кур.	0,5	0,5	0,0270
3700	3700	4080	3910	Кур.	0,6	0,6	0,0447
					2,0	2,0	0,1272

реки Искандардаря, Фандарья, Зеравшан)

Гиссарского хребта

3860	3860	4100	3960	Кур.	—	—	0,0009
3720	3720	4000	3830	Кур.	0,2	0,2	0,0068
					0,2	0,2	0,0077

№ по схеме	Название	Название реки, вытекающей из ледника	Морфологический тип	Общая экспозиция	Наибольшая длина, км		Площадь, км ²	
					всего ледника	в том числе открытой части	всего ледника	в том числе открытой части
1	2	3	4	5	6	7	8	9

Кроме того, в бассейне р. Мура имеется 3 ледника размерами менее 0,1 км² каждый, общей площадью 0,15 км²
Итого 5 ледников

Бассейн р. Замбар (р. Сарытаг, оз. Искандеркуль, Северный склон

676	№ 676	пр. р. Замбар	кар.-дол.	СЗ	1,2	1,2	0,7	0,7
677	№ 677	Замбар	дол.	С	1,6	1,6	0,7	0,7
678	№ 678	пр. р. Замбар	дол.	С	0,6	0,6	0,1	0,1
679	№ 679	пр. р. Замбар	кар.-дол.	С	0,7	0,7	0,4	0,4
4 ледника							1,9	1,9

Кроме того, в бассейне р. Замбар имеется 4 ледника размерами менее 0,1 км² каждый, общей площадью 0,23 км²
Итого 8 ледников

Бассейн р. Дикондара (р. Сарытаг, оз. Искандеркуль, Северный склон

680	№ 680	пр. р. Дикондара	кар.	СЗ	0,8	0,8	0,6	0,6
681	№ 681	Дикондара	кар.-дол.	С	1,4	1,4	1,0	1,0
682	№ 682	пр. р. Дикондара	кар.-дол.	С	0,7	0,7	0,2	0,2
683	№ 683	пр. р. Дикондара	кар.	С	0,9	0,9	0,4	0,4
684	№ 684	пр. р. Дикондара	кар.	С	1,2	1,2	0,5	0,5
685	№ 685	пр. р. Дикондара	кар.	С	0,6	0,6	0,2	0,2
686	№ 686	пр. р. Дикондара	дол.	С	2,5	1,8	1,5	1,2
687	№ 687		кар.	В	0,8	0,8	0,3	0,3
688	№ 688	пр. р. Дикондара	кар.	СВ	0,5	0,5	0,1	0,1
689	№ 689	пр. р. Дикондара	дол.	С	2,1	0,8	0,9	0,5
10 ледников							5,7	5,0

Кроме того, в бассейне р. Дикондара имеется 1 ледник площадью 0,08 км²
Итого 11 ледников

Бассейн р. Крыктанур (реки Каракуль, Сарытаг, Северный склон

690	№ 690	пр. р. Крыктанур	кар.-дол.	СЗ	1,0	1,0	0,4	0,4
691	№ 691	пр. р. Крыктанур	кар.	СЗ	0,6	0,6	0,2	0,2
692	№ 692	пр. р. Крыктанур	кар.-дол.	(З), СЗ	1,3	1,3	0,5	0,5
693	№ 693	Крыктанур	дол.	(З, СЗ), С	2,3	2,3	0,8	0,8
694	№ 694	пр. р. Крыктанур	кар.-дол.	(СВ), С, (СЗ)	0,8	0,8	0,2	0,2
695	№ 695	пр. р. Крыктанур	кар.	СВ	0,6	0,6	0,2	0,2
696	№ 696		кар.	В	0,7	0,7	0,1	0,1
697*	№ 697	пр. р. Крыктанур	кар.-дол.	(В), СВ	1,2	0,8	0,2	0,2
698	№ 698	пр. р. Крыктанур	кар.	С	0,6	0,6	0,2	0,2
9 ледников							2,8	2,8

Кроме того, в бассейне р. Крыктанур имеется 2 ледника размерами менее 0,1 км² каждый, общей площадью 0,17 км²
Итого 11 ледников

Бассейны правых безымянных притоков р. Каракуль между устьями рек Крыктанур и Аксай (реки Каракуль, Сарытаг, Северный склон

699	№ 699	пр. р. Каракуль	кар.	С	0,4	0,4	0,1	0,1
700	№ 700	пр. р. Каракуль	кар.	С	0,8	0,8	0,3	0,3
2 ледника							0,4	0,4

Кроме того, в бассейнах правых безымянных притоков р. Каракуль между устьями рек Крыктанур и Аксай имеется 1 ледник
Итого 3 ледника

Бассейн р. Аксай (реки Каракуль, Сарытаг, оз. Искандеркуль, Северный склон

701	№ 701	пр. р. Аксай	прискл.	СЗ	0,6	0,6	0,2	0,2
702	№ 702	пр. р. Аксай	кар.	З	0,8	0,8	0,2	0,2
703	№ 703	пр. р. Аксай	кар.	С	1,0	1,0	0,4	0,4
704	№ 704	пр. р. Аксай	вис. кар.	С	0,6	0,6	0,2	0,2
705	№ 705	пр. р. Аксай	кар.-дол.	С	1,2	1,2	0,6	0,6
706	№ 706	пр. р. Аксай	вис. дол.	(С), СЗ	1,1	1,1	0,2	0,2
707	№ 707	пр. р. Аксай	кар.-дол.	С	1,4	1,4	0,7	0,7
708	№ 708	Аксай	вис. дол.	С	1,4	1,4	0,7	0,7
709	№ 709	пр. р. Аксай	кар.-дол.	В	1,1	1,1	0,5	0,5

Высота, м			Фирновая линия		Площадь области абляции, км ²		Объем льда, км ³	Ссылки на последующие таблицы (иллюстрации) № таблиц и иллюстраций порядковые № сведений в таблицах
нижней точки конца ледника	нижней точки открытой части ледника	высшей точки ледника	высота, м	способ определения и дата	общая	в том числе открытой части		
10	11	12	13	14	15	16	17	18

реки Искандердарья, Фандарья, Зеравшан)

Гиссарского хребта

3440	3440	3900	3670	Кур.	0,3	0,3	0,0158
3460	3460	3960	3750	Кур.	0,3	0,3	0,0158
3680	3680	4000	3830	Кур.	—	—	0,0009
3720	3720	3960	3850	Кур.	0,2	0,2	0,0068
					0,8	0,8	0,0393

реки Искандердарья, Фандарья, Зеравшан)

Гиссарского хребта

3660	3660	3880	3770	Кур.	0,3	0,3	0,0125
3680	3680	3960	3800	Кур.	0,5	0,5	0,0270
3840	3840	4000	3920	Кур.	0,1	0,1	0,0024
3840	3840	4040	3930	Кур.	0,2	0,2	0,0068
3880	3880	4200	4010	Кур.	0,2	0,2	0,0095
3900	3900	4060	3970	Кур.	0,1	0,1	0,0024
3760	3900	4240	4060	Кур.	0,7	0,4	0,0496
3920	3920	4200	4050	Кур.	0,1	0,1	0,0044
4040	4040	4200	4120	Кур.	—	—	0,0009
3720	3880	4200	3940	Кур.	0,5	0,1	0,0231
					2,7	2,0	0,1386

оз. Искандеркуль, реки Искандердарья, Фандарья, Зеравшан)

Гиссарского хребта

4000	4000	4200	4080	Кур.	0,2	0,2	0,0068
3840	3840	4000	3890	Кур.	0,1	0,1	0,0024
3840	3840	4200	4040	Кур.	0,2	0,2	0,0095
3780	3780	4280	4020	Кур.	0,5	0,5	0,0193
3760	3760	4120	3940	Кур.	0,1	0,1	0,0024
3720	3720	4000	3850	Кур.	0,1	0,1	0,0024
3880	3880	4120	4000	Кур.	—	—	0,0009
3620	3720	3980	3800	Кур.	0,1	0,1	0,0024
3740	3740	4000	3850	Кур.	0,1	0,1	0,0024
					1,4	1,4	0,0485

оз. Искандеркуль, реки Искандердарья, Фандарья, Зеравшан)

Гиссарского хребта

3760	3760	4000	3870	Кур.	—	—	0,0009
3680	3680	3860	3780	Кур.	0,1	0,1	0,0044
					0,1	0,1	0,0053

ник площадью 0,03 км²**реки Искандердарья, Фандарья, Зеравшан)**

Гиссарского хребта

3640	3640	3800	3720	Кур.	0,1	0,1	0,0024
3500	3500	3760	3640	Кур.	0,1	0,1	0,0024
3600	3600	3960	3780	Кур.	0,2	0,2	0,0068
3560	3560	4080	3870	Кур.	0,1	0,1	0,0024
3620	3620	3960	3750	Кур.	0,3	0,3	0,0125
3400	3400	3940	3750	Кур.	0,1	0,1	0,0024
3300	3300	3800	3610	Кур.	0,3	0,3	0,0158
3460	3460	4160	3750	Кур.	0,4	0,4	0,0158
3800	3800	4100	3970	Кур.	0,2	0,2	0,0095

№ по схеме	Название	Название реки, вытекающей из ледника	Морфологический тип	Общая экспозиция	Наибольшая длина, км		Площадь, км ²	
					всего ледника	в том числе открытой части	всего ледника	в том числе открытой части
1	2	3	4	5	6	7	8	9
710	№ 710	пр. р. Аксай	дол.	ЮВ	1,7	1,7	0,8	0,8
711	№ 711	пр. р. Аксай	дол.	ЮВ	1,9	1,9	0,7	0,7
712	№ 712	пр. р. Аксай	асимм. кар.	ЮВ	0,8	0,8	0,2	0,2
713	№ 713	пр. р. Аксай	асимм. кар.	ЮВ	0,7	0,7	0,2	0,2
13 ледников							5,6	5,6

Кроме того, в бассейне р. Аксай имеется 6 ледников размерами менее 0,1 км² каждый, общей площадью 0,34 км²
Итого 19 ледников

Бассейн р. Ахбашир (реки Каракуль, Сарытаг, Северный склон Гиссарского хребта,

714	№ 714	пр. р. Ахбашир	кар.	СВ	0,7	0,7	0,2	0,2
715	№ 715	пр. р. Ахбашир	вис. дол.	СВ	1,1	1,1	0,3	0,3
716	№ 716	пр. р. Ахбашир	кар.	ЮВ	0,5	0,5	0,1	0,1
717	№ 717	Ахбашир	вис. кар.	С, (Ю)	0,9	0,9	0,2	0,2
718	№ 718	пр. р. Ахбашир	дол.	З	1,2	1,2	0,3	0,3
719	№ 719	пр. р. Ахбашир	прискл.	СЗ	0,4	0,4	0,2	0,2
6 ледников							1,3	1,3

Кроме того, в бассейне р. Ахбашир имеется 2 ледника размерами менее 0,1 км² каждый, общей площадью 0,11 км²
Итого 8 ледников

Бассейны левых безымянных притоков р. Каракуль между устьями рек Ахбашир и Дукдон (реки Каракуль, Сарытаг, Южный склон

720	№ 720	пр. р. Каракуль	вис. кар.	З, (ЮЗ)	1,1	1,1	0,2	0,2
721	№ 721	пр. р. Каракуль	кар.	Ю	0,5	0,5	0,2	0,2
722	№ 722	пр. р. Каракуль	прискл.	ЮВ	0,6	0,6	0,2	0,2
723	№ 723	пр. р. Каракуль	дол.	Ю	2,5	2,5	0,8	0,8
724	№ 724	пр. р. Каракуль	кар.	Ю	1,3	1,3	0,6	0,6
725	№ 725	пр. р. Каракуль	кар.	Ю	1,0	1,0	0,3	0,3
726	№ 726	пр. р. Каракуль	дол.	ЮВ	1,2	1,2	0,3	0,3
7 ледников							2,6	2,6

Кроме того, в бассейнах левых притоков р. Каракуль между устьями рек Ахбашир и Дукдон имеется 5 ледников размерами менее 0,1 км² каждый, общей площадью 0,28 км²
Итого 12 ледников

Бассейн р. Дукдон (реки Каракуль, Сарытаг, оз. Искандеркуль, Южный склон

727	№ 727	пр. р. Дукдон	кар.	СВ	0,9	0,9	0,3	0,3
728	№ 728	Дукдон	дол.	Ю	1,7	1,7	0,6	0,6
2 ледника							0,9	0,9

Кроме того, в бассейне р. Дукдон имеется 6 ледников размерами менее 0,1 км² каждый, общей площадью 0,18 км²
Итого 8 ледников

Бассейн р. Чапдара, (реки Арх, Сарытаг, оз. Искандеркуль, Южный склон

729	№ 729	пр. р. Чапдара	кар.	ЮВ	0,5	0,5	0,1	0,1
730	№ 730	Чапдара	дол.	СВ	1,3	1,3	0,3	0,3
2 ледника							0,4	0,4

Кроме того, в бассейне р. Чапдара имеется 5 ледников размерами менее 0,1 км² каждый, общей площадью 0,28 км²
Итого 7 ледников

Бассейн р. Чапдара (реки Арх, Сарытаг, оз. Искандеркуль, Южные склоны

731	№ 731	пр. р. Аххдасай	кар.	С	1,0	1,0	0,3	0,3
732	№ 732	Аххдасай	дол.	(СВ), Ю	2,2	2,2	1,1	1,1
2 ледника							1,4	1,4

Кроме того, в бассейне р. Аххдасай имеется 4 ледника размерами менее 0,1 км² каждый, общей площадью 0,16 км²
Итого 6 ледников

Бассейн р. Казнок (реки Арх, Сарытаг, оз. Искандеркуль, Южные склоны

733	№ 733	Казнок	склон.	СВ	0,5	0,5	0,2	0,2
734	№ 734	Казнок	кар.	СВ	0,5	0,5	0,1	0,1
735	№ 735	пр. р. Казнок	кар.	З	0,3	0,3	0,1	0,1

Высота, м			Фирновая линия		Площадь области абляции, км ²		Объем льда, км ³	Ссылка на последующие таблицы (иллюстрации) № таблиц и иллюстраций порядковые № сведений в таблицах
нижней точки конца ледника	нижней точки открытой части ледника	высшей точки ледника	высота, м	способ определения и дата	общая	в том числе открытой части		
10	11	12	13	14	15	16	17	18
3820	3820	4240	4060	Кур.	0,4	0,4	0,0193	
3660	3660	4100	3900	Кур.	0,3	0,3	0,0158	
3860	3860	4040	3940	Кур.	0,1	0,1	0,0024	
3840	3840	4000	3940	Кур.	0,1	0,1	0,0024	
					2,7	2,7	0,1099	

оз. Искандеркуль, реки Искандердарья, Фандарья, Зеравшан)

южный склон гор Дукдон

3740	3740	4000	3870	Кур.	0,1	0,1	0,0024	
3860	3860	4140	4010	Кур.	0,1	0,1	0,0044	
3860	3860	3960	3910	Кур.	—	—	0,0009	
3880	3880	4050	3960	Кур.	0,1	0,1	0,0024	
3720	3720	4040	3870	Кур.	0,1	0,1	0,0044	
3680	3680	3880	3780	Кур.	0,1	0,1	0,0024	
					0,5	0,5	0,0169	

оз. Искандеркуль, реки Искандердарья, Фандарья, Зеравшан)

гор Дукдон

4000	4000	4500	4260	Кур.	0,1	0,1	0,0024	
4200	4200	4380	4300	Кур.	0,1	0,1	0,0024	
3800	3800	4000	3920	Кур.	0,1	0,1	0,0024	
3780	3780	4500	4120	Кур.	0,4	0,4	0,0193	
3800	3800	4040	3940	Кур.	0,3	0,3	0,0125	
3700	3700	4240	4070	Кур.	0,1	0,1	0,0044	
3780	3780	4400	4080	Кур.	0,1	0,1	0,0044	
					1,2	1,2	0,0478	

менее 0,1 км² каждый, общей площадью 0,19 км²

реки Искандердарья, Фандарья, Зеравшан)

гор Дукдон

3520	3520	4000	3740	Кур.	0,2	0,2	0,0044	
3560	3560	3940	3740	Кур.	0,3	0,3	0,0125	
					0,5	0,5	0,0169	

реки Искандердарья, Фандарья, Зеравшан)

Фанских гор

4300	4300	4500	4400	Кур.	—	—	0,0009	
3680	3680	4200	3930	Кур.	0,2	0,2	0,0044	
					0,2	0,2	0,0053	

реки Искандердарья, Фандарья, Зеравшан)

Фанских гор

3850	3850	4300	4010	Кур.	0,2	0,2	0,0044	
3920	3920	4500	4190	Кур.	0,6	0,6	0,0311	
					0,8	0,8	0,0355	

реки Искандердарья, Фандарья, Зеравшан)

Фанских гор

4000	4000	4300	4130	Кур.	0,1	0,1	0,0024	
4240	4240	4460	4330	Кур.	—	—	0,0009	
4000	4000	4300	4150	Кур.	—	—	0,0009	

Рис. 23

№ по схеме	Название	Название реки, вытекающей из ледника	Морфологический тип	Общая экспозиция	Наибольшая длина, км		Площадь, км ²	
					всего ледника	в том числе открытой части	всего ледника	в том числе открытой части
1	2	3	4	5	6	7	8	9
736	№ 736	пр. р. Казнок	дол.	(С, СЗ)	0,5	0,5	1,1	1,1
737	№ 737		вис.	З, (ЮЗ)	0,2	0,2	0,1	0,1
738	№ 738		вис.	С	0,5	0,5	0,2	0,2
	6 ледников						1,8	1,8

Кроме того, в бассейне р. Казнок имеется 1 ледник площадью 0,08 км²
Итого 7 ледников

1,9

Бассейн р. Ганза (реки Арх, Сарытаг, оз. Искандеркуль, Южные склоны)

739	№ 739	пр. р. Ганза	кар.-дол.	(СЗ),	0,2	0,2	0,2	0,2
740	№ 740	Ганза	кар.	З	0,8	0,8	0,2	0,2
	2 ледника			З			0,4	0,4

Кроме того, в бассейне р. Ганза имеется 2 ледника размера ми менее 0,1 км² каждый, общей площадью 0,32 км²
Итого 4 ледника

0,5

Бассейн р. Биод (реки Арх, Сарытаг, оз. Искандеркуль, Южные склоны)

741	№ 741	Биод	вис. кар.	СЗ	0,3	0,3	0,1	0,1
-----	-------	------	-----------	----	-----	-----	-----	-----

В бассейне р. Серима имеется 2 ледника размерами менее 0,1 км² каждый, общей площадью 0,12 км²
Итого 2 ледника

0,1

В бассейне р. Норват имеется 1 ледник площадью 0,02 км²
Итого 1 ледник

—

В бассейне левого притока р. Искандердаря ниже устья р. Норват имеется 2 ледника размерами менее 0,1 км² каждый,
Итого 2 ледника

—

Бассейн р. Пасрут Северные склоны

742	№ 742	пр. р. Пасрут	кар.	СЗ	0,5	0,5	0,1	0,1
743	№ 743		кар.	СВ	0,9	0,9	0,3	0,3
744	№ 744	пр. р. Пасрут	кар.-дол.	С, (СВ)	1,5	1,5	0,6	0,6
745	№ 745	Турткуль	кар.-дол.	СЗ	1,0	1,0	0,4	0,4
746	№ 746	пр. р. Имат	кар.	С	1,0	1,0	0,3	0,3
747	Имат	Имат	кар.-дол.	С	3,2	1,5	3,8	2,4
748	№ 748		вис.	С	0,4	0,4	0,1	0,1
749	№ 749		вис.	СВ	0,6	0,6	0,1	0,1
750	№ 750		кул.	С	0,8	0,8	0,2	0,2
751	№ 751		вис. дол.	ЮВ,	1,2	1,2	0,3	0,3
				(В)				
752	№ 752	пр. р. Имат	дол.	(С),	2,6	2,6	0,8	0,8
				СВ				
753	№ 753	пр. р. Имат	дол.	(С),	3,2	3,2	1,2	1,2
				СВ				
754	№ 754		вис.	(СЗ),	1,3	1,3	0,5	0,5
				С				
755	№ 755	Сурхоб	дол.	(В),	2,4	2,4	0,7	0,7
				СВ				
756	№ 756	пр. р. Сурхоб	прискл.	ЮВ	0,6	0,6	0,1	0,1
757	№ 757	Битхана	дол.	СВ	2,3	1,1	1,6	0,9
758	№ 758		вис.	С	0,6	0,6	0,3	0,3
759	№ 759	пр. р. Чопдара	кар.-дол.	(СВ, С),				
				СЗ	1,5	1,5	0,5	0,5
760	№ 760	пр. р. Чопдара	дол.	СЗ	3,8	2,0	1,4	0,8
761	№ 761		вис. дол.	СЗ, (З)	1,5	1,5	0,3	0,3
762	№ 762		вис.	СВ	0,6	0,6	0,2	0,2
763	№ 763		вис.	СВ	0,3	0,3	0,1	0,1
764	№ 764		вис.	СВ	0,6	0,6	0,3	0,3
765	№ 765	пр. р. Чопдара	дол.	СЗ	2,3	1,1	0,7	0,5
766	№ 766		вис. дол.	СЗ	1,6	1,6	0,4	0,4
767	№ 767	пр. р. Чопдара	прискл.	СЗ	0,5	0,5	0,1	0,1

Высота, м			Фирровая линия		Площадь области абляции, км ²		Объем льда, км ³	Ссылки на последующие таблицы (иллюстрации) № таблиц и иллюстраций порядковые № сведений в таблицах
нижней точки конца ледника	нижней точки открытой части ледника	высшей точки ледника	высота, м	способ определения и дата	общая	в том числе открытой части		
10	11	12	13	14	15	16	17	18
3800	3800	4500	4280	Кур.	0,6	0,6	0,0311	Рис. 24
4300	4300	4700	4500	Кур.	—	—	0,0009	
4300	4300	4700	4480	Кур.	0,1	0,1	0,0024	
					0,8	0,8	0,0386	

реки Искандердарья, Фандарья, Зеравшан)

Фанских гор

3820	3820	4280	4070	Кур.	0,1	0,1	0,0024
4000	4000	4300	4120	Кур.	0,1	0,1	0,0024
					0,2	0,2	0,0048

реки Искандердарья, Фандарья, Зеравшан)

Фанских гор

4060	4060	4300	4160	Кур.	—	—	0,0009
------	------	------	------	------	---	---	--------

общей площадью 0,05 км²

(реки Фандарья, Зеравшан)

Фанских гор

3440	3440	3760	3610	Кур.	—	—	0,0009	IV/13, 15; V/12, 21—23, 29
3660	3660	4100	3920	Кур.	0,1	0,1	0,0044	
3420	3420	4100	3750	Кур.	0,4	0,4	0,0125	
3400	3400	3840	3660	Кур.	0,2	0,2	0,0068	
3720	3720	4260	4030	Кур.	0,2	0,2	0,0044	
3000	3460	4300	3660	Кур.	1,8	0,4	0,2026	
4000	4000	4400	4160	Кур.	—	—	0,0009	V/21
4200	4200	4600	4410	Кур.	—	—	0,0009	
4200	4200	4700	4480	Кур.	0,1	0,1	0,0024	
3620	3620	4180	3900	Кур.	0,2	0,2	0,0044	Рис. 25
3620	3620	4800	4040	Кур.	0,4	0,4	0,0193	
3580	3580	4900	4000	Кур.	0,8	0,8	0,0355	
4300	4300	5200	4740	Кур.	0,2	0,2	0,0095	
3740	3740	4700	4210	Кур.	0,4	0,4	0,0158	Рис. 26
4160	4160	4320	4230	Кур.	—	—	0,0009	
2840	3180	3600	3200	Кур.	0,9	0,2	0,0546	Рис. 26
3800	3800	4340	4020	Кур.	0,2	0,2	0,0044	
3300	3300	4000	3680	Кур.	0,2	0,2	0,0095	Рис. 26
3740	4040	4800	4140	Кур.	0,8	0,2	0,0447	
4000	4000	5100	4490	Кур.	0,2	0,2	0,0044	
4600	4600	5000	4810	Кур.	0,1	0,1	0,0024	
4800	4800	5000	4910	Кур.	—	—	0,0009	
4540	4540	4840	4660	Кур.	0,2	0,2	0,0044	
3700	3960	4200	4010	Кур.	0,3	0,1	0,0158	
4200	4200	5000	4640	Кур.	0,2	0,2	0,0068	
3900	3900	4100	4010	Кур.	—	—	0,0009	

№ по схеме	Название	Название реки, вытекающей из ледника	Морфологический тип	Общая экспозиция	Наибольшая длина, км		Площадь, км ²		
					всего ледника	в том числе открытой части	всего ледника	в том числе открытой части	
1	2	3	4	5	6	7	8	9	
768	№ 768	пр. р. Чопдара	кар.	С	0,6	0,6	0,1	0,1	
769	№ 769		кар.	С	0,6	0,6	0,2	0,2	
770	№ 770		пр. р. Чопдара	прискл.	СВ	0,5	0,5	0,1	0,1
771	№ 771		пр. р. Чопдара	прискл.	(С), СВ	1,2	1,2	0,3	0,3
772	№ 772		пр. р. Чопдара	прискл.	СВ	0,5	0,5	0,3	0,3
773	№ 773		Чопдара	вис. дол.	В	1,6	1,6	0,4	0,4
774	№ 774			вис.	СВ	0,4	0,4	0,2	0,2
775	№ 775			вис.	В	0,7	0,7	0,1	0,1
776	№ 776			вис.	В	1,1	1,1	0,4	0,4
777	№ 777		Чопдара	дол.	ЮВ	2,0	2,0	1,1	1,1
778	№ 778		вис.	В	0,6	0,6	0,2	0,2	
37 ледников							18,8	15,9	
Кроме того, в бассейне р. Пасрут имеется 24 ледника размерами менее 0,1 км ² каждый, общей площадью 1,22 км ²							20,0		
Итого 61 ледник:									

Бассейн р. Минора
Северный склон

779	№ 779	пр. р. Минора	кар.	С	0,7	0,7	0,2	0,2
780	№ 780	Минора	кар.	С	0,7	0,7	0,2	0,2
2 ледника							0,4	0,4

Всего в бассейне р. Фандарьи имеется 466 ледников общей площадью 135,0 км² (из них 6,4 км² закрыто мореной) и общим 187 ледников размерами менее 0,1 км² каждый имеют общую площадь 10,1 км².

Всего в бассейне р. Зеравшана выше устья р. Фандарьи имеется 1098 ледников общей площадью 665,2 км² (из них имеют общую площадь 646,7 км² и 318 ледников размером менее 0,1 км² каждый имеют общую площадь 18,5 км²

Высота, м			Фирновая линия		Площадь области абляции, км ²		Объем льда, км ³	Ссылки на последующие таблицы (иллюстрации) № таблиц и иллюстраций порядковые № сведений в таблицах
низшей точки конца ледника	низшей точки открытой части ледника	высшей точки ледника	высота, м	способ определения и дата	общая	в том числе открытой части		
10	11	12	13	14	15	16	17	18
3900	3900	4100	4030	Кур.	—	—	0,0009	Рис. 27
3800	3800	4000	3910	Кур.	0,1	0,1	0,0024	
3840	3840	4100	3920	Кур.	—	—	0,0009	Рис. 28
3860	3860	4360	4110	Кур.	0,1	0,1	0,0044	
4020	4020	4240	4150	Кур.	0,2	0,2	0,0044	Рис. 28
3800	3800	4440	4190	Кур.	0,2	0,2	0,0068	
4160	4160	4440	4270	Кур.	0,1	0,1	0,0024	Рис. 28
4900	4900	5350	5160	Кур.	—	—	0,0009	
4480	4480	5200	4780	Кур.	0,2	0,2	0,0068	Рис. 28 V/21; Рис. 28, 29
3920	3920	4600	4170	Кур.	0,6	0,6	0,0311	
4760	4760	5100	4920	Кур.	0,1	0,1	0,0024	
					9,5	6,6	0,5334	

(реки Фандарья, Зеравшан)

Зеравшанского хребта

3800	3800	4000	3900	Кур.	0,1	0,1	0,0024
3920	3920	4300	4130	Кур.	0,1	0,1	0,0024
					0,2	0,2	0,0048

объемом 3,2558 км³, в том числе 279 ледников размером 0,1 км² и более каждый, имеют общую площадь 124,9 км² и

52,9 км² закрыто мореной) и общим объемом 35,9471 км³, в том числе 780 ледников размером 0,1 км² и более каждый

№ по схеме	Название	Название реки, вытекающей из ледника	Морфологический тип	Общая экспозиция	Наибольшая длина, км		Площадь, км ²	
					всего ледника	в том числе открытой части	всего ледника	в том числе открытой части
1	2	3	4	5	6	7	8	9

Бассейн р. Кум
Северный склон

1	№ 1	пр. р. Кум	кар.-вис.	С	0,9	0,9	0,2	0,2
2	№ 2	пр. р. Кум	вис.	С	0,5	0,5	0,2	0,2
	2 ледника						0,4	0,4

Бассейн р. Мадм
Северный склон

3	№ 3	Зеризаранг	вис. кар.	СВ	0,6	0,6	0,3	0,3
4	№ 4	Зеризаранг	кар.-дол.	СВ	1,1	1,1	0,5	0,5
	2 ледника						0,8	0,8

В бассейне р. Ревад имеется 1 ледник площадью 0,04 км²
1 ледник

Бассейн р. Кштут
Западные склоны Фанских гор, северные склоны гор

5	№ 5	пр. р. Уреч	кар.-дол.	С	1,0	0,5	0,3	0,2
6*	№ 6	пр. р. Уреч	кар.-дол.	СЗ	1,0	0,8	0,3	0,3
7	№ 7		вис.	С	0,3	0,3	0,1	0,1
8	№ 8	пр. р. Уреч	прискл.	СЗ	0,6	0,6	0,3	0,3
9	№ 9	Уреч	кар.-дол.	СВ	1,3	0,7	0,6	0,5
10	№ 10		вис. кар	СВ	0,6	0,6	0,2	0,2
11	№ 11	пр. р. Уреч	кар.	СВ	0,6	0,6	0,1	0,1
12	№ 12		вис.	С	0,7	0,7	0,3	0,3
13	№ 13	пр. оз. Куликалон	прискл.	СЗ	0,5	0,5	0,2	0,2
14	№ 14		вис.	С	0,6	0,6	0,3	0,3
15	№ 15	пр. оз. Куликалон	прискл.	С	0,5	0,5	0,2	0,2
16	№ 16	пр. оз. Куликалон	прискл.	СВ	0,4	0,4	0,1	0,1
17	№ 17		кар.	СВ	0,5	0,5	0,1	0,1
18	№ 18	пр. р. Уреч	кар.	С	0,7	0,7	0,2	0,2
19	№ 19	пр. р. Уреч	кар.	С	0,6	0,6	0,1	0,1
20	№ 20	пр. р. Уреч	кар.	В	1,1	0,8	0,3	0,2
21	№ 21	пр. р. Зиндон	вис. дол.	(СЗ), 3	1,7	1,4	0,9	0,8
22	№ 22	пр. р. Зиндон	вис. дол.	СЗ, (3)	1,4	1,4	0,4	0,4
23	№ 23	пр. р. Зиндон	дол.	СЗ	2,3	1,9	0,9	0,8
24	№ 24	пр. р. Зиндон	кар.	СВ	0,6	0,6	0,1	0,1
25	№ 25	пр. р. Зиндон	кар.	СЗ	0,5	0,5	0,1	0,1
26	№ 26		вис. дол.	З	1,0	1,0	0,3	0,3
27	№ 27	пр. р. Зиндон	дол.	(СЗ), С	2,2	2,2	1,4	1,4
28	№ 28	пр. р. Зиндон	вис.	СВ	0,5	0,5	0,2	0,2
29	№ 29	пр. р. Зиндон	кар.-вис.	С	0,7	0,7	0,1	0,1
30	№ 30	Ахмат	кар.	СЗ	0,8	0,8	0,3	0,3
31	№ 31	Пушневат	кар.-вис.	(СВ, С)	1,2	1,2	0,4	0,4
32	№ 32	пр. р. Пушневат	кар.-вис.	СЗ	0,6	0,6	0,2	0,2
33	№ 33	пр. р. Пушневат	дол.	СЗ	1,5	1,5	0,4	0,4
34	№ 34		кар.-вис.	С	0,8	0,8	0,2	0,2
35	№ 35	Сарыходан	сл. дол.	(З, СЗ), С	4,3	4,3	2,8	2,8
36	№ 36	пр. р. Сарыходан	вис. дол.	С	1,5	1,5	0,8	0,8
37	№ 37	Кштутдак	дол.	(З, СЗ), С	1,8	1,8	1,0	1,0
38	№ 38		вис.	С	0,3	0,3	0,1	0,1
39	№ 39	пр. р. Пштикуль.	кар.	С	0,7	0,7	0,3	0,3
40	№ 40	Пштикуль	вис. кар.	С	0,6	0,6	0,2	0,2
41	№ 41	пр. р. Пштикуль	вис.	С	0,4	0,4	0,1	0,1
42	№ 42	пр. р. Пштикуль	кар.	СВ	0,7	0,7	0,2	0,2
43	№ 43	пр. р. Пштикуль	прискл.	В	0,7	0,7	0,2	0,2

3, часть 2

О ЛЕДНИКАХ

Высота, м			Фирновая линия		Площадь области абляции, км ²		Объем льда, км ³	Ссылки на последующие таблицы (иллюстрации) № таблиц и иллюстраций порядковые № сведений в таблицах
нижней точки конца ледника	нижней точки открытой части ледника	высшей точки ледника	высота, м	способ определения и дата	общая	в том числе открытой части		
10	11	12	13	14	15	16	17	18

(р. Зеравшан)

Зеравшанского хребта

3600	3600	4300	3930	Кур.	0,1	0,1	0,0024
3900	3900	4200	4060	Кур.	0,1	0,1	0,0024
					0,2	0,2	0,0048

(р. Зеравшан)

Зеравшанского хребта

4040	4040	4400	4210	Кур.	0,2	0,2	0,0044
3800	3800	4240	4040	Кур.	0,2	0,2	0,0095
					0,4	0,4	0,0139

(р. Зеравшан)

Дукдон и Гиссарского хребта

3400	3620	3900	3710	Кур.	0,2	0,1	0,0044
3500	3600	4000	3750	Кур.	0,2	0,2	0,0044
4600	4600	4800	4700	Кур.	—	—	0,0009
3400	3400	3940	3730	Кур.	0,1	0,1	0,0044
3320	3560	4140	3750	Кур.	0,3	0,2	0,0125
4000	4000	4400	4300	Кур.	0,1	0,1	0,0024
3360	3360	3740	3540	Кур.	—	—	0,0009
4200	4200	4860	4450	Кур.	0,2	0,2	0,0044
3400	3400	3700	3570	Кур.	0,1	0,1	0,0024
4100	4100	4600	4330	Кур.	0,1	0,1	0,0044
3320	3320	3600	3430	Кур.	0,1	0,1	0,0024
3360	3360	3600	3460	Кур.	—	—	0,0009
3700	3700	4100	3880	Кур.	—	—	0,0009
3240	3240	3420	3330	Кур.	0,1	0,1	0,0024
3960	3960	4160	4080	Кур.	—	—	0,0009
4100	4200	4400	4250	Кур.	0,2	0,1	0,0044
4120	4300	5120	4700	Кур.	0,4	0,3	0,0231
4300	4300	5100	4700	Кур.	0,2	0,2	0,0068
3860	3940	4560	4170	Кур.	0,5	0,4	0,0231
3920	3920	4240	4070	Кур.	—	—	0,0009
4200	4200	4460	4330	Кур.	—	—	0,0009
3920	3920	4200	4070	Кур.	0,1	0,1	0,0044
3800	3800	4300	4040	Кур.	0,7	0,7	0,0447
4040	4040	4400	4180	Кур.	0,1	0,1	0,0024
3980	3980	4600	4160	Кур.	—	—	0,0009
4400	4400	4900	4660	Кур.	0,2	0,2	0,0044
3840	3840	4440	4170	Кур.	0,2	0,2	0,0068
4000	4000	4400	4260	Кур.	0,1	0,1	0,0024
3460	3460	3800	3650	Кур.	0,2	0,2	0,0068
3900	3900	4500	4210	Кур.	0,1	0,1	0,0024
3000	3000	4500	3860	Кур.	1,1	1,1	0,1265
3190	3190	4100	3600	Кур.	0,4	0,4	0,0193
3480	3480	4000	3760	Кур.	0,5	0,5	0,0270
4000	4000	4200	4100	Кур.	—	—	0,0009
3440	3440	3800	3550	Кур.	0,2	0,2	0,0044
3440	3440	3800	3610	Кур.	0,1	0,1	0,0024
3560	3560	3800	3660	Кур.	—	—	0,0009
3680	3680	3840	3750	Кур.	0,1	0,1	0,0024
3840	3840	4100	3960	Кур.	0,1	0,1	0,0024

Рис. 30

Рис. 31—33

№ по схеме	Название	Название реки, вытекающей из ледника	Морфологический тип	Общая экспозиция	Наибольшая длина, км		Площадь, км ²	
					всего ледника	в том числе открытой части	всего ледника	в том числе открытой части
1	2	3	4	5	6	7	8	9
44	№ 44	пр. р. Нагнут	кар.	СЗ	0,7	0,7	0,2	0,2
45*	№ 45	Нагнут	дол.	СВ, (С)	2,3	2,0	0,9	0,9
46	№ 46		кар.	С	0,6	0,6	0,2	0,2
47	№ 47	пр. р. Сарымат	прискл.	С	0,4	0,4	0,1	0,1
48	№ 48		кар.-вис.	СВ	0,6	0,6	0,2	0,2
49	№ 49	пр. р. Казнок	асимм. дол.	З	1,2	1,2	0,3	0,3
50	№ 50	пр. р. Казнок	кар.-дол.	(СЗ), С	1,0	1,0	0,4	0,4
51	№ 51	пр. р. Казнок	дол.	З, (СЗ)	1,0	1,0	0,8	0,8
52	№ 52	пр. р. Казнок	дол.	З	1,4	1,4	0,4	0,4
53	№ 53	Казнок	вис. дол.	(СЗ)	2,0	2,0	1,2	1,2
54	№ 54	пр. р. Казнок	кар.	СВ	0,8	0,8	0,2	0,2
55	№ 55	пр. р. Казнок	кар.-дол.	СВ	1,3	1,3	0,4	0,4
56	№ 56	пр. р. Казнок	кар.-дол.	В	1,2	1,2	0,6	0,6
57	№ 57	пр. р. Сарымат	кар.	СВ	0,9	0,9	0,3	0,3
	53 ледника						21,5	21,0

Кроме того, в бассейне р. Кштут имеется 29 ледников размерами менее 0,1 км² каждый, общей площадью 1,5 км².
Итого 82 ледника 23,0

Бассейн р. Магияндары
Северный склон

58	№ 58	пр. оз. Маргузор	вис. кар.	СВ	0,4	0,4	0,1	0,1
59	№ 59	пр. р. Дарахтисурх	дол.	СЗ	0,9	0,9	0,2	0,2
60	№ 60	пр. р. Дарахтисурх	дол.	С	1,6	1,6	0,7	0,7
61	№ 61	пр. р. Дарахтисурх	кар.	С	0,5	0,5	0,1	0,1
62	№ 62	пр. р. Дарахтисурх	кар.	СЗ	1,0	1,0	0,3	0,3
63	№ 63		кар.	ЮВ	1,5	1,5	0,7	0,7
64	№ 64	пр. р. Дарахтисурх	прискл.	СЗ	1,2	1,2	0,2	0,2
65	№ 65	пр. р. Дарахтисурх	прискл.	С	0,3	0,3	0,1	0,1
66	№ 66	пр. р. Дарахтисурх	кар.	СЗ	0,8	0,8	0,3	0,3
67	№ 67	Дарахтисурх	кар.	В	1,5	1,5	0,2	0,2
68	№ 68	пр. р. Дарахтисурх	кар.	С	0,6	0,6	1,0	1,0
69	№ 69	пр. р. Дарахтисурх	кар.	С, (СВ)	0,5	0,5	0,1	0,1
70	№ 70	пр. р. Дарахтисурх	кар.	СВ	0,6	0,6	0,2	0,2
71	№ 71	пр. р. Дарахтисурх	кар.	СВ	0,9	0,9	0,3	0,3
72	№ 72	пр. р. Азорчашма	кар.	С	0,5	0,5	0,1	0,1
73	№ 73	пр. р. Шаррак	кар.	СЗ	0,9	0,9	0,3	0,3
74	№ 74	Шаррак	дол.	СЗ	1,8	1,8	0,9	0,9
75	№ 75	пр. р. Шаррак	прискл.	СВ	0,9	0,9	0,3	0,3
76	№ 76	пр. р. Шаррак	прискл.	С	0,4	0,4	0,1	0,1
77	№ 77	пр. р. Карагаран	кар.	С	0,7	0,7	0,3	0,3
78	№ 78	пр. р. Карагаран	кар.	С	0,8	0,8	0,2	0,2
79	№ 79	пр. р. Карагаран	кар.	С	0,4	0,4	0,1	0,1
80	№ 80	Карагаран	кар.	С	0,6	0,6	0,3	0,3
81	№ 81	пр. р. Карагаран	кар.-вис.	С	0,6	0,6	0,1	0,1
82	№ 82	пр. р. Карагаран	прискл.	СВ	0,4	0,4	0,1	0,1
83	№ 83	пр. р. Карагаран	прискл.	В	1,1	1,1	0,5	0,5
84	№ 84	пр. р. Азорчашма	прискл.	С	0,4	0,4	0,1	0,1
85	№ 85	пр. р. Азорчашма	кар.	С	0,8	0,8	0,2	0,2
86	№ 86	пр. р. Азорчашма	кар.	СВ	0,6	0,6	0,2	0,2
87	№ 87	пр. р. Азорчашма	кар.	В	0,6	0,6	0,1	0,1
88	№ 88	пр. р. Азорчашма	кар.	С, (СВ)	0,7	0,7	0,2	0,2
89	№ 89	пр. р. Азорчашма	прискл.	В	0,6	0,6	0,1	0,1
90	№ 90	пр. р. Чорроха	кар.	СВ	0,6	0,6	0,2	0,2

Высота, м			Фирновая линия		Площадь области абляции, км ²		Объем льда, км ³	Ссылки на последующие таблицы (иллюстрации) № таблиц и иллюстраций порядковые № сведений в таблицах
нижней точки конца ледника	нижней точки открытой части ледника	высшей точки ледника	высота, м	способ определения и дата	общая	в том числе открытой части		
10	11	12	13	14	15	16	17	18
3480	3480	3620	3550	Кур.	0,1	0,1	0,0024	
3440	3440	4000	3690	Кур.	0,5	0,5	0,0231	
3600	3600	4300	3970	Кур.	0,1	0,1	0,0024	
3340	3340	3440	3410	Кур.	—	—	0,0009	
3500	3500	3800	3650	Кур.	0,1	0,1	0,0024	
3700	3700	4000	3850	Кур.	0,2	0,2	0,0044	
3760	3760	4000	3880	Кур.	0,2	0,2	0,0068	
3600	3600	4200	3840	Кур.	0,4	0,4	0,0193	
3520	3520	4000	3750	Кур.	0,2	0,2	0,0068	
3260	3260	3800	3590	Кур.	0,6	0,6	0,0355	
3560	3560	4000	3810	Кур.	0,1	0,1	0,0024	
3600	3600	3900	3730	Кур.	0,2	0,2	0,0068	
3900	3900	4240	4030	Кур.	0,2	0,2	0,0125	
3660	3660	4000	3870	Кур.	0,1	0,1	0,0044	
					10,0	9,5	0,4993	

(р. Зеравшан)
Гиссарского хребта

3900	3900	4200	4030	Кур.	—	—	0,0009	
3780	3780	4160	3980	Кур.	0,1	0,1	0,0024	
3780	3780	4280	4020	Кур.	0,4	0,4	0,0158	
3840	3840	4080	3960	Кур.	—	—	0,0009	
3840	3840	4120	3960	Кур.	0,2	0,2	0,0044	
4000	4000	4300	4130	Кур.	0,4	0,4	0,0158	
3720	3720	4000	3860	Кур.	0,1	0,1	0,0024	
3660	3660	3720	3690	Кур.	—	—	0,0009	
3600	3600	3880	3710	Кур.	0,2	0,2	0,0044	
3940	3940	4080	4000	Кур.	0,1	0,1	0,0024	
3680	3680	4080	3870	Кур.	0,6	0,6	0,0270	
3880	3880	4200	4010	Кур.	—	—	0,0009	
3790	3790	4000	3890	Кур.	0,1	0,1	0,0024	
3820	3820	4080	3940	Кур.	0,2	0,2	0,0044	
3800	3800	4000	3900	Кур.	—	—	0,0009	
3840	3840	4000	3920	Кур.	0,2	0,2	0,0044	
3660	3660	4200	3850	Кур.	0,5	0,5	0,0231	
3720	3720	3920	3820	Кур.	0,2	0,2	0,0044	
3600	3600	3800	3690	Кур.	—	—	0,0009	
3560	3560	3900	3720	Кур.	0,2	0,2	0,0044	
3700	3700	3900	3820	Кур.	0,1	0,1	0,0024	
3670	3670	3880	3750	Кур.	—	—	0,0009	
3640	3640	3940	3760	Кур.	0,1	0,1	0,0044	
3660	3660	3800	3700	Кур.	—	—	0,0009	
3620	3620	3740	3690	Кур.	—	—	0,0009	
3660	3660	3900	3770	Кур.	0,3	0,3	0,0095	
3680	3680	3800	3740	Кур.	—	—	0,0009	
3800	3800	4000	3900	Кур.	0,1	0,1	0,0024	
3840	3840	4000	3910	Кур.	0,1	0,1	0,0024	
4040	4040	4240	4130	Кур.	—	—	0,0009	
3950	3950	4240	4080	Кур.	0,1	0,1	0,0024	
3860	3860	4000	3940	Кур.	—	—	0,0009	
3440	3440	3640	3540	Кур.	0,1	0,1	0,0024	

№ по схеме	Название	Название реки, вытекающей из ледника	Морфологический тип	Общая экспозиция	Наибольшая длина, км		Площадь, км ²	
					всего ледника	в том числе открытой части	всего ледника	в том числе открытой части
1	2	3	4	5	6	7	8	9
91*	№ 91	Чорроха	кар.-дол.	СВ	1,1	1,1	0,4	0,3
92	№ 92	пр. р. Субаши	дол.	(СВ, С) СЗ	1,8	1,4	0,7	0,5
93	№ 93	пр. р. Субаши	приск. кар.	З	0,4	0,4	0,1	0,1
94	№ 94	пр. р. Субаши	кар.-дол.	СЗ	1,0	1,0	0,4	0,4
95	№ 95	пр. р. Субаши	кар.-дол.	С	1,0	1,0	0,3	0,3
96	№ 96	пр. р. Карасу	кар.	(СЗ), З	0,9	0,9	0,3	0,3
97	№ 97	пр. р. Карасу	кар.	СЗ	0,5	0,5	0,1	0,1
98	№ 98	пр. р. Карасу	кар.-дол.	(СЗ), З	1,1	1,1	0,4	0,4
99	№ 99	пр. р. Карасу	дол.	С	2,2	0,8	1,2	0,6
100	№ 100	пр. р. Карасу	кар.	З	0,8	0,8	0,3	0,3
101	№ 101	Карасу	кар.	С	0,7	0,7	0,3	0,3
102	№ 102		прискл.	СЗ	0,4	0,4	0,3	0,3
103	№ 103	пр. р. Карасу	кар.	С	0,8	0,8	0,7	0,7
104	№ 104	пр. р. Карасу	асимм.	(С), СВ	0,4	0,4	0,6	0,6
105	№ 105		дол. кар.	В	1,4	1,4	0,1	0,1
106	№ 106	пр. р. Карасу	прискл.	С	0,4	0,4	0,1	0,1
107	№ 107	пр. р. Карасу	кар.	СВ	1,2	1,2	0,8	0,8
108	№ 108	пр. р. Карасу	кар.-дол.	В	0,5	0,5	0,2	0,2
109	№ 109	пр. р. Субаши	кар.	СВ	0,6	0,6	0,1	0,1
110	№ 110		прискл.	(С), СВ	1,9	0,5	0,4	0,2
111	№ 111	пр. р. Субаши	дол.	СЗ	0,7	0,7	0,2	0,2
112	№ 112	пр. р. Субаши	кар.	С	0,8	0,8	0,4	0,4
	55 ледников						17,3	16,2

Кроме того, в бассейне р. Магияндарьи имеется 32 ледника размерами менее 0,1 км² каждый, общей площадью 1,8 км²
Итого 87 ледников 19,1

Всего в бассейнах левых притоков р. Зеравшана ниже устья р. Фандарьи имеется 174 ледника общей площадью 43,3 км² каждый, общей площадью 40,0 км², и 62 ледника размерами менее 0,1 км² каждый и общей площадью 3,3 км².

Высота, м			Фирновая линия		Площадь области абляции, км ²		Объем льда, км ³	Ссылки на последующие таблицы (иллюстрации) <u>№ таблиц и иллюстраций</u> порядковые № сведений в таблицах
низшей точки конца ледника	низшей точки открытой части ледника	высшей точки ледника	высота, м	способ определения и дата	общая	в том числе открытой части		
10	11	12	13	14	15	16	17	18
3680	3680	4000	3850	Кур.	0,2	0,1	0,0068	
3600	3700	4040	3870	Кур.	0,3	0,1	0,0158	
3700	3700	3820	3760	Кур.	—	—	0,0009	
3720	3720	4000	3830	Кур.	0,2	0,2	0,0068	
3680	3680	4040	3830	Кур.	0,2	0,2	0,0044	
3600	3600	3900	3750	Кур.	0,1	0,1	0,0044	
3820	3820	4000	3910	Кур.	—	—	0,0009	
3520	3520	4000	3730	Кур.	0,2	0,2	0,0068	
3360	3560	3980	3780	Кур.	0,7	0,1	0,0355	
3640	3640	3900	3740	Кур.	0,2	0,2	0,0044	
3520	3520	3720	3620	Кур.	0,1	0,1	0,0044	
3740	3740	4000	3850	Кур.	0,1	0,1	0,0044	
3660	3660	3920	3770	Кур.	0,4	0,4	0,0158	
3540	3540	3900	3660	Кур.	0,4	0,4	0,0125	
3770	3770	3900	3820	Кур.	—	—	0,0009	
3640	3640	3740	3680	Кур.	—	—	0,0009	
3700	3700	4000	3830	Кур.	0,4	0,4	0,0193	
3780	3780	3920	3860	Кур.	0,1	0,1	0,0024	
3640	3640	3800	3740	Кур.	—	—	0,0009	
3640	3740	4000	3810	Кур.	0,2	—	0,0068	
3800	3800	4160	3940	Кур.	0,1	0,1	0,0024	
3880	3880	4120	3960	Кур.	0,2	0,2	0,0068	
					8,5	7,4	0,3186	

(из них 1,6 км² закрыто мореной) и общим объемом 0,8366 км³, в том числе 112 ледников размерами 0,1 км² и более

ПОЯСНЕНИЯ К ТАБЛИЦЕ I

№ пелюшки	Название	№ графы	Пояснение
1	2	3	4

Том 14, выпуск 3, часть 1

60, 61	№ 60, 61		Соприкасаются на ограниченном участке фирновыми областями
83, 84	№ 83, 84		Соприкасаются фирновыми областями
100, 103, 158	№ 100, 103, 158	9,16	Площадь поверхностной морены 0,03 км ²
119	№ 119	9,16	Площадь боковой морены 0,02 км ²
176	№ 176	9,16	Площадь боковой морены 0,03 км ²
179	№ 179	9,16	Площадь поверхностной морены 0,05 км ²
183	№ 183	9,16	Площадь поверхностной морены 0,04 км ²
184	№ 184	9,16	Площадь поверхностной морены 0,06 км ²
178, 185, 188	Преображенского, Рама, Юлдаша	9,16	Обладают большими участками мертвого, погребенного под моренами льда
202, 203, 207, 208, 209, 214, 215, 219, 220	Зеравшанский, Фарахнау, Толстова, Скачкова, Мирамин, Ахун, Назар-Айляк-1, № 219, Назар-Айляк-2		Нижние части ледниковых языков у Зеравшанского ледника и ледника Фарахнау имеют небольшие участки мертвого, погребенного под мореной льда. Границы активных частей выделены по признакам, свидетельствующим о движении льда, в частности по трещинной тектонике как чистого, так и закрытого моренами льда. За низшую точку притоков Зеравшанского ледника условно принята отметка слияния их с основным потоком
230	№ 230	9,16	Площадь поверхностной морены 0,08 км ²
231	№ 231	9,16	Площадь поверхностной морены 0,05 км ²
218, 252, 253	№ 218, 252, 253	9,16	Площадь поверхностной морены менее 0,1 км ²
269, 270	№ 269, 270		Соприкасаются языками в нижней части
291	№ 291	9,16	Площадь поверхностной морены менее 0,1 км ²
297, 298	№ 297, 298		Соприкасаются языками в нижней части
325, 326	Рог, № 326		Соприкасаются языками и фирновыми областями на ограниченных участках
428, 429	№ 428, 429		Соприкасаются фирновыми областями
437, 508	№ 437, 508	9,16	Ледник имеет боковые морены
447, 506, 547, 581, 586, 594, 628, 635, 697	№ 447, 506, 547, 581, 586, 594, 628, 635, 697	9,16	Площадь поверхностной морены менее 0,1 км ²

Том 14, выпуск 3, часть 2

6,45	№ 6,45	9,16	Площадь поверхностной морены менее 0,1 км ²
91	№ 91	9,16	Ледник имеет боковые морены

ЭКСПЕДИЦИОННЫЕ И СТАЦИОНАРНЫЕ ИССЛЕДОВАНИЯ ЛЕДНИКОВ

№ п.п.	Номер и название ледника по схеме	Время проведения работ, годы	Характеристика (состав) проведенных исследований	Организация, производившая работы	№ источника по табл. V
1	2	3	4	5	6
1	202 — Зеравшанский	1871	Первые сведения о Зеравшанском леднике	РГО	26
2	202—258	1880	Посещение и описание ледников, съемка конца Зеравшанского ледника	РГО	24
3	55—69, 202 — Зеравшанский	1910	Экспедиционное обследование ледников бассейнов р. Сабах и верховьев р. Матча	РГО	32
4	202 — Зеравшанский	1915	Описание положения конца ледникового языка, сведения о его сокращении	РГО	31
5	202—258	1916	Экспедиционная поездка. Описание ледника, схема конца языка	РГО	39
6	202 — Зеравшанский	1933	Комплексные гляциологические исследования в верховьях р. Матча	ТПЭ	13,14
7	98—258	1934	Экспедиционное обследование ледников бассейна р. Матча	ТПЭ	36—38
8	502—574	1934	Геоморфологические и гляциологические работы в верховьях р. Ягноб	ТПЭ	3,10
9	202 — Зеравшанский, 574	1934	Теплобалансовые исследования на леднике Зеравшанский и в бассейне р. Ягноб	ГГИ	19,20
10	202—260	1946	Комплексные гляциологические исследования	ЛГУ	5
11	Район оледенения в целом	1962—1963	Экспедиционные обследования ледников притоков верховий р. Матча	ИГиГ АН УзССР	27,28
12	202 — Зеравшанский	1963	Посещение конца языка ледника Зеравшанский, описание его	УГМС ТаджССР	48
13	747 — Имат	1964—1968	Комплексные гляциологические экспедиционные исследования	ИГиГ АН УзССР	29
14	126 — Туро, 185—Рама, 202—258, 304—315, 392,—405, 437—454	1965	Посещение ледников верховий р. Матча	УГМС ТаджССР, Упр. геол. ТаджССР	42—47
15	747 — Имат	1966	Гляциогидрологические исследования	ИГиГ АН УзССР	22, 23

СПИСОК РАБОТ, СОДЕРЖАЩИХ СВЕДЕНИЯ О ЛЕДНИКАХ

№ п.п.	Номер и название ледника по схеме	Автор и наименование работы	Место издания работы	Краткая аннотация
1	2	3	4	5
1	185 — Рама, 202—Зеравшанский	Аминов П. Военно-топографический очерк горной страны Зеравшан	Ежегодник Мат-лы для статистики Туркестанского края, СПб, 1874, Вып. II	Открытие Зеравшанского ледника в 1870 г. Приведена рекогносцировочная карта Зеравшанского ледника и схемы концов ледников Зеравшанского и Рама
2	Район оледенения в целом	Балашова Е. Н., Житомирская О. М., Семенова О. А. Климатическое описание Средней Азии	Л.: Гидрометеиздат, 1960	
3	533—570	Гордиенко В. Е. Гляциологический и геоморфологический очерк верховьев р. Ягноб	Труды ледн. экспед. II МПГ, 1936, вып. 3	Описаны ледники и их моренные образования в бассейнах рек Барзанги и Такали. Приводятся данные по геологии района
4	202 — Зеравшанский	Давыдов Л. К. Экспедиция на Зеравшанский ледник	Бюлл. Среднеаз. метеоролог. ин-та, Ташкент, 1924	
5	202—258	Давыдов Л. К. Зеравшанская гляциологическая экспедиция географического факультета, 1946	Вестник ЛГУ, 1946, т. 4—5	Дано описание ледника Зеравшанский и его режима
6	202 — Зеравшанский	Давыдов Л. К. Зеравшанский ледник	Уч. зап. ЛГУ. Сер. геогр., 1952, № 152, вып. 8	Дана краткая история исследования Зеравшанского ледника. Приводятся подробные описания и морфологические характеристики ледника и его крупнейших притоков. Схема конца ледника, сделанная в 1946 г., сравнивается с более ранними схемами
7	Район оледенения в целом	Долгушин Л. Д. Современное оледенение Нань-Шаня	Изв. АН СССР. Сер. геогр., 1959, № 6	
8		Ерасов Н. В. Методы определения объема горных ледников	Мат-лы гляциол. исслед. Хроника, обсуждения, 1968, вып. 14	Выведена эмпирическая формула расчета объема горных ледников
9	202 — Зеравшанский	Кароль Б. П., Конкина Н. Т. Экспедиция на Зеравшанский ледник в 1946 г.	В кн.: Современное оледенение в бассейне р. Зарафшан. Ташкент, Фан, 1972	Приводятся сведения о метеорологических и актинометрических наблюдениях у конца ледника и в его средней части. Измерены также величины испарения и таяния льда
10	502—574	Киреев И. А. Предварительный гидрологический очерк бассейна р. Ягноб	Труды ледн. экспед. II МПГ, 1936, вып. 3	Приводятся данные об оледенении бассейна р. Ягноб, о стоке с ледников
11	Район оледенения в целом	Климатический справочник СССР	Вып. 19, 1949	
12	747 — Имат	Крейтер А. А. Морфологическая характеристика ледника Имат	В кн.: Современное оледенение в бассейне р. Зеравшан. Ташкент, Фан, 1972	Дано описание морфологических особенностей ледника Имат
13	202 — Зеравшанский	Коновалов Е. П. Об области питания и строения Зеравшанского ледника	Изв. РГО, 1935, вып. 5	
14	202 — Зеравшанский	Коновалов Е. П. Краткий отчет о работах на Зеравшанском леднике, 1933	Труды ледн. экспед. II МПГ, 1936, вып. 3	Краткие сведения по геологии, гидрологии, геоморфологии и гляциологии верхней части долины р. Зеравшан и Зеравшанского ледника
15	202 — Зеравшанский	Корженевский Н. Л. К вопросу о морфологических особенностях ледников Средней Азии и их возможной классификации	Ташкент, Изд-во Среднеаз. метеоролог. ин-та, 1928	Приводится схема морфологических областей Зеравшанского ледника. Высказываются соображения о положении снеговой линии на леднике, о ее особенностях и причинах колебаний

№ п.п.	Номер и название ледника по схеме	Автор и наименование работы	Место издания работы	Краткая аннотация
1	2	3	4	5
16	202 — Зеравшанский	Корженевский Н. Л. Некоторые новые данные о Зеравшанском леднике	Изв. ВГО, 1948, т. 80, вып. 5	Дано описание Зеравшанского ледника и его притоков, уточнена его площадь. Приводятся сведения о развитии ледника в прошлом, а также его гидрологическом режиме
17	Район оледенения в целом	Кренке А. Н. Климатические условия существования современного оледенения Средней Азии	Изв. АН СССР. Сер. геогр., 1973, № 1	
18	202 — Зеравшанский	Крупнейшие ледники Средней Азии — ледники Федченко и Зеравшанский /Под ред. Давыдова Л. К.	Л.: Изд. ЛГУ, 1967	В сборнике приводится краткий обзор исследований, сведения о формировании климата ледниковой зоны, тепловом и радиационном балансе различных зон ледника и др. данные.
19	202 — Зеравшанский, 574	Кузьмин П. П. Прямая солнечная радиация в горном Зеравшанском районе	Журнал геофизики, 1935, т. 5, вып. 2	Приводятся сведения о влиянии радиации на стаивание поверхности ледника № 574
20	202 — Зеравшанский, 574	Кузьмин П. П. Температурный режим в верховьях бассейнов рек Зеравшан и Ягноб	Труды ледн. экспед. II МПГ, 1936, вып. 3	Приводятся данные активнометрических наблюдений на леднике Зеравшанский
21	747 — Имат, 755, 757, 777	Кузьмин П. П. Процессы теплообмена, абляции и стока ледников в бассейне р. Зеравшан	Труды ГГИ, 1948, вып. 3, (57)	Дано описание бассейна р. Пасрут. Приведены результаты измерений абляции и жидкого стока ледника Имат, установлены особенности температурного режима, определена плотность льда
22	747 — Имат	Лесник Ю. Н. О вещественном балансе ледника Имат	Труды САРНИГМИ, 1969, вып. 44 (59)	Рассмотрены составляющие вещественного баланса ледника Имат
23	747 — Имат	Лесник Ю. Н. Таяние и расчет стока ледника Имат	Мат-лы гляциол. исслед. Хроника, обсуждения, 1969, вып. 15	Приводятся данные о температурном режиме, таянии и расчете стока ледника Имат
24	202 — Зеравшанский	Мушкетов И. В. Геологическая экспедиция на Зеравшанский ледник в 1880 г.	Изв. РГО, 1881, т. 17	Дан геологический очерк долины р. Зеравшан. Описаны древние и современные морены ледника. Общая характеристика ледника и его притоков
25	202—258	Мушкетов И. В. Туркестан. Том II	СПб, 1906	Описание Зеравшанского ледника, карта и фотография ледника
26	202 — Зеравшанский	Мышенков О. К. Геологические наблюдения во время Зеравшанской экспедиции	Зап. РГО по общей географии, 1871, т. IV	Описан Зеравшанский ледник и приводится его рисунок, написанный Д. Л. Ивановым
27	Район оледенения в целом	Насыров М. А. Некоторые черты оледенения бассейна реки Зеравшан	Изв. УзГО, 1970, т. XII	Приведены данные об оледенении Туркестанского, Гиссарского и Зеравшанского хребтов. Описаны встречающиеся здесь типы ледников, их количество и их морфометрические характеристики
28	Район оледенения в целом	Насыров М. А. Ледники бассейна р. Зеравшан	В кн.: Современ. оледенение в бассейне р. Зеравшан, Ташкент, Фан, 1972	Дается характеристика особенностей оледенения бассейна р. Зеравшан, распределение ледников по склонам хребтов и по высотным зонам
29	747 — Имат	Насыров М. А., Садыков К. Г. Опыт составления баланса морен	В кн.: Горное оледенение Узбекистана и смежных территорий, Ташкент, 1966	Дано описание ледника, его области питания, морен. Приведена схема ледника Имат, результаты метеорологических и гидрологических исследований

№ п.п.	Номер и название ледника по схеме	Автор и наименование работы	Место издания работы	Краткая аннотация
1	2	3	4	5
30	Район оледенения в целом	Обнорский С. Г. Организация гидрологических работ в бассейне Зеравшана и Ягноба	Труды ледн. экспед. II МПГ, 1936, вып. 3	Приводятся гидрологические характеристики рек Зеравшан, Фандарьи, Ягноб, Искандердарьи, Пасрут
31	Ледники бассейна верховьев р. Матча	Петровский Н. П. Заметки о Зеравшанском и других ледниках Самаркандской области	Изв. РГО, 1915, т. 1, вып. 4	Сведения о Зеравшанском и близлежащих к нему ледниках, описание конечных морен
32	Ледники бассейна верховьев р. Матча	Преображенский И. А. Поездка в Туркестанский хребет бассейна Зеравшана, Лайляка, Исафры и Соха (отчет РГО о летней командировке 1910 г.)	Изв. РГО, 1911, т. 17, вып. 7—10	Составлено описание и схема расположения ледников в верховьях р. Собах, а также схема и описание нижней части языка Зеравшанского ледника, его конечных морен и русла р. Зеравшан
33	Ледники южного склона Туркестанского хребта	Преображенский И. А. Ледники Туркестанского хребта	Изв. РГО, 1916, т. 52, вып. 2	Составлено описание и схемы ледников, а также даны их общие характеристики
34	202 — Зеравшанский	Соколов Д. П. О движении нижней части языка Зеравшанского ледника	Изв. ВГО, 1970, т. 102, вып. 3	Приводятся сведения об изменениях и скоростях движения нижней части языка ледника
35	202 — Зеравшанский	Соколов Д. П. Приблизительная оценка соотношения элементов водного баланса Зеравшанского ледника	В кн.: Современное оледенение в бассейне р. Зеравшан, Ташкент, Фан, 1972	Рассмотрены величины приходной и расходной частей вещественного баланса ледника, приведены данные об отступании конца языка с 1880 по 1957 г.
36	98—258	Соседко А. Ф. Пегматиты южного склона Туркестанского хребта	В кн.: Таджикско-Памирская экспедиция, 1934, М.—Л., 1935	Приводятся краткие сведения о ледниках Самджон, Туро, Водиф, Россинч, Рама, Зеравшанский
37	Ледники бассейна верховьев р. Матча	Учайкин В. П. II МПГ на ледниках Зеравшана	В кн.: Исследование ледников СССР, Л., 1935, вып. 2—3	Приводятся морфометрические характеристики ледников, расположенных в верховьях р. Матча, описываются метеорологические и гидрологические условия района
38	Ледники бассейна верховьев р. Матча	Учайкин В. П. Предварительный отчет Зеравшанской высокогорной комплексной экспедиции, 1932	Труды ледн. экспед. II МПГ, 1936, вып. 4	
39	202 — Зеравшанский	Фаугдильд В. Поездка к Зеравшанскому леднику	Ежегодник Русского горного об-ва, 1916, т. 13 (1913)	Дано описание ледника, приводятся фотографии и схема конца языка ледника
40	Район оледенения в целом	Щеглова О. П. Оледенение и ледниковый сток р. Зеравшан	В кн.: Современные вопросы гляциологии, М.—Л., 1964, № 17	Приведены подсчеты общей площади оледенения бассейна р. Зеравшан
41	Rickmers W. R.	The Duab of Turkestan	Cambridge, 1913	
42	433—455	Ледник Гузн	Таджикское УГКС	
43	304—315	Ледник Дейхиданг	То же	
44	392—405	Ледник Падаск	»	
45	85 — Рама	Ледник Рама	Таджикское УГКС	
46	126 — Туро	Ледник Туро	То же	
47	202 — Зеравшанский	Санников А. Краткий отчет о посещении ледника Зеравшан в августе 1965 г.	Таджикское УГКС	
48	202 — Зеравшанский	Усков Ю. Краткий отчет о поездке на ледник Зеравшан в октябре 1963 г.	Таджикское УГКС	

ДОПОЛНИТЕЛЬНЫЕ МАТЕРИАЛЫ

Том 14, выпуск 3, часть 1
 Основные сведения о ледниках размером менее 0,1 км²

№ п.п.	Вблизи какого ледника расположен (№ ледника по табл. 1)	Название реки, вытекающей из ледника	Морфологический тип	Общая экспозиция	Наибольшая длина, км	Площадь, км ²	Высота, м	
							низшей точки конца ледника	высшей точки ледника
1	2	3	4	5	6	7	8	9
Бассейн р. Испан (реки Матча, Зеравшан)								
Южный склон Туркестанского хребта								
1	№ 2	пр. р. Испан	вис.	СЗ	0,3	0,08 (0,1)	4100	4350
Бассейн р. Қаллахона (реки Матча, Зеравшан)								
Южный склон Туркестанского хребта								
2	№ 9	пр. р. Қаллахона	кар.-вис.	СЗ	0,3	0,08 (0,1)	4240	4500
Бассейн р. Худгиф (реки Матча, Зеравшан)								
Южный склон Туркестанского хребта								
3	№ 12	пр. р. Худгиф	вис.	В	0,3	0,04	4300	4500
Бассейн р. Исиз (реки Матча, Зеравшан)								
Южный склон Туркестанского хребта								
4	№ 16	пр. р. Исиз	вис.	В	0,3	0,03	4160	4300
Бассейн р. Яхрут (реки Матча, Зеравшан)								
Южный склон Туркестанского хребта								
5	№ 22	пр. р. Яхрут	кар.-вис.	В	0,4	0,08	3820	4180
6	№ 22	пр. р. Яхрут	кар.-вис.	В	0,3	0,07	3840	4130
7	№ 22	пр. р. Яхрут	кар.-вис.	ЮВ	0,3	0,07	3950	4240
8	№ 25	пр. р. Яхрут	вис.	З	0,4	0,07	4100	4440
9	№ 25	пр. р. Яхрут	вис.	З	0,4	0,08	3940	4280
	5 ледников					0,37 (0,4)		
Бассейн р. Рухшиф (реки Матча, Зеравшан)								
Южный склон Туркестанского хребта								
10	№ 27	пр. р. Обикамзор	вис.	СВ	0,2	0,06	4160	4240
11	№ 33	пр. р. Обикамзор	вис.	ЮЗ	0,5	0,08	4120	4410
12	№ 38	пр. р. Памирчак	вис.	С	0,3	0,06	4040	4300
13	№ 43	пр. р. Рухшиф	вис.	С	0,3	0,05	4000	4280
	4 ледника					0,25 (0,3)		
Бассейн правого притока р. Матча между устьями рек Рухшиф и Мадрушкент (реки Матча, Зеравшан)								
Южный склон Туркестанского хребта								
14	№ 42	пр. р. Матча	вис.	З	0,3	0,06 (0,1)	4280	4440
Бассейн р. Мадрушкент (реки Матча, Зеравшан)								
Южный склон Туркестанского хребта								
15	№ 44	пр. р. Мадрушкент	кар.	С, (СВ)	0,3	0,09 (0,1)	4240	4440
Бассейн р. Сабах (реки Матча, Зеравшан)								
Южный склон Туркестанского хребта								
16	№ 60		кар.	С	0,4	0,07	4000	4300
17	№ 66	пр. р. Сабах	кул.	СВ	0,3	0,05	3760	4040
18	№ 66	пр. р. Сабах	вис.	З	0,3	0,06	4360	4460
19	№ 70	пр. р. Сабах	кар.	Ю	0,4	0,09	4300	4460
20	№ 70	пр. р. Сабах	кар.	З	0,3	0,08	4200	4440
21	№ 78	пр. р. Сабах	кар.-вис.	СЗ	0,4	0,09	4100	4500
22	№ 78	пр. р. Сабах	кар.-вис.	СЗ	0,6	0,09	3780	4100
	7 ледников					0,53 (0,5)		
Бассейн р. Лягаршиф (реки Матча, Зеравшан)								
Южный склон Туркестанского хребта								
23	№ 80	пр. р. Лягаршиф	кул.	СВ	0,5	0,06	4300	4740

№ п.п.	Вблизи какого ледника расположен (№ ледника по табл. 1)	Название реки, вытекающей из ледника	Морфологический тип	Общая экспозиция	Наибольшая длина, км	Площадь, км ²	Высота, м	
							нижней точки конца ледника	высшей точки ледника
1	2	3	4	5	6	7	8	9
24	№ 91 № 95 № 96 4 ледника	пр. р. Лягаршиф	вис.	З	0,3	0,04	4700	4900
25			вис.	СЗ	0,3	0,06	4200	4480
26			кар.	З	0,4	0,07	4300	4600
						0,23 (0,2)		
Бассейн р. Ярм (реки Матча, Зеравшан) Южный склон Туркестанского хребта								
27	№ 97 № 102 № 102 № 102 № 102 № 104 № 104 № 104 9 ледников	пр. р. Ярм	кар.	СВ	0,4	0,08	3960	4200
28			вис.	СЗ	0,4	0,09	4640	4940
29			кул.	СЗ	0,3	0,05	4600	4900
30		кул.	СЗ	0,3	0,04	4600	4880	
31		кул.	СЗ	0,3	0,05	4600	4940	
32		кул.	СЗ	0,4	0,05	4600	4940	
33		пр. р. Ярм пр. р. Ярм пр. р. Ярм	кул.	З	0,4	0,07	4400	4600
34			кул.	З	0,3	0,06	4440	4640
35			кул.	СЗ	0,5	0,09	4400	4760
						0,58 (0,6)		
Бассейн р. Самджон (реки Матча, Зеравшан) Южный склон Туркестанского хребта								
36	№ 110 № 111 № 111 № 111 4 ледника	пр. р. Самджон	кул.	З	0,4	0,05	4500	4840
37			кул.	З	0,2	0,03	4800	5000
38		пр. р. Самджон пр. р. Самджон	кул.	З	0,3	0,06	4800	5100
39			кул.	З	0,3	0,05	4600	4800
						0,19 (0,2)		
Бассейн р. Туро (реки Матча, Зеравшан) Южный склон Туркестанского хребта								
40	№ 119		кар.	В	0,4	0,08 (0,1)	4280	4560
Бассейн р. Водиф (реки Матча, Зеравшан) Южный склон Туркестанского хребта								
41	№ 140 № 143 № 147 № 148 № 148 5 ледников	пр. р. Водиф	кул.	СЗ	0,5	0,07	4120	4400
42			кар.	Ю	0,4	0,06	4320	4600
43			вис.	СЗ	0,3	0,05	4200	4900
44			вис.	З	0,3	0,04	4500	4900
45			вис.	З	0,3	0,04	4500	4900
						0,26 (0,3)		
Бассейн р. Обимазар (реки Матча, Зеравшан) Южный склон Туркестанского хребта								
46	№ 160 № 160 2 ледника	пр. р. Обимазар пр. р. Обимазар	вис. кар.	ЮВ	0,3	0,06	4100	4400
47			прискл.	ЮВ	0,4	0,09	3660	4000
						0,15 (0,2)		
Бассейн р. Россинч (реки Матча, Зеравшан) Южный склон Туркестанского хребта								
48	№ 168 № 168 2 ледника		кар.-вис.	СВ	0,4	0,07	4400	4800
49			кар.-вис.	Ю	0,4	0,08	3940	4250
						0,15 (0,2)		
Бассейн р. Рама (реки Матча, Зеравшан) Южный склон Туркестанского хребта								
50	№ 179 № 187 № 193 № 198 № 199 № 201 6 ледников		вис.	СЗ	0,3	0,05	4360	4540
51			кар.	В	0,2	0,05	4300	4500
52			вис.	З	0,3	0,07	4640	4960
53			кар.	СЗ	0,3	0,05	3900	4200
54			вис.	СЗ	0,2	0,03	4600	4800
55			вис.	СЗ	0,4	0,04	4200	4600
						0,29 (0,3)		

№ п.п.	Вблизи какого ледника расположен (№ ледника по табл. 1)	Название реки, вытекающей из ледника	Морфологический тип	Общая экспозиция	Наибольшая длина, км	Площадь, км ²	Высота, м	
							нижней точки конца ледника	высшей точки ледника
1	2	3	4	5	6	7	8	9
Бассейн ледника Зеравшанский (реки Матча, Зеравшан)								
Южный склон Туркестанского хребта, Северный склон Зеравшанского хребта								
56	№ 203		вис.	СВ	0,4	0,06	4400	4880
57	№ 224		вис.	ЮВ	0,3	0,07	4600	4800
58	№ 228		кар.-вис.	Ю	0,6	0,09	4520	4800
59	№ 231		вис.	З	0,4	0,09	4400	4650
60	№ 231		вис.	З	0,3	0,05	4320	4600
61	№ 237		кар.	З	0,3	0,06	4200	4400
62	№ 241		кар.-вис.	З	0,4	0,08	4600	4900
63	№ 202		вис.	Ю	0,4	0,07	4600	4800
64	№ 202		вис.	ЮЗ	0,5	0,06	4640	4800
65	№ 219		вис.	С	0,2	0,09	4000	4200
66	№ 251		вис.	СЗ	0,2	0,06	4200	4400
67	№ 254		вис.	СЗ	0,3	0,04	3840	4000
	12 ледников					0,82 (0,8)		
Бассейны левых притоков р. Матча ниже системы Зеравшанского ледника (реки Матча, Зеравшан)								
Северный склон Зеравшанского хребта								
68	№ 272		кар.-вис.	СЗ	0,5	0,08 (0,1)	3800	4100
Бассейн р. Шахисафед (реки Матча, Зеравшан)								
Северный склон Зеравшанского хребта								
69	№ 295		кар.	СЗ	0,3	0,06	3640	3840
70	№ 298		вис. кар.	СЗ	0,5	0,08	3700	4000
71	№ 296		вис.	СВ	0,3	0,08	4200	4360
	3 ледника					0,22 (0,2)		
Бассейн р. Дихаданг (реки Матча, Зеравшан)								
Северный склон Зеравшанского хребта								
72	№ 314		вис.	С	0,4	0,06 (0,1)	4200	4560
Бассейн р. Рог (реки Матча, Зеравшан)								
Северный склон Зеравшанского хребта								
73	№ 329		вис.	В	0,4	0,07	4500	4900
74	№ 329		вис.	В	0,3	0,09	4640	4900
75	№ 331		кар.	В	0,5	0,05	4220	4380
76	№ 331		кар.	СВ	0,2	0,02	4160	4260
77	№ 331		кар.	СВ	0,2	0,03	4160	4260
	5 ледников					0,26 (0,3)		
Бассейн р. Пакшиф (реки Матча, Зеравшан)								
Северный склон Зеравшанского хребта								
78	№ 345		кул.	СЗ	0,4	0,08 (0,1)	4380	4680
Бассейн р. Димнора (реки Матча, Зеравшан)								
Северный склон Зеравшанского хребта								
79	№ 353		кар.	СЗ	0,4	0,09	4000	4200
80	№ 357		вис.	СЗ	0,3	0,04	4200	4360
81	№ 367	пр. р. Димнора	кар.	СВ	0,2	0,03	4000	4200
82	№ 367		кар.	СЗ	0,3	0,04	4200	4460
83	№ 367		кар.-вис.	С	0,3	0,05	4500	4740
84	№ 369		вис.	В	0,4	0,06	4800	5050
85	№ 370	пр. р. Димнора	кар.-вис.	СВ	0,3	0,08	3740	3920
	7 ледников					0,39 (0,4)		
Бассейн р. Джиндон (реки Матча, Зеравшан)								
Северный склон Зеравшанского хребта								
86	№ 372	пр. р. Джиндон	вис.	З	0,4	0,07	4800	5020
87	№ 378		вис.	В	0,3	0,05	4000	4240

№ п.п.	Вблизи какого ледника расположен (№ ледника по табл. 1)	Название реки, вытекающей из ледника	Морфологический тип	Общая экспозиция	Наибольшая длина, км	Площадь км ²	Высота м	
							нижней точки конца ледника	высшей точки ледника
1	2	3	4	5	6	7	8	9
88	№ 378 3 ледника		вис.	В	0,4	0,06 0,18 (0,2)	4400	4600
Бассейн р. Падаск (реки Матча, Зеравшан) Северный склон Зеравшанского хребта								
89	№ 402		вис.	СЗ	0,4	0,06	4800	5000
90	№ 405 2 ледника		вис.	СВ	0,3	0,06 0,12 (0,1)	4200	4500
Бассейн р. Табаспин (реки Матча, Зеравшан) Северный склон Зеравшанского хребта								
91	№ 413		вис.	СВ	0,4	0,06 (0,1)	4200	4400
Бассейн р. Ривут (реки Матча, Зеравшан) Северный склон Зеравшанского хребта								
92	№ 420	пр. р. Ривут	вис.	С	0,3	0,04	3700	3840
93	№ 420	пр. р. Ривут	вис.	СЗ	0,2	0,04	3700	3880
94	№ 420	пр. р. Ривут	вис.	СЗ	0,3	0,04	3680	3800
95	№ 420	пр. р. Ривут	вис.	С	0,2	0,02	3720	3900
96	№ 420		вис.	СЗ	0,3	0,04	4400	4640
97	№ 427 6 ледников		вис. кар.	В	0,4	0,07 0,25 (0,2)	4160	4400
Бассейн р. Гузн (реки Матча, Зеравшан) Северный склон Зеравшанского хребта								
98	№ 437		вис.	С	0,3	0,06	4100	4400
99	№ 437		кар.	С	0,5	0,09	3820	4000
100	№ 446	пр. р. Гузн	кар.	СВ	0,4	0,08	4160	4400
101	№ 447	пр. р. Гузн	прискл. кар.	С	0,3	0,05	3840	4080
102	№ 452		кар.	СВ	0,5	0,09	4200	4450
103	№ 453		кар.-вис.	З	0,4	0,06	4000	4450
104	№ 454		кар.-вис.	В	0,7	0,07	3900	4400
105	№ 455 8 ледников		кар.-вис.	В	0,6	0,08 0,58 (0,6)	4000	4400
Бассейн р. Сурхат (реки Матча, Зеравшан) Северный склон Зеравшанского хребта								
106	№ 463	пр. р. Сурхат	кул.	СЗ	0,6	0,08 (0,1)	4360	4800
Бассейн р. Даштиоббурдок (реки Матча, Зеравшан) Северный склон Зеравшанского хребта								
107	№ 464		кар.-вис.	СЗ	0,6	0,08	4000	4480
108	№ 466 2 ледника		кар.	З	0,4	0,08 0,16 (0,2)	4000	4280
Бассейн р. Искидарх (реки Матча, Зеравшан) Северный склон Зеравшанского хребта								
109	№ 477	пр. р. Гудив	кар.-вис.	СВ	0,5	0,09	3800	4000
110	№ 480	пр. р. Мунч	кар.	СЗ	0,3	0,06	3860	4000
111	№ 480	пр. р. Мунч	кар.	С	0,3	0,05	3770	3840
112	№ 480	пр. р. Мунч	кар.	С	0,4	0,04	3780	3900
113	№ 480	пр. р. Мунч	вис.	С	0,3	0,02	4100	4240
114	№ 481	пр. р. Дарх	кар.	СЗ	0,3	0,06	3820	4000
115	№ 481	пр. р. Дарх	кар.	СЗ	0,3	0,04	3960	4040
116	№ 481	пр. р. Дарх	склон.	СЗ	0,2	0,04	3900	4020
117	№ 481	пр. р. Дарх	кар.	С	0,3	0,09	3760	3920
118	№ 481	пр. р. Дарх	кар.	С	0,3	0,09	3760	3920
119	№ 481	пр. р. Дарх	кар.	СВ	0,3	0,04	4000	4200
120	№ 481	пр. р. Дарх	склон.	С	0,4	0,09	3820	3980
121	№ 481 13 ледников	пр. р. Дарх	прискл.	СВ	0,5	0,08 0,78 (0,8)	3780	3920

№ п.п.	Вблизи какого ледника расположен (№ ледника по табл. 1)	Название реки, вытекающей из ледника	Морфологический тип	Общая экспозиция	Наибольшая длина, км	Площадь, км ²	Высота, м	
							низшей точки конца ледника	высшей точки ледника
1	2	3	4	5	6	7	8	9
Бассейн р. Пастиф (реки Матча, Зеравшан)								
Северный склон Зеравшанского хребта								
122	№ 486	пр. р. Тега	кар.	СЗ	0,5	0,09	3800	4000
123	№ 486	пр. р. Тега	кар.	С	0,3	0,03	3860	4000
124	№ 486	пр. р. Тега	кар.	С	0,4	0,06	3760	4000
125	№ 487	пр. р. Пастиф	кар.	СЗ	0,3	0,08	3720	3880
126	№ 488	пр. р. Пастиф	кар.	С	0,3	0,06	3760	4000
127	№ 489		кар.-вис.	С	0,3	0,03	4000	4200
128	№ 490		вис.	С	0,2	0,03	4050	4150
129	№ 494	пр. р. Пастиф	кар.-вис.	В	0,3	0,04	4300	4500
	8 ледников					0,42 (0,4)		
Бассейн р. Тагоби-Джуфт (реки Матча, Зеравшан)								
Северный склон Зеравшанского хребта								
130	№ 496	пр. р. Тагобисар	кар.	С	0,4	0,07	3800	4100
131	№ 497	пр. р. Тагобисар	прискл.	С	0,4	0,07	3860	4080
	2 ледника		кар.			0,14 (0,1)		
Всего в бассейне р. Фандарья 131 ледник общей площадью 8,3 км ²								
Бассейн р. Такфон (реки Ягноб, Фандарья, Зеравшан)								
Южный склон Зеравшанского хребта								
132	№ 501	Пшанза	кул.	СЗ	0,3	0,03	3800	3940
133	№ 502	пр. р. Шутки	склон.	СЗ	0,3	0,08	4020	4200
134	№ 502	пр. р. Шутки	склон.	СЗ	0,4	0,09	3960	4120
135	№ 502	пр. р. Шутки	кар.-вис.	СЗ	0,5	0,07	3960	4300
136	№ 502	пр. р. Шутки	кар.-вис.	С	0,4	0,04	3900	4140
137	№ 503	Шутки	прискл. кар.	С	0,3	0,04	3960	4260
138	№ 503	Шутки	прискл.	С	0,3	0,04	3760	3960
	7 ледников					0,39 (0,4)		
Бассейн р. Хазарчашма (реки Ягноб, Фандарья, Зеравшан)								
Южный склон Зеравшанского хребта								
139	№ 505	пр. р. Хазарчашма	кар.	СЗ	0,4	0,06	3640	3840
140	№ 506		кар.-вис.	С	0,4	0,09	3800	4100
141	№ 508	пр. р. Хазарчашма	вис.	С	0,3	0,07	4200	4500
142	№ 508		вис.	С	0,3	0,09	4100	4400
143	№ 508	пр. р. Хазарчашма	вис.	С	0,4	0,05	3800	4200
144	№ 511	пр. р. Хазарчашма	кар.-вис.	З	0,3	0,06	4100	4400
	6 ледников					0,42 (0,4)		
Бассейн притока р. Ягноб между устьями рек Хазарчашма и Интар (реки Ягноб, Фандарья, Зеравшан)								
Южный склон Зеравшанского хребта								
145	№ 514	пр. р. Ягноб	кар.	Ю	0,4	0,09 (0,1)	4120	4300
Бассейн р. Интар (реки Ягноб, Фандарья, Зеравшан)								
Южный склон Зеравшанского хребта								
146	№ 515	пр. р. Интар	кар.	Ю	0,3	0,05	4160	4400
Бассейн притока р. Ягноб между устьями рек Интар и Обизам (реки Ягноб, Фандарья, Зеравшан)								
Южный склон Зеравшанского хребта								
147	№ 516	пр. р. Ягноб	кар.-вис.	З	0,5	0,09	3900	4200
148	№ 516	пр. р. Ягноб	кар.-вис.	СЗ	0,3	0,04	3920	4080
	2 ледника					0,13 (0,1)		
Бассейн р. Обизам (реки Ягноб, Фандарья, Зеравшан)								
Южный склон Зеравшанского хребта								
149	№ 516	пр. р. Обизам	кар.	Ю	0,2	0,02	4080	4200
150	№ 516	пр. р. Обизам	кар.-вис.	З	0,4	0,06	4060	4240
	2 ледника					0,08 (0,1)		

№ п.п.	Вблизи какого ледника расположен (№ ледника по табл. 1)	Название реки, вытекающей из ледника	Морфологический тип	Общая экспозиция	Наибольшая длина, км	Площадь, км ²	Высота, м	
							нижней точки конца ледника	высшей точки ледника
1	2	3	4	5	6	7	8	9
Бассейн р. Унзуд (реки Ягноб, Фандарья, Зеравшан)								
Южный склон Зеравшанского хребта								
151	№ 521	пр. р. Унзуд	кар.	З	0,3	0,06	4000	4200
Бассейн притока р. Ягноб между устьями рек Унзуд и Голируд (реки Ягноб, Фандарья, Зеравшан)								
Южный склон Зеравшанского хребта								
152	№ 526	пр. р. Ягноб	кар.	СВ	0,3	0,04	4400	4600
Бассейн р. Голируд (реки Ягноб, Фандарья, Зеравшан)								
Южный склон Зеравшанского хребта								
153	№ 529		кар.-вис.	СЗ	0,2	0,03	4260	4400
Бассейн р. Такали (реки Ягноб, Фандарья, Зеравшан)								
Южный склон Зеравшанского хребта								
154	№ 533	пр. р. Такали	кар.-вис.	СВ	0,4	0,08	3820	4000
155	№ 536	пр. р. Такали	кар.	Ю	0,3	0,07	4000	4200
156	№ 537	пр. р. Такали	кар.-вис.	СЗ	0,3	0,07	3880	4100
157	№ 538	пр. р. Такали	вис.	СЗ	0,3	0,07	4040	4220
158	№ 538		кар.-вис.	С	0,5	0,09	3940	4200
	5 ледников					0,38 (0,4)		
Бассейн р. Мал. Барзанги (реки Ягноб, Фандарья, Зеравшан)								
Северный склон Гиссарского хребта								
159	№ 545	пр. р. Мал. Барзанги	кар.	СЗ	0,3	0,05	3800	4060
160	№ 546		кар.	ЮЗ	0,4	0,09	4220	4400
161	№ 553		кул.	С	0,4	0,05	4080	4250
162	№ 554	пр. р. Мал. Барзанги	кар.	СВ	0,3	0,07	3880	4000
163	№ 555	пр. р. Мал. Барзанги	прискл. кар.	СЗ	0,3	0,04	4000	4200
164	№ 555	пр. р. Мал. Барзанги	вис.	СЗ	0,3	0,05	3940	4040
165	№ 555	пр. р. Мал. Барзанги	кар.-вис.	СЗ	0,4	0,07	4020	4140
166	№ 560	пр. р. Мал. Барзанги	кар.-вис.	З	0,5	0,09	3780	4040
167	№ 563	пр. р. Мал. Барзанги	вис.	В	0,3	0,03	3840	3940
168	№ 563	пр. р. Мал. Барзанги	вис.	СВ	0,4	0,07	3940	4140
169	№ 570	пр. р. Мал. Барзанги	кар.	С	0,3	0,04	4000	4140
	11 ледников					0,65 (0,6)		
Бассейн притока р. Ягноб между устьями рек Мал. Барзанги и Казантемир (реки Ягноб, Фандарья, Зеравшан)								
Северный склон Гиссарского хребта								
170	№ 570	пр. р. Ягноб	кар.	С	0,3	0,04	3800	3960
171	№ 570	пр. р. Ягноб	кар.	С	0,3	0,03	3800	3920
	2 ледника					0,07 (0,1)		
Бассейн р. Тагоб (реки Ягноб, Фандарья, Зеравшан)								
Северный склон Гиссарского хребта								
172	№ 575	пр. р. Кумарх	кар.	СЗ	0,4	0,09	3740	3920
173	№ 575	пр. р. Кумарх	кар.	СЗ	0,4	0,08	3690	3900
174	№ 576	пр. р. Кумарх	кар.-вис.	СЗ	0,4	0,07	3760	3940
175	№ 577	пр. р. Хатанагуль	вис.	С	0,3	0,04	3740	3930
176	№ 578	пр. р. Уччадо	кар.	С	0,6	0,09	3280	3360
	5 ледников					0,37 (0,4)		

№ п.п.	Вблизи какого ледника расположен (№ ледника по табл. 1)	Название реки, вытекающей из ледника	Морфологический тип	Общая экспозиция	Наибольшая длина, км	Площадь, км ²	Высота, м	
							нижней точки конца ледника	высшей точки ледника
1	2	3	4	5	6	7	8	9
Бассейн р. Тагобикуль (реки Ягноб, Фандарья, Зеравшан)								
Северный склон Гиссарского хребта								
177	№ 581	пр. р. Шаухан	кар.	СЗ	0,6	0,09	3880	4080
178	№ 597	пр. р. Тагобикуль	кар.-вис.	СЗ	0,4	0,06	3850	3950
179	№ 597	пр. р. Тагобикуль	кар.-вис.	СВ	0,4	0,07	3950	4050
180	№ 600	пр. р. Тагобикуль	кар.-вис.	СВ	0,6	0,09	3800	4000
	4 ледника					0,31 (0,3)		
Бассейн р. Тагрич (реки Ягноб, Фандарья, Зеравшан)								
Северный склон Гиссарского хребта								
181	№ 606		кар.-вис.	СЗ	0,5	0,06	4300	4600
182	№ 606	пр. р. Тагрич	кар.-вис.	З	0,5	0,09	4120	4380
183	№ 608		кар.	СЗ	0,4	0,08	4020	4240
184	№ 608	пр. р. Тагрич	кар.	СВ	0,3	0,04	4040	4140
185	№ 610	пр. р. Тагрич	кар.	С	0,2	0,03	3950	4050
186	№ 610	пр. р. Тагрич	кар.	С	0,2	0,04	4000	4200
187	№ 611	пр. р. Тагрич	кар.-вис.	С	0,5	0,07	3900	4280
	7 ледников					0,41 (0,4)		
Бассейны левых притоков р. Ягноб между устьями рек Тагрич и Пиндар (реки Ягноб, Фандарья, Зеравшан)								
Северный склон Гиссарского хребта								
188	№ 612	пр. р. Ягноб	кар.-вис.	С	0,4	0,04	3500	3800
189	№ 612	пр. р. Ягноб	кар.-вис.	СЗ	0,4	0,05	3420	3700
190	№ 613		кул.	СЗ	0,2	0,04	4100	4300
191	№ 613	пр. р. Ягноб	кул.	СВ	0,6	0,05	3240	3700
192	№ 613	пр. р. Ягноб	кар.	СВ	0,3	0,04	3300	3500
	5 ледников					0,22 (0,2)		
Бассейн р. Пиндар (реки Ягноб, Фандарья, Зеравшан)								
Северный склон Гиссарского хребта								
193	№ 618	пр. р. Пиндар	вис.	СЗ	0,4	0,08	4040	4300
194	№ 619	пр. р. Пиндар	прискл. кар.	СЗ	0,4	0,05	3920	4160
195	№ 619	пр. р. Пиндар	кар.	СВ	0,4	0,09	3900	4060
196	№ 620	пр. р. Пиндар	кар.	СЗ	0,4	0,05	4040	4240
197	№ 620	пр. р. Пиндар	кар.	СЗ	0,2	0,03	4080	4160
198	№ 620	пр. р. Пиндар	склон.	С	0,3	0,04	3900	4040
199	№ 620	пр. р. Пиндар	кар.-вис.	СВ	0,4	0,04	3770	4000
200	№ 620	пр. р. Пиндар	кар.	СВ	0,6	0,08	3700	3900
201	№ 620	пр. р. Пиндар	кар.	В	0,5	0,07	3760	3900
202	№ 620	пр. р. Пиндар	кар.	СВ	0,5	0,07	3800	3960
	10 ледников					0,60		
Бассейн р. Хшерг (реки Ягноб, Фандарья, Зеравшан)								
Северный склон Гиссарского хребта								
203	№ 623	пр. р. Хшерг	кар.-вис.	В	0,2	0,03	3940	4060
204	№ 623	пр. р. Хшерг	кар.	С	0,4	0,06	3580	3740
205	№ 623	пр. р. Хшерг	кар.-вис.	СВ	0,2	0,03	3900	4100
	3 ледника					0,12 (0,1)		
Бассейн р. Диджикруд (реки Ягноб, Фандарья, Зеравшан)								
Северный склон Гиссарского хребта								
206	№ 624	Китоб	кар.-вис.	СВ	0,4	0,07	3840	4080
207	№ 624	пр. р. Обногба	кар.	ЮЗ	0,4	0,06	3820	3980
208	№ 624	пр. р. Обногба	кар.	З	0,4	0,07	3700	3820
209	№ 625	пр. р. Обногба	кар.	С	0,4	0,05	3560	3800
210	№ 626	пр. р. Обногба	кар.	СЗ	0,3	0,04	3560	3700
211	№ 626	пр. р. Обногба	кар.	СЗ	0,3	0,03	3640	3870
212	№ 626	пр. р. Обногба	кар.	СВ	0,4	0,07	3840	4000
213	№ 627	пр. р. Обишир	кар.	С	0,3	0,05	3640	3780
214	№ 627	пр. р. Обишир	кар.-вис.	С	0,3	0,04	3720	3900
215	№ 627	пр. р. Обишир	кар.	С	0,3	0,06	3760	3900
	10 ледников					0,54 (0,5)		

№ п.п.	Вблизи какого ледника расположен (№ ледника по табл. 1)	Название реки, вытекающей из ледника	Морфологический тип	Общая экспозиция	Наибольшая длина, км	Площадь, км ²	Высота, м	
							нижней точки конца ледника	высшей точки ледника
1	2	3	4	5	6	7	8	9

Бассейн р. Габеруд (реки Ягноб, Фандарья, Зеравшан)

Северный склон Гиссарского хребта

216	№ 628	пр. р. Лябиджай	кар.	С	0,3	0,04	3400	3700
217	№ 633	пр. р. Лябиджай	кар.	СВ	0,5	0,07	3540	3760
218	№ 634	пр. р. Обисефруд	кар.-вис.	СЗ	0,4	0,07	3520	4000
219	№ 634		вис.	С	0,3	0,08	3970	4200
	4 ледника					0,26 (0,3)		

Всего в бассейне р. Ягноб 88 ледников общей площадью 5,1 км²**Бассейн р. Макшеват (реки Искандердарья, Фандарья, Зеравшан)**

Северный склон Гиссарского хребта

220	№ 638	пр. р. Макшеват	вис.	С	0,4	0,07	4140	4360
221	№ 638	пр. р. Макшеват	кар.-вис.	СЗ	0,4	0,05	3960	4200
222	№ 638	пр. р. Макшеват	кар.-вис.	С	0,5	0,06	3900	4300
223	№ 638	пр. р. Макшеват	кар.-вис.	С	0,5	0,08	3900	4400
224	№ 638	пр. р. Макшеват	кар.-вис.	СЗ	0,2	0,06	3920	4040
225	№ 638	пр. р. Макшеват	кар.-вис.	СЗ	0,2	0,03	4060	4140
	6 ледников					0,35 (0,4)		

Бассейн р. Обибарык (р. Хазормечь, оз. Искандеркуль, реки Искандердарья, Фандарья, Зеравшан)

Северный склон Гиссарского хребта

226	№ 642		вис.	СЗ	0,3	0,05	4180	4340
227	№ 642		кар.	СЗ	0,4	0,06	3940	4120
228	№ 646		склон.	ЮЗ	0,3	0,06	4400	4600
229	№ 646		вис.	СЗ	0,2	0,03	4300	4460
	4 ледника					0,20		

Бассейн р. Обисафет (р. Хазормечь, оз. Искандеркуль, реки Искандердарья, Фандарья, Зеравшан)

Северный склон Гиссарского хребта

230	№ 649	пр. р. Обисафет	кар.	С	0,3	0,06	3900	4100
231	№ 649	пр. р. Обисафет	склон.	СЗ	0,3	0,06	3900	4100
232	№ 649	пр. р. Обисафет	вис.	З	0,3	0,05	4180	4340
233	№ 649	пр. р. Обисафет	кар.	СЗ	0,3	0,04	4320	4560
234	№ 650		прискл.	В	0,3	0,06	3960	4140
235	№ 650		прискл.	В	0,2	0,02	3820	3940
236	№ 650		прискл.	В	0,2	0,03	4050	4150
237	№ 650		кар.-вис.	В	0,2	0,04	4000	4150
238	№ 650	пр. р. Обисафет	кар.	СВ	0,3	0,05	3900	4050
239	№ 650	пр. р. Обисафет	вис.	СВ	0,3	0,06	4000	4200
240	№ 655	пр. р. Обисафет	кар.	СВ	0,2	0,02	3700	3900
241	№ 655	пр. р. Обисафет	вис.	СЗ	0,3	0,04	4200	4400
242	№ 655	пр. р. Обисафет	кар.	В	0,2	0,04	4040	4140
	13 ледников					0,57 (0,6)		

Бассейн р. Серидевоп (оз. Искандеркуль, реки Искандердарья, Фандарья, Зеравшан)

Северный склон Гиссарского хребта

243	№ 665	пр. р. Серидевоп	кар.	СВ	0,3	0,06 (0,1)	3800	4000
-----	-------	------------------	------	----	-----	---------------	------	------

Бассейн р. Соминг (реки Канчач, Сарытаг, оз. Искандеркуль, реки Искандердарья, Фандарья, Зеравшан)

Северный склон Гиссарского хребта

244	№ 667	пр. р. Соминг	кар.	З	0,3	0,05	3860	4000
245	№ 668	пр. р. Соминг	кар.	С	0,2	0,03	3900	4100
	2 ледника					0,08 (0,1)		

Бассейн р. Парюп (реки Канчач, Сарытаг, оз. Искандеркуль, реки Искандердарья, Фандарья, Зеравшан)

Северный склон Гиссарского хребта

246	№ 673	пр. р. Парюп	кар.-вис.	С	0,3	0,05	3840	3960
247	№ 673	пр. р. Парюп	кар.	В	0,4	0,07	3900	4140
	2 ледника					0,12 (0,1)		

№ п.п.	Вблизи какого ледника расположен (№ ледника по табл. 1)	Название реки, вытекающей из ледника	Морфологический тип	Общая экспозиция	Наибольшая длина, км	Площадь, км ²	Высота, м	
							низшей точки конца ледника	высшей точки ледника
1	2	3	4	5	6	7	8	9
Бассейн р. Мура (р. Сарытаг, оз. Искандеркуль, реки Искандердарья, Фандарья, Зеравшан)								
Северный склон Гиссарского хребта								
248	№ 674	пр. р. Мура	вис.	СЗ	0,3	0,03	3980	4120
249	№ 675	пр. р. Мура	кар.	З	0,3	0,05	3840	4000
250	№ 675 3 ледника	пр. р. Мура	кар.-вис.	СЗ	0,6	0,07 0,15 (0,2)	3760	3900
Бассейн р. Замбар (р. Сарытаг, оз. Искандеркуль, реки Искандердарья, Фандарья, Зеравшан)								
Северный склон Гиссарского хребта								
251	№ 676		кар.-вис.	СЗ	0,6	0,08	3700	3900
252	№ 679		кар.	В	0,2	0,03	3720	3900
253	№ 679	пр. р. Замбар	кар.	СВ	0,3	0,04	3700	3820
254	№ 679 4 ледника	пр. р. Замбар	кар.	С	0,4	0,08 0,23 (0,2)	3960	4040
Бассейн р. Дикондара (р. Сарытаг, оз. Искандеркуль, реки Искандердарья, Фандарья, Зеравшан)								
Северный склон Гиссарского хребта								
255	№ 689	пр. р. Дикондара	прискл. кар.	С	0,3	0,08 (0,1)	3700	3840
Бассейн р. Крыктанур (реки Каракуль, Сарытаг, оз. Искандеркуль, реки Искандердарья, Фандарья, Зеравшан)								
Северный склон Гиссарского хребта								
256	№ 690	пр. р. Крыктанур	кар.	С	0,5	0,09	3840	4040
257	№ 698 2 ледника	пр. р. Крыктанур	кар.	СВ	0,4	0,08 0,17 (0,2)	3840	4000
Бассейн правого безымянного притока р. Каракуль между устьями рек Крыктанур и Аксай (реки Каракуль, Сарытаг, оз. Искандеркуль, реки Искандердарья, Фандарья, Зеравшан)								
Северный склон Гиссарского хребта								
258	№ 699	пр. р. Каракуль	прискл.	С	0,3	0,03	3680	3800
Бассейн р. Аксай (реки Каракуль, Сарытаг, оз. Искандеркуль, реки Искандердарья, Фандарья, Зеравшан)								
Северный склон Гиссарского хребта								
259	№ 701	пр. р. Аксай	кар.	С	0,4	0,07	3360	3640
260	№ 704	пр. р. Аксай	прискл.	З	0,3	0,03	3440	3660
261	№ 705		вис.	З	0,4	0,09	3820	3960
262	№ 705		кар.-вис.	СЗ	0,3	0,04	3860	3940
263	№ 708		кар.	СВ	0,4	0,08	3760	3920
264	№ 708 6 ледников		прискл.	СВ	0,2	0,03 0,34 (0,3)	3920	4040
Бассейн р. Ахбашир (реки Каракуль, Сарытаг, оз. Искандеркуль, реки Искандердарья, Фандарья, Зеравшан)								
Северный склон Гиссарского хребта, южный склон гор Дундон								
265	№ 714	пр. р. Ахбашир	кар.-вис.	С	0,2	0,02	3520	3700
266	№ 714 2 ледника	пр. р. Ахбашир	кар.-вис.	С	0,5	0,09 0,11 (0,1)	3600	4000
Бассейны притоков р. Каракуль между устьями рек Ахбашир и Дундон (реки Каракуль, Сарытаг, оз. Искандеркуль, реки Искандердарья, Фандарья, Зеравшан)								
Южный склон гор Дундон								
267	№ 724		кар.	В	0,2	0,02	4100	4300
268	№ 726		вис.	В	0,2	0,05	4200	4400
269	№ 726		кар.	Ю	0,3	0,04	4440	4700
270	№ 726		кар.	ЮЗ	0,3	0,06	4320	4500
271	№ 726 5 ледников		кар.	З	0,2	0,02 0,19 (0,2)	4200	4400

№ п.п.	Вблизи какого ледника расположен (№ ледника по табл. 1)	Название реки, вытекающей из ледника	Морфологический тип	Общая экспозиция	Наибольшая длина, км	Площадь, км ²	Высота, м	
							нижней точки конца ледника	высшей точки ледника
1	2	3	4	5	6	7	8	9
Бассейн р. Дукдон (реки Каракуль, Сарытаг, оз. Искандеркуль, реки Искандердарья, Фандарья, Зеравшан)								
Южный склон гор Дукдон								
272	№ 727	пр. р. Дукдон	кар.	С	0,2	0,03	3360	3500
273	№ 727	пр. р. Дукдон	кар.	СВ	0,2	0,03	3400	3600
274	№ 727		кар.	ЮВ	0,3	0,03	3800	4040
275	№ 728		вис.	С	0,2	0,03	4000	4200
276	№ 728		вис.	С	0,4	0,04	4000	4200
277	№ 728		вис.	СВ	0,2	0,02	4200,	4400
	6 ледников					0,18 (0,2)		
Бассейн р. Чапдара (реки Арх, Сарытаг, оз. Искандеркуль, реки Искандердарья, Фандарья, Зеравшан)								
Южные склоны Фанских гор								
278	№ 729	пр. р. Чапдара	кар.	С	0,4	0,08	3560	3740
279	№ 729	пр. р. Чапдара	кар.	СВ	0,4	0,05	3800	4000
280	№ 729		кар.	С	0,2	0,06	4200	4400
281	№ 730		вис.	СВ	0,4	0,05	4500	4700
282	№ 730	пр. р. Чапдара	кар.	В	0,3	0,04	3900	4200
	5 ледников					0,28 (0,3)		
Бассейн р. Аххдасай (реки Арх, Сарытаг, оз. Искандеркуль, реки Искандердарья, Фандарья, Зеравшан)								
Южные склоны Фанских гор								
283	№ 731	пр. р. Аххдасай	кар.	С	0,3	0,03	3800	4000
284	№ 731	пр. р. Аххдасай	кар.	С	0,4	0,03	3920	4100
285	№ 732		вис.	СВ	0,2	0,03	4400	4600
286	№ 732	пр. р. Аххдасай	вис.	В	0,3	0,07	4180	4400
	4 ледника					0,16 (0,2)		
Бассейн р. Казнок (реки Арх, Сарытаг, оз. Искандеркуль, реки Искандердарья, Фандарья, Зеравшан)								
Южные склоны Фанских гор								
287	№ 733		вис.	СВ	0,3	0,08 (0,1)	4120	4360
Бассейн р. Ганза (реки Арх, Сарытаг, оз. Искандеркуль, реки Искандердарья, Фандарья, Зеравшан)								
Южные склоны Фанских гор								
288	№ 739	пр. р. Ганза	кар.-вис.	З	0,2	0,04	4200	4400
289	№ 740	пр. р. Ганза	кар.	СЗ	0,1	0,09	4080	4400
	2 ледника					0,13 (0,1)		
Бассейн р. Серима (оз. Искандеркуль, реки Искандердарья, Фандарья, Зеравшан)								
Южные склоны Фанских гор								
290	№ 741	пр. р. Серима	кар.	СВ	0,5	0,08	3520	3700
291	№ 741	пр. р. Серима	прискл.	ЮВ	0,3	0,04	4140	4240
	2 ледника					0,12 (0,1)		
Бассейн р. Норват (реки Искандердарья, Фандарья, Зеравшан)								
Южные склоны Фанских гор								
292	№ 741	пр. р. Нор	прискл.	СВ	0,1	0,02	3560	3660
Бассейн притока р. Искандердарья, ниже устья р. Норват (реки Искандердарья, Фандарья, Зеравшан)								
Южные склоны Фанских гор								
293	№ 741	пр. р. Искандердарья	вис.	ЮВ	0,2	0,03	3900	4100
294	№ 741	пр. р. Искандердарья	вис.	СЗ	0,2	0,02	4100	4200
	2 ледника					0,05		
Бассейн р. Пасрут (реки Фандарья, Зеравшан)								
Северные склоны Фанских гор								
295	№ 742	Рунич	вис.	СВ	0,2	0,02	4100	4300
296	№ 742	пр. р. Пасрут	вис.	С	0,2	0,05	4100	4300

№ п.п.	Вблизи какого ледника расположен (№ ледника по табл. I)	Название реки, вытекающей из ледника	Морфологический тип	Общая экспозиция	Наибольшая длина, км	Площадь, км ²	Высота, м		
							нижней точки конца ледника	высшей точки ледника	
1	2	3	4	5	6	7	8	9	
297	№ 742	пр. р. Пасрут	вис.	С	0,2	0,05	3900	4100	
298	№ 743		вис.	СВ	0,2	0,04	4150	4250	
299	№ 744		кар.	С	0,4	0,07	3450	3560	
300	№ 744		вис.	С	0,2	0,02	4200	4400	
301	№ 745		вис.	С	0,2	0,04	3900	4100	
302	№ 745	пр. р. Имат	вис.	С	0,2	0,04	4360	4460	
303	№ 747		вис.	СЗ	0,2	0,03	3950	4050	
304	№ 747		пр. р. Имат	вис.	СЗ	0,2	0,05	3900	4050
305	№ 747		пр. р. Имат	вис.	СЗ	0,3	0,07	4000	4200
306	№ 751		пр. р. Сурхоб	кул.	СВ	0,5	0,08	4600	5000
307	№ 755	прискл.		В	0,2	0,03	4160	4260	
308	№ 757	кар.-вис.		СВ	0,6	0,08	3400	3600	
309	№ 757	вис.		СВ	0,3	0,07	3900	4300	
310	№ 757	вис.		СВ	0,3	0,03	4200	4400	
311	№ 759	пр. р. Чапдара	кар.	СВ	0,5	0,07	4300	4700	
312	№ 759		вис.	С	0,2	0,02	5050	5150	
313	№ 761		вис.	СВ	0,2	0,08	4600	4700	
314	№ 763		вис.	СВ	0,3	0,08	4800	4900	
315	№ 767		вис.	С	0,2	0,02	4200	4400	
316	№ 772	пр. р. Чапдара	прискл.	В	0,4	0,05	4400	4680	
317	№ 777		вис.	ЮВ	0,3	0,09	4880	5060	
318	№ 777		прискл.	СВ	0,2	0,04	4040	4200	
	24 ледника					1,22 (1,2)			

Всего в бассейне р. Фандары 187 ледников общей площадью 10,1 км²

Всего в бассейне р. Зеравшан выше устья р. Фандары 318 ледников общей площадью 18,5 км²

Примечание. В графе 7 в итоговой строке в скобках приведена округленная до 0,1 км² площадь ледников, которая учтена в суммарной площади оледенения частных бассейнов в табл. I.

Основные сведения о ледниках размером менее 0,1 км²

№ п.п.	Вблизи какого ледника расположен (№ ледника по табл. 1)	Название реки, вытекающей из ледника	Морфологический тип	Общая экспозиция	Наибольшая длина, км	Площадь, км ²	Высота, м	
							нижней точки конца ледника	высшей точки ледника
1	2	3	4	5	6	7	8	9
Бассейн р. Ревад (р. Зеравшан)								
Северный склон Зеравшанского хребта								
1	№ 4	Ревад	кар.-вис.	СВ	0,5	0,04	4000	4350
Бассейн р. Кштут (р. Зеравшан)								
Западные склоны Фанских гор; северные склоны гор Дукдон и Гиссарского хребта								
2	№ 6		вис.	С	0,2	0,06	4200	4400
3	№ 9		прискл.	СЗ	0,4	0,04	4300	4600
4	№ 16		вис.	СВ	0,2	0,03	3900	4100
5	№ 23		кар.	З	0,5	0,09	4160	4500
6	№ 24		вис.	СВ	0,2	0,04	4280	4360
7	№ 24	пр. р. Зиндон	вис.	С	0,2	0,05	3940	4040
8	№ 24		пр. р. Зиндон	вис.	З	0,3	0,05	3960
9	№ 25		вис.	СЗ	0,3	0,06	4100	4300
10	№ 29		вис.	С	0,3	0,05	4100	4300
11	№ 29		вис.	С	0,4	0,07	3840	4040
12	№ 29		вис.	С	0,3	0,05	4400	4600
13	№ 30	пр. р. Ахмат	вис.	СЗ	0,4	0,05	4160	4440
14	№ 34		кар.-вис.	С	0,2	0,03	4000	4200
15	№ 34	пр. р. Пушневат	прискл.	СВ	0,2	0,04	3380	3420
16	№ 34		кар.-вис.	С	0,5	0,06	3480	3800
17	№ 34		кар.-вис.	С	0,7	0,09	3420	3900
18	№ 34	пр. р. Пушневат	прискл.	С	0,2	0,03	3360	3460
19	№ 34	пр. р. Пушневат	прискл.	С	0,1	0,03	3320	3440
20	№ 34		кар.-вис.	С	0,3	0,09	3380	3440
21	№ 37	пр. р. Сарыходан	вис.	СВ	0,3	0,05	3800	4000
22	№ 37	пр. р. Кштутдак	кар.	С	0,2	0,08	3600	4000
23	№ 39	пр. р. Пштикуль	кар.	СЗ	0,3	0,07	3440	3800
24	№ 43		кар.	В	0,2	0,07	4200	4400
25	№ 43	пр. р. Пштикуль	кар.	СВ	0,3	0,03	3760	3860
26	№ 45	пр. р. Нагнут	кар.	С	0,2	0,03	3900	4100
27	№ 49	пр. р. Казнок	кар.-вис.	СЗ	0,4	0,06	3880	4000
28	№ 50	пр. р. Казнок	кар.	С	0,2	0,03	3560	3640
29	№ 51		кар.	З	0,4	0,07	3980	4200
30	№ 57	пр. р. Сарымат	кар.	С	0,3	0,04	3500	3700
	29 ледников					1,54 (1,5)		
Бассейн р. Магияндарья (р. Зеравшан)								
Северный склон Гиссарского хребта								
31	№ 58	пр. оз. Маргузор	кар.	З	0,3	0,05	3960	4120
32	№ 58	пр. р. Дарахтисурх	вис.	С	0,3	0,08	4050	4150
33	№ 59		кар.	З	0,3	0,03	3960	4080
34	№ 71	пр. р. Дарахтисурх	вис.	С	0,2	0,02	3920	4040
35	№ 71	пр. р. Дарахтисурх	кар.	СВ	0,4	0,09	3950	4120
36	№ 72	пр. р. Азорчашма	кар.	С	0,6	0,09	3600	3900
37	№ 72	пр. р. Азорчашма	кар.	СЗ	0,2	0,04	3760	3860
38	№ 76		кар.-вис.	С	0,3	0,06	3800	4080
39	№ 79		кар.-вис.	СЗ	0,3	0,05	3670	3880
40	№ 83	пр. р. Карагран	кар.	В	0,3	0,05	3900	4040
41	№ 86	пр. р. Азорчашма	кар.	В	0,4	0,09	4080	4300
42	№ 92	пр. р. Субаши	прискл.	С	0,3	0,04	3640	3740
43	№ 93	пр. р. Субаши	кар.-вис.	СЗ	0,4	0,06	3900	4200
44	№ 95	пр. р. Субаши	кар.-вис.	С	0,5	0,08	3820	4100
45	№ 96	пр. р. Карасу	кар.-вис.	С	0,3	0,07	3520	3720
46	№ 99		кар.	С	0,3	0,04	3640	3800

№ п.п.	Вблизи какого ледника расположен (№ ледника по табл. 1)	Название реки, вытекающей из ледника	Морфологический тип	Общая экспозиция	Наибольшая длина, км	Площадь, км ²	Высота, м	
							нижней точки конца ледника	высшей точки ледника
1	2	3	4	5	6	7	8	9
47	№ 99		вис.	С	0,3	0,04	3600	3880
48	№ 103	пр. р. Карасу	прискл.	С	0,2	0,04	3640	3720
49	№ 107		вис.	В	0,2	0,05	3880	3940
50	№ 109		прискл.	СВ	0,2	0,04	3360	3460
51	№ 109		кар.	В	0,4	0,07	3880	4000
52	№ 109		кар.-вис.	СВ	0,3	0,04	3760	4000
53	№ 111	пр. р. Субаши	прискл. кар.	С	0,3	0,07	3660	3760
54	№ 111	пр. р. Субаши	прискл. кар.	С	0,2	0,03	3640	3800
55	№ 112	Дарихурдак	прискл.	С	0,2	0,07	3580	3640
56	№ 112	Дарихурдак	прискл.	С	0,2	0,07	3560	3640
57	№ 112	пр. р. Магияндарья	прискл.	С	0,1	0,07	3560	3660
58	№ 112	пр. р. Магияндарья	прискл.	С	0,2	0,04	3560	3640
59	№ 112	пр. р. Магияндарья	прискл.	С	0,2	0,03	3560	3640
60	№ 112	пр. р. Магияндарья	прискл.	СВ	0,3	0,05	3600	3720
61	№ 112	пр. р. Магияндарья	прискл.	СВ	0,3	0,05	3640	3900
62	№ 112	пр. р. Магияндарья	прискл.	С	0,4	0,06	3520	3720
	32 ледника					1,76 (1,8)		

Всего в бассейнах левых притоков р. Зеравшана 62 ледника общей площадью 3,3 км²

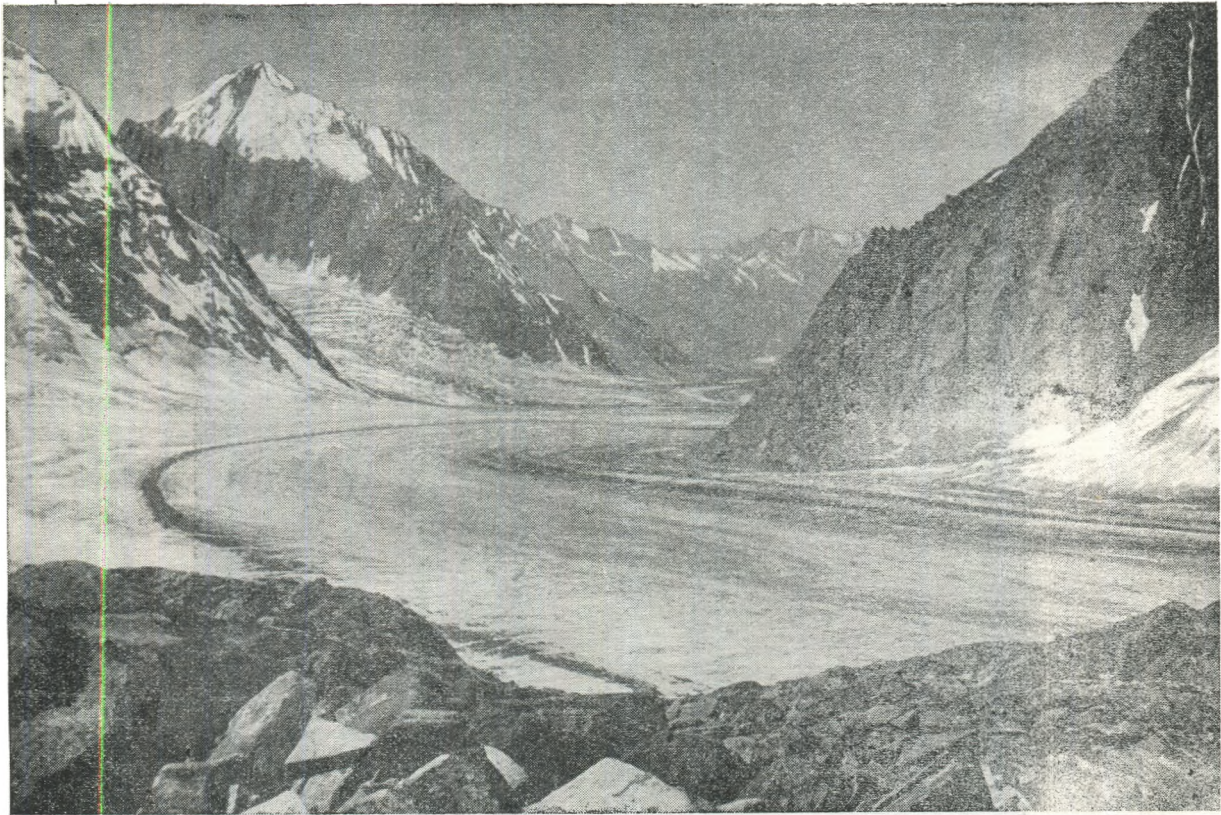


Рис. 21. Вид на Зеравшанский ледник (№ 202).



Рис. 22. Ледниковый стол на поверхности Зеравшанского ледника.

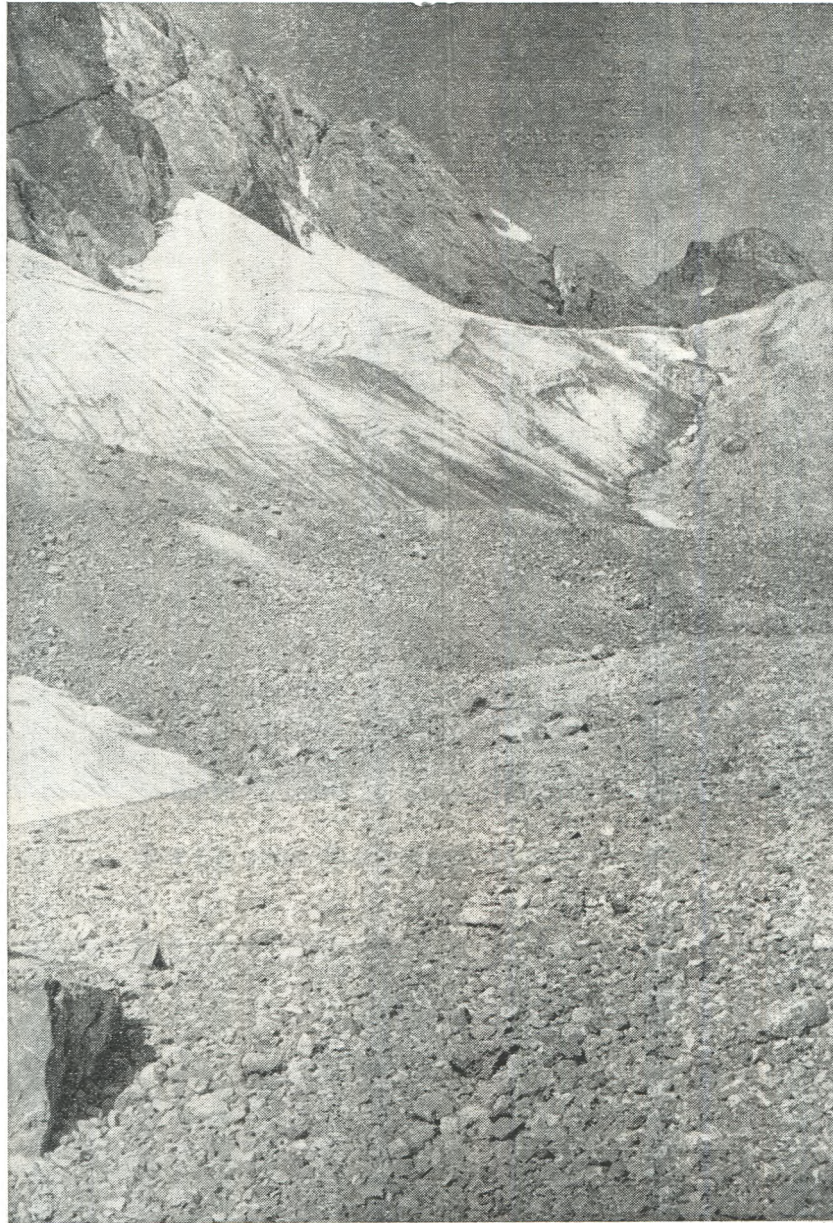


Рис. 23. Склоновый ледник № 733 в верховьях р. Казнок.



Рис. 24. Верховья долинного ледника № 736 в бассейне р. Казнок.



Рис. 25. Делинный ледник № 760 в бассейне р. Чопдара. На переднем плане — моренные отложения.



Рис. 26. Фанские горы. На переднем плане язык долинного ледника № 765.

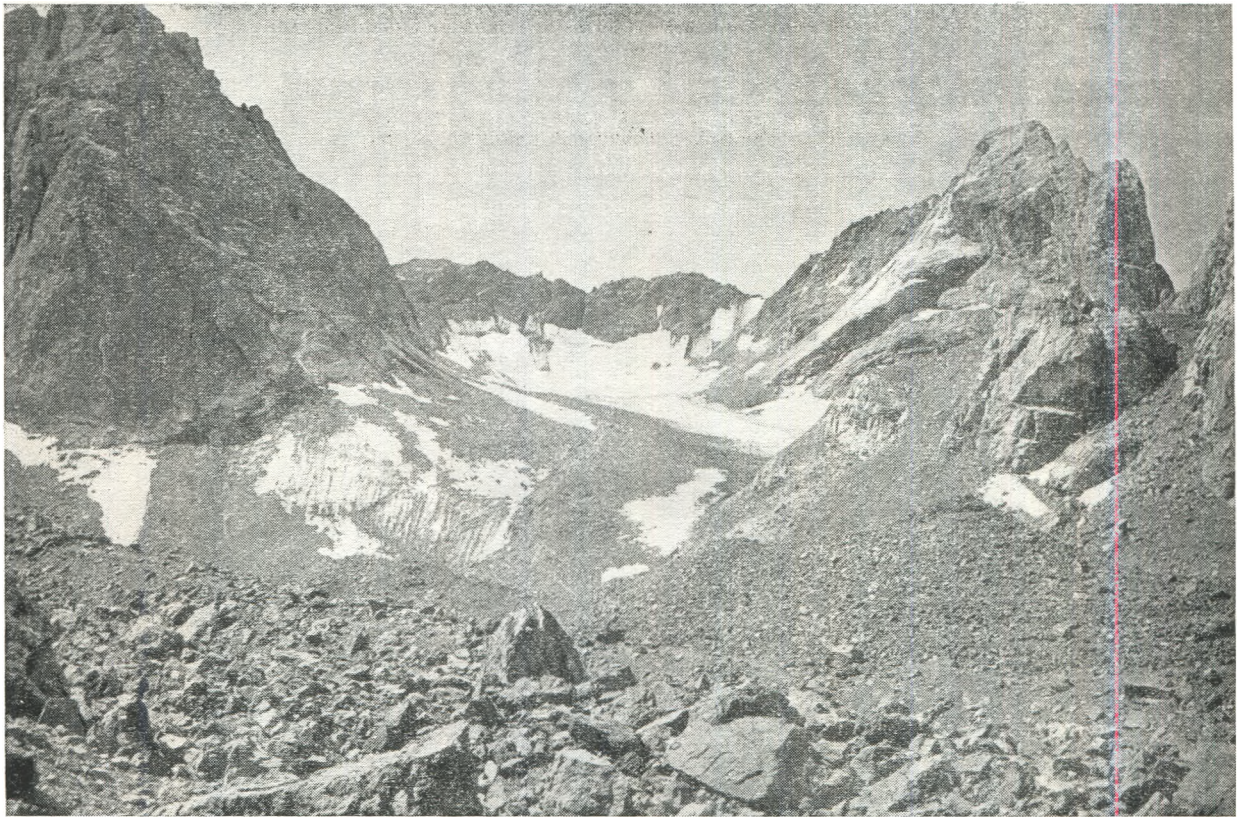


Рис. 27. Каровый ледник № 768 в бассейне р. Чопдара.

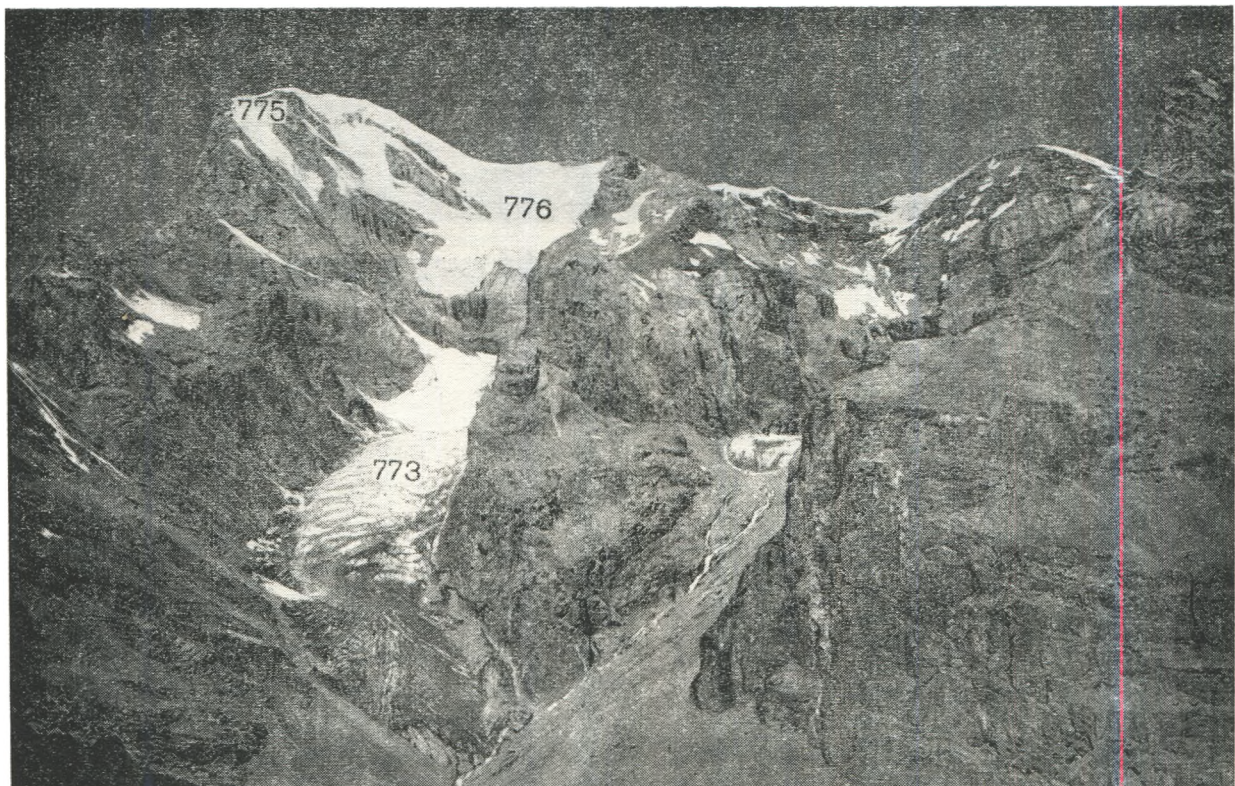


Рис. 28. Висячие (№ 775, 776) и долинные (№ 773, 777) ледники, талые воды которых дают начало р. Чопдара.

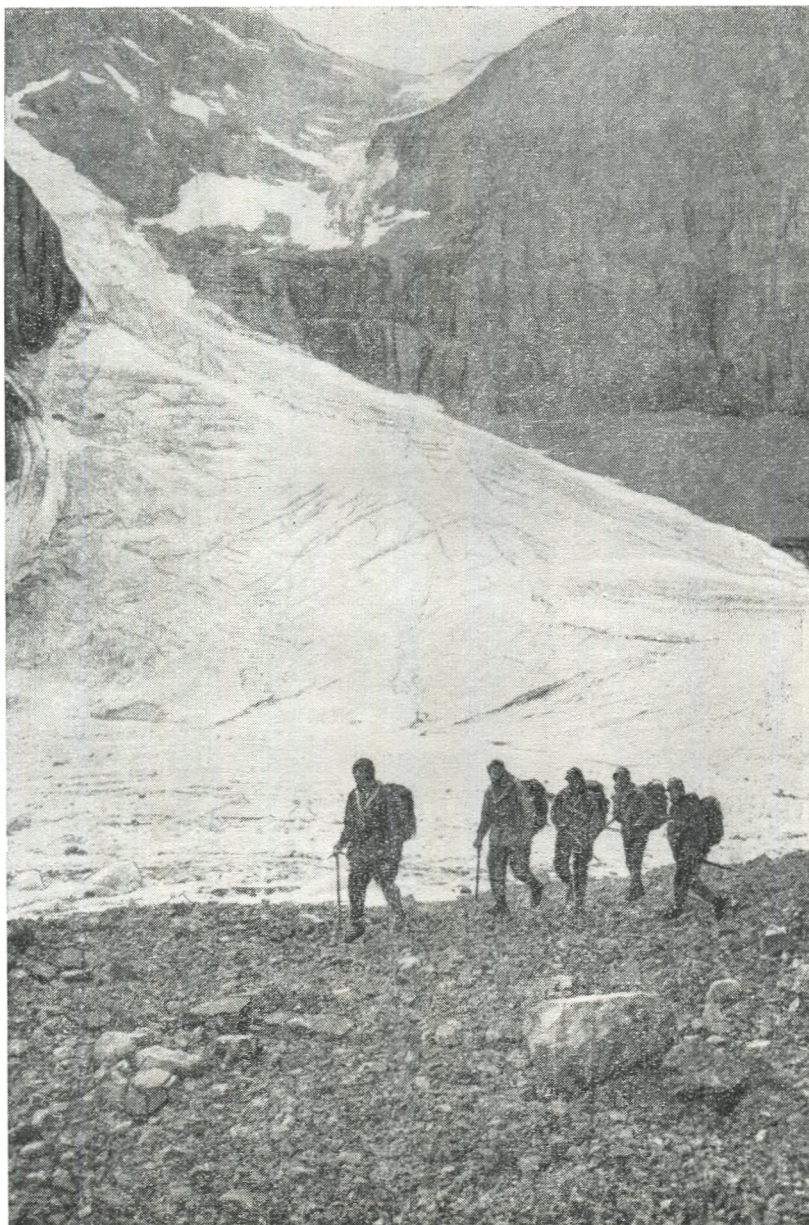


Рис. 29. Долинный ледник № 777 в истоках р. Чопдара.

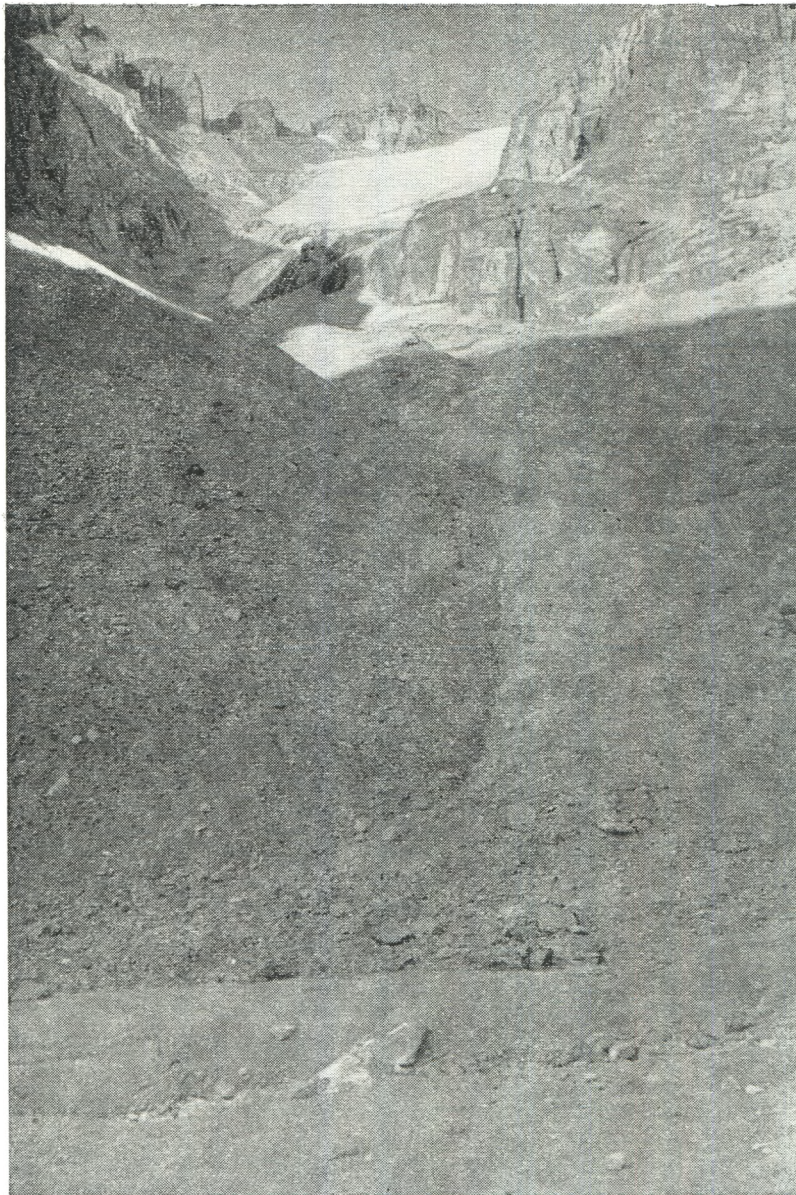


Рис. 30. Моренные отложения и язык висячего долинного ледника № 21 в бассейне р. Зиндон.



Рис. 31. Верховья сложного долинного ледника № 35 в истоках р. Сарыходан.



Рис. 32. Ледник № 35.



Рис. 33. Характер поверхности ледника № 35.

СОДЕРЖАНИЕ

Предисловие	3
Деление Каталога ледников СССР на тома, выпуски и части	5
Список томов, выпусков и частей Каталога ледников СССР	5
Список принятых сокращений	7
Характеристика географического положения, морфологии, климатических условий и режима ледников	8

ОСНОВНЫЕ ТАБЛИЦЫ КАТАЛОГА ЛЕДНИКОВ

Таблица I — Основные сведения о ледниках	
Том 14, выпуск 3, часть 1	35
Том 14, выпуск 3, часть 2	85
Пояснения к табл. I	90
Таблица IV — Экспедиционные и стационарные исследования ледников	91
Таблица V — Список работ, содержащих сведения о ледниках	92

ДОПОЛНИТЕЛЬНЫЕ МАТЕРИАЛЫ

Основные сведения о ледниках размером менее 0,1 км ²	
Том 14, выпуск 3, часть 1	96
Том 14, выпуск 3, часть 2	107
Фотографии	109

Каталог ледников СССР, т. 14, вып. 3, ч. 1, 2

Редактор Г. Г. Доброумова.
Технический редактор Е. А. Маркова. Корректор Л. Б. Лаврова

Н/К

Сдано в набор 22.07.81. Подписано в печать 07.06.82. М-26510. Формат 60×90^{1/16}. Бумага тип. № 1. Лит. гарн. Печать высокая. Печ. л. 15. Кр.-отт. 15,25. Уч.-изд. л. 19,06. Тираж 310 экз. Индекс ГЛ-131. Заказ № 220. Цена 1 р. 30 к. Гидрометеиздат, 199053, Ленинград, 2-я линия, д. 23.

Типография издательства «Волгоградская правда»,
400066, Волгоград, Привокзальная площадь.